



Министерство регионального развития Российской Федерации
Федеральное агентство по управлению
государственным имуществом
Открытое акционерное общество
"Научно-исследовательский центр "Строительство"
(ОАО "НИЦ "Строительство")
**«Центральный научно-исследовательский институт
строительных конструкций имени В.А. Кучеренко»**

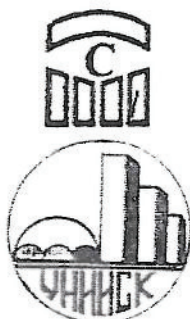
ЦНИИСК им. В.А. Кучеренко

ТЕХНИЧЕСКОЕ ЗАКЛЮЧЕНИЕ

по результатам лабораторных испытаний на вырыв различных видов анкерных креплений из газобетонных блоков класса В5.0 и плотностью D600 производства ЗАО «Кселла-Аэроблок-Центр».

(по договору № 1088/24-43-12 от 16.08.2012 года.)

Москва 2012г.



Москва 2012г.
Министерство регионального развития Российской Федерации
Федеральное агентство по управлению
государственным имуществом
Открытое акционерное общество
"Научно-исследовательский центр "Строительство"
(ОАО "НИЦ "Строительство")
**«Центральный научно-исследовательский институт
строительных конструкций имени В.А. Кучеренко»**

ЦНИИСК им. В.А. Кучеренко



УТВЕРЖДАЮ:

Директор
ЦНИИСК им. В.А. Кучеренко
доктор технических наук

И.И. Ведяков

2012г.

ТЕХНИЧЕСКОЕ ЗАКЛЮЧЕНИЕ

по результатам лабораторных испытаний на вырыв различных видов анкерных креплений из газобетонных блоков класса B5.0 и плотностью D600 производства ЗАО «Кселла-Аэроблок-Центр».

(по договору № 1088/24-43-12 от 16.08.2012 года.)

Руководитель Центра исследований
сейсмостойкости сооружений
к.т.н.

Смирнов
В.И. Смирнов

Заведующий Лабораторией,
к.т.н.

Грановский
А.В. Грановский

Старший научный сотрудник

Доттуев
А.И. Доттуев

Москва 2012г.

ОГЛАВЛЕНИЕ

	стр.
1. Введение	3
2. Описание опытных образцов анкеров	6
3. Методика испытаний анкерных креплений	21
4. Результаты испытаний анкеров на вырыв из ячеистобетонных блоков производства ЗАО «Кселла-Аэроблок-Центр»	24
5. Приложение 1. Графики зависимости «нагрузка-перемещение» для испытанных марок анкеров	32
6. Заключение. Выводы и рекомендации	155
7. Список литературы.	157
7. Приложение 2. Аттестат аккредитации испытательной лаборатории (только в 1-м экз. отчета)	158
8. Приложение 3. Свидетельство (только в 1-м экз. отчета).	161

1. Введение

Настоящий технический отчет составлен по результатам проведенных лабораторных испытаний на вырыв анкеров различных марок, представленных фирмами «FISCHER», «MUNGO», «SORMAT», «GRAVIT», «HILTI», «TERMOCLIP», «EJOT», «ELEMENTA», «BOLT.RU» и «ГАЛЕН», установленных в ячеистобетонные блоки производства ЗАО «Кселла-Аэроблок-Центр».

Испытания проводились в лабораторных условиях ЦНИИСК им. В.А. Кучеренко. Ячеистобетонные блоки были изготовлены на предприятии ЗАО «Кселла-Аэроблок-Центр» в соответствии с ГОСТ 31360-2007 «Изделия стеновые неармированные из ячеистого бетона автоклавного твердения. Технические условия». Предоставленные Заказчиком блоки из ячеистого бетона имели класс по прочности на сжатие В5.0 при плотности D600. Для проведения испытаний на вырыв анкеров указанных выше производителей в лабораторном корпусе Центра исследований сейсмостойкости сооружений ЦНИИСК им. В.А.Кучеренко был смонтирован фрагмент стены из ячеистобетонных блоков (рис. 1.1).

Установку анкеров в стену из ячеистобетонных блоков осуществляли непосредственно специалисты фирм производителей анкерного крепежа. Кроме этого, испытания одного - двух анкеров из каждой представленной серии образцов - анкеров производились непосредственно в присутствии представителей фирм - изготовителей анкерного крепежа.

Испытания анкеров проводились в соответствии с требованиями действующего Стандарта на испытания анкеров, разработанного специалистами ФГУ «ФЦС» с участием ЦНИИСК им. В.А. Кучеренко [1].

Цель работы:

- экспериментальное определение несущей способности на вырыв анкеров, указанных выше фирм, на вырыв из ячеистобетонных

блоков, изготовленных из одной партии ячеистого бетона на предприятии ЗАО «Кселла-Аэроблок-Центр».

Необходимость проведения таких исследований обусловлена тем, что впервые в отечественной и зарубежной практике ведущие производители анкерного крепежа в мире участвуют в испытаниях анкеров на вырыв из стены, смонтированной из ячеистобетонных блоков из одной партии изделий, изготовленных на одном из специализированном современном предприятии ЗАО «Кселла-Аэроблок-Центр». В соответствии с документами о качестве [2], представленными Заказчиком, и выполненных лабораторных выборочных испытаний кубов, выпиленных из ячеистобетонных блоков, бетон образцов имеет следующие характеристики:

- класс бетона по прочности на сжатие - B5.0;
- плотность ячеистого бетона $\approx D600$;
- коэффициент вариации - 6.



Рис. 1.1 Общий вид фрагмента стены из ячеистобетонных блоков (габариты стены $L \times B \times H = 3.25 \times 0.3 \times 2.0\text{м}$).

2. Описание опытных образцов анкеров.

Из доставленной с ЗАО «Кселла-Аэроблок-Центр» в ЦНИИСК им. В.А. Кучеренко партии ячеистобетонных блоков размером 625×300×250(Н) мм была смонтирована стена длиной 3.25м и высотой 2.0м (рис. 1.1).

Для установки в ячеистобетонные блоки использовались анкеры следующих фирм:

FISCHER (рис. 2.1, 2.2)

1. Анкер марки FUR 10×100:

- *рабочий орган* – шуруп Ø 7мм и длиной 105мм с оцинкованным покрытием серого цвета;
- *обойма в виде пластикового дюбеля* Ø 10мм и длиной 100мм.

2. Анкер марки SXR 10×100:

- *рабочий орган* – шуруп Ø 7мм и длиной 105мм с оцинкованным покрытием серого цвета;
- *обойма в виде пластикового дюбеля* Ø 10мм и длиной 100мм.

3. Анкер марки SXS 10×100

- *рабочий орган* – шуруп Ø 7мм и длиной 105мм с горячооцинкованным покрытием;
- *обойма в виде пластикового дюбеля* Ø 10мм и длиной 100мм.

4. Химический анкер марки FIS V 360 S:

- *рабочий орган* – резьбовая шпилька Ø 10×120, глубина заделки 95 мм;
- *инъекционный состав* – FIS V 360 S.

5. Химический анкер марки FIS V 360 S с коническим сверлом:

- *рабочий орган* – резьбовая шпилька Ø 10×120, глубина заделки 95 мм;
- *инъекционный состав* – FIS V 360 S;
- *специальное сверло* – конусное сверло РВВ.

MUNGO (рис.2.3)

1. Анкер марки MBK 10×100:

- рабочий орган – шуруп \varnothing 7 мм и длиной 107 мм с оцинкованным покрытием;
- обойма в виде пластикового дюбеля \varnothing 10 мм и длиной 100 мм.

2. Анкер марки MQL K 10×100:

- рабочий орган – шуруп \varnothing 7 мм и длиной 107 мм с оцинкованным покрытием;
- обойма в виде пластикового дюбеля \varnothing 10 мм и длиной 100 мм.

3. Химический анкер марки MIT-SP:

- рабочий орган – резьбовая шпилька \varnothing 10×170, глубина заделки 150 мм;
- инъекционный состав – MIT-SP.

SORMAT (рис. 2.4)

1. Анкер марки S-UF 10×115:

- рабочий орган – шуруп \varnothing 7мм и длиной 120мм из горячоцинкованной стали;
- обойма в виде пластикового дюбеля \varnothing 10мм и длиной 115мм.

2. Химический анкер марки ITH - 380P:

- рабочий орган – анкерная шпилька \varnothing 10мм и длиной 200мм с горячоцинкованным покрытием;
- ITH - 380P смола на основе полиэстера, без стирола;
- глубина анкеровки - 150мм.

GRAVIT (рис. 2.5).

1. Анкер марки *GRAVIT DF-B 10×115*:

- рабочий орган – шуруп Ø 7мм и длиной 120мм из горячекатаной стали;
- обойма в виде пластикового дюбеля Ø 10мм и длиной 115мм.

2. Химический анкер марки *GRAVIT GHA-P 410 "ALTAY-ECO"*:

- рабочий орган – анкерная шпилька Ø10мм и длиной 200мм с горячекатанным покрытием;
- GRAVIT GHA-P 410 "ALTAY-ECO" смола на основе полиэстера, без стирола;
- глубина анкеровки - 150мм.

HILTI (рис.2.6)

1. Анкер марки *HRD 10×100*:

- рабочий орган – шуруп Ø 7 мм и длиной 107 мм с оцинкованным покрытием;
- обойма в виде пластикового дюбеля Ø 10 мм и длиной 100 мм.

TERMOCLIP (рис.2.7):

1. Анкер марки *СТЕНА V2 10x100*:

- рабочий орган – шуруп Ø 7 мм и длиной 107 мм с горячекатанным покрытием;
- обойма в виде пластикового дюбеля Ø 10 мм и длиной 100 мм.

ELEMENTA (рис.2.8)

1. Анкер марки *EFA FH 10×100*

- рабочий орган – шуруп Ø 7 мм и длиной 107 мм с горячекатанным покрытием;

- обойма в виде пластикового дюбеля Ø 10 мм и длиной 100 мм.

2. Анкер марки EFA FCH 10×100:

- рабочий орган – шуруп Ø 7 мм и длиной 107 мм с горячеоцинкованным покрытием;
- обойма в виде пластикового дюбеля Ø 10 мм и длиной 100 мм.

EJOT (рис. 2.9):

1. Анкер марки SDF KB 10×100:

- рабочий орган – шуруп Ø 7 мм и длиной 107 мм с оцинкованным покрытием;
- обойма в виде пластикового дюбеля Ø 10 мм и длиной 100 мм.

2. Анкер марки SDP KB 10×100:

- рабочий орган – шуруп Ø 7 мм и длиной 107 мм с оцинкованным покрытием;
- обойма в виде пластикового дюбеля Ø 10 мм и длиной 100 мм.

BOLT.RU (рис. 2.10)

1. Анкер марки T 88 10×100:

- рабочий орган – шуруп Ø 7 мм и длиной 107 мм с оцинкованным покрытием;
- обойма в виде пластикового дюбеля Ø 10 мм и длиной 100 мм.

2. Химический анкер марки EPCON C8:

- рабочий орган – анкерная шпилька Ø12мм и длиной 160мм с оцинкованным покрытием;
- EPCON C8 смола на основе полиэстера, без стирола;
- глубина анкеровки - 120мм.

а)



б)



в)



Рис. 2.1 Общий вид фасадных анкеров *FUR 10×100*(а), *SXR 10×100*(б) и *SXS 10×100* (в) фирмы «FISCHER».

а)



б)



Рис. 2.2 Анкер марки FIS V 360 S 10×120 с L_{анк}=95 мм «FISCHER» с коническим сверлом РВВ.

а)



б)



в)



Рис. 2.3 Общий вид фасадных анкеров *MBK 10×100*(а), *MQL K 10×100* (б) и химического анкера *MIT-SP* фирмы «MUNGO».

а)



б)



Рис. 2.4 Общий вид фасадного дюбеля *S-UF 10×115*(а) и химического анкера *ITH - 380P* (б) фирмы «SORMAT».



Рис. 2.6 Общий вид фасадного анкера *HRD 10×100* фирмы «HILTI».



Рис. 2.7 Общий вид фасадного анкера *CTEHA V2 10x100* фирмы «TERMOCLIP».

а)

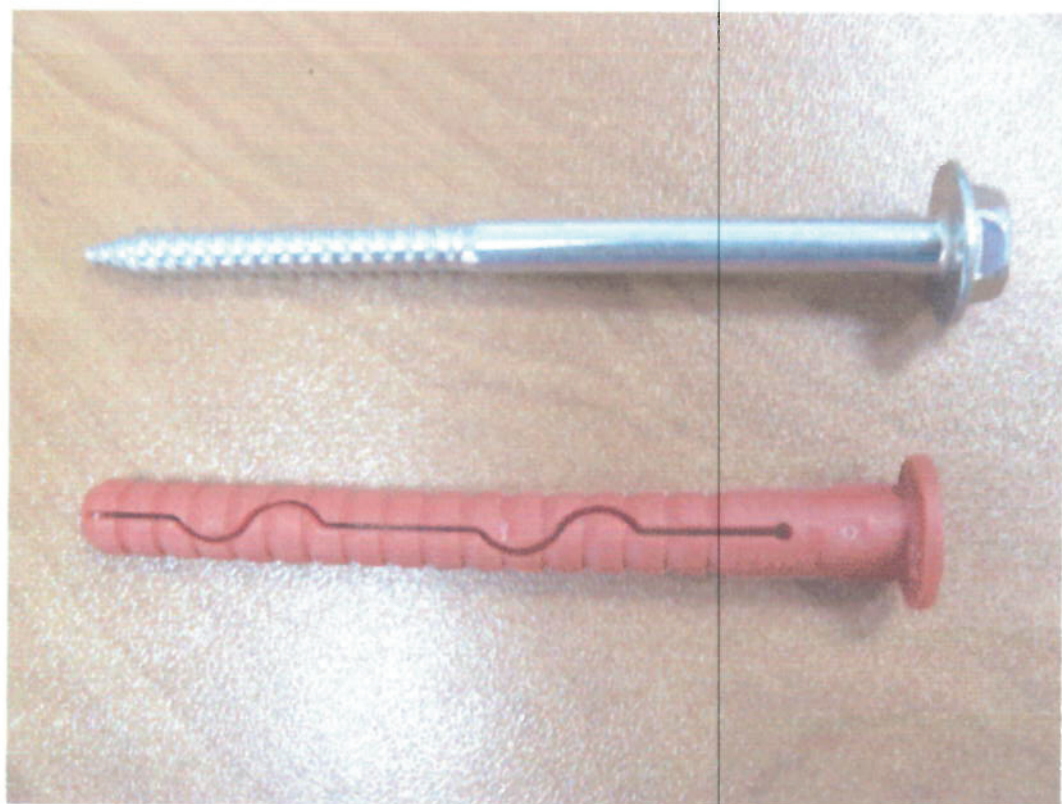


б)



Рис. 2.8 Общий вид фасадных анкеров *EFA FH 10×100*(а) и *EFA FCH 10×100*(б) фирмы «ELEMENTA».

а)



б)



Рис. 2.9 Общий вид фасадных анкеров *SDF KB 10×100*(а) и *SDP KB 10×100*(б) фирмы «ЕJOT».

а)



б)



в)



Рис. 2.10 Общий вид анкеров *T 88 10×100* (а), *EPCON C8* (б) и *C-HIX PLUS* (в) фирмы «BOLT.RU».



Рис. 2.11 Общий вид анкера *BPA-300-6-Г* фирмы «ГАЛЕН».

3. Методика испытаний анкерных креплений.

Испытания анкеров проводились по двум методикам, приведенным в Стандарте [1]:

- путем непрерывного нагружения анкера до момента разрушения анкерного узла. Время нагружения 2-3 минуты с замером деформации анкера на каждом шаге нагружения;
- по методике ЦНИИСК им. В.А. Кучеренко путем пошагового нагружения анкера с выдержкой 3-5 минут на каждом шаге нагружения и замером величин перемещений анкера сразу после нагружения образца и после выдержки анкера под нагрузкой с последующей разгрузкой на каждом шаге нагружения для определения упругой зоны работы анкера.

Испытания указанных выше марок анкеров на вырыв проводились специалистами ЦНИИСК им. В.А. Кучеренко.

При проведении испытаний анкеров на вырыв из стекловолокна использовался гидравлический домкрат HYDRAJAWS NH237 (сертификат №24-3 от 23.08.2004) мощностью 25 кН (рис. 3.1). При испытаниях адаптер (захват головки анкера) крепился к ручному гидравлическому домкрату. Нагрузка на головку анкеров подавалась ступенями, составляющими $\approx 1/10-1/15$ от предполагаемой разрушающей нагрузки (нагрузки, при которой происходил вырыв анкера из стекловолокна).

При испытаниях анкеров на вырыв из стекловолокна по первой методике нагружение анкера осуществлялось пошагово с замером на каждом шаге нагружения деформации анкера с помощью индикатора часового типа (точность 0.01мм). За разрушающую (пределную) принималась нагрузка, при которой увеличение деформации анкера происходило при установленном на данном этапе нагружения усилии на анкер.

При первой схеме натурных испытаний согласно указаниям СТО 44416204-010-2010 [1] за расчетное усилие вырыва анкеров принималась нагрузка, определяемая в соответствии с рекомендациями [1] по формуле:

$$R = N(1-t \times v)/m.$$

Для фасадных анкеров с полиамидным дюбелем коэффициент $m=5$, для химических анкеров коэффициент $m=3$, остальные коэффициенты определялись по той же методике.

Суть второй методики испытаний, включенной в Стандарт [1] и подробно изложенной в [3], заключается в следующем:

- на каждом этапе нагружения величина усилия на анкер составляла $N_{i+1} = N_i + \Delta N$, где N_i - величина усилия на анкер на i -ом шаге нагружения; ΔN - величина прироста нагрузки на $i+1$ шаге нагружения, составляющая $1/10 \times N_{\text{разр}}$.

На каждом этапе нагружения дважды (после увеличения нагрузки и после ее выдержки) производится замер перемещения головки анкера;

- после завершения каждого этапа нагружения анкера производилась его разгрузка и с помощью измерительных приборов определялась величина остаточной деформации анкера. Таким способом устанавливалась реальная область упругой работы анкера и устанавливается величина расчетной нагрузки вырыва. По результатам исследований и согласно СТО [1] предельное значение величины остаточной деформации анкера, определяющей область упругой работы, принималось значение равное $\Delta=0.1\text{мм}$.



Рис. 3.1 Общий вид домкратной установки для испытаний анкеров на вырыв.

4. Результаты испытаний анкеров на вырыв из ячеистобетонных блоков производства ЗАО «Кселла-Аэроблок-Центр».

В таблице 4.1 даны результаты испытаний анкеров указанных выше фирм на действие нагрузки приложенной вдоль оси анкера (вырыв). Ниже приведены результаты расчета анкеров на вырыв по первой методике СТО [1].

«FISCHER»

- FUR 10×100 (бур Ø10) - $N_{расч.}=0.78$ кН (78 кгс) при $m=5.0$, $v=0.03$ и $S=0.17$;
- FUR 10×100 (пробойник Ø 10) - $N_{расч.}=1.14$ кН (114 кгс) при $m=5.0$, $v=0.03$ и $S=0.18$;
- SXR 10×100 (бур Ø10) - $N_{расч.}=0.64$ кН (64 кгс) при $m=5.0$, $v=0.04$ и $S=0.16$;
- SXR 10×100 (пробойник Ø10) - $N_{расч.}=0.68$ кН (68 кгс) при $m=5.0$, $v=0.03$ и $S=0.13$;
- SXS 10×100 (бур Ø10) - $N_{расч.}=0.85$ кН (85 кгс) при $m=5.0$, $v=0.04$ и $S=0.21$;
- SXS 10×100 (пробойник Ø10) - $N_{расч.}=0.91$ кН (91 кгс) при $m=5.0$, $v=0.03$ и $S=0.19$;
- FIS V 360 S (бур Ø12) - $N_{расч.}=1.23$ кН (123 кгс) при $m=3.0$, $v=0.04$ и $S=0.18$;
- FIS V 360 S (коническое сверло) - $N_{расч.}=4.57$ кН (123 кгс) при $m=3.0$, $v=0.01$ и $S=0.18$;

«SORMAT»

- S-UF 10×115 (бур Ø9) - $N_{\text{расч.}}=1.04 \text{ кН}$ (104 кгс) при $m=5.0$, $v=0.04$ и $S=0.27$;
- ITH 380 P (бур Ø12) - $N_{\text{расч.}}=2.0 \text{ кН}$ (200 кгс) при $m=3.0$, $v=0.04$ и $S=0.32$;

«GRAVIT»

- GRAVIT DF-B 10×115 (бур Ø9) - $N_{\text{расч.}}=1.14 \text{ кН}$ (114 кгс) при $m=5.0$, $v=0.02$ и $S=0.13$;
- GRAVIT GHA-P 410 "ALTAY-ECO" (бур Ø12) - $N_{\text{расч.}}=2.0 \text{ кН}$ (200 кгс) при $m=3.0$, $v=0.04$ и $S=0.34$;

«HILTI»

- HRD 10x100 (бур Ø10) - $N_{\text{расч.}}=0.83 \text{ кН}$ (83 кгс) при $m=5.0$, $v=0.04$ и $S=0.19$;

«TERMOCLIP»

- СТЕНА V2 10x100 (бур Ø10) - $N_{\text{расч.}}=0.92 \text{ кН}$ (92 кгс) при $m=5.0$, $v=0.05$ и $S=0.28$;

«MUNGO»

- MQL K 10×100 (бур Ø10) - $N_{\text{расч.}}=0.87 \text{ кН}$ (87 кгс) при $m=5.0$, $v=0.03$ и $S=0.14$;
- MBK 10×100 (бур Ø9) - $N_{\text{расч.}}=1.12 \text{ кН}$ (112 кгс) при $m=5.0$, $v=0.03$ и $S=0.2$;
- MBK 10×100 (пробойник Ø10) - $N_{\text{расч.}}=1.22 \text{ кН}$ (122 кгс) при $m=5.0$, $v=0.02$ и $S=0.18$;
- MIT SP 10×100 (бур Ø12) - $N_{\text{расч.}}=2.9 \text{ кН}$ (290 кгс) при $m=3.0$, $v=0.01$ и $S=0.12$;

«ELEMENTA»

- EFA FH 10×100 (бур Ø10) - $N_{\text{расч.}}=0.96$ кН (96 кгс) при $m=5.0$, $v=0.016$ и $S=0.08$;
- EFA FH 10×100 (пробойник Ø10) - $N_{\text{расч.}}=1.14$ кН (114 кгс) при $m=5.0$, $v=0.02$ и $S=0.16$;
- EFA FCH 10×100 (бур Ø10) - $N_{\text{расч.}}=0.97$ кН (97 кгс) при $m=5.0$, $v=0.02$ и $S=0.14$;
- EFA FCH 10×100 (пробойник Ø10) - $N_{\text{расч.}}=1.24$ кН (124 кгс) при $m=5.0$, $v=0.01$ и $S=0.1$;

«EJOT»

- SDF KB 10×100 (бур Ø10) - $N_{\text{расч.}}=0.99$ кН (99 кгс) при $m=5.0$, $v=0.03$ и $S=0.17$;
- SDP KB 10×100 (бур Ø10) - $N_{\text{расч.}}=0.91$ кН (91 кгс) при $m=5.0$, $v=0.02$ и $S=0.15$;

«BOLT.RU»

- T 88 10×100 (бур Ø10) - $N_{\text{расч.}}=0.61$ кН (61 кгс) при $m=5.0$, $v=0.06$ и $S=0.25$;
- EPCON C8 (бур Ø12) - $N_{\text{расч.}}=3.49$ кН (349 кгс) при $m=3.0$, $v=0.01$ и $S=0.12$;
- C-HIX PLUS (бур Ø12) - $N_{\text{расч.}}=2.51$ кН (251 кгс) при $m=3.0$, $v=0.01$ и $S=0.12$;

«ГАЛЕН»

- БПА-300-6-Г (бур Ø10) - $N_{\text{расч.}}=1.23$ кН (123 кгс) при $m=5.0$, $v=0.022$ и $S=0.15$;

В приложении 1 к настоящему отчету представлены графики зависимости «нагрузка-перемещение» построенные (по 4 графика на каждую марку анкера) по данным испытаний по двум методикам СТО [1] анкеров на вырыв из ячеистобетонных блоков.

Таблица 4.1

Результаты испытаний анкеров на вырыв из ячеистобетонных блоков производства ЗАО «Ксепла-Аэроблок-Центр» (класс бетона В5.0, плотность D600).

Продолжение таблицы 4.1

	1	2	3	4	5	6	7	8	9	10	11	12	13	14	15	16
FISCHER	FIS V 360 S 10x120 (хим. анкер)	1	-	-	-	-	-	4.5	-	-	-	-	-	-	-	-
		2	-	-	-	-	-	4.5	-	-	-	-	-	-	-	-
		3	95	-	-	-	-	4.3	-	-	-	-	-	-	-	1.3
		4	-	-	-	-	-	4.2	-	-	-	-	-	-	-	-
		5	-	-	-	-	-	4.0	-	-	-	-	-	-	-	-
		6	-	-	-	-	-	4.3	-	-	-	-	-	-	-	-
SORMAT	S-UF 10x115 (хим. анкер)	1	-	-	-	-	-	14.2	-	-	-	-	-	-	-	-
		2	-	-	-	-	-	14.5	-	-	-	-	-	-	-	-
		3	100	-	-	-	-	14.0	-	-	-	-	-	-	-	5.0
		4	-	-	-	-	-	14.5	-	-	-	-	-	-	-	-
		5	-	-	-	-	-	14.3	-	-	-	-	-	-	-	-
		6	-	-	-	-	-	14.3	-	-	-	-	-	-	-	-
GRAVIT	ПН-380 Р (хим. анкер)	1	-	6.0	-	-	-	-	-	-	-	-	-	-	-	-
		2	-	6.5	-	-	-	-	-	-	-	-	-	-	-	-
		3	150	-	6.2	-	-	-	-	-	-	-	-	-	-	-
		4	-	5.7	-	-	-	-	-	-	-	-	-	-	-	-
		5	-	6.0	-	-	-	-	-	-	-	-	-	-	-	-
		6	-	5.9	-	-	-	-	-	-	-	-	-	-	-	-
GRAVIT	GRAVIT DF-B 10x115	1	-	-	-	-	-	7.0	-	-	-	-	-	-	-	-
		2	-	-	-	-	-	7.5	-	-	-	-	-	-	-	-
		3	100	-	-	-	-	6.5	-	-	-	-	-	-	-	2.0
		4	-	-	-	-	-	7.0	-	-	-	-	-	-	-	-
		5	-	-	-	-	-	7.2	-	-	-	-	-	-	-	-
		6	-	-	-	-	-	7.0	-	-	-	-	-	-	-	-
GRAVIT	GRAVIT GHA-P 410 "ALTAY-ECO" (хим. анкер)	1	-	6.0	-	-	-	-	-	-	-	-	-	-	-	-
		2	-	6.2	-	-	-	-	-	-	-	-	-	-	-	-
		3	150	-	6.3	-	-	-	-	-	-	-	-	-	-	-
		4	-	6.2	-	-	-	-	-	-	-	-	-	-	-	-
		5	-	6.0	-	-	-	-	-	-	-	-	-	-	-	-
		6	-	6.0	-	-	-	-	-	-	-	-	-	-	-	-

Продолжение таблицы 4.1

Продолжение таблицы 4.1

Продолжение таблицы 4.1

Графики зависимости «нагрузка-перемещение» для испытанных марок анкеров.

Анкера фирмы «FISCHER»

Образец №1

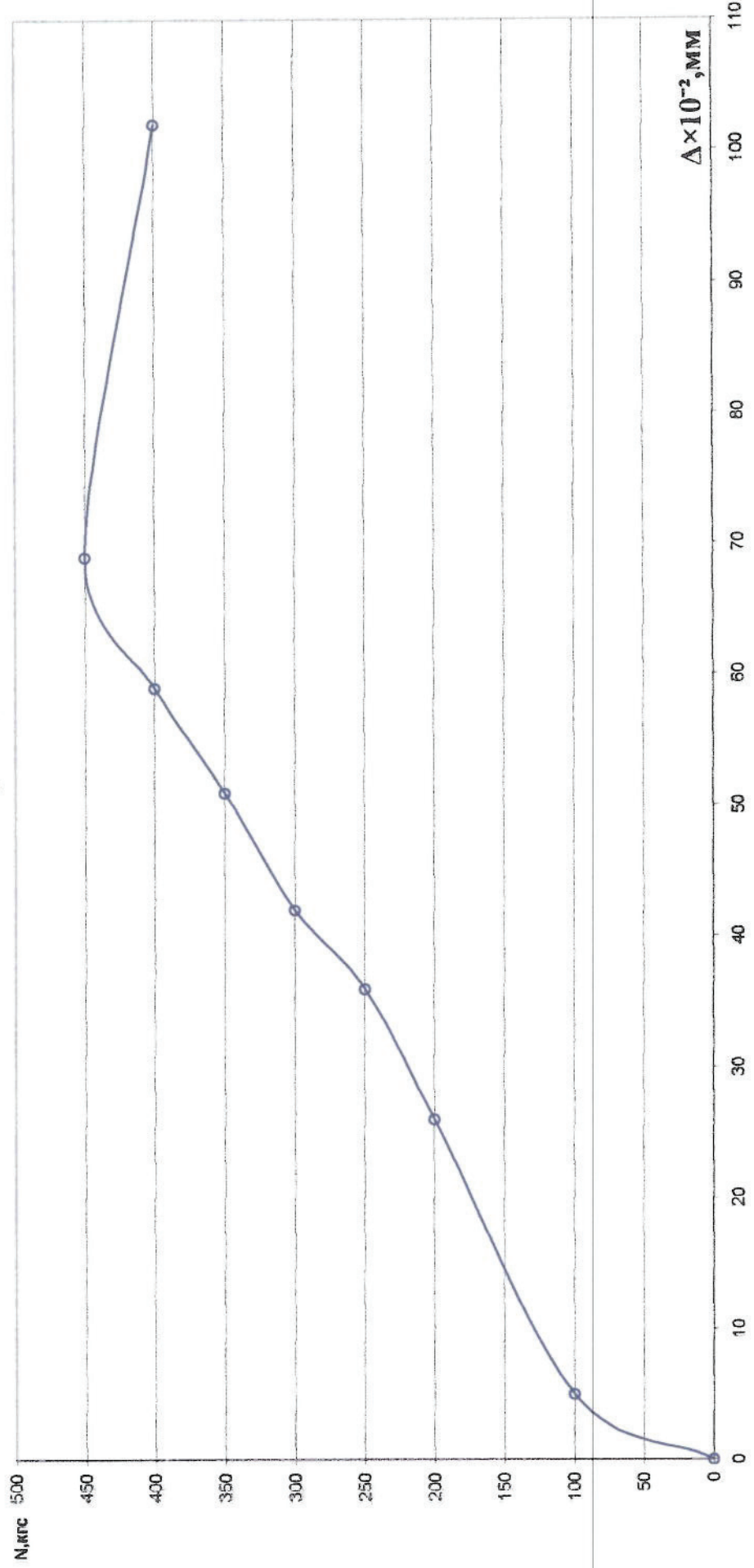


Рис. п.1.1 График зависимости "нагрузка-перемещение" для фасадных анкеров марки FUR 10×100 (FISCHER)
(отверстие выполнено сверлением буром Ø10).

Образец №2

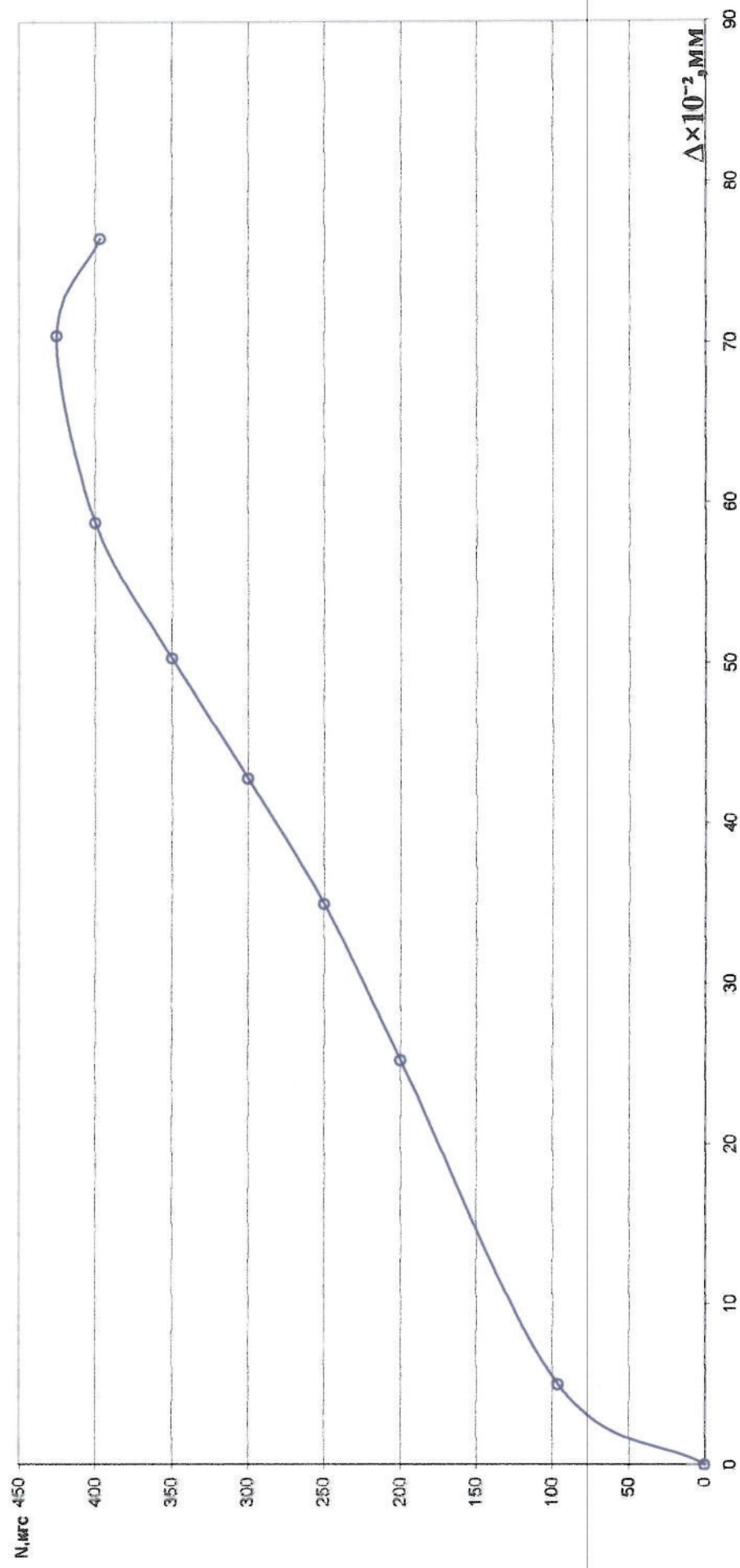


Рис. п.1.2 График зависимости "нагрузка-перемещение" для фасадных анкеров марки FUR 10×100 (FISCHER)
(отверстие выполнено сверлением буром Ø10).

Образец №1

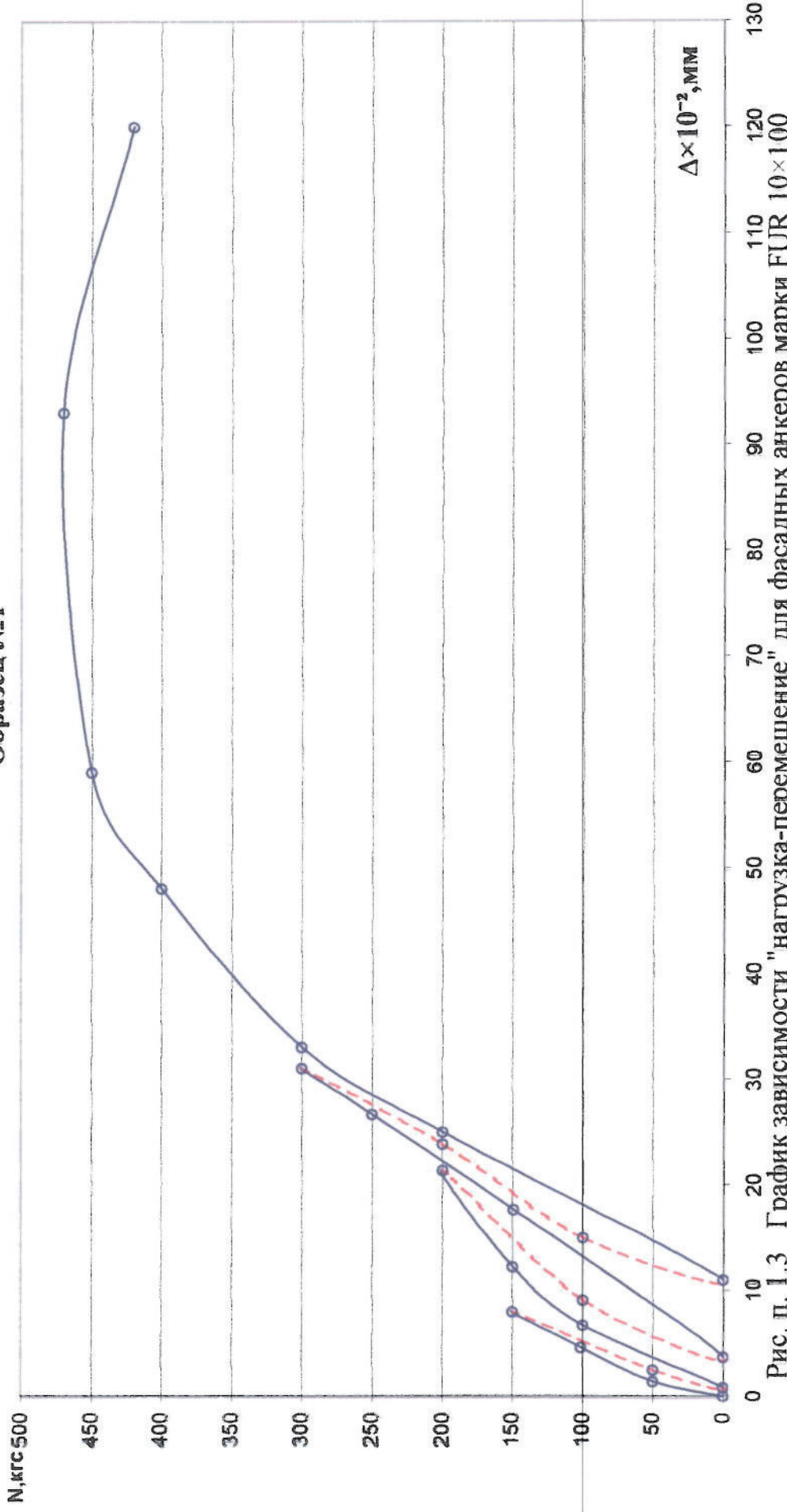


Рис. п. 1.3 График зависимости "нагрузка-перемещение" для фасадных анкеров марки FUR 10×100 (FISCHER) (отверстие выполнено сверлением буром Ø10).

Образец №2

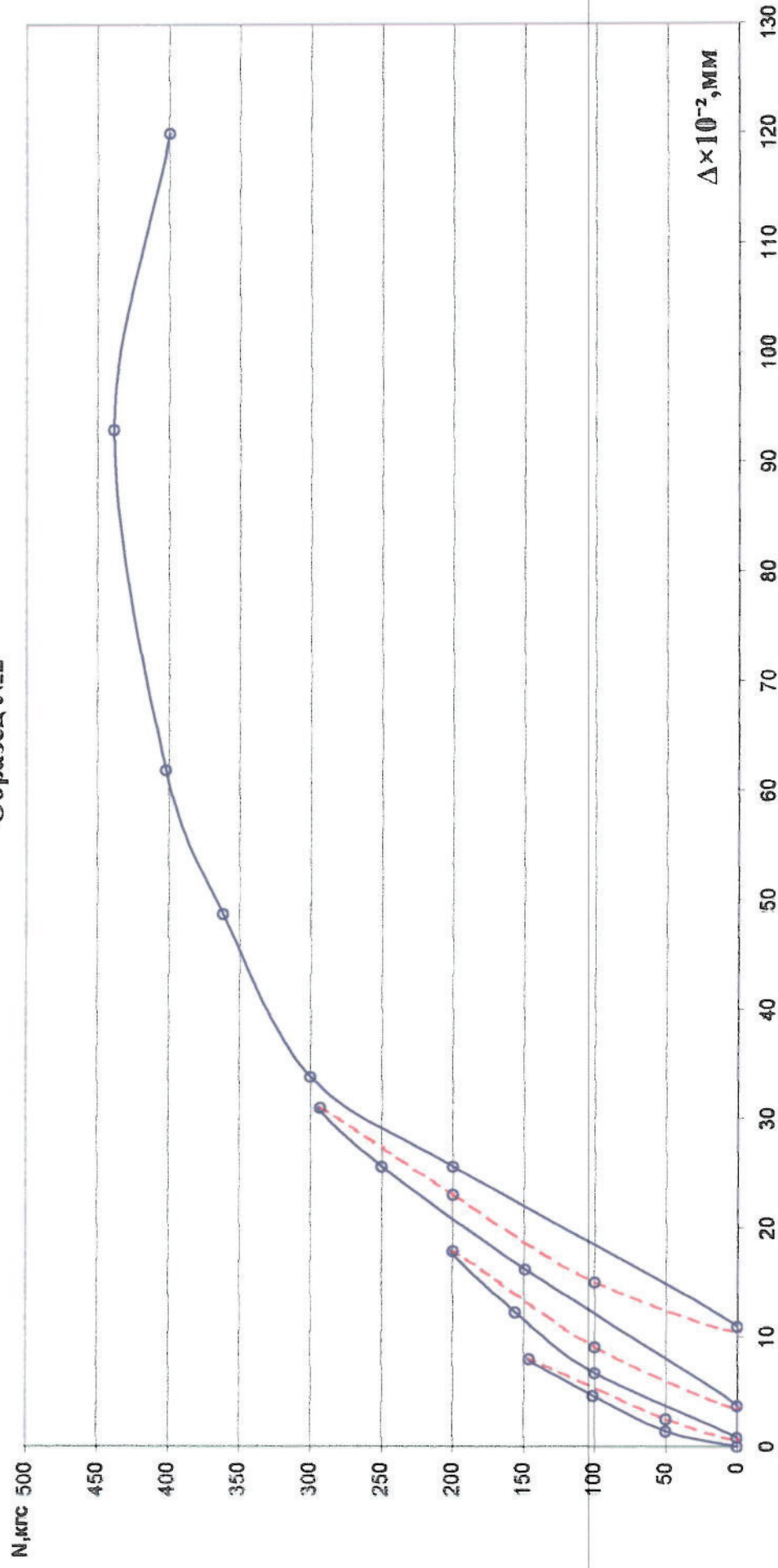


Рис. п.1.4 График зависимости "нагрузка-перемещение" для фасадных анкеров марки FUR 10×100 (FISCHER) (отверстие выполнено сверлением буром Ø10).

Образец №1

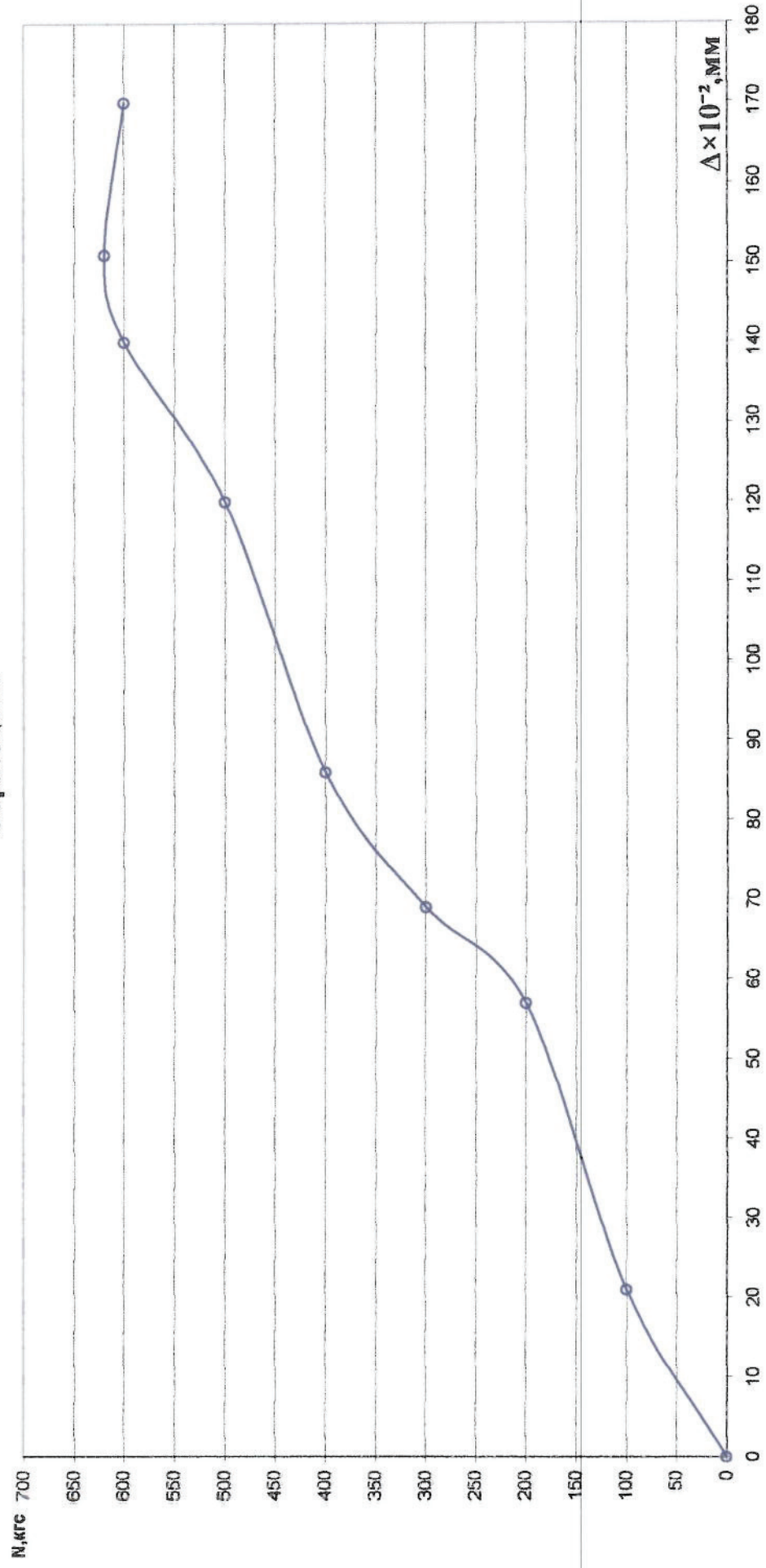


Рис. п. 1.5 График зависимости "нагрузка-перемещение" для фасадных анкеров марки FUR 10×100 (FISCHER)
(отверстие выполнено пробойником Ø10).

Образец №2

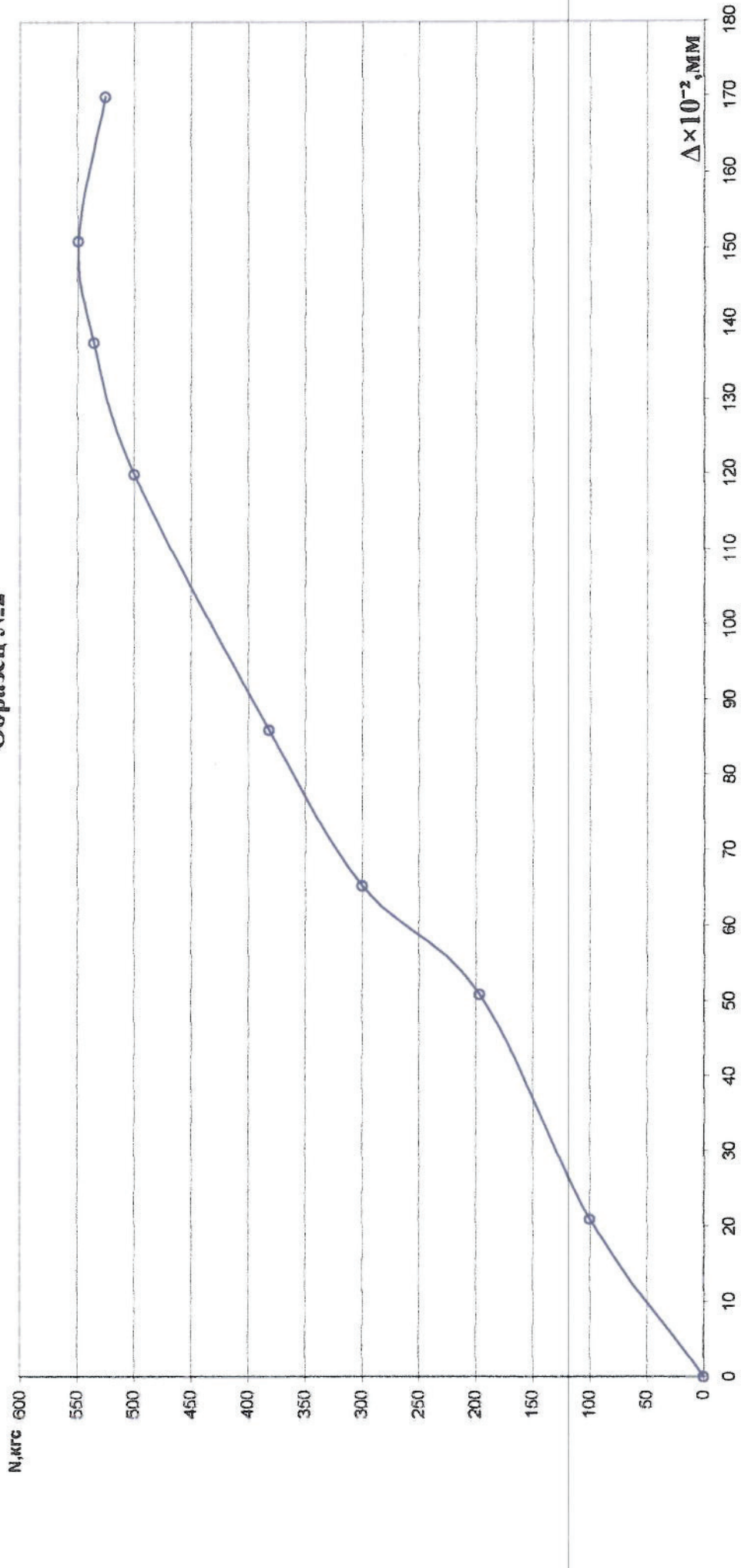


Рис. II.1.6 График зависимости "нагрузка-перемещение" для фасадных анкеров марки FUR 10×100 (FISCHER)
(отверстие выполнено пробойником Ø10).

Образец №1

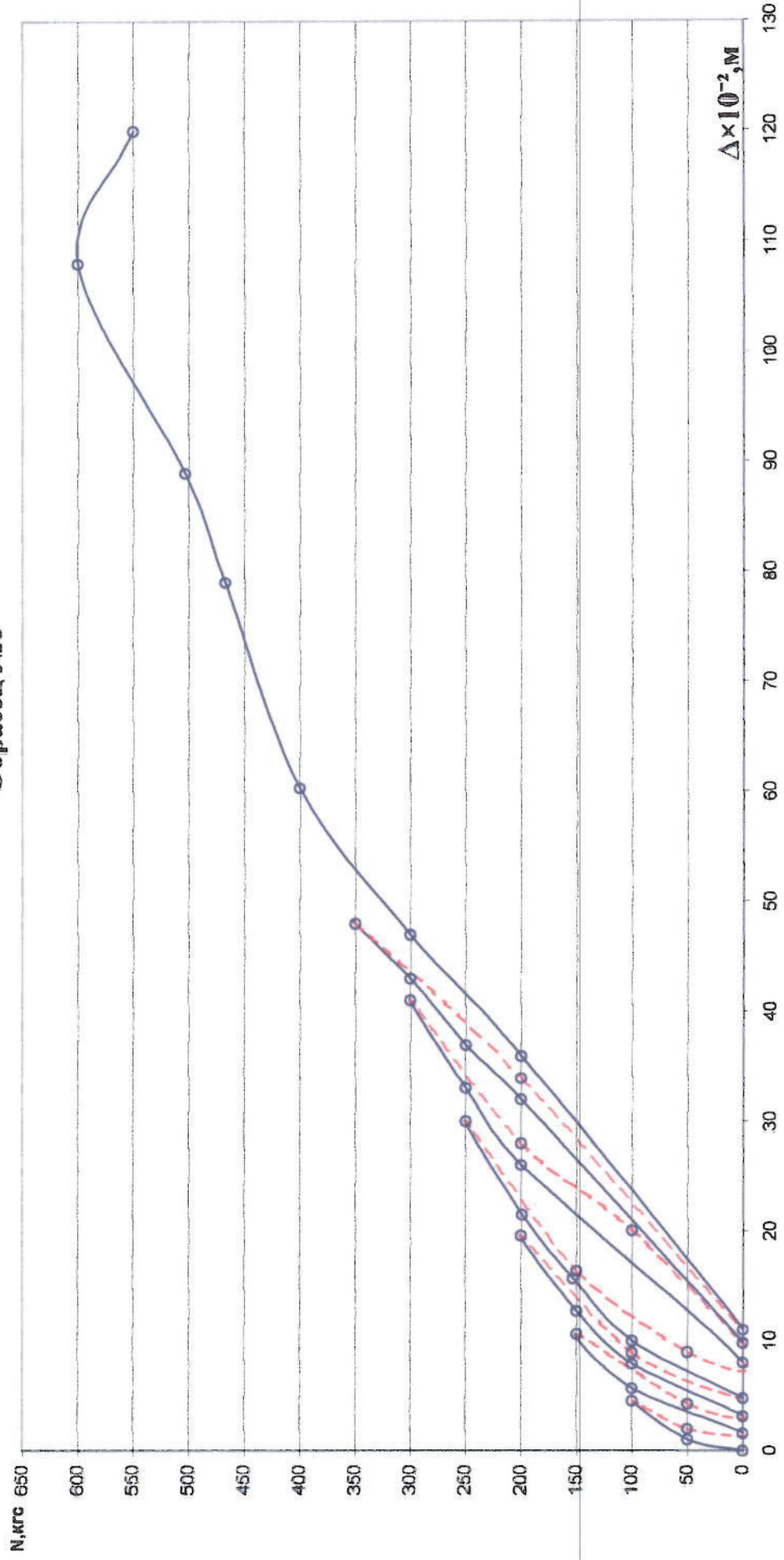


Рис. п. 1.7 График зависимости "нагрузка-перемещение" для фасадных анкеров марки FUR 10×100 (FISCHER)
(отверстие выполнено пробойником Ø10).

Образец №2

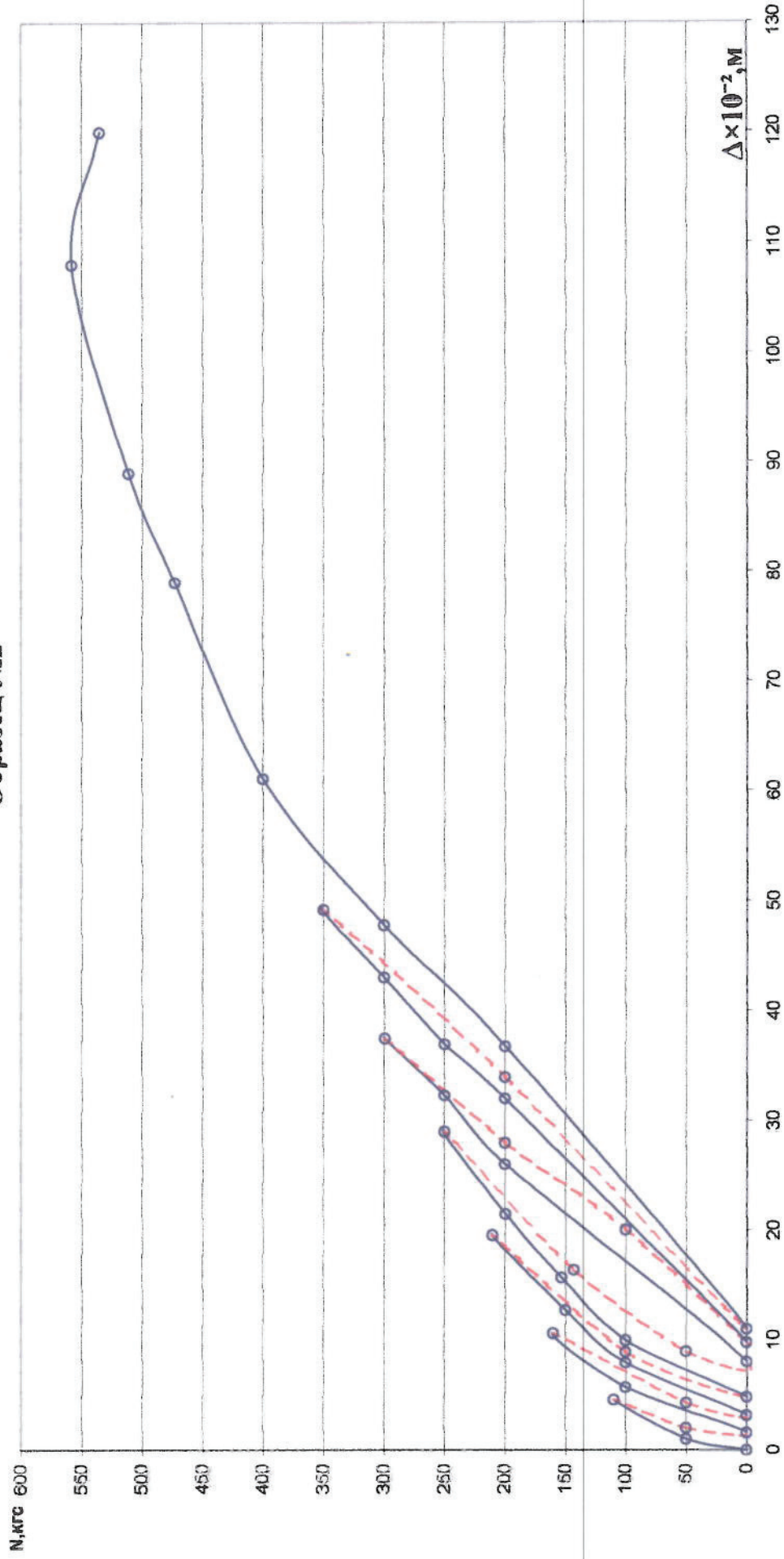


Рис. II.1.8 График зависимости "нагрузка-перемещение" для фасадных анкеров марки FUR 10×100 (FISCHER)
(отверстие выполнено пробойником Ø10).

Образец №1

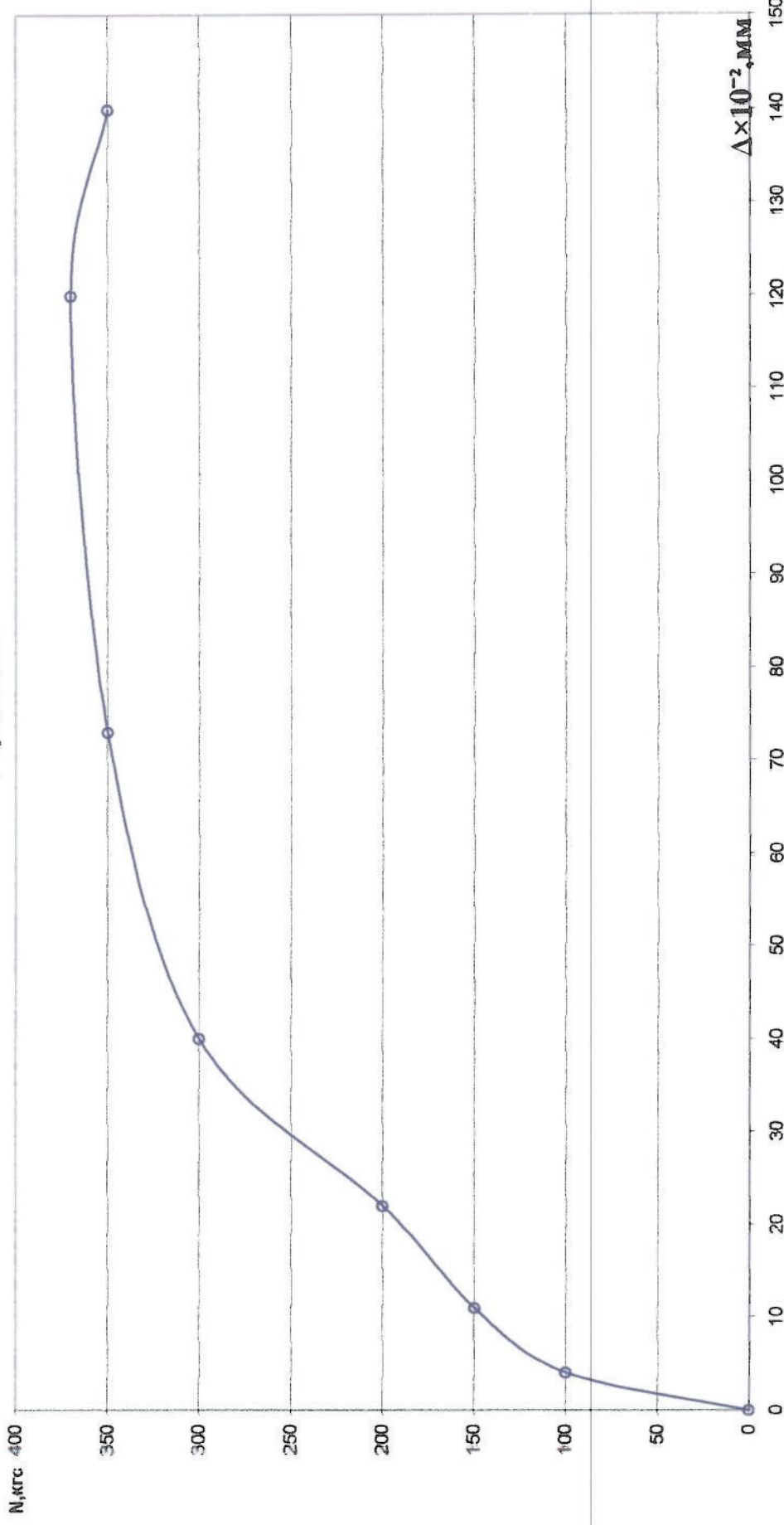


Рис. п. 1.9 График зависимости "нагрузка-перемещение" для фасадных анкеров марки SXR 10×100 (FISCHER)
(отверстие выполнено пробойником Ø10).

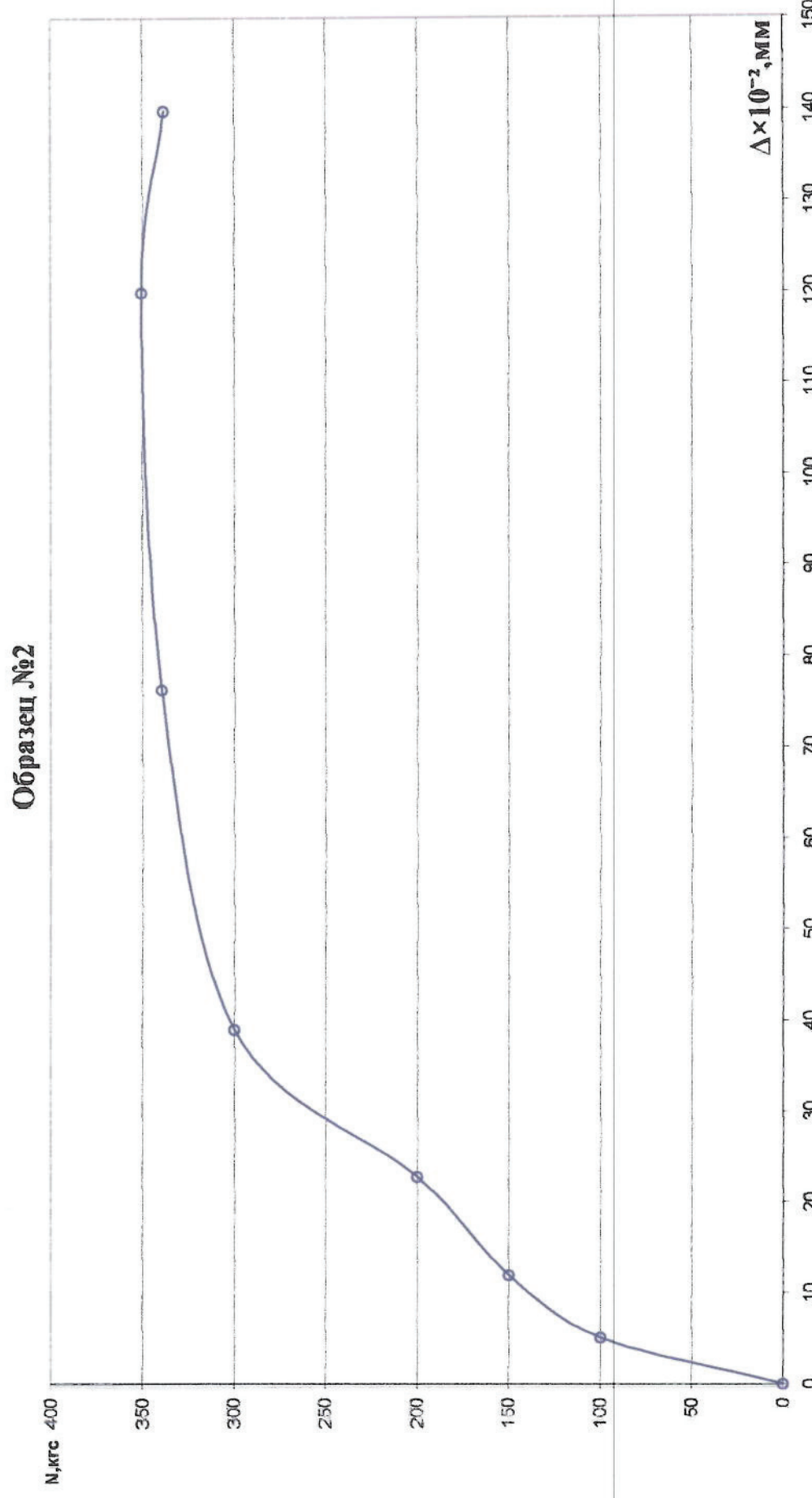


Рис. п. 1.10 График зависимости "нагрузка-перемещение" для фасадных анкеров марки SXR 10×100 (FISCHER) (отверстие выполнено пробойником Ø10).

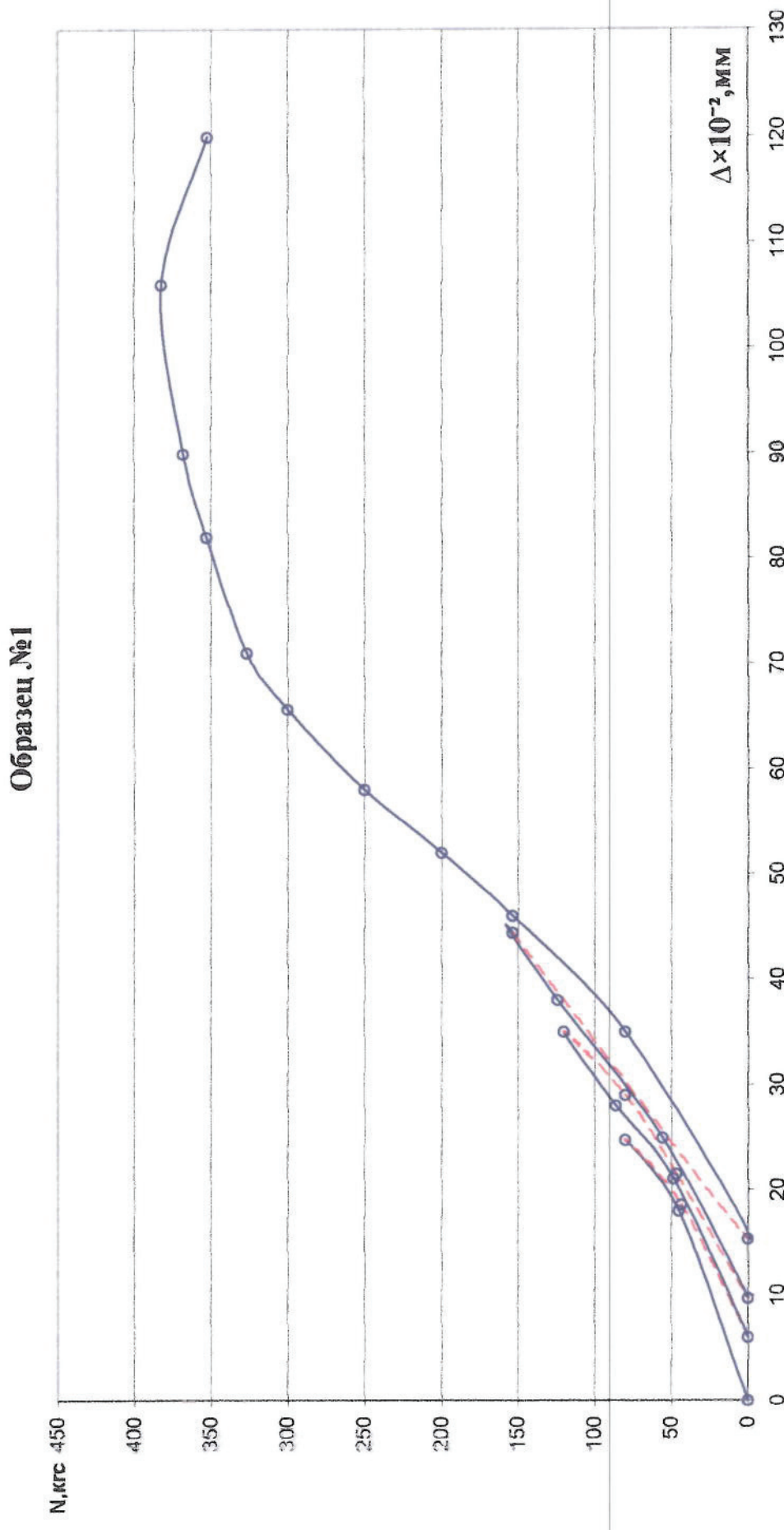


Рис. п. 1.11 График зависимости "нагрузка-перемещение" для фасадных анкеров марки SXR 10×100 (FISCHER) (отверстие выполнено пробойником Ø10).

Образец №2

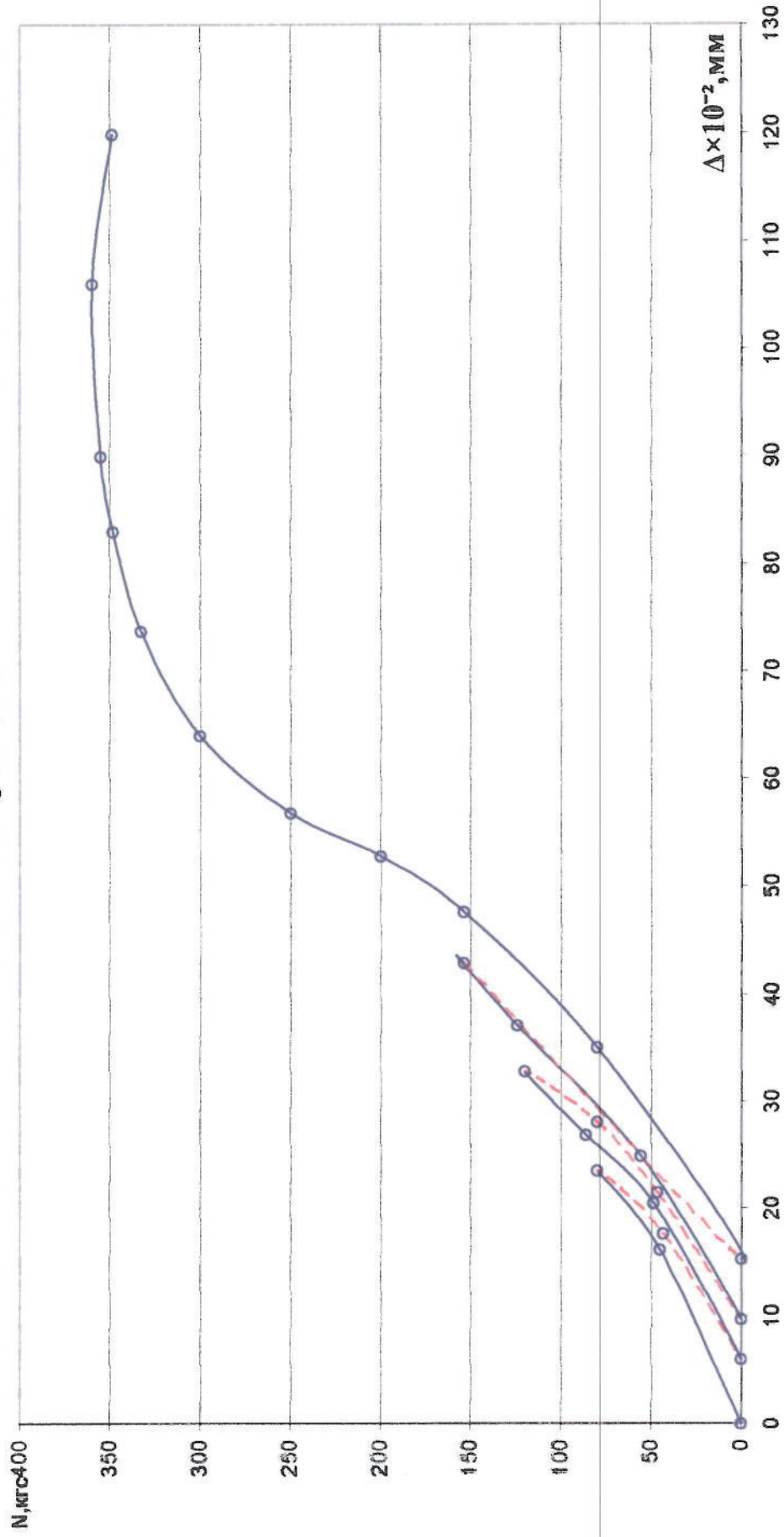


Рис. п. 1.12 График зависимости "нагрузка-перемещение" для фасадных анкеров марки SXR 10×100 (FISCHER)
(отверстие выполнено пробойником Ø10).

Образец №1

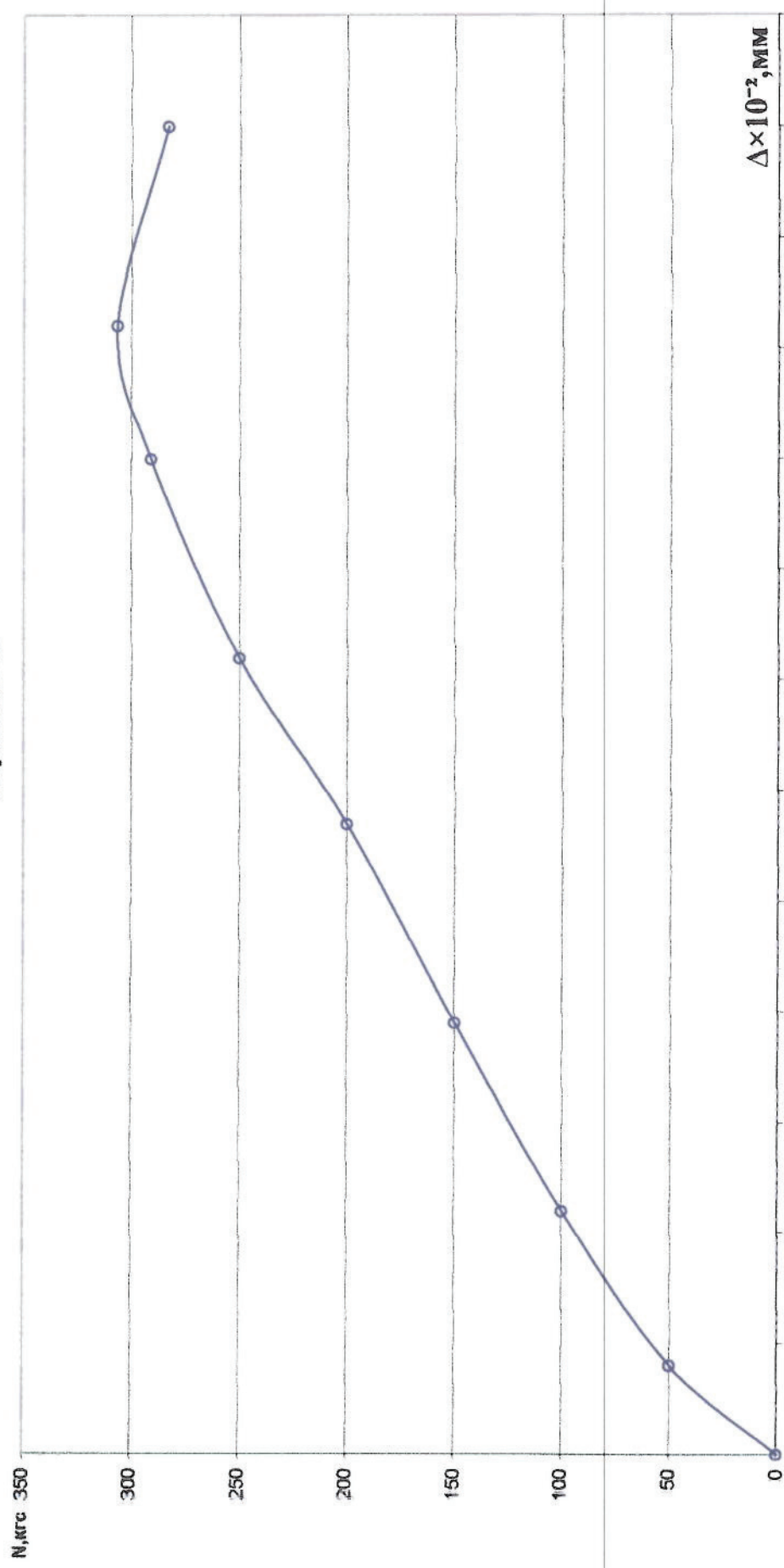


Рис. п. 1.13 График зависимости "нагрузка-перемещение" для фасадных анкеров марки SXR 10×100 (FISCHER)
(отверстие выполнено сверлением буром Ø10).

Образец №2

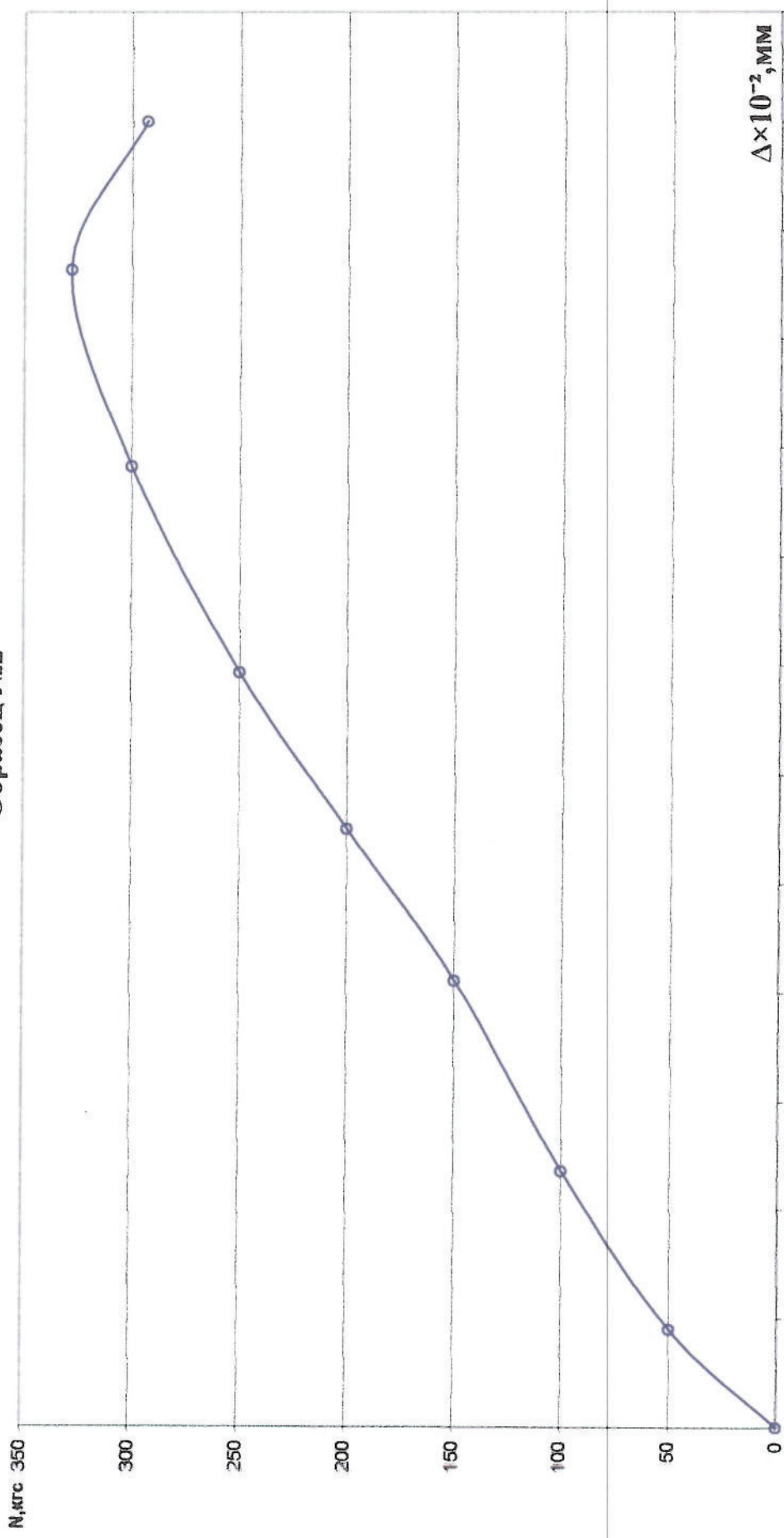


Рис. п. 1.14 График зависимости "нагрузка-перемещение" для фасадных анкеров марки SXR 10×100 (FISCHER)
(отверстие выполнено сверлением буром Ø10).

Образец №1

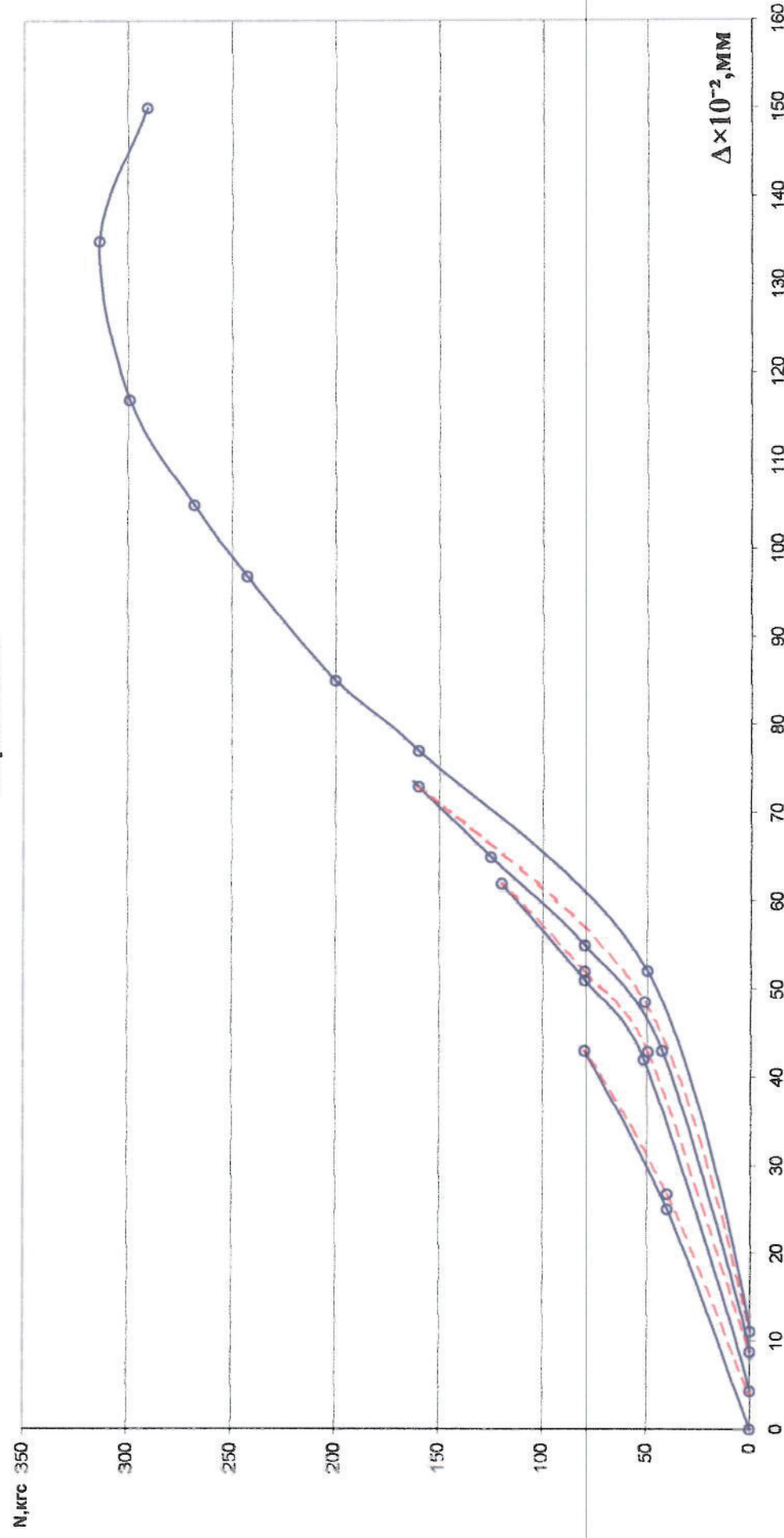


Рис. п. 1.15 График зависимости "нагрузка-перемещение" для фасадных анкеров марки SXR 10×100 (FISCHER)
(отверстие выполнено сверлением буром Ø10).

Образец №2

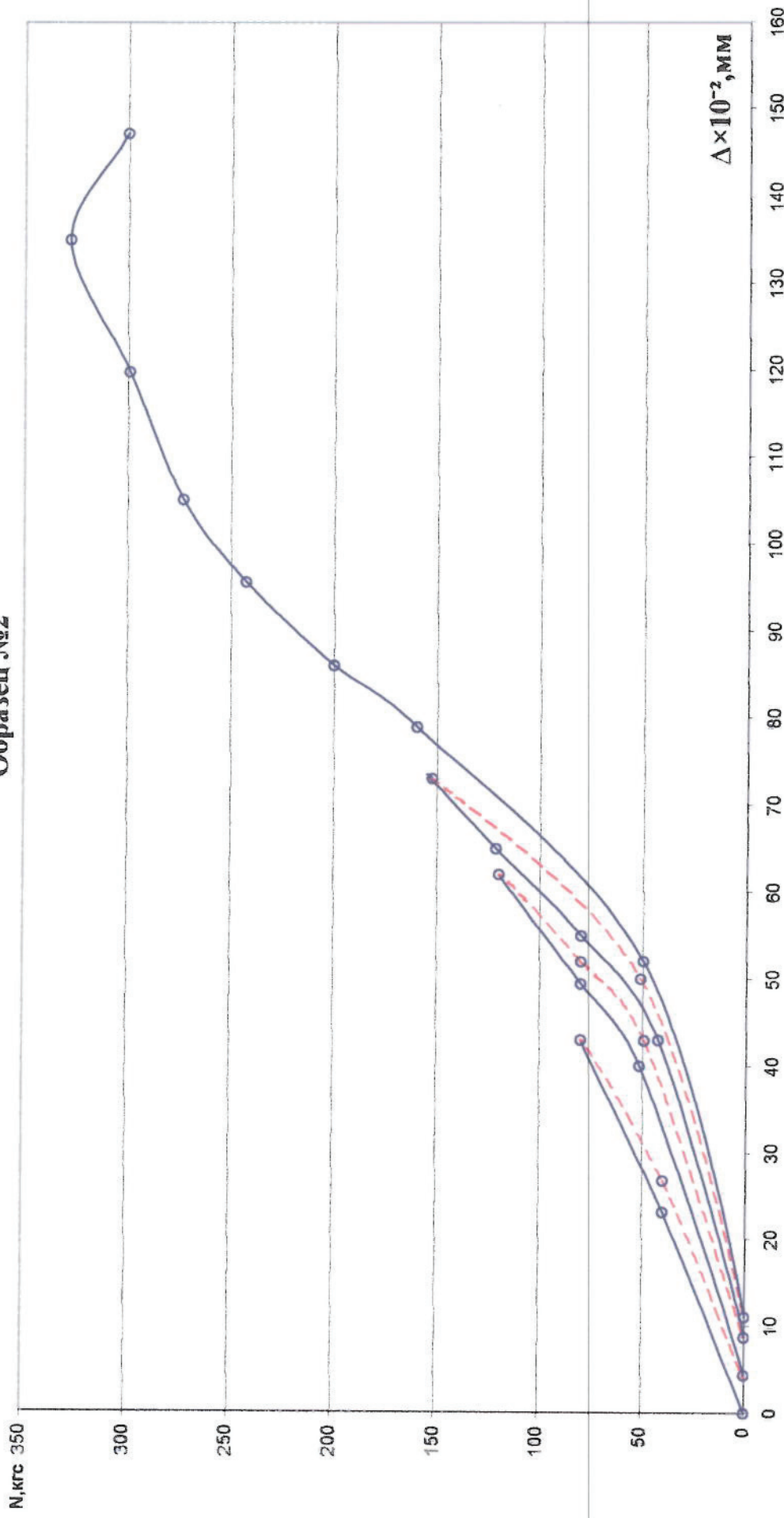


Рис. п. 1.16 График зависимости "нагрузка-перемещение" для фасадных анкеров марки SXR 10×100 (FISCHER)
(отверстие выполнено сверлением буром Ø10).

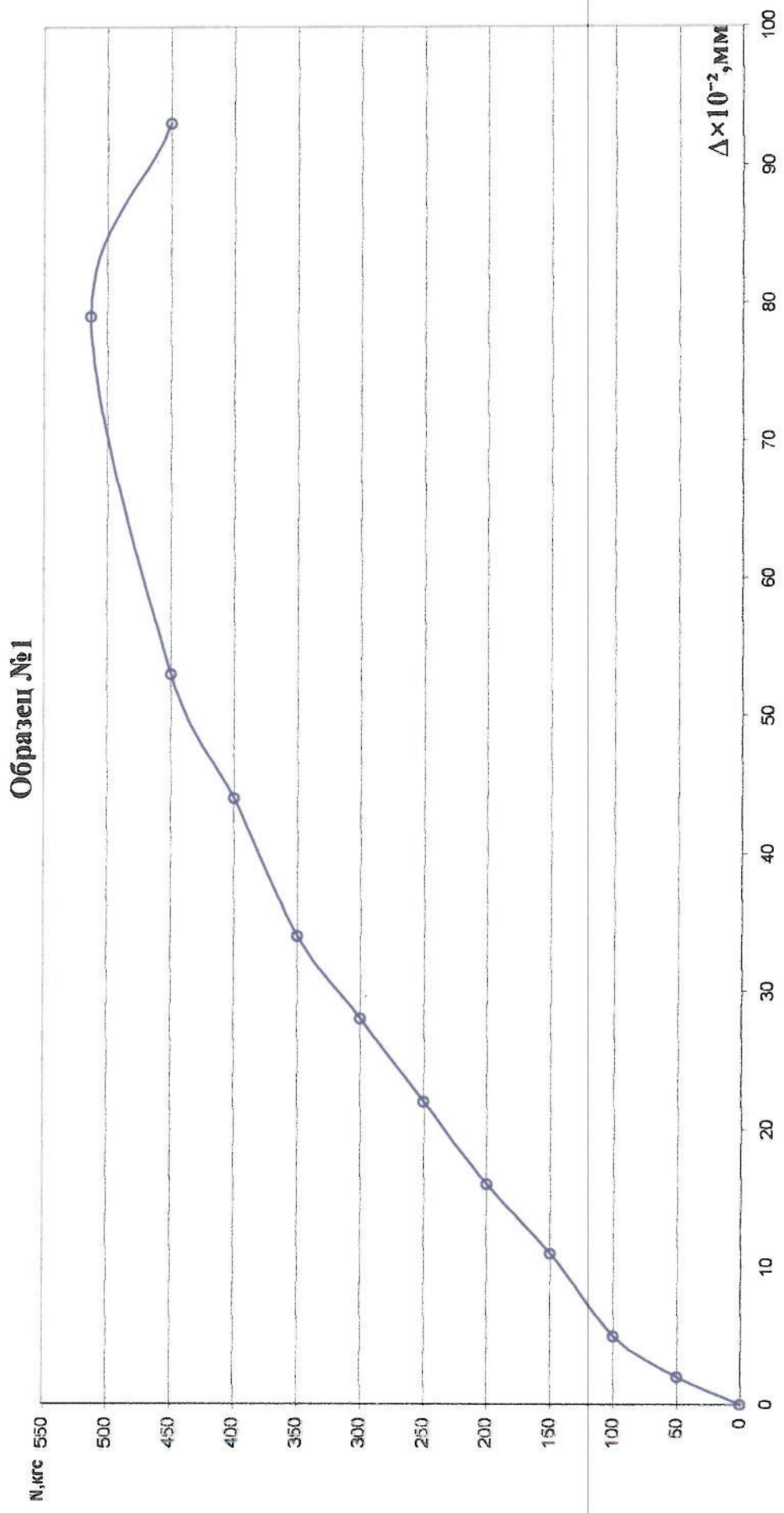


Рис. п. 1.17 График зависимости "нагрузка-перемещение" для фасадных анкеров марки SXS 10×100 (FISCHER)
(отверстие выполнено сверлением буром Ø10).

Образец №2

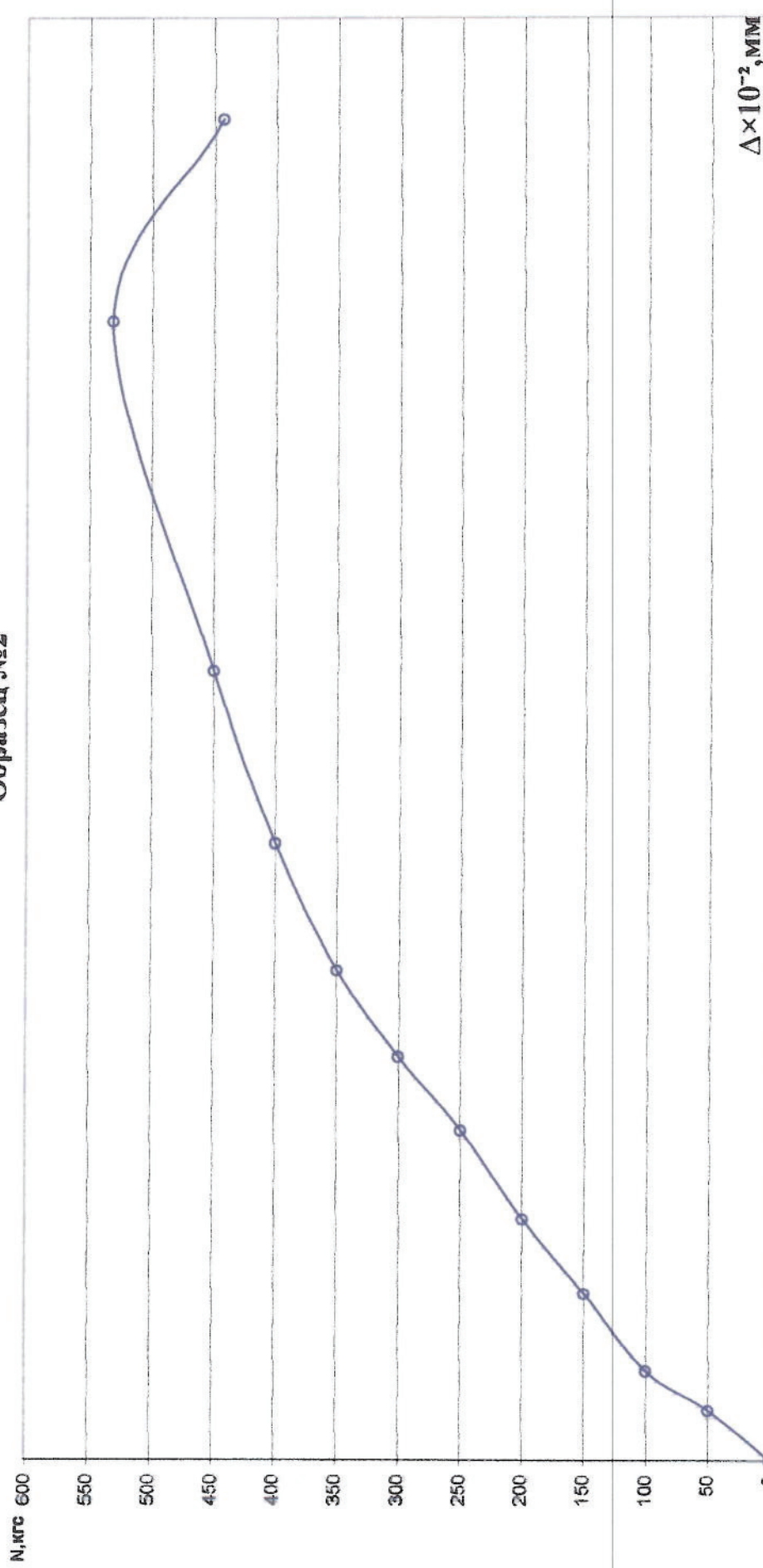


Рис. п. 1.18 График зависимости "нагрузка-перемещение" для фасадных анкеров марки SXS 10×100 (FISCHER)
(отверстие выполнено сверлением буром Ø10).

Образец №1

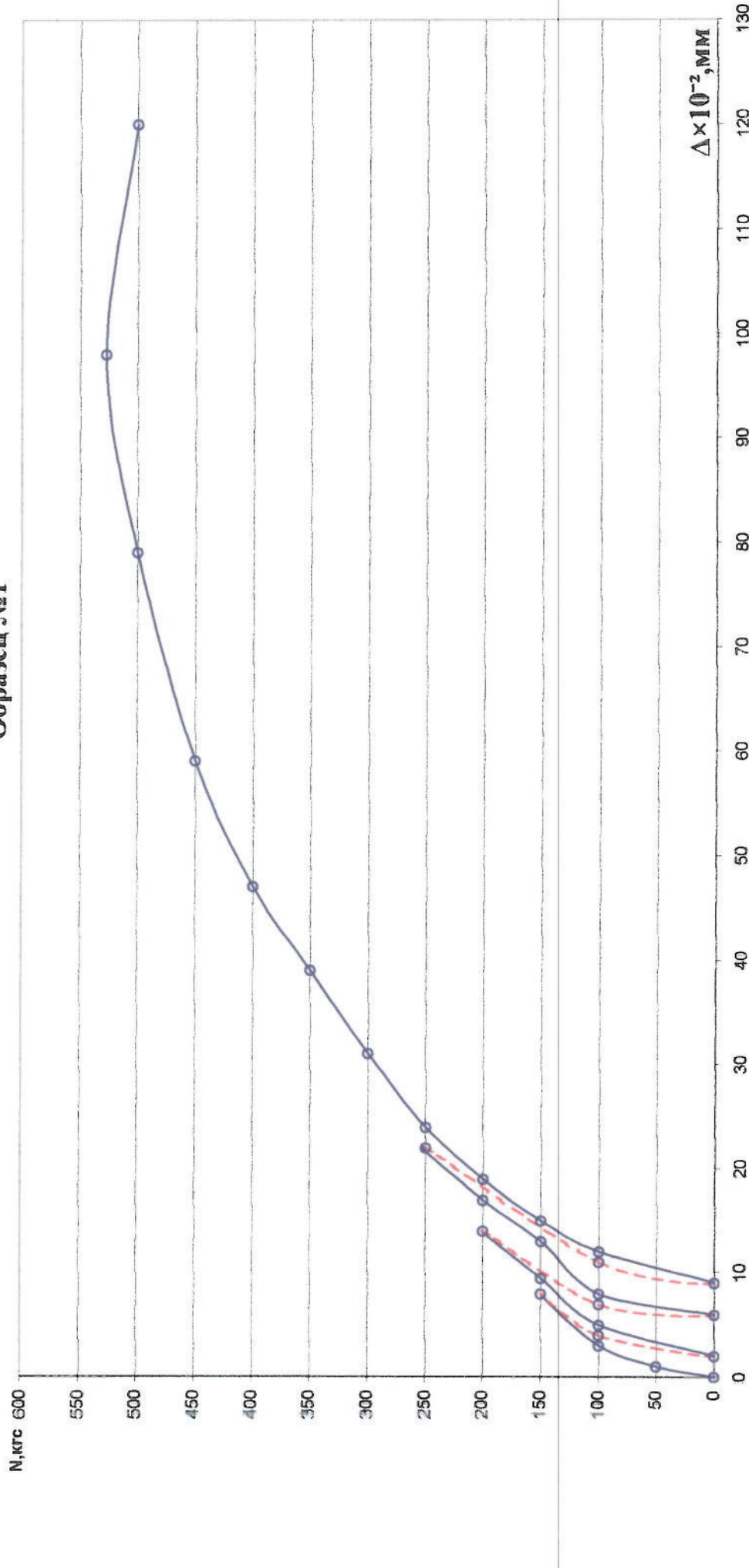


Рис. п. 1.19 График зависимости "нагрузка-перемещение" для фасадных анкеров марки SXS 10×100 (FISCHER)
(отверстие выполнено сверлением буром Ø10).

Образец №2

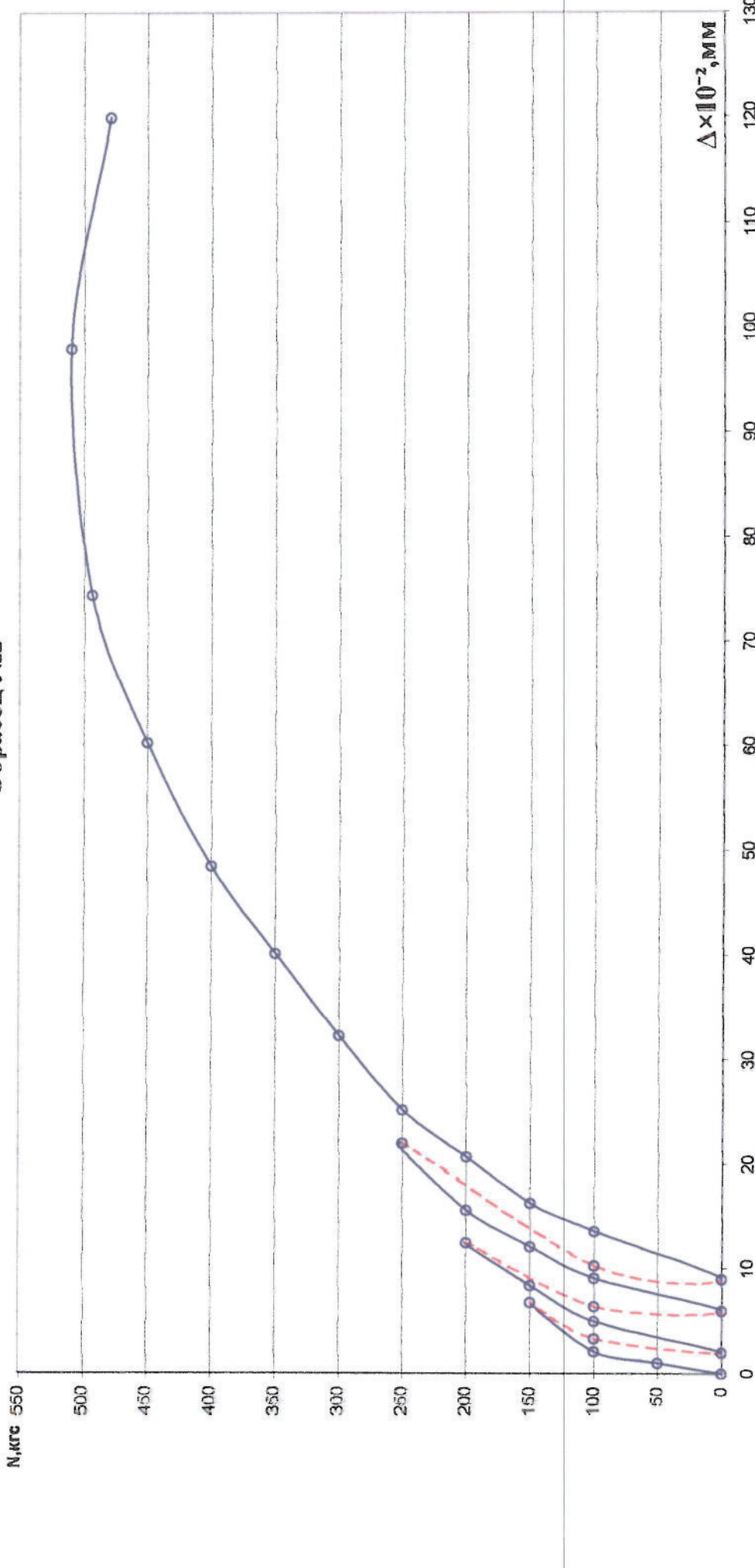


Рис. п. 1.20 График зависимости "нагрузка-перемещение" для фасадных анкеров марки SXS 10×100 (FISCHER) (отверстие выполнено сверлением буром Ø10).

Образец №1

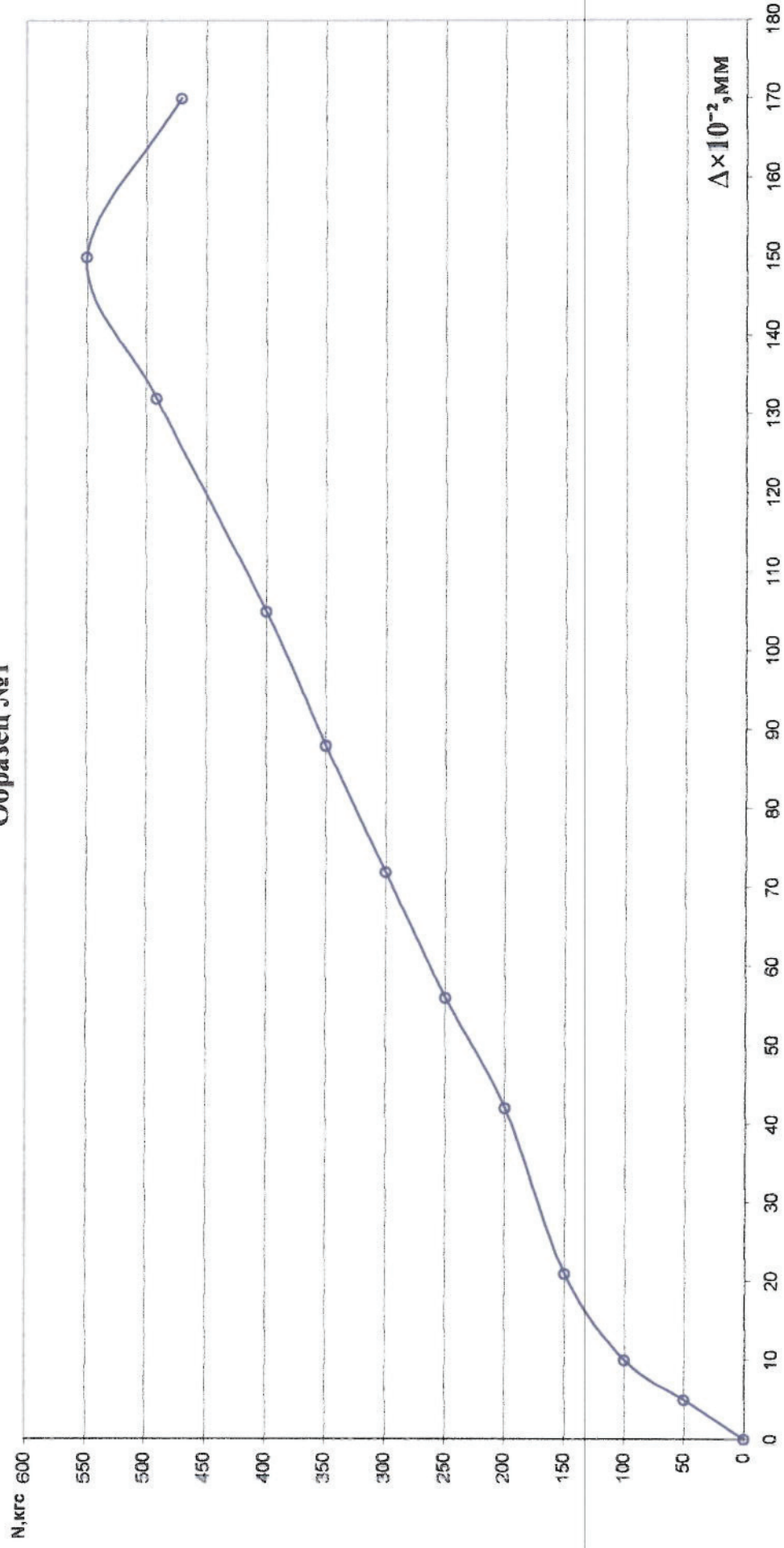


Рис. п. 1.21 График зависимости "нагрузка-перемещение" для фасадных анкеров марки SXS 10×100 (FISCHER) (отверстие выполнено пробойником Ø10).

Образец №2

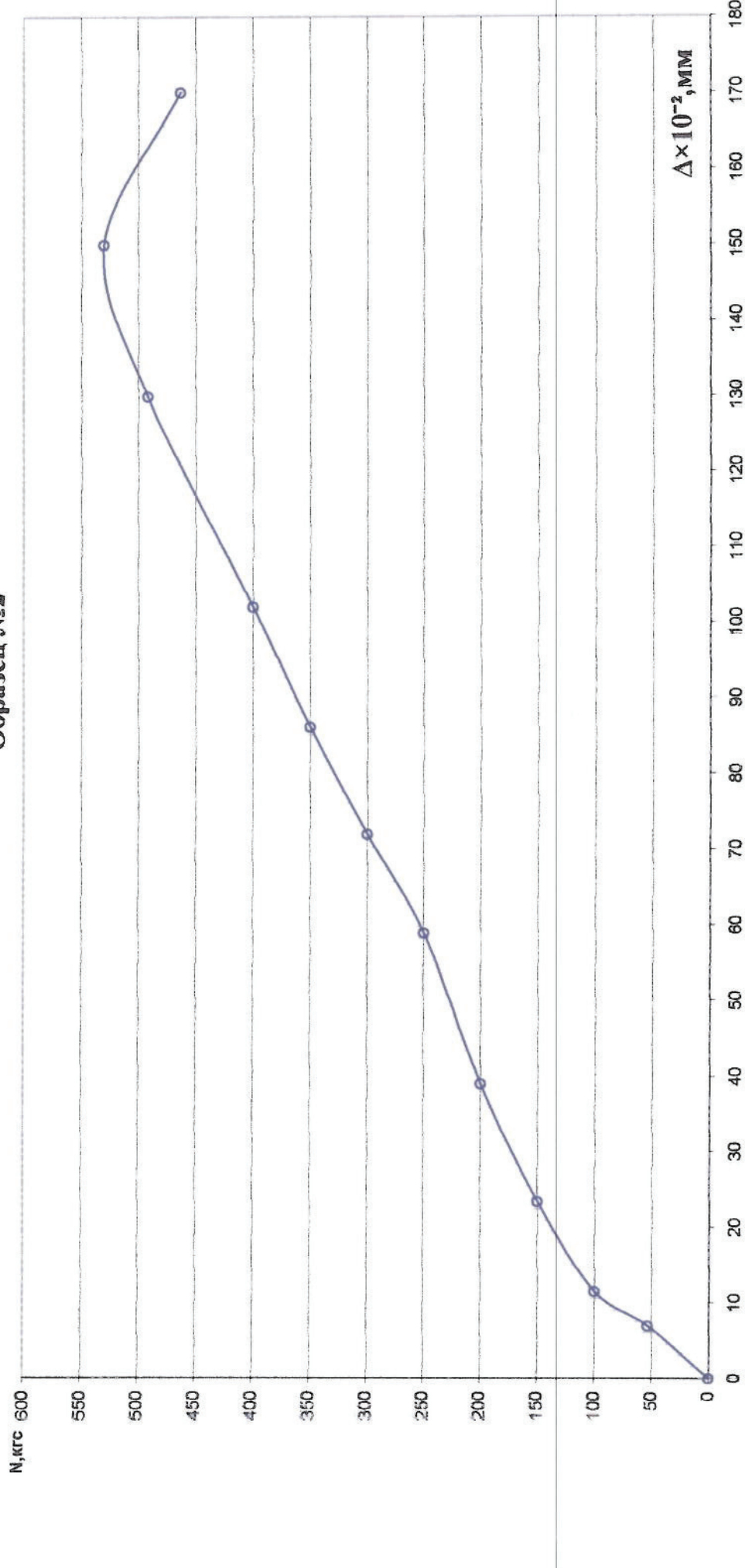


Рис. п. 1.22 График зависимости "нагрузка-перемещение" для фасадных анкеров марки SX5 10×100 (FISCHER)
(отверстие выполнено пробойником Ø10).

Образец №1

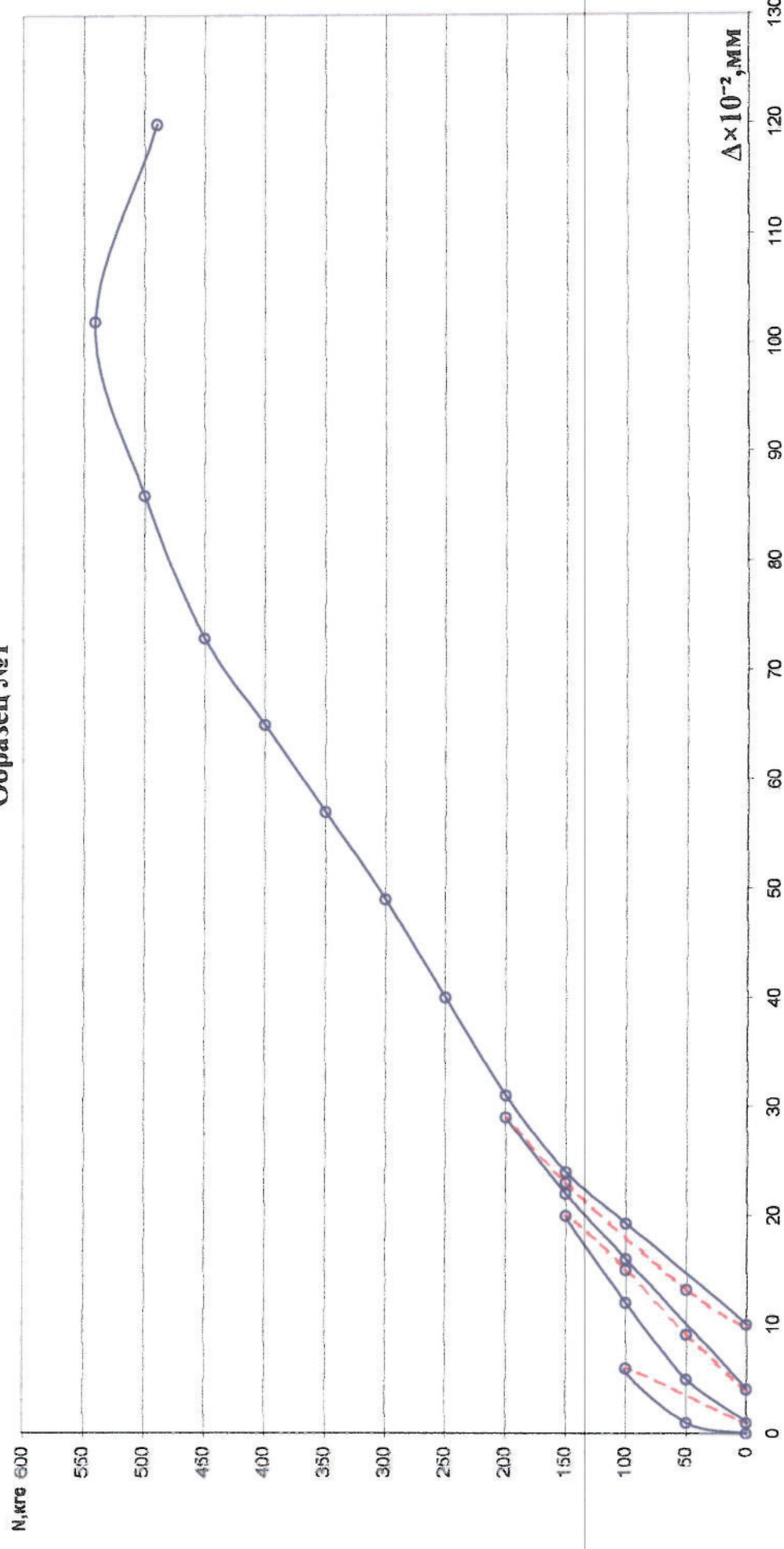


Рис. п. 1.23 График зависимости "нагрузка-перемещение" для фасадных анкеров марки SXS 10×100 (FISCHER)
(отверстие выполнено пробойником Ø 10).

Образец №2

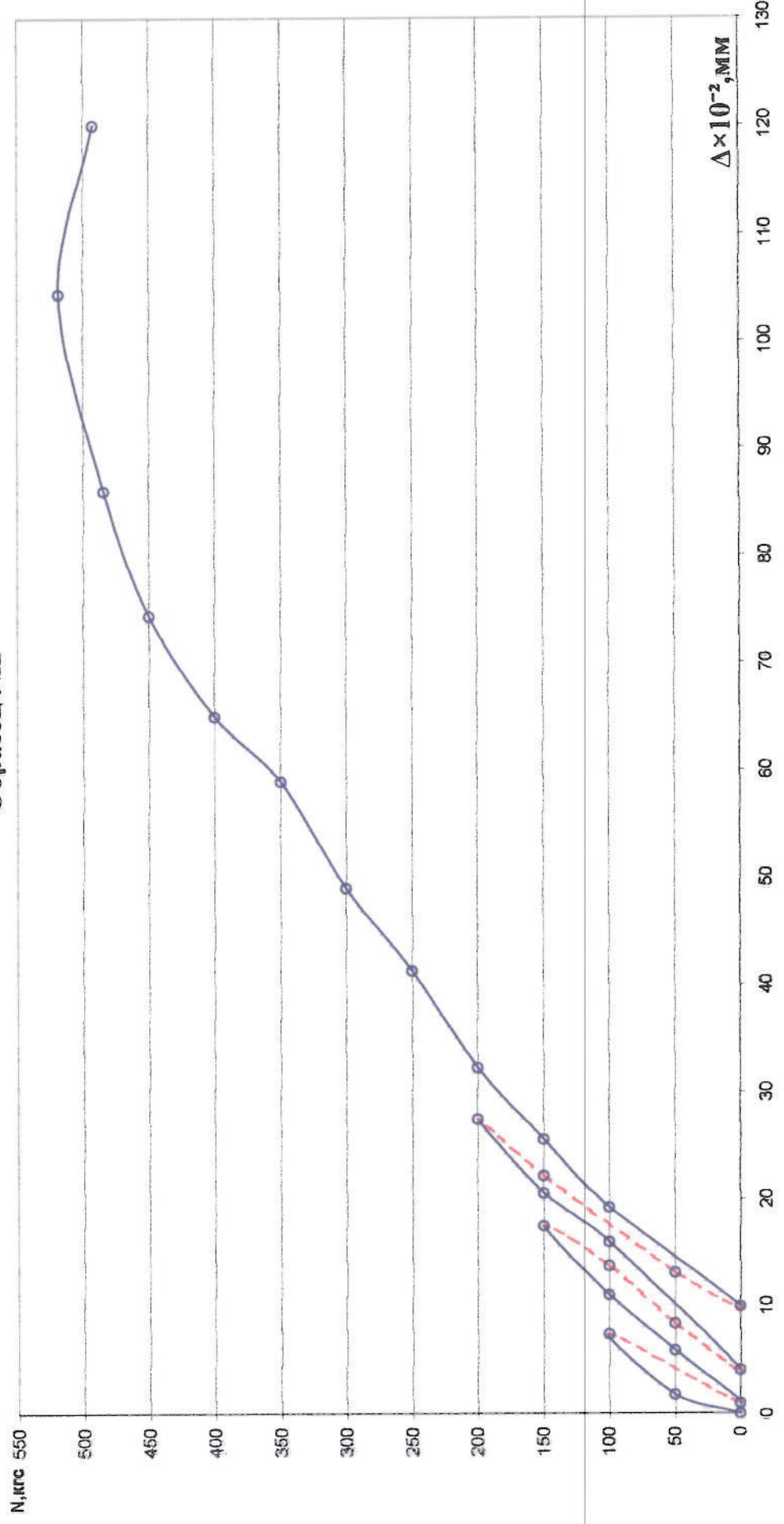


Рис. п. 1.24 График зависимости "нагрузка-перемещение" для фасадных анкеров марки SXS 10×100 (FISCHER)
(отверстие выполнено пробойником Ø 10).

Образец №1

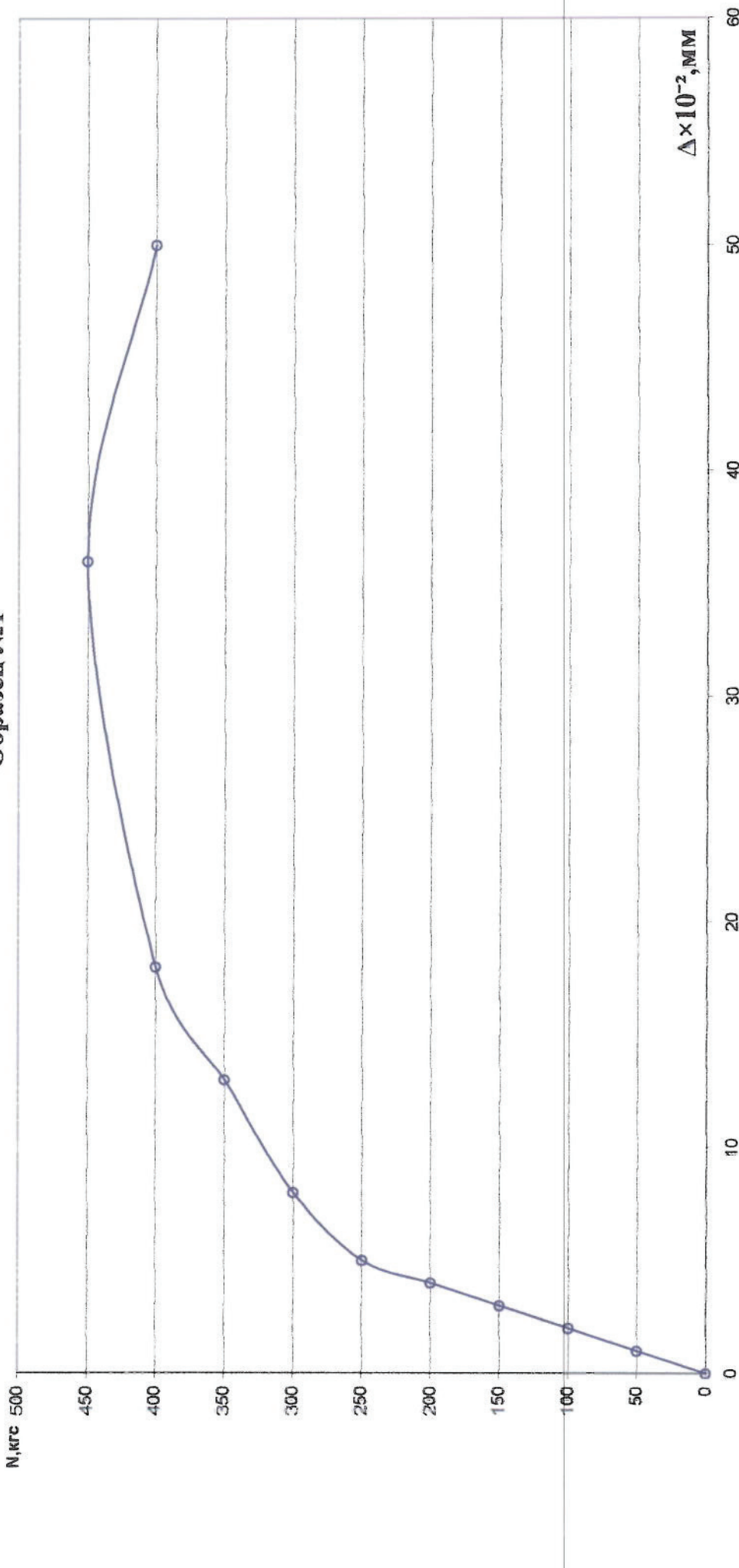


Рис. п. 1.25 График зависимости "нагрузка-перемещение" для химических анкеров марки FIS V 360 S10x120 (FISCHER) (глубина анкеровки 95мм).

Образец №2

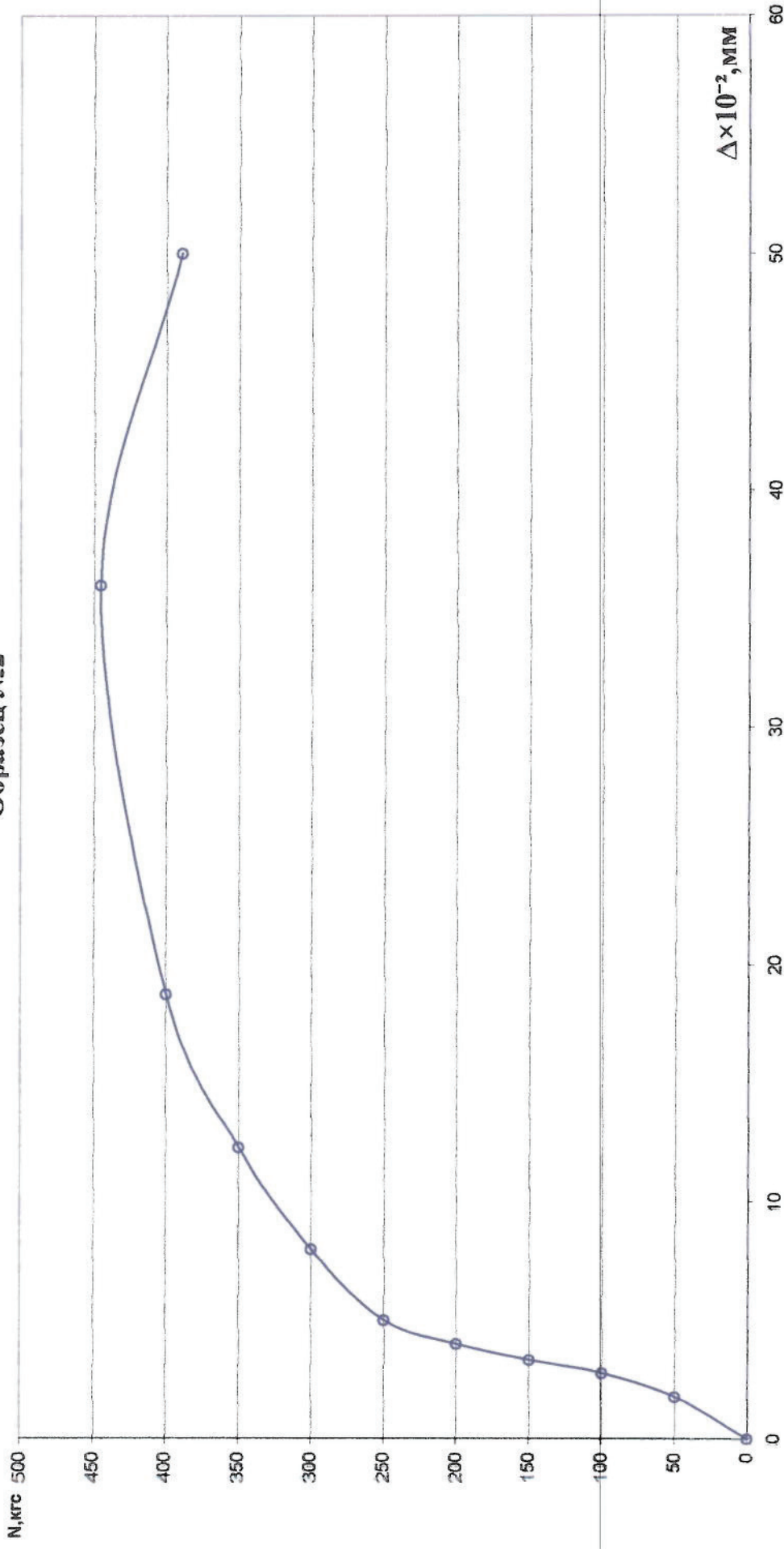


Рис. п. 1.26 График зависимости "нагрузка-перемещение" для химических анкеров марки FIS V 360 S10x120 (FISCHER) (глубина анкеровки 95мм).

Образец №1

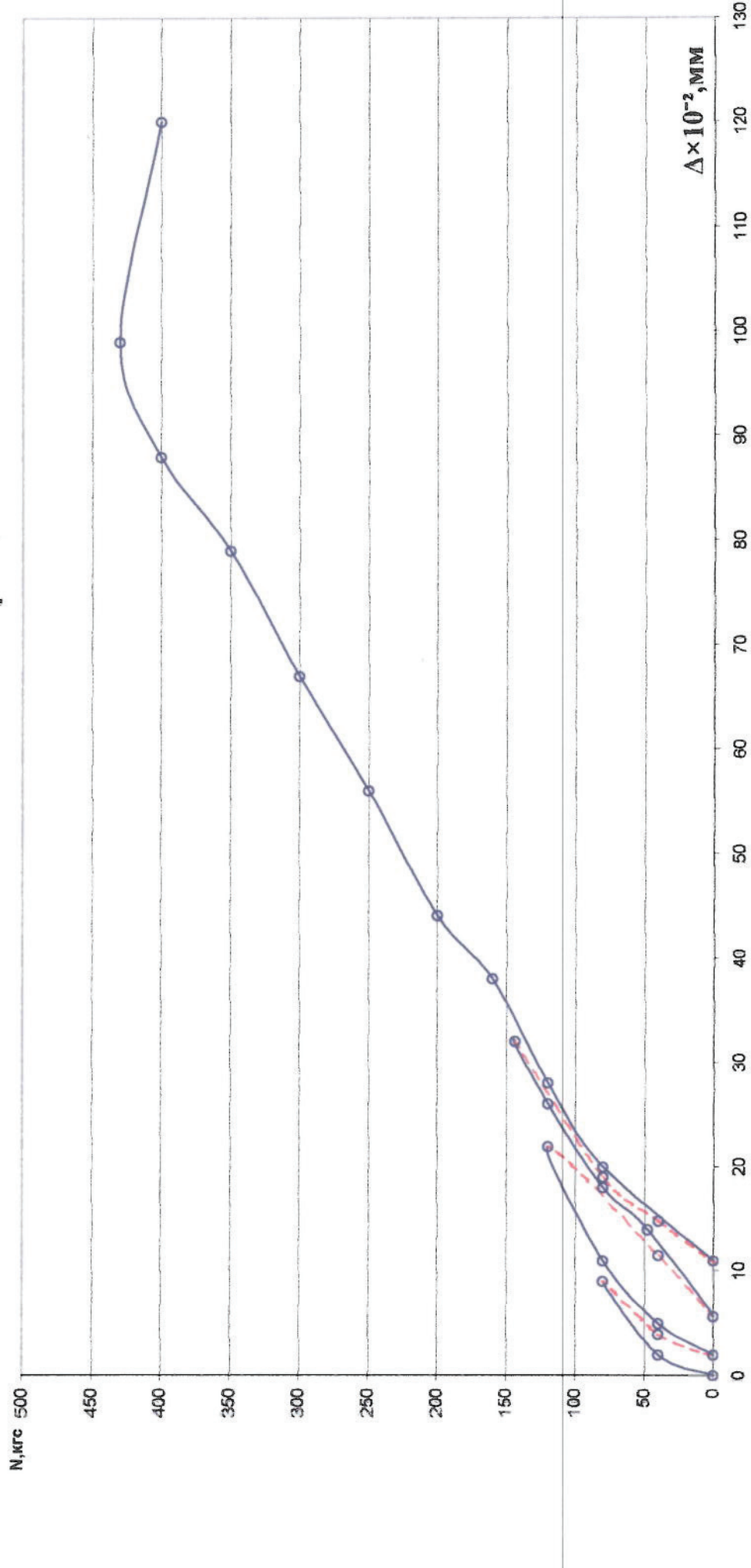


Рис. п. 1.27 График зависимости "нагрузка-перемещение" для химических анкеров марки FIS V 360 S10x120 (FISCHER) (глубина анкеровки 95мм).

Образец №2

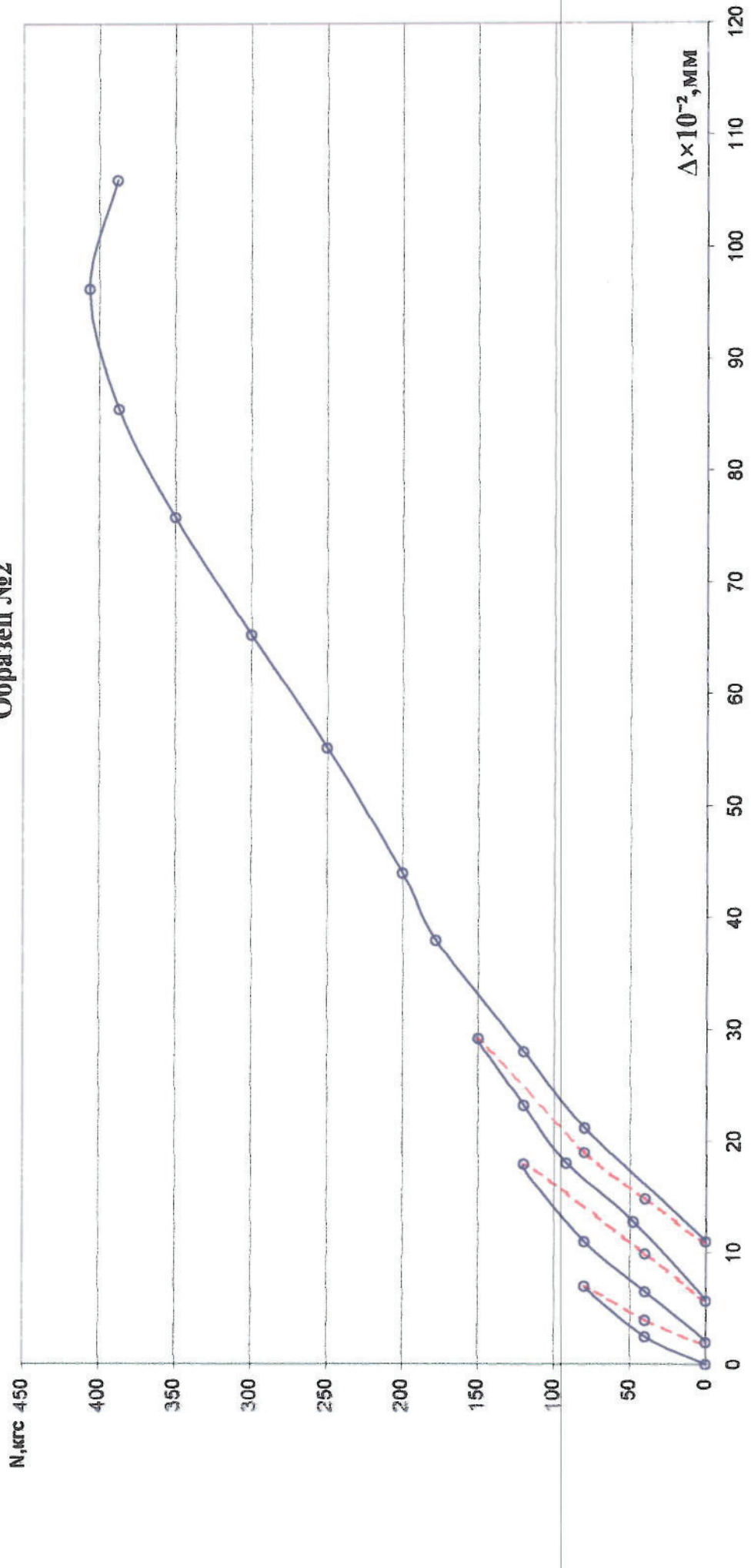


Рис. п. 1.28 График зависимости "нагрузка-перемещение" для химических анкеров марки FIS V 360 S10x120 (FISCHER) (глубина анкеровки 95мм).

Образец №1

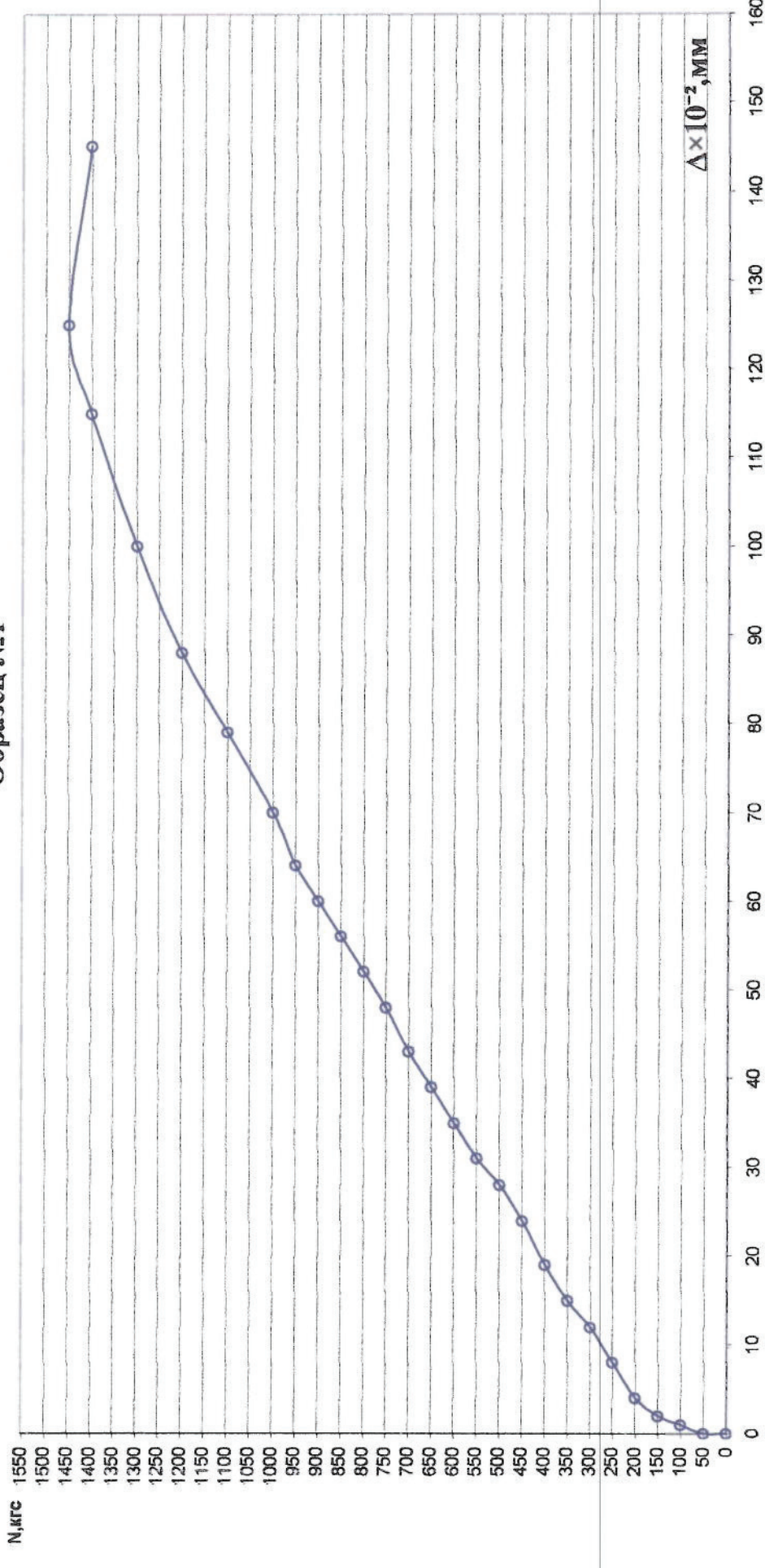


Рис. п. 1.29 График зависимости "нагрузка-перемещение" для химических анкеров марки FIS V 360 S10x120 (FISCHER) (коническое отверстие глубина анкера 95мм).

Образец №2

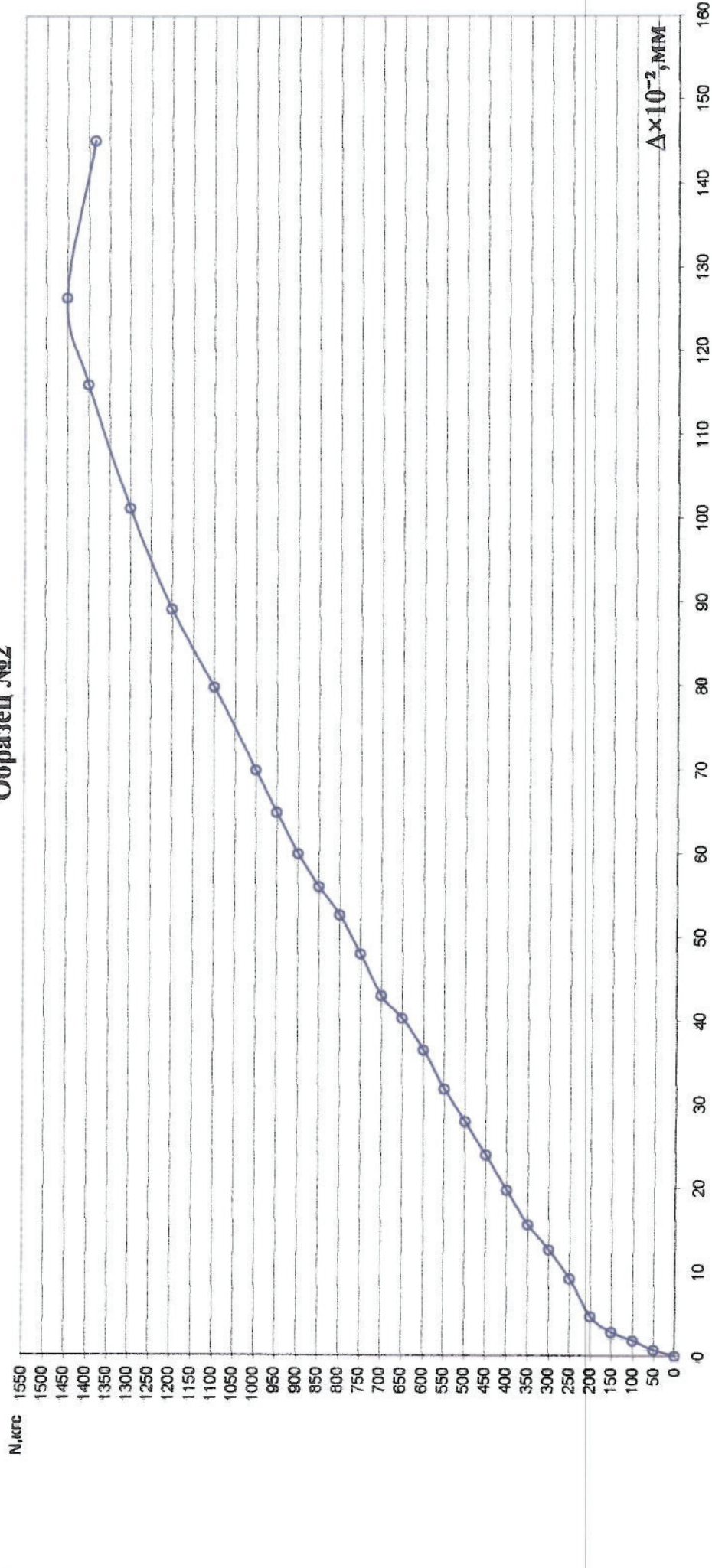


Рис. п. 1.30 График зависимости "нагрузка-перемещение" для химических анкеров марки FISCHER (коническое отверстие глубина анкеровки 95мм).

Образец №1

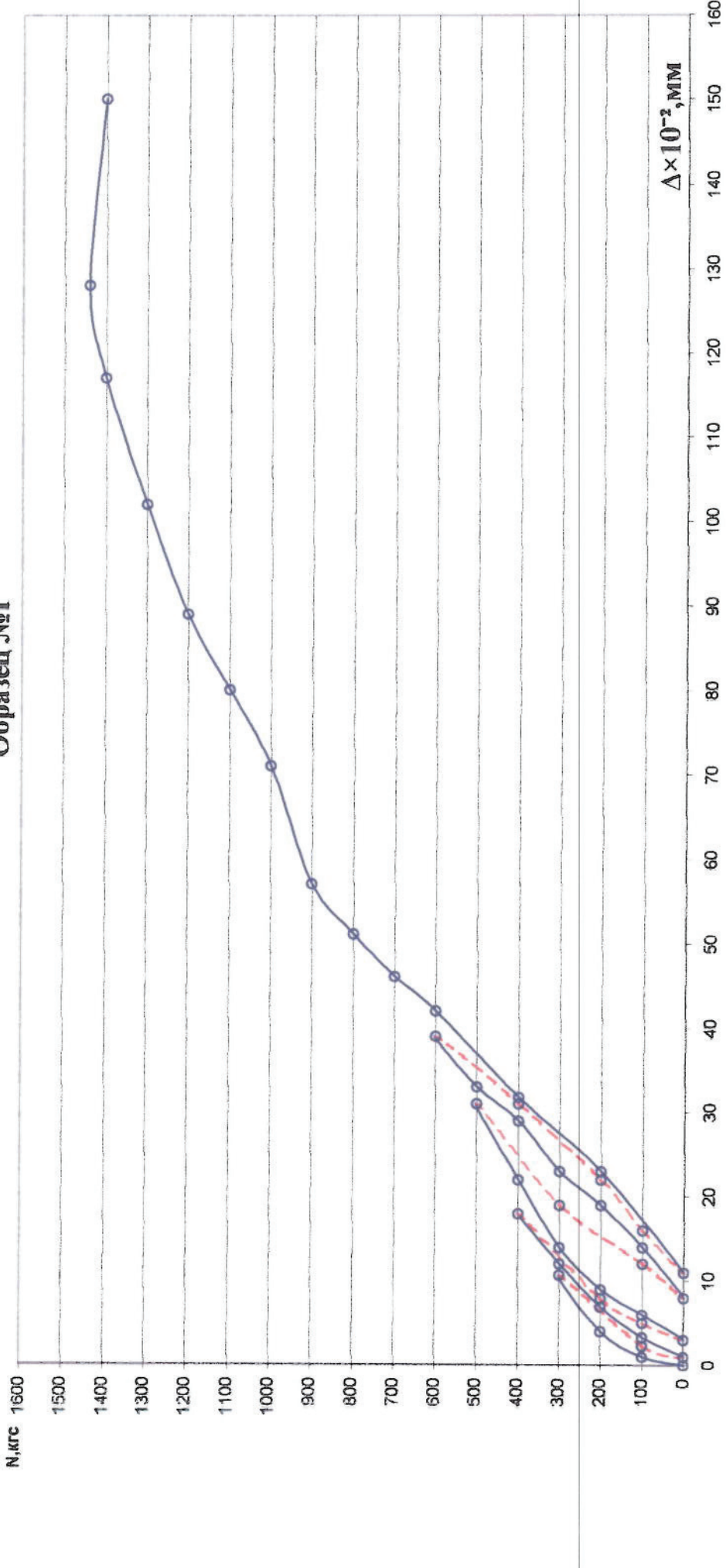


Рис. п. 1.31 График зависимости "нагрузка-перемещение" для химических анкеров марки FIS V 360 S10x120 (FISCHER) (коническое отверстие глубина анкеровки 95мм).

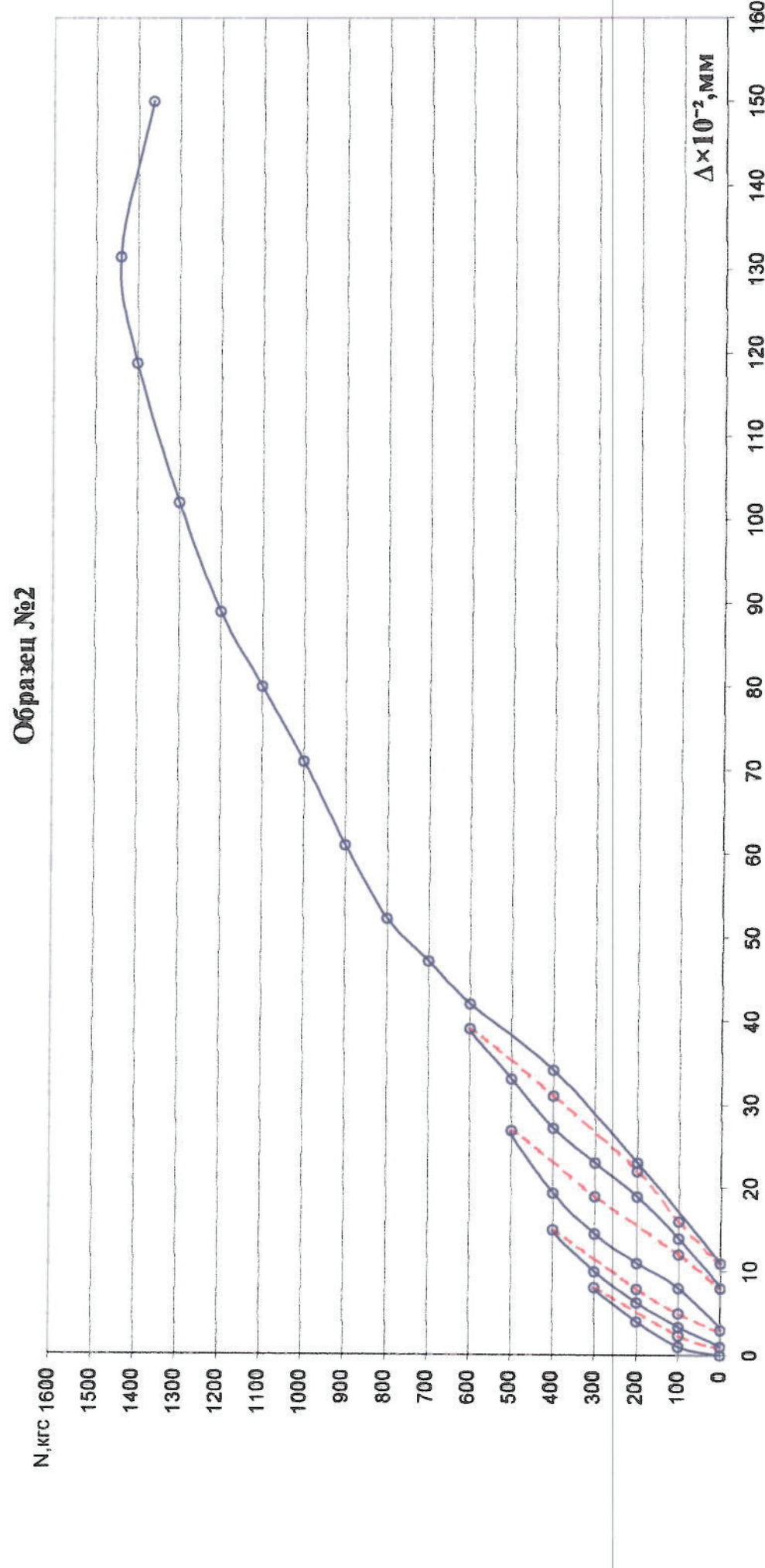


Рис. п. 1.32 График зависимости "нагрузка-перемещение" для химических анкеров марки FISCHER V 360 S10x120 (FISCHER) коническое отверстие глубина анкеровки 95мм).

Анкера фирмы «SORMAT»

Образец №1

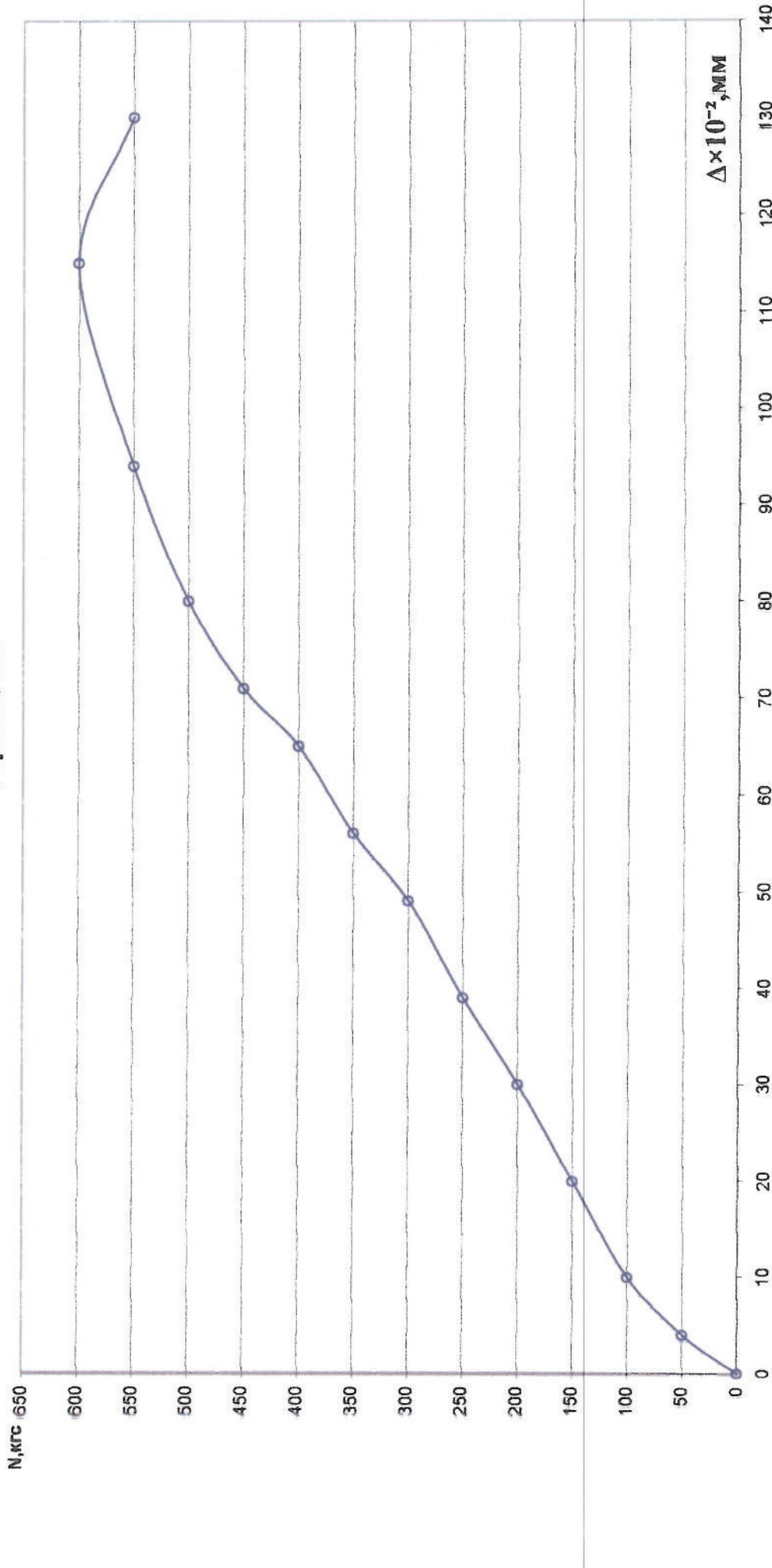


Рис. п. 1.33 График зависимости "нагрузка-перемещение" для фасадных анкеров марки S-UФ 10×115 (SORMAT)
(отверстие выполнено сверлением буром Ø9).

Образец №2

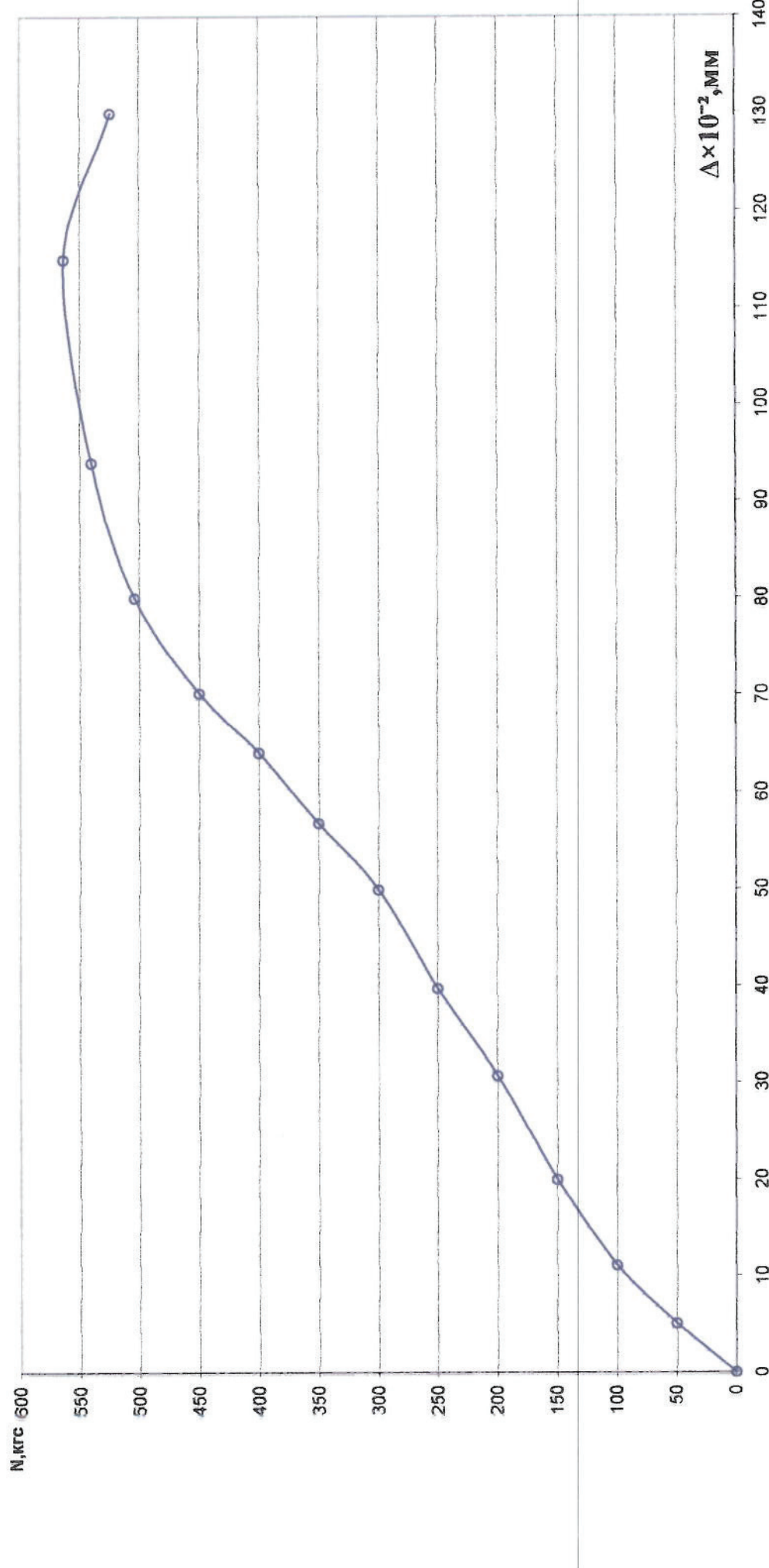


Рис. п. 1.34 График зависимости "нагрузка-перемещение" для фасадных анкеров марки S-UF 10×115 (SORMAT) (отверстие выполнено сверлением буром Ø9).

Образец №1

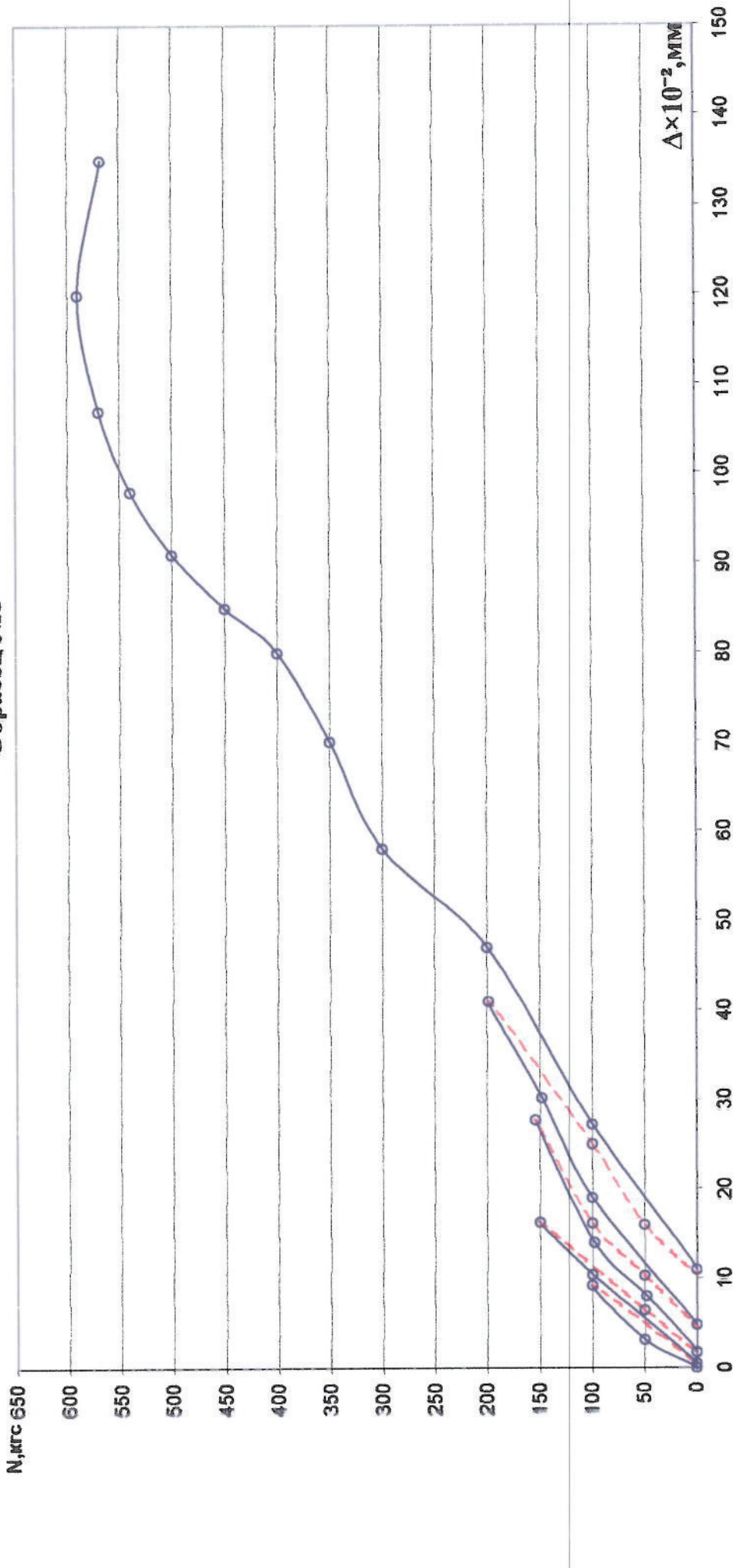


Рис. II.35 График зависимости "нагрузка-перемещение" для фасадных анкеров марки S-UF 10×115 (SORMAT)
(отверстие выполнено сверлением буром Ø9).

Образец №2

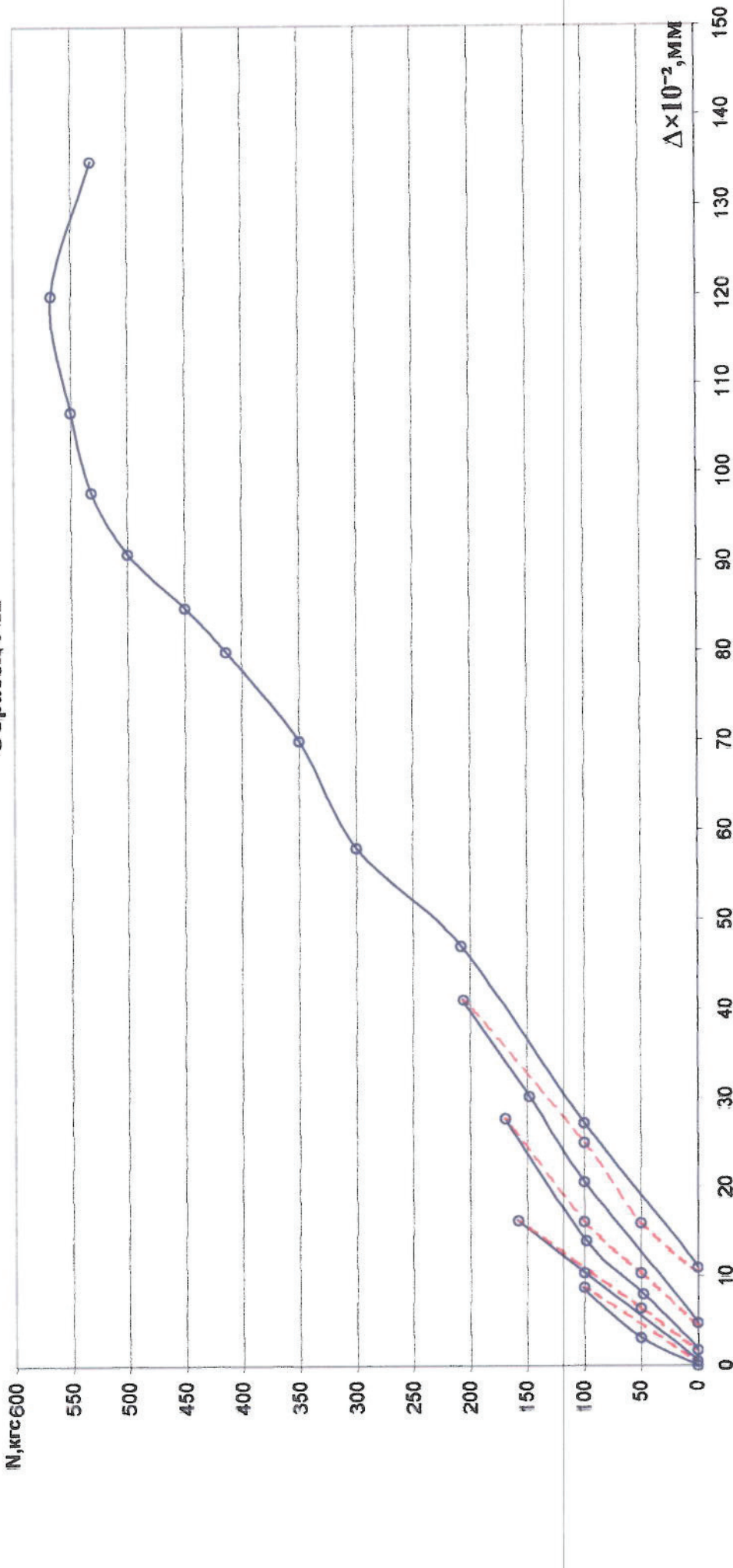


Рис. п. 1.36 График зависимости "нагрузка-перемещение" для фасадных анкеров марки S-UФ 10×115 (SORMAT)
(отверстие выполнено сверлением буром Ø9).

Образец №1

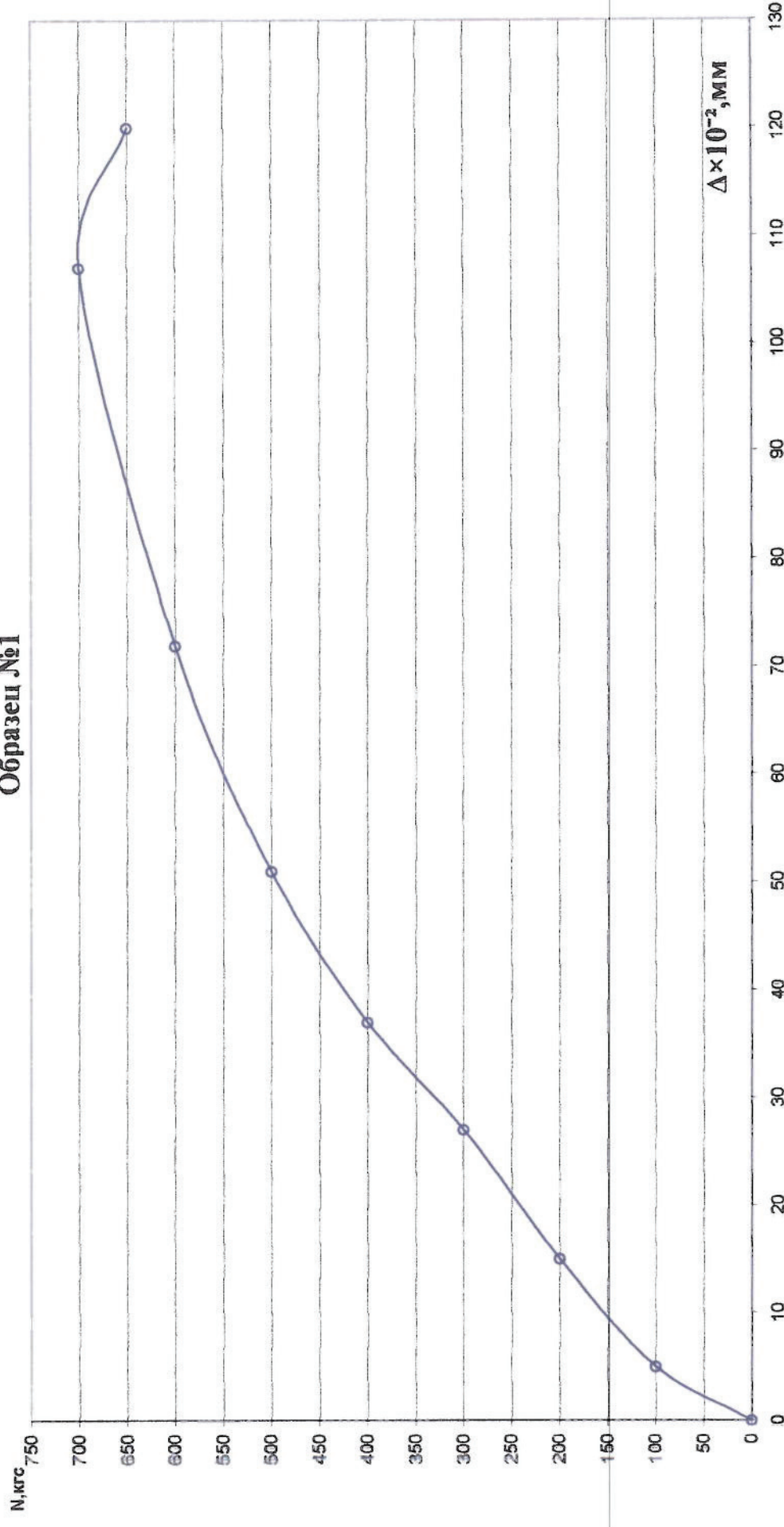


Рис. п. 1.37 График зависимости "нагрузка-перемещение" для химических анкеров марки ИТН - 380Р (SORMAT)
(глубина анкеровки 150мм).

Образец №2

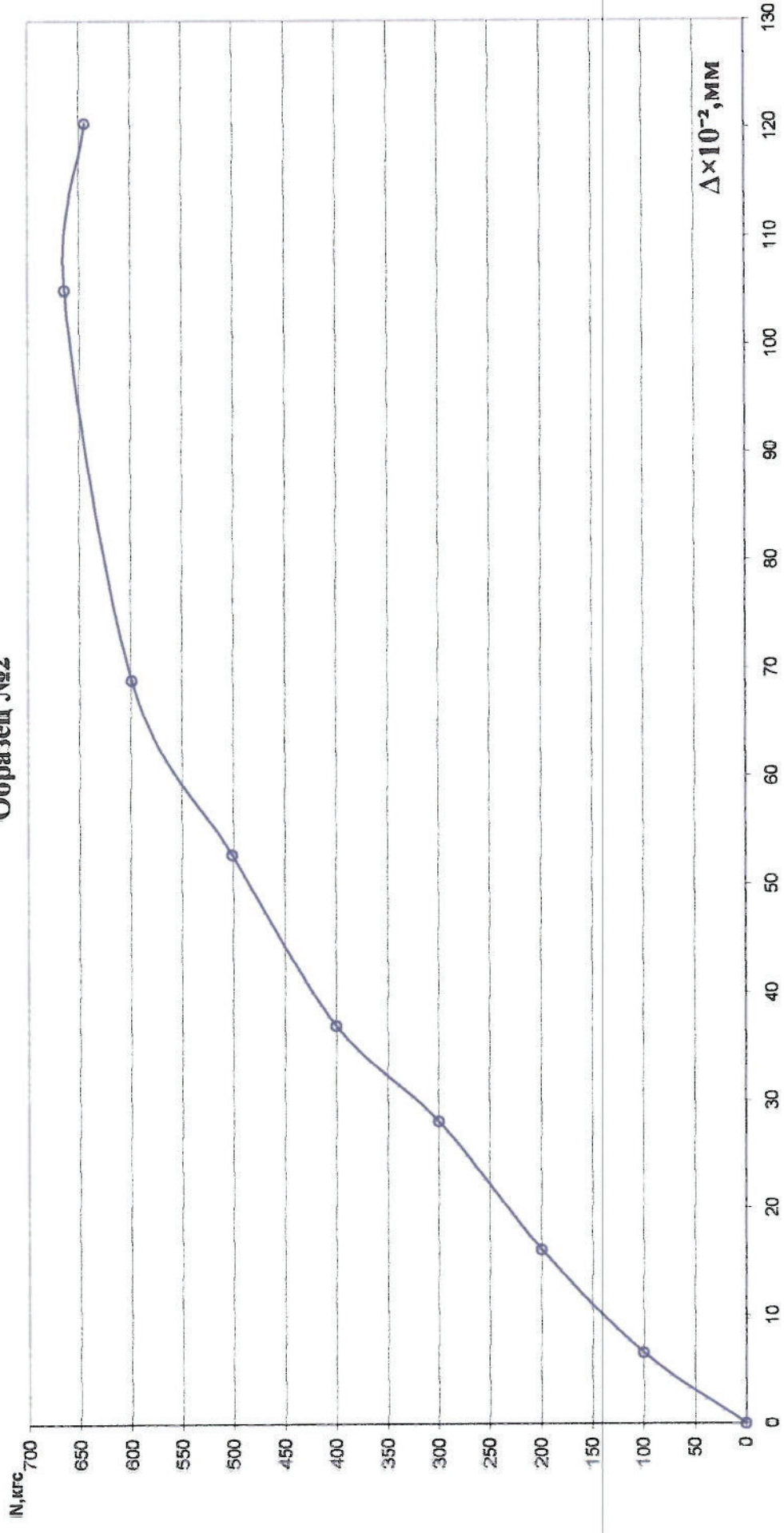


Рис. п. 1.38 График зависимости "нагрузка-перемещение" для химических анкеров марки ГН - 380Р (SORMAT)
(глубина анкеровки 150мм).

Образец №1

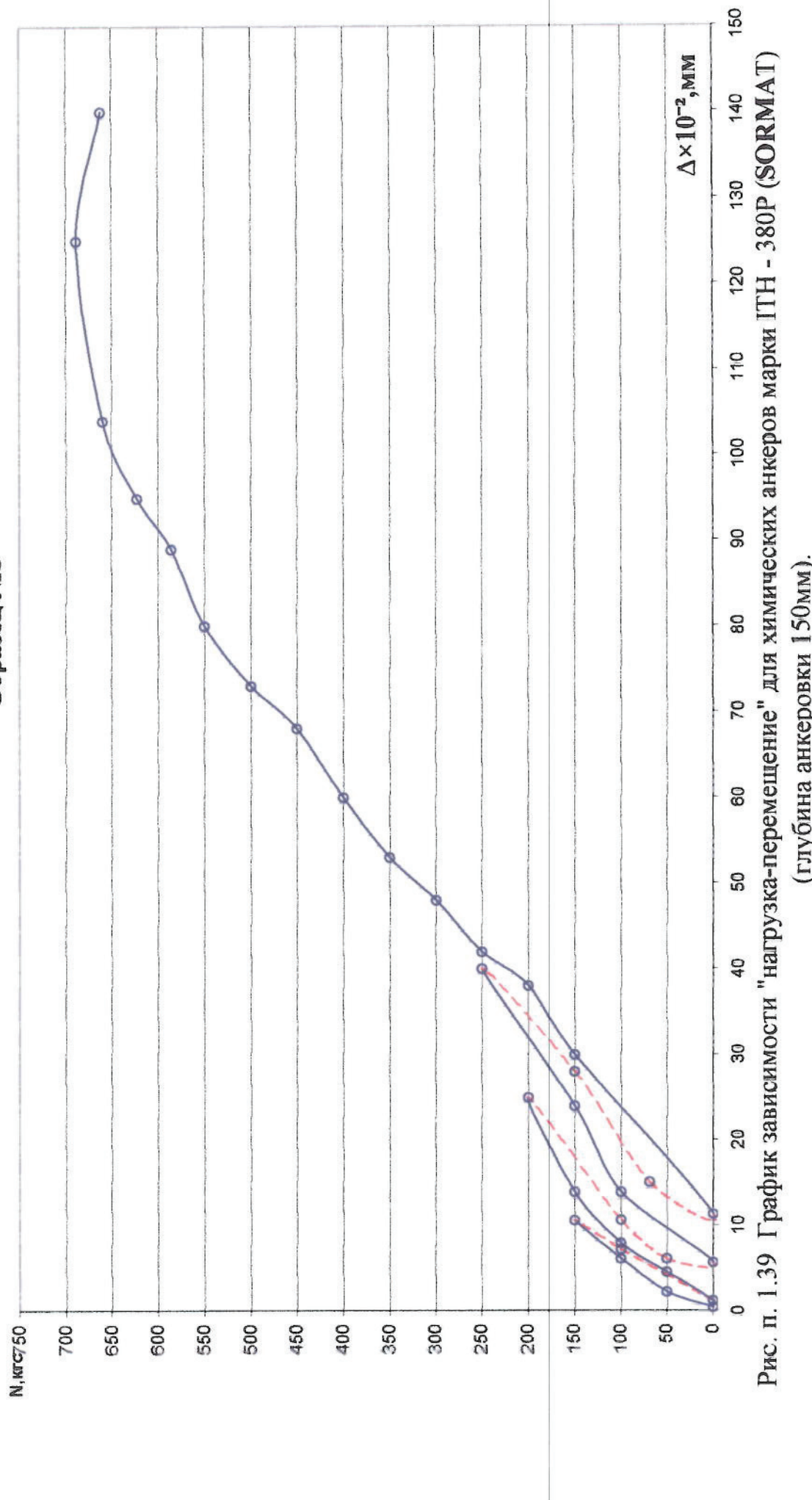


Рис. п. 1.39 График зависимости "нагрузка-перемещение" для химических анкеров марки ИТН - 380Р (SORMMAT)
(глубина анкеровки 150мм).

Образец №2

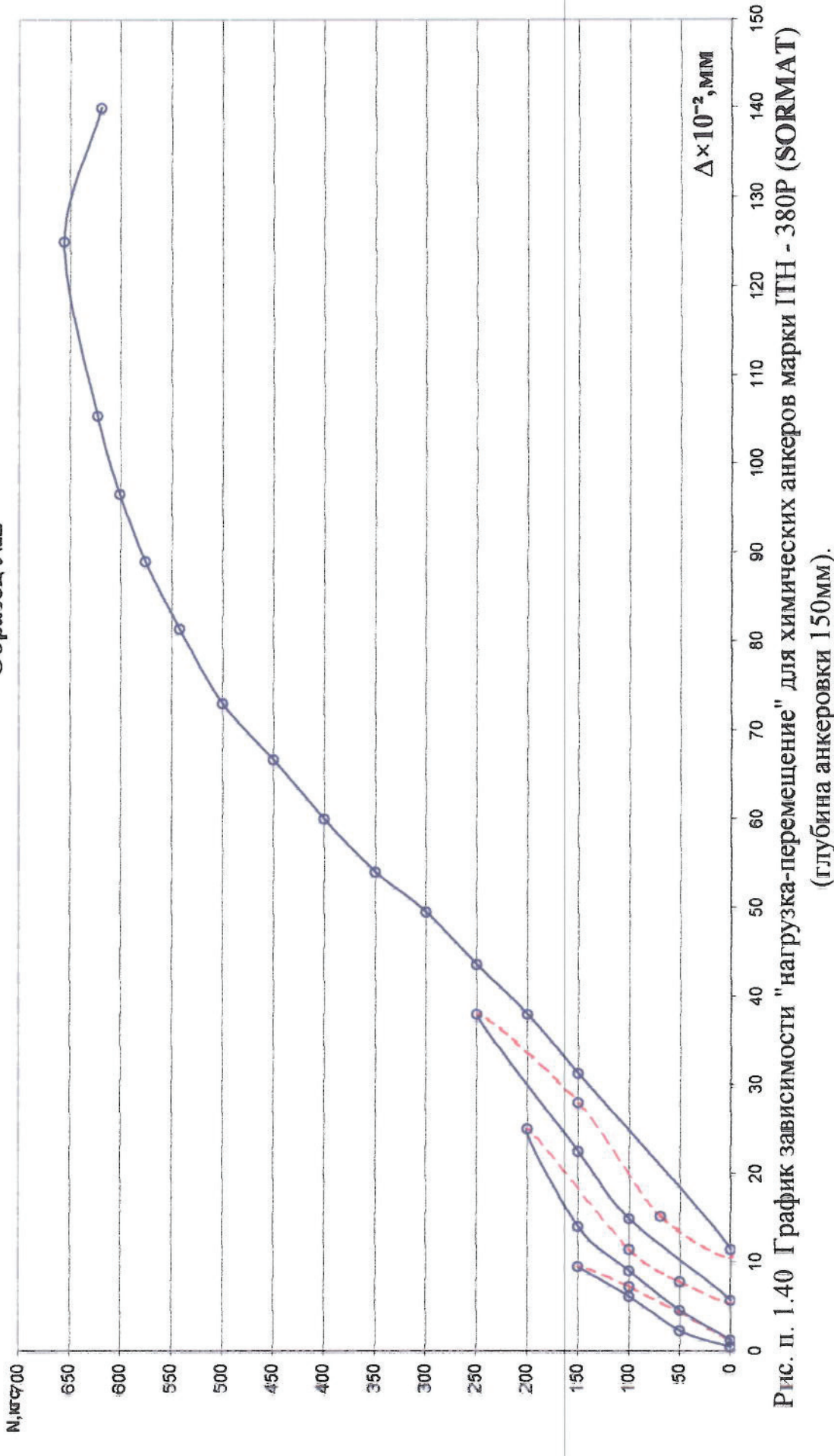


Рис. п. 1.40 График зависимости "нагрузка-перемещение" для химических анкеров марки ИТН - 380Р (SORMAT)
(глубина анкеровки 150мм).

Анкера фирмы «GRAVIT»

Образец №1

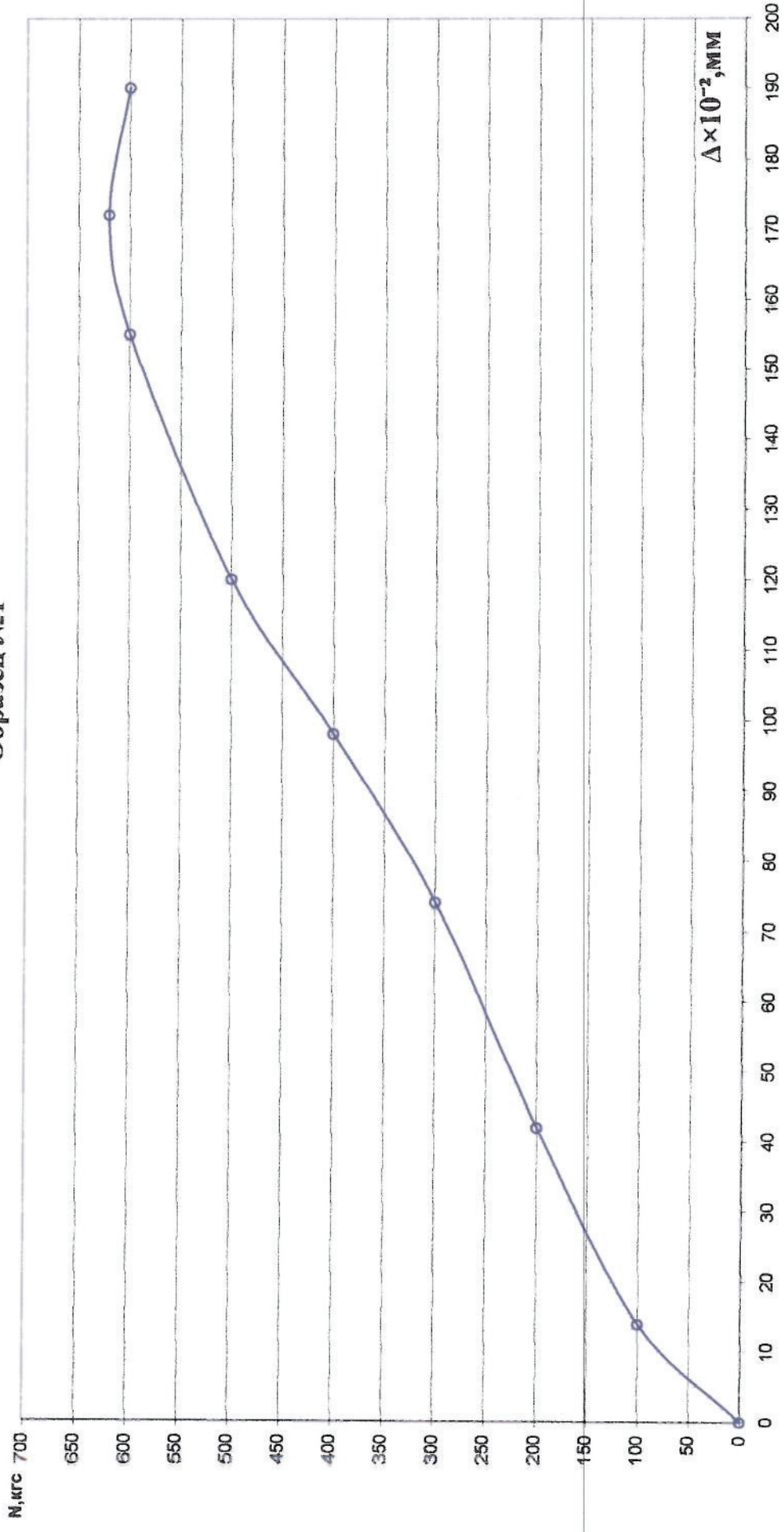


Рис. п.1.41 График зависимости "нагрузка-перемещение" для фасадных анкеров марки GRAVIT DF-B 10×115 (GRAVIT) (отверстие выполнено сверлением буром Ø9).

Образец №2

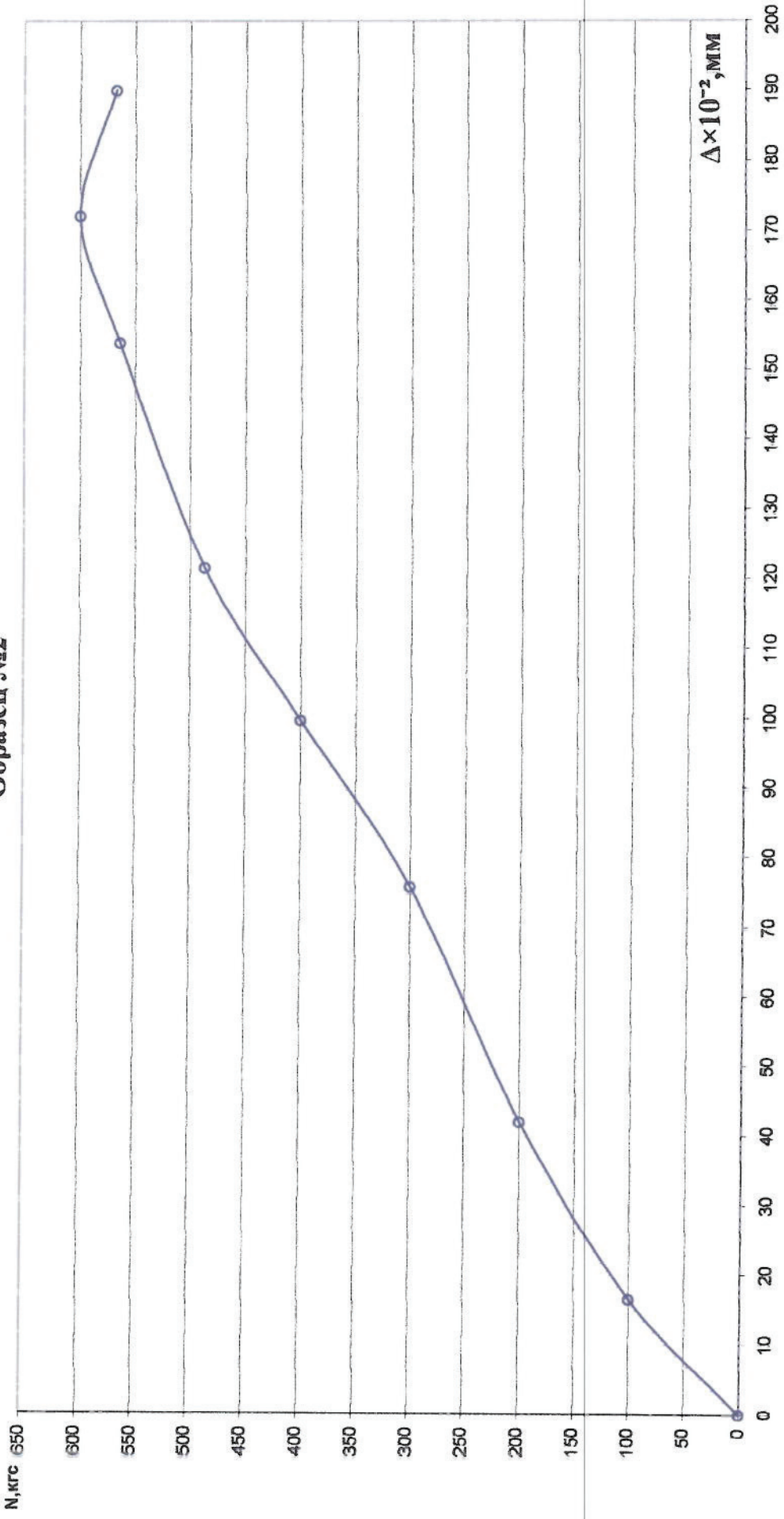


Рис. п. 1.4.2 График зависимости "нагрузка-перемещение" для фасадных анкеров марки GRAVIT DF-B 10×115 (GRAVIT) (отверстие выполнено сверлением буром Ø9).

Образец №1

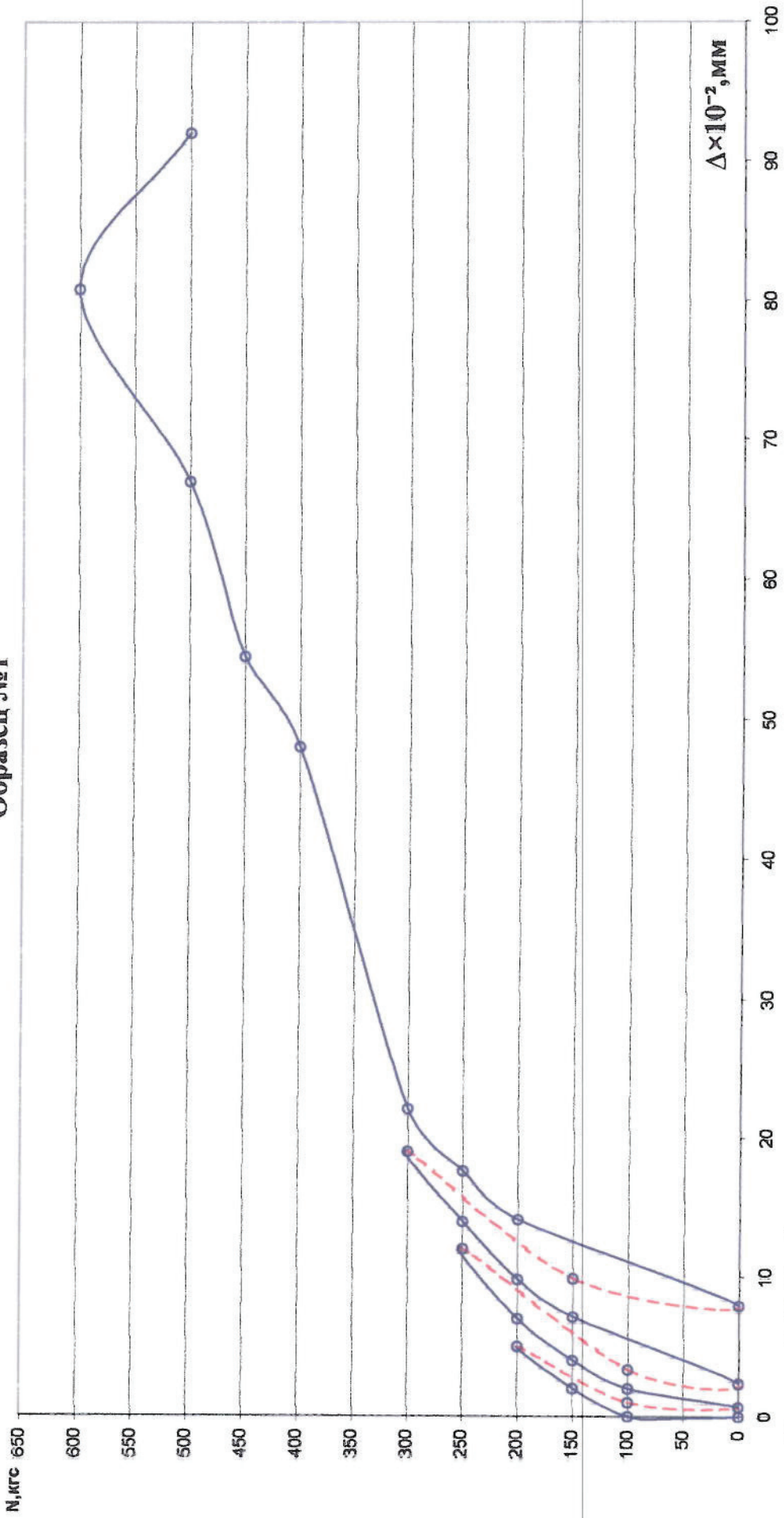


Рис. п. 1.43 График зависимости "нагрузка-перемещение" для фасадных анкеров марки GRAVIT DF-B 10×115 (GRAVIT) (отверстие выполнено сверлением буром Ø9).

Образец №1

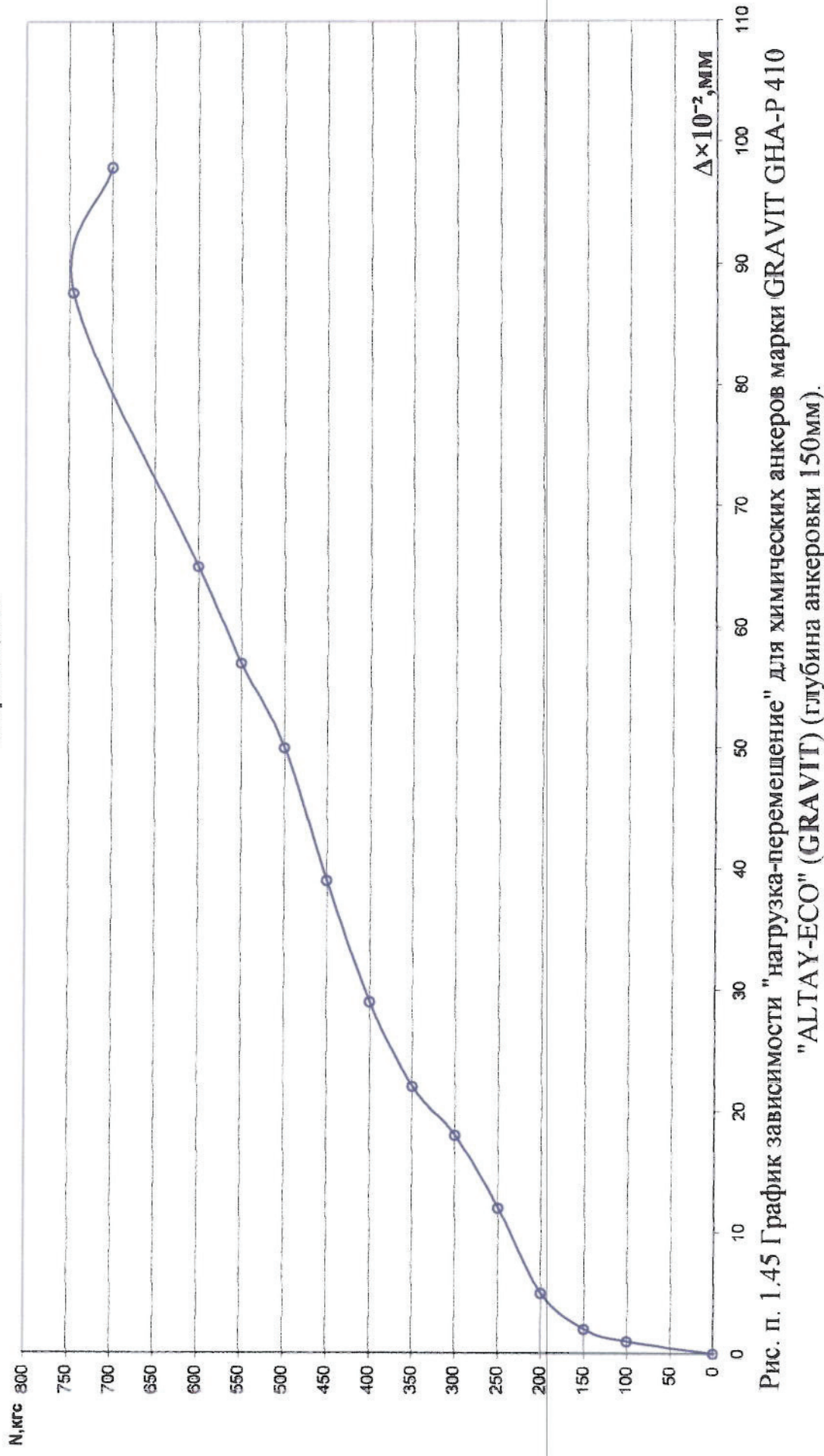


Рис. п. 1.45 График зависимости "нагрузка-перемещение" для химических анкеров марки GRAVIT GHA-P 410 "ALTAY-ECO" (GRAVIT) (глубина анкеровки 150мм).

Образец №2

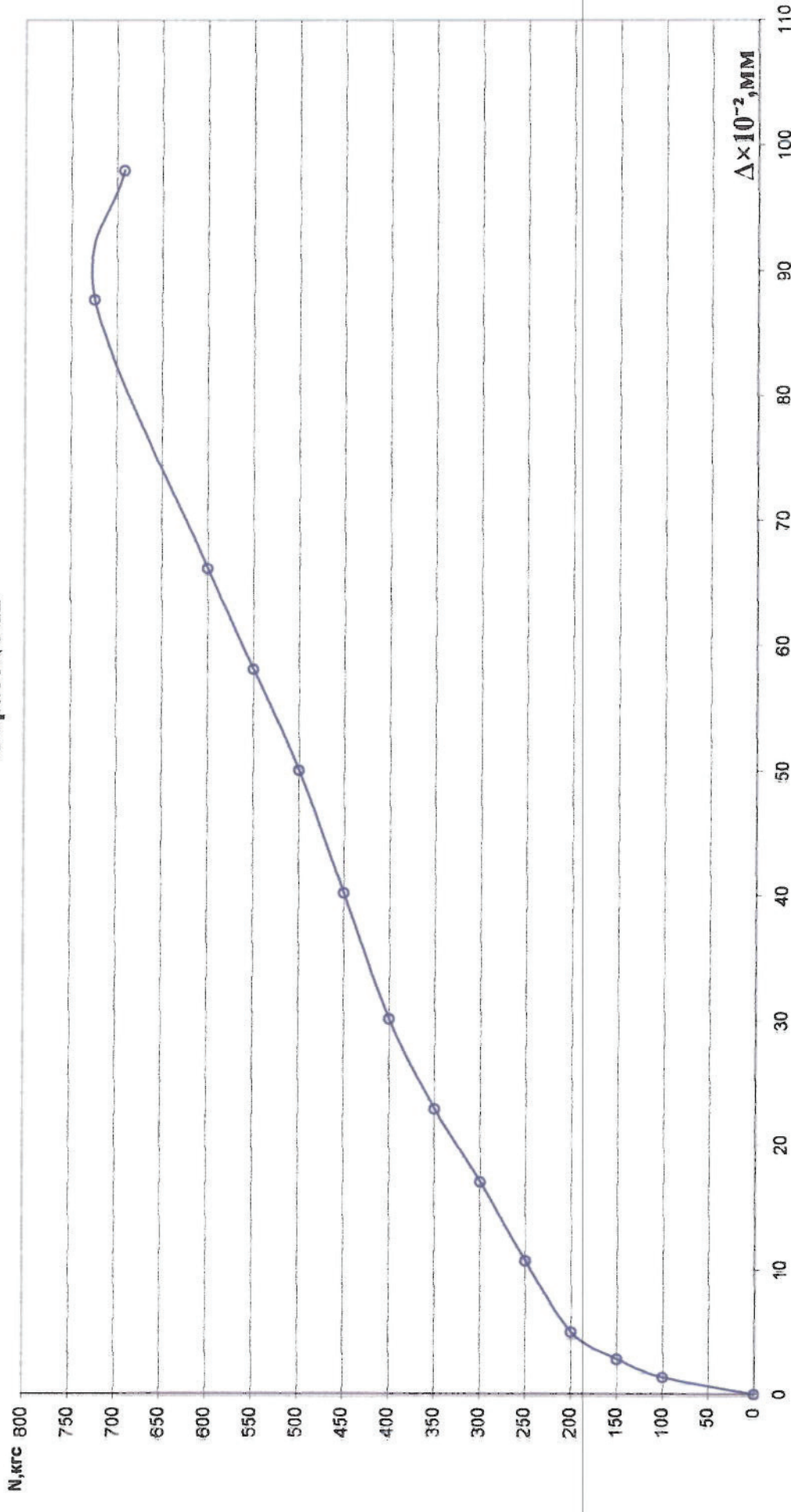


Рис. п. 1.46 График зависимости "нагрузка-перемещение" для химических анкеров марки GRAVIT GHA-P 410 "ALTAY-ECO" (GRAVIT) (глубина анкеровки 150мм).

Образец №1

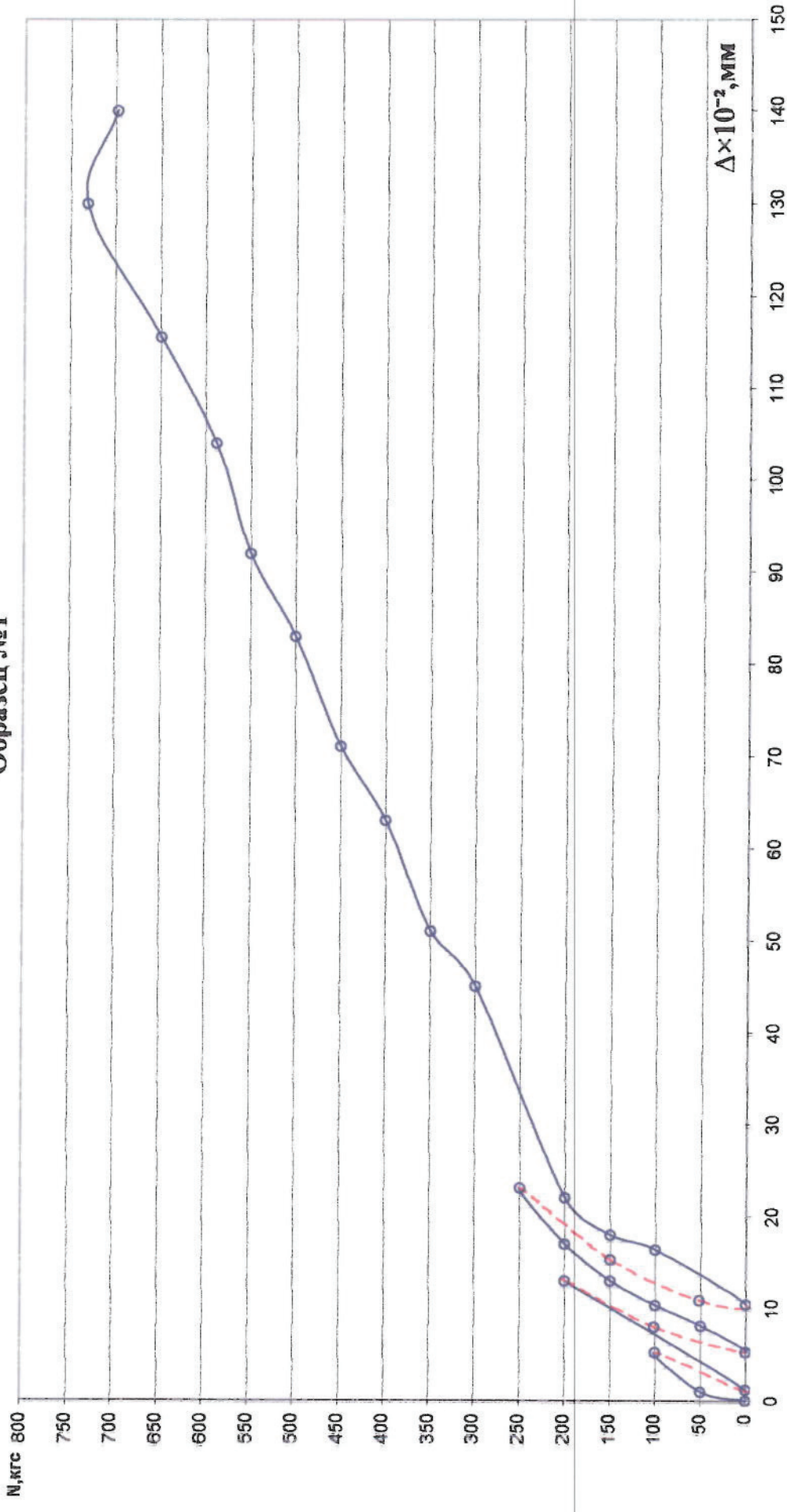


Рис. II. 1.47 График зависимости "нагрузка-перемещение" для химических анкеров марки GRAVIT GHA-P 410 "ALTAY-ECO" (GRAVIT) (глубина анкеровки 150мм).

Образец №2

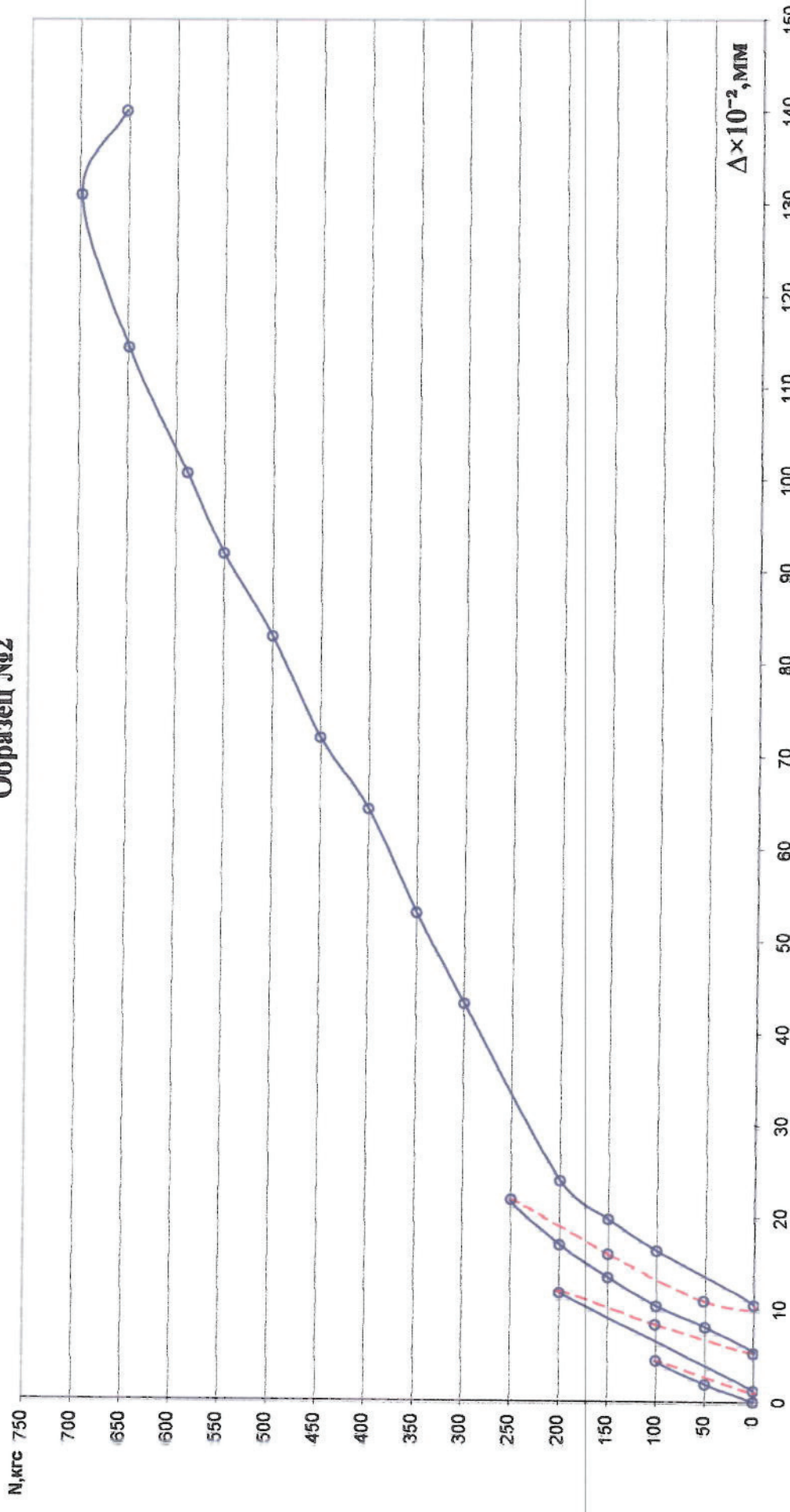


Рис. п. 1.48 График зависимости "нагрузка-перемещение" для химических анкеров марки GRAVIT GHA-P 410 "ALTAY-ECO" (GRAVIT) (глубина анкеровки 150мм).

Анкера фирмы «HILTI»

Образец №1

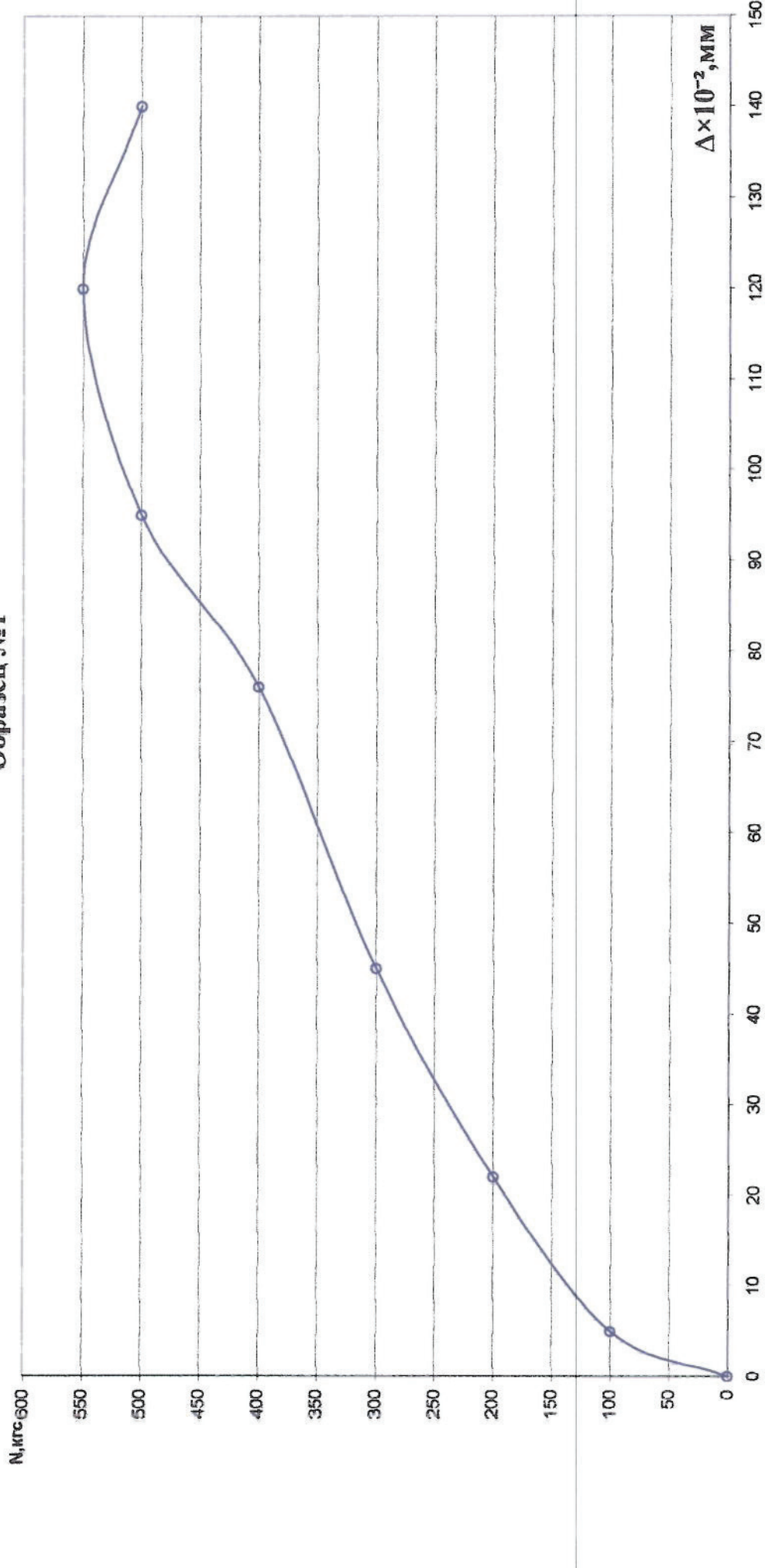


Рис. п. 1.49 График зависимости "нагрузка-перемещение" для фасадных анкеров марки HRD 10×100 (HILTI)
(отверстие выполнено сверлением буром Ø10).

Образец №2

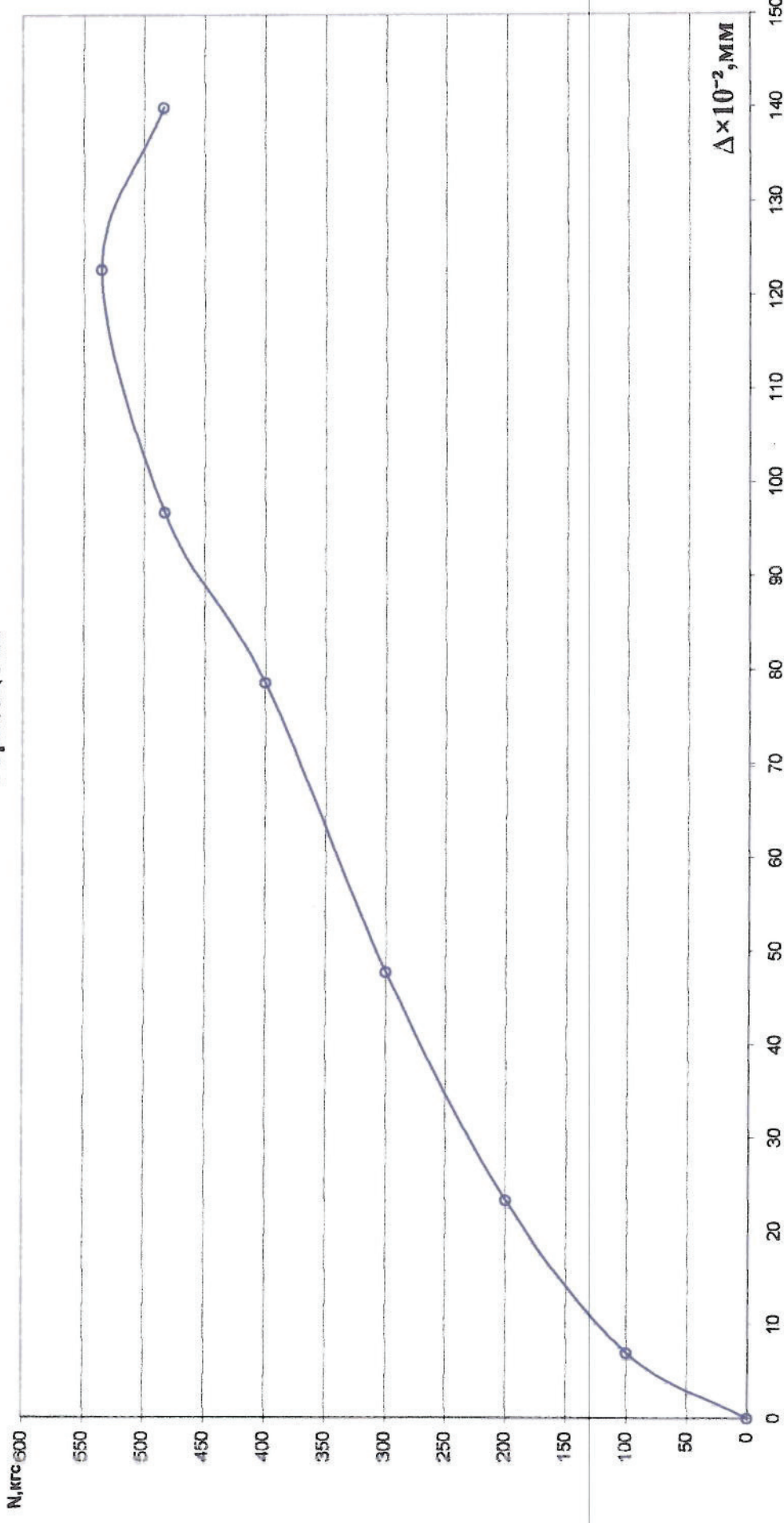


Рис. п. 1.50 График зависимости "нагрузка-перемещение" для фасадных анкеров марки HRD 10×100 (HILTI)
(отверстие выполнено сверлением буром Ø10).

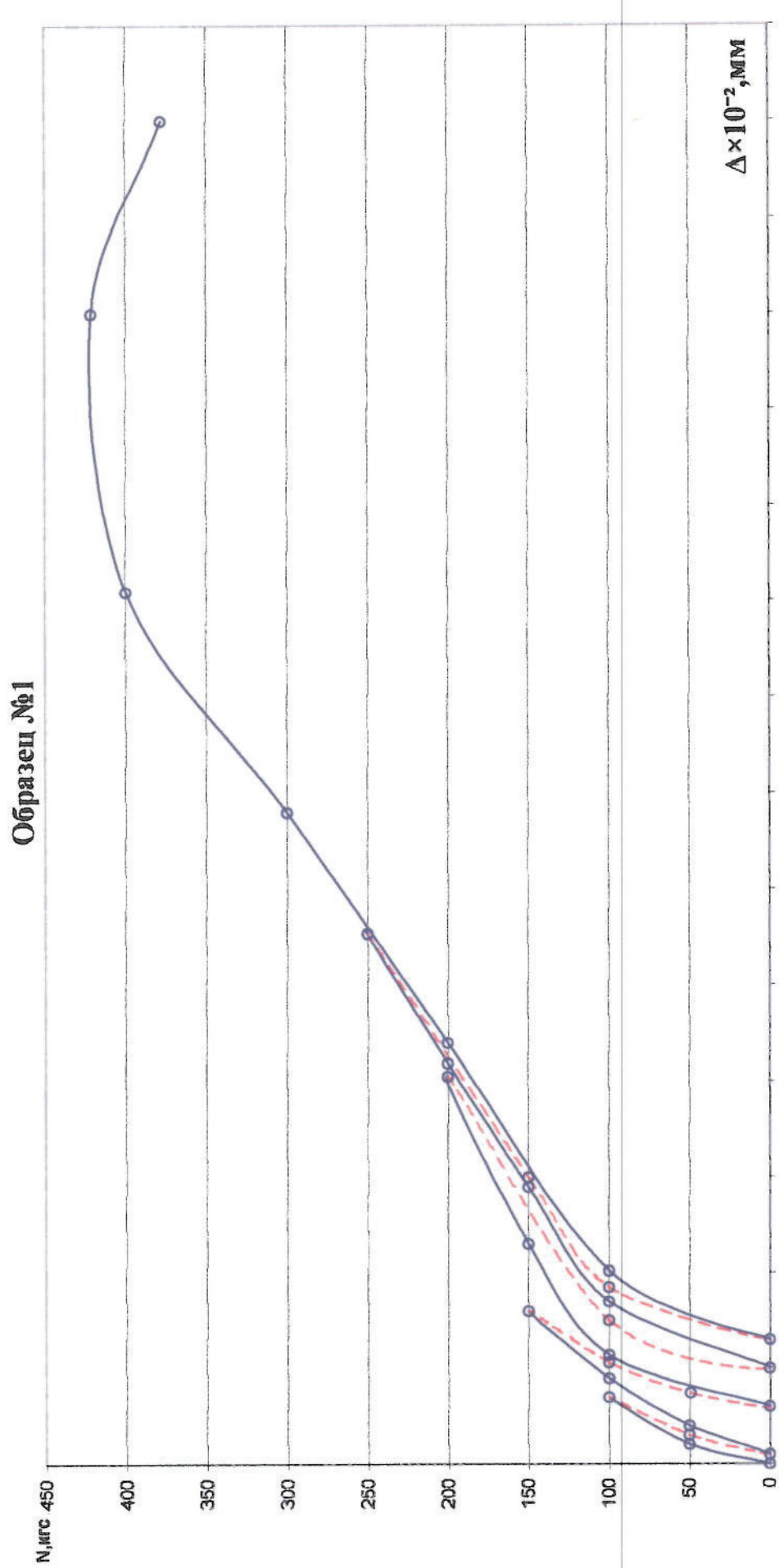


Рис. п. 1.51 График зависимости "нагрузка-перемещение" для фасадных анкеров марки НРД 10×100 (HILTI)
(отверстие выполнено сверлением буром Ø10).

Образец №2

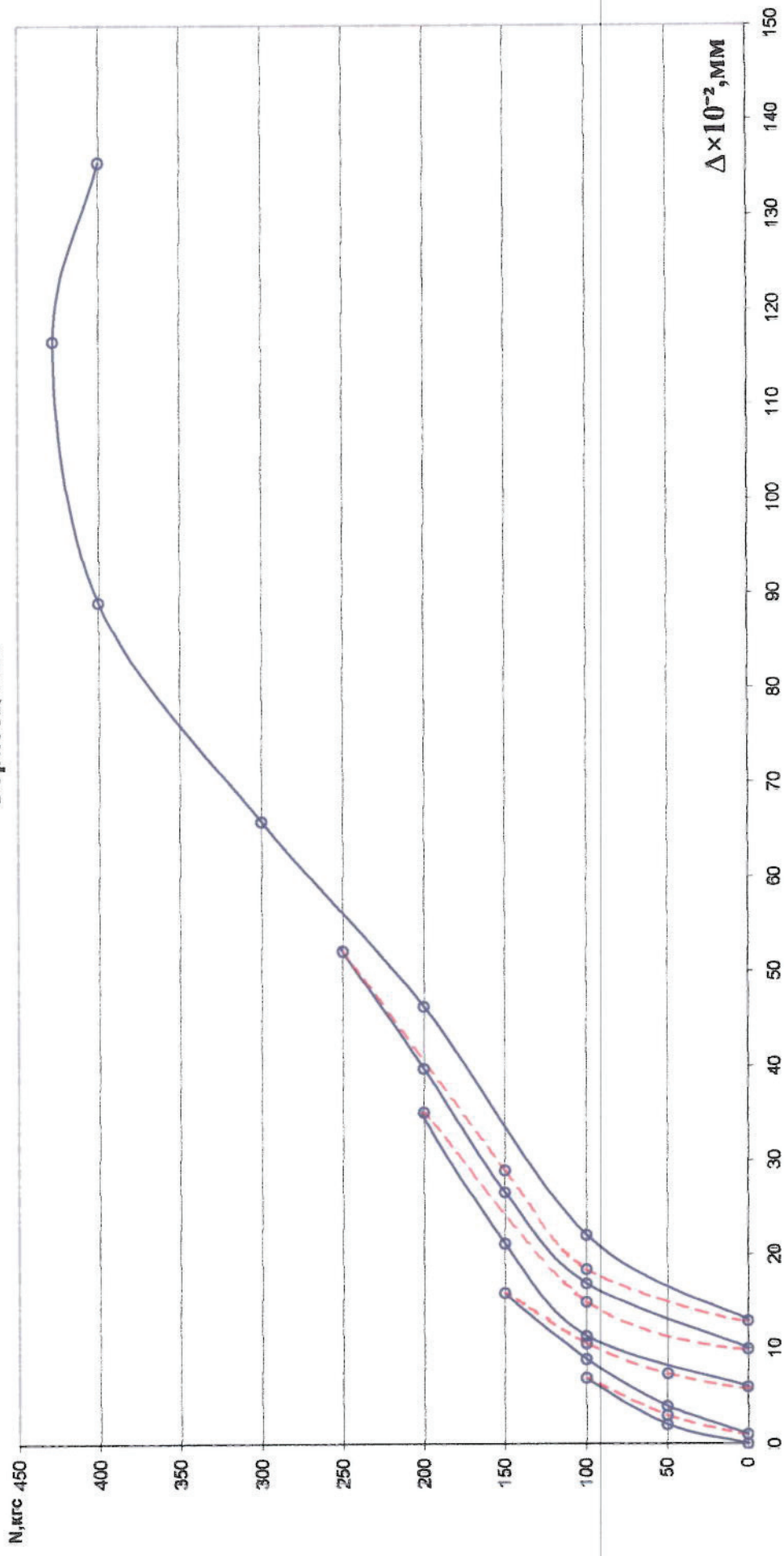


Рис. п. 1.52 График зависимости "нагрузка-перемещение" для фасадных анкеров марки HRD 10×100 (HILTI)
(отверстие выполнено сверлением буром Ø10).

Анкера фирмы «TERMOCLIP»

Образец №1

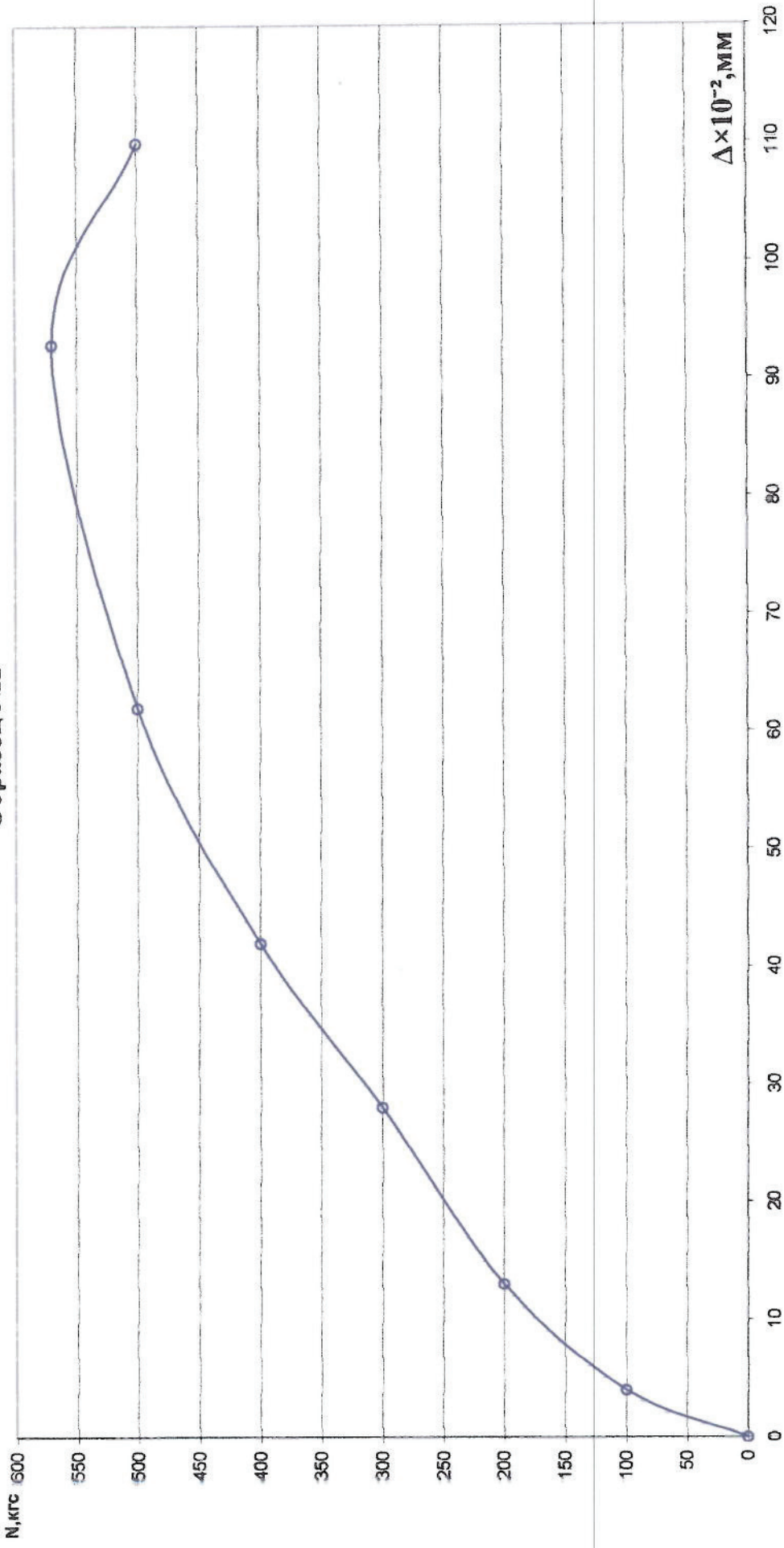


Рис. п. 1 53 График зависимости "нагрузка-перемещение" для фасадных анкеров марки СТЕНА V2 10×100 (TERMOCCLIP) (отверстие выполнено сверлением буром Ø10).

Образец №2

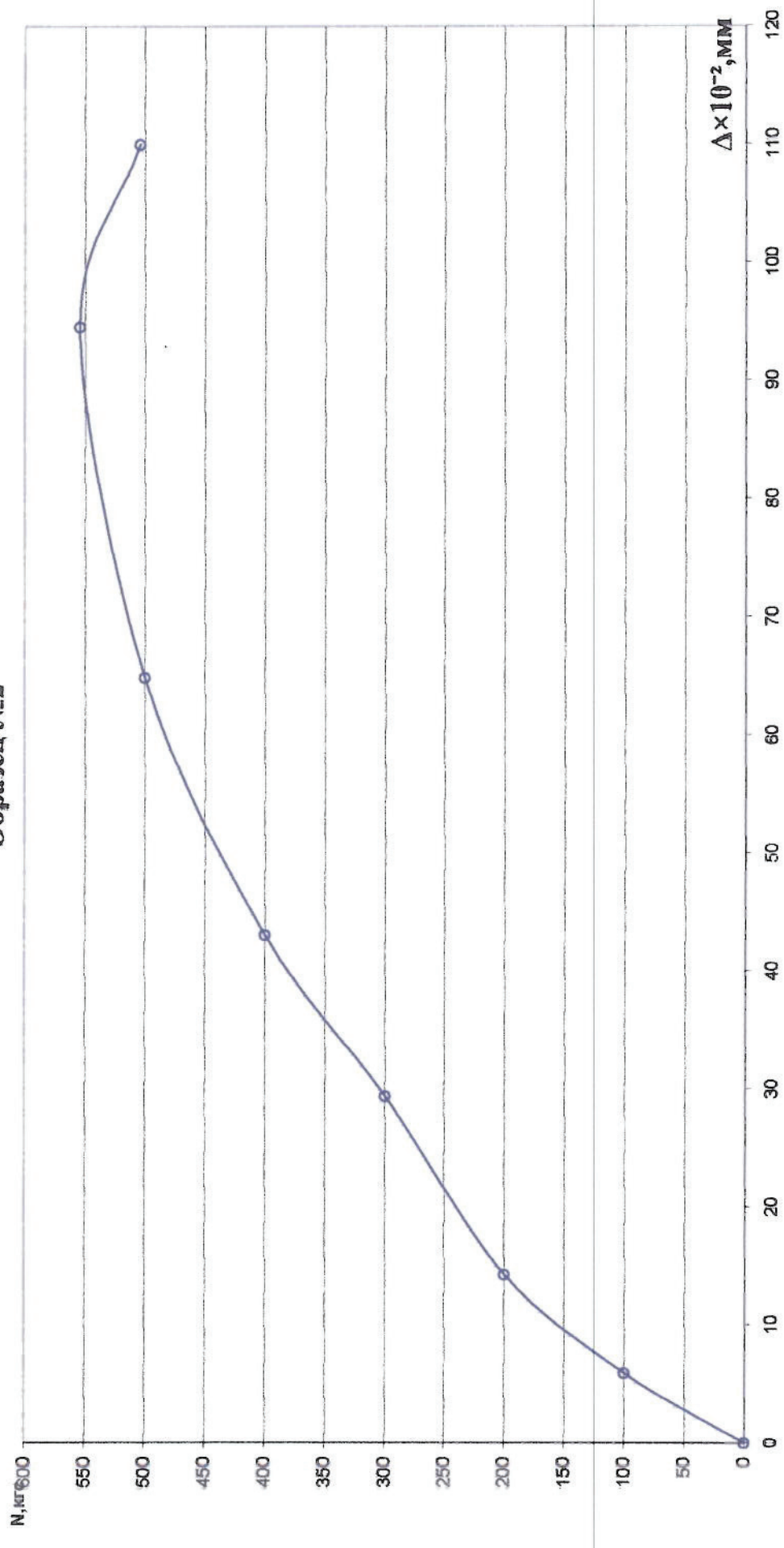


Рис. п. 1.54 График зависимости "нагрузка-перемещение" для фасадных анкеров марки СТЕНА V2 10×100 (TERMOCCLIP) (отверстие выполнено сверлением буром Ø10).

Образец №1

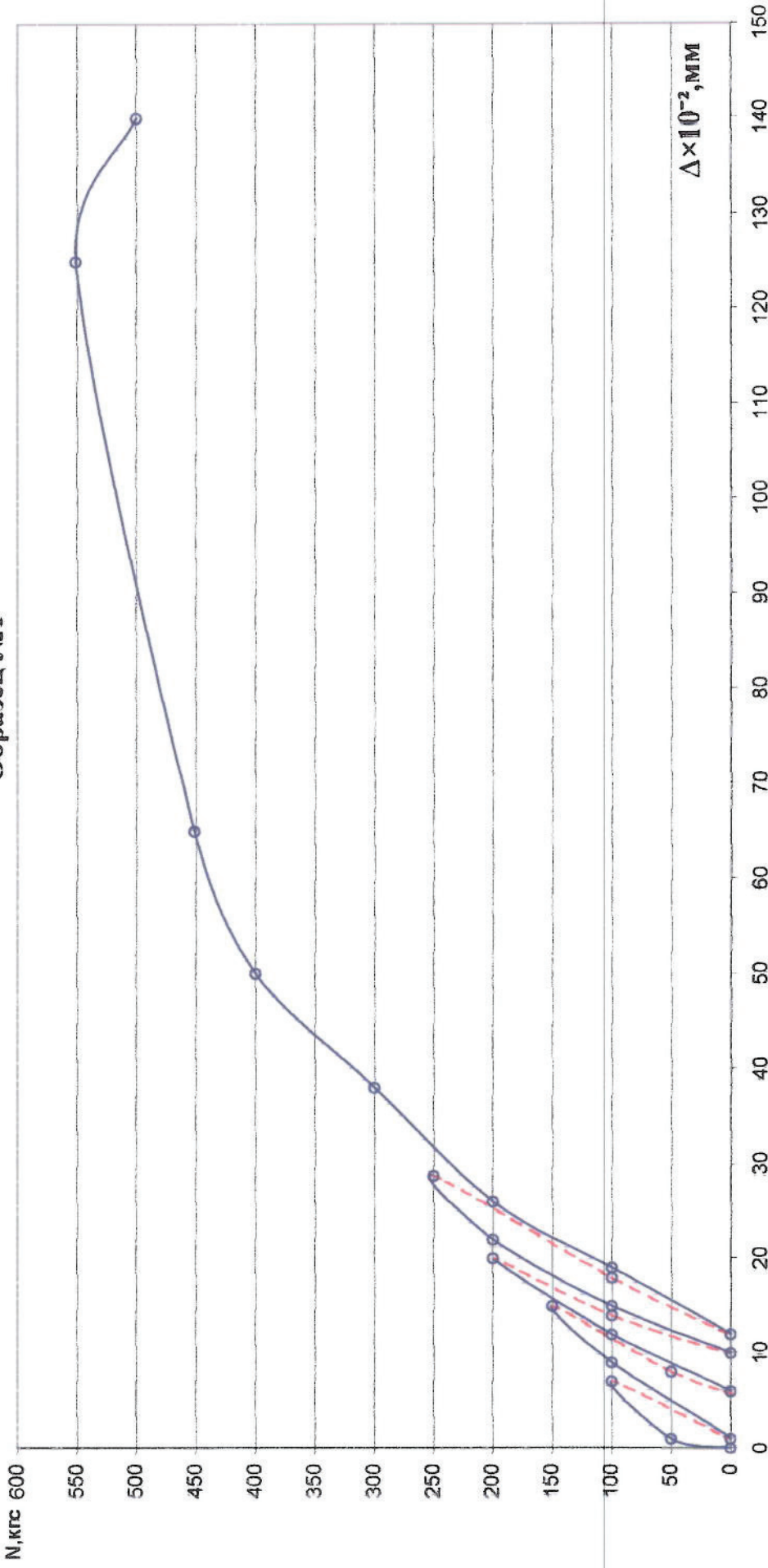


Рис. п. 1.55 График зависимости "нагрузка-перемещение" для фасадных анкеров марки СТЕНА V2 10×100 (TERMOCCLIP) (отверстие выполнено сверлением буром Ø10).

Образец №2

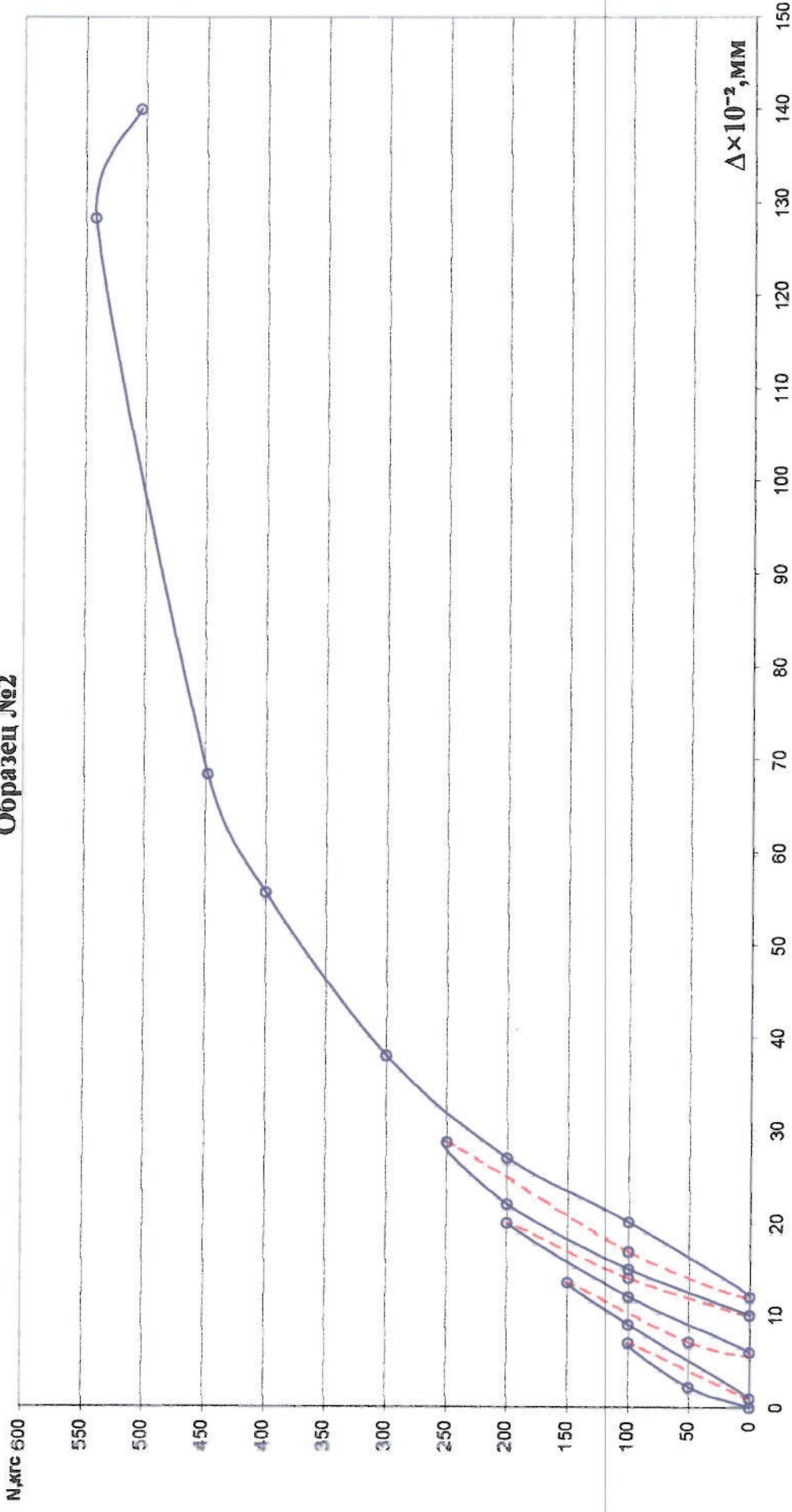


Рис. п. 1.56 График зависимости "нагрузка-перемещение" для фасадных анкеров марки СТЕНА V2 10×100 (TERMOSCLIP) (отверстие выполнено сверлением буром Ø10).

Анкера фирмы «MUNGO»

Образец №1

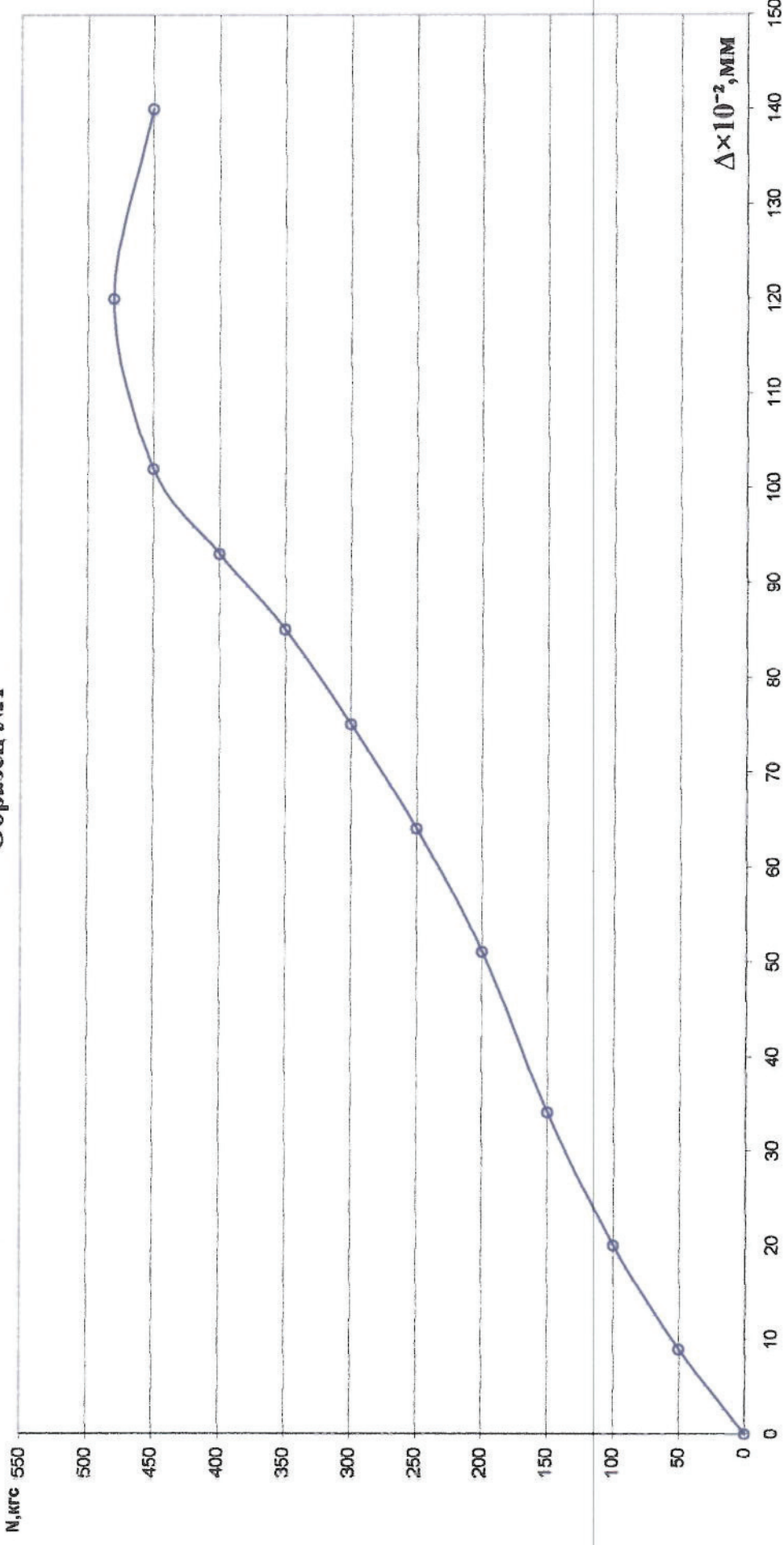


Рис. п. 1.57 График зависимости "нагрузка-перемещение" для фасадных анкеров марки МQL К 10×100 (MUNGO)
(отверстие выполнено сверлением буром Ø10мм).

Образец №2

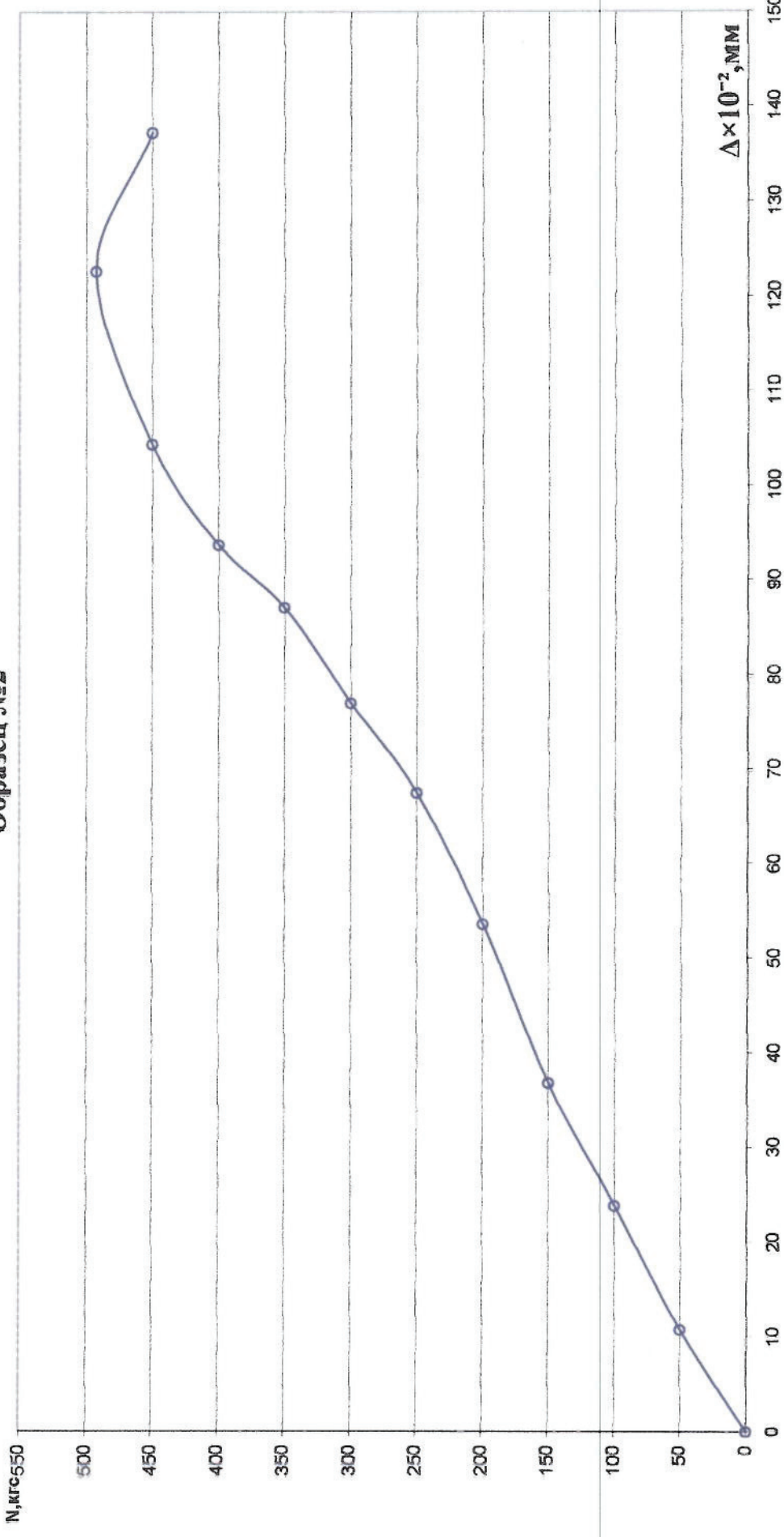


Рис. п. 1.58 График зависимости "нагрузка-перемещение" для фасадных анкеров марки МQL К 10×100 (MUNGO)
(отверстие выполнено сверлением буром Ø10мм).

Образец №1

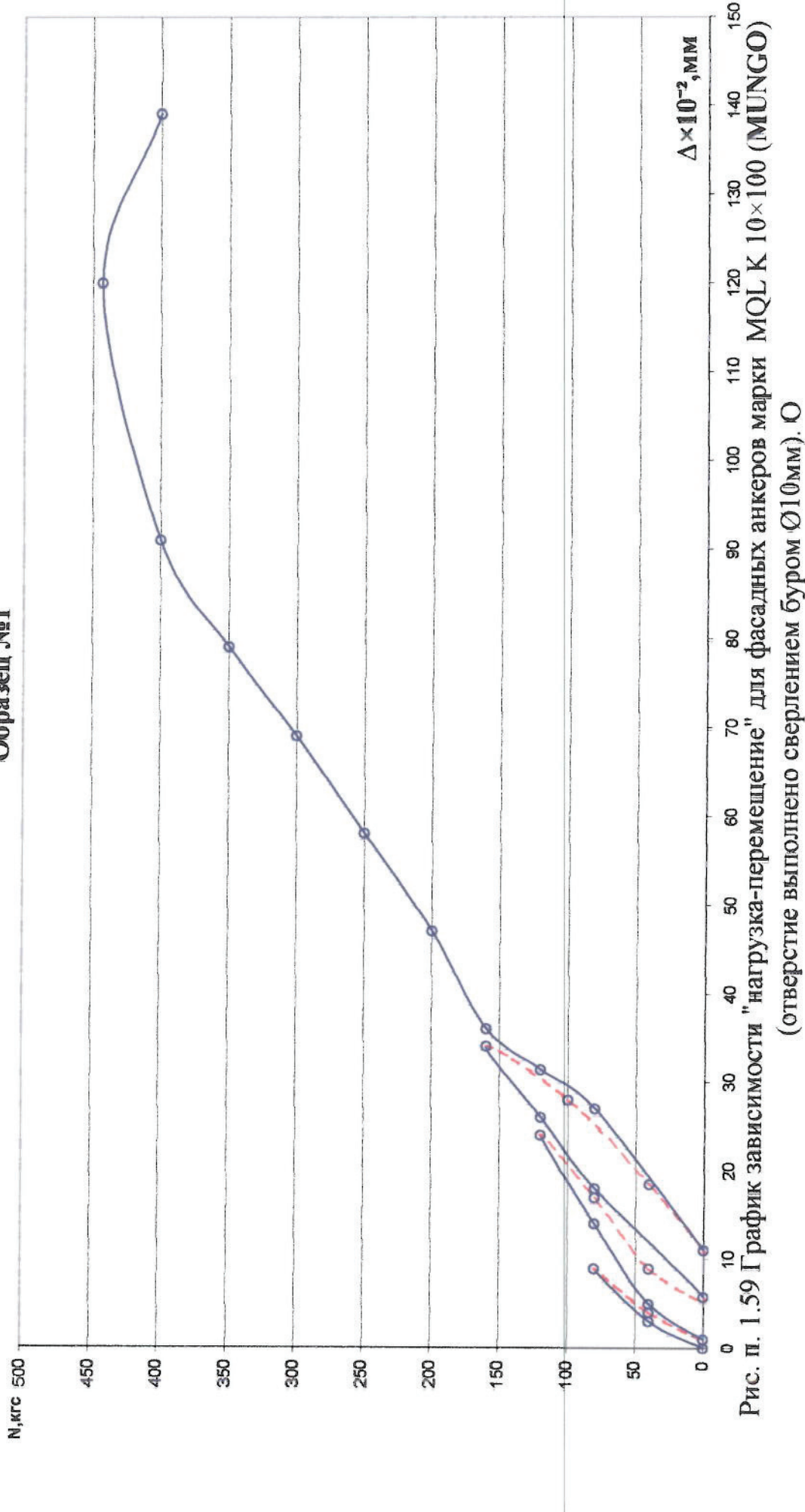


Рис. п. 1.59 График зависимости "нагрузка-перемещение" для фасадных анкеров марки МQL K 10×100 (MUNGO)
(отверстие выполнено сверлением буром Ø10мм). О

Образец №1

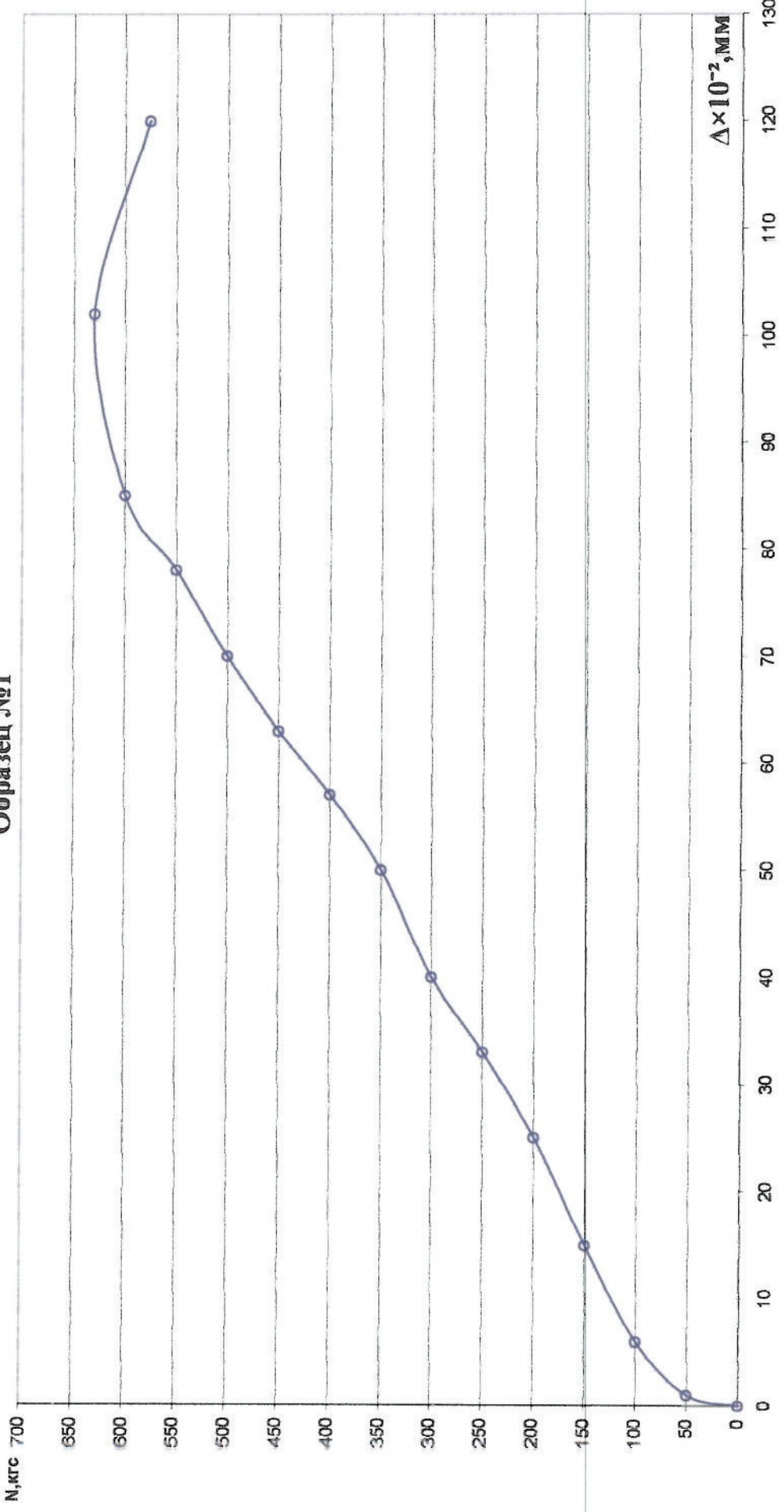


Рис. п. 1.61 График зависимости "нагрузка-перемещение" для фасадных анкеров марки МВК 10×100 (MUNGO)
отверстие выполнено сверлением буром $\varnothing 9\text{мм}$.

Образец №2

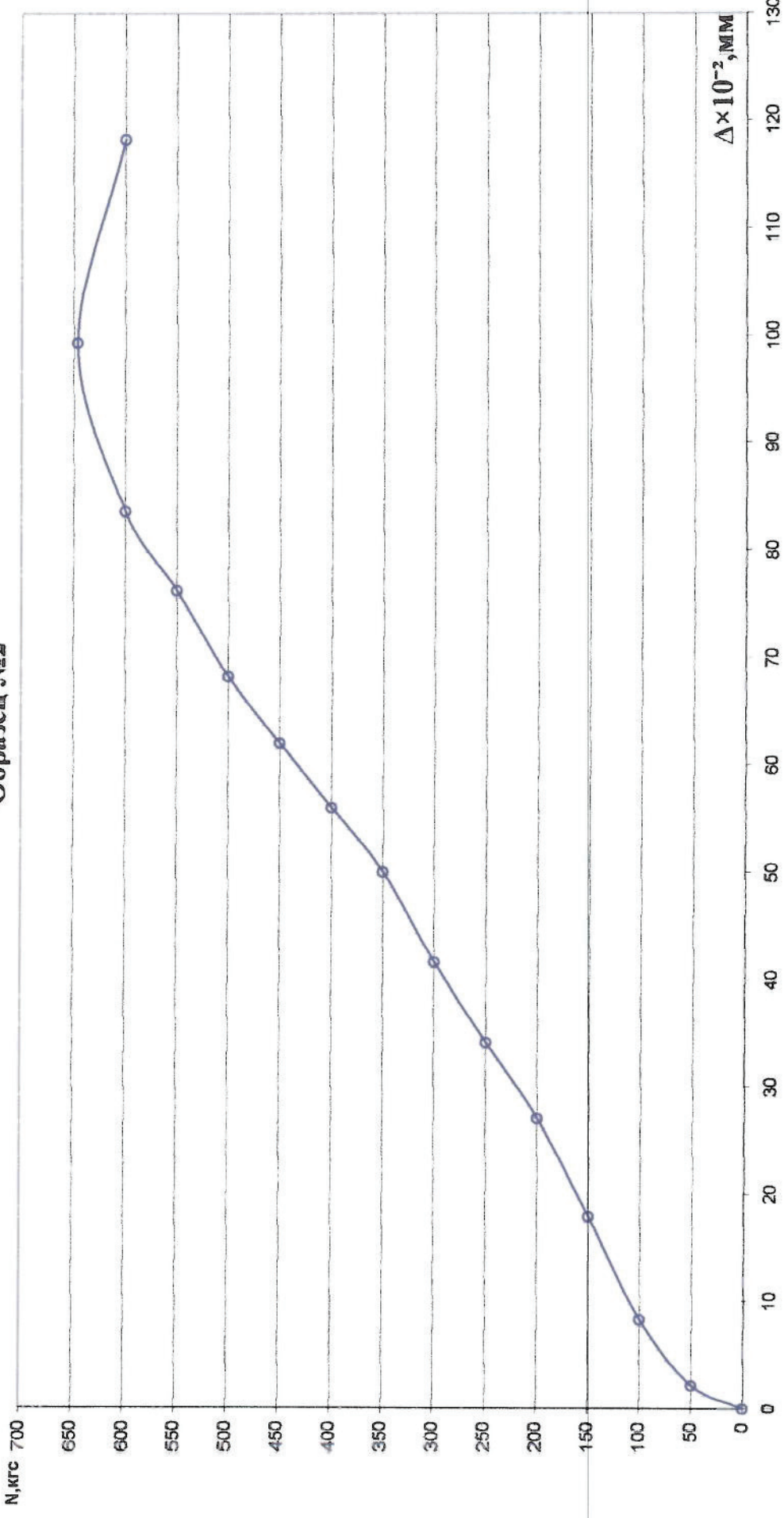


Рис. п. 1.62 График зависимости "нагрузка-перемещение" для фасадных анкеров марки МВК 10×100 (MUNGO)
(отверстие выполнено сверлением буром Ø 9мм).

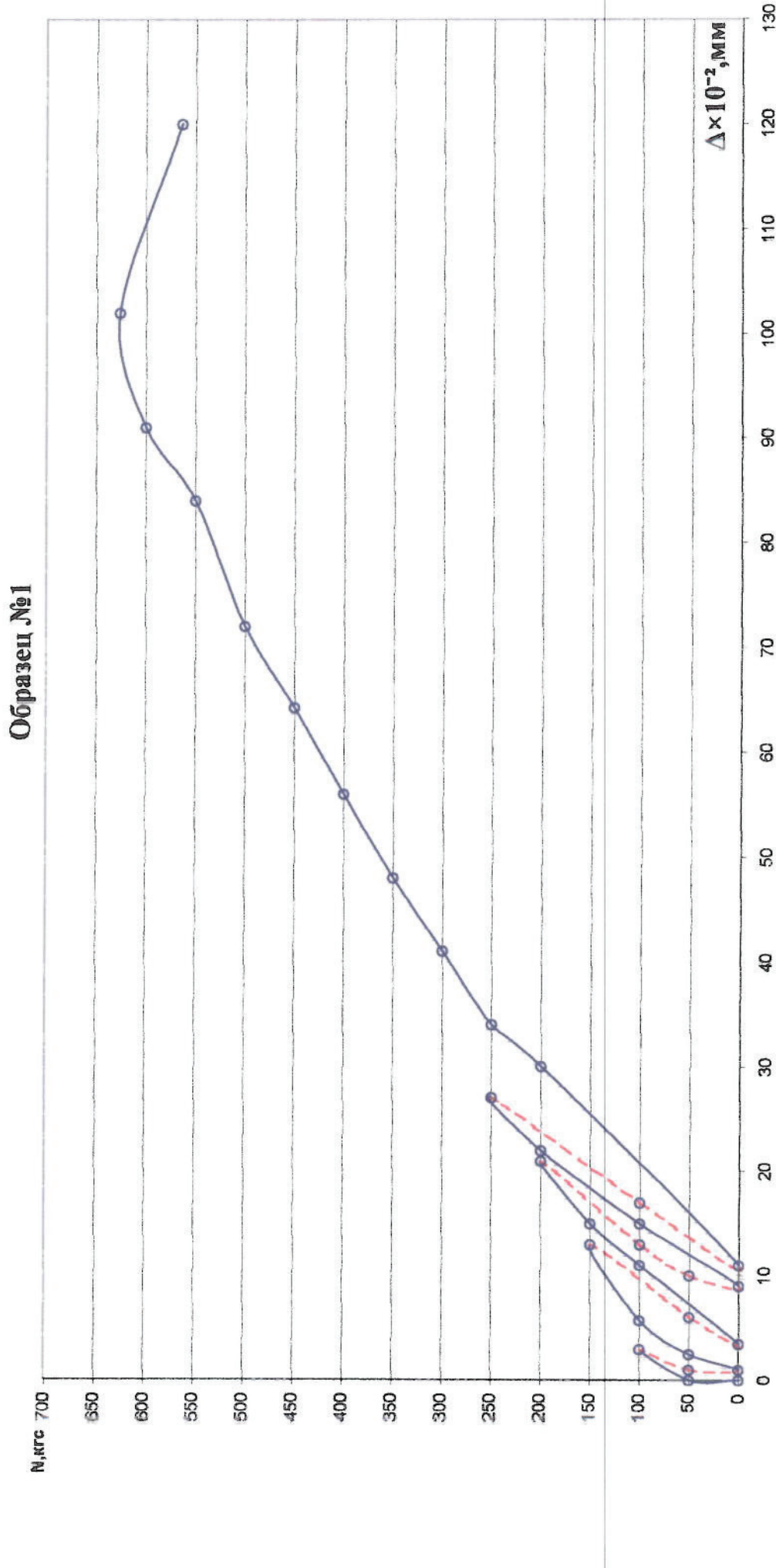


Рис. п. 1.63 График зависимости "нагрузка-перемещение" для фасадных анкеров марки МВК 10×100 (MUNGO)
(отверстие выполнено сверлением буром Ø 9мм).

Образец №1

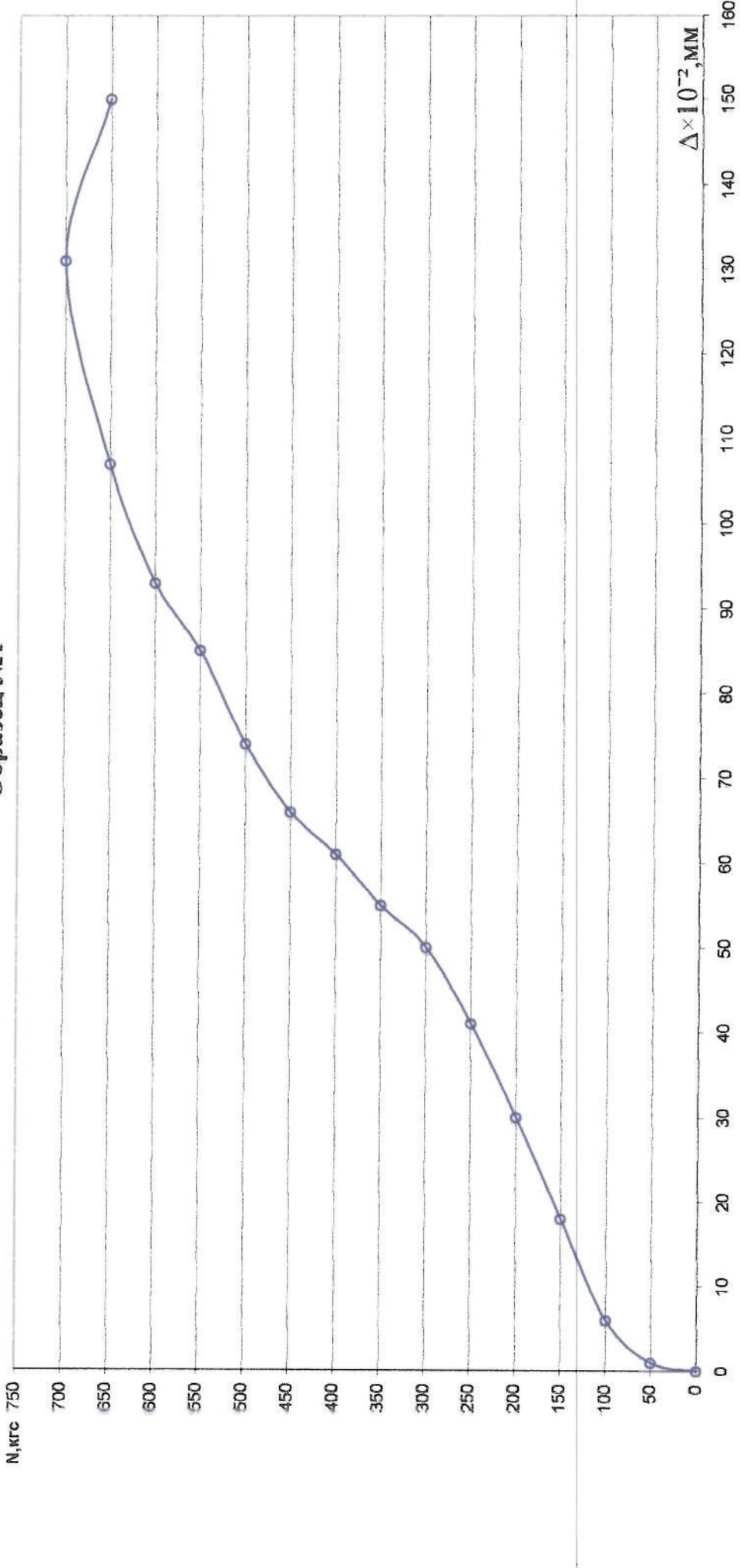


Рис. п. 1.65 График зависимости "нагрузка-перемещение" для фасадных анкеров марки МВК 10×100 (MUNGO)
(отверстие выполнено пробойником Ø 10мм).

Образец №2

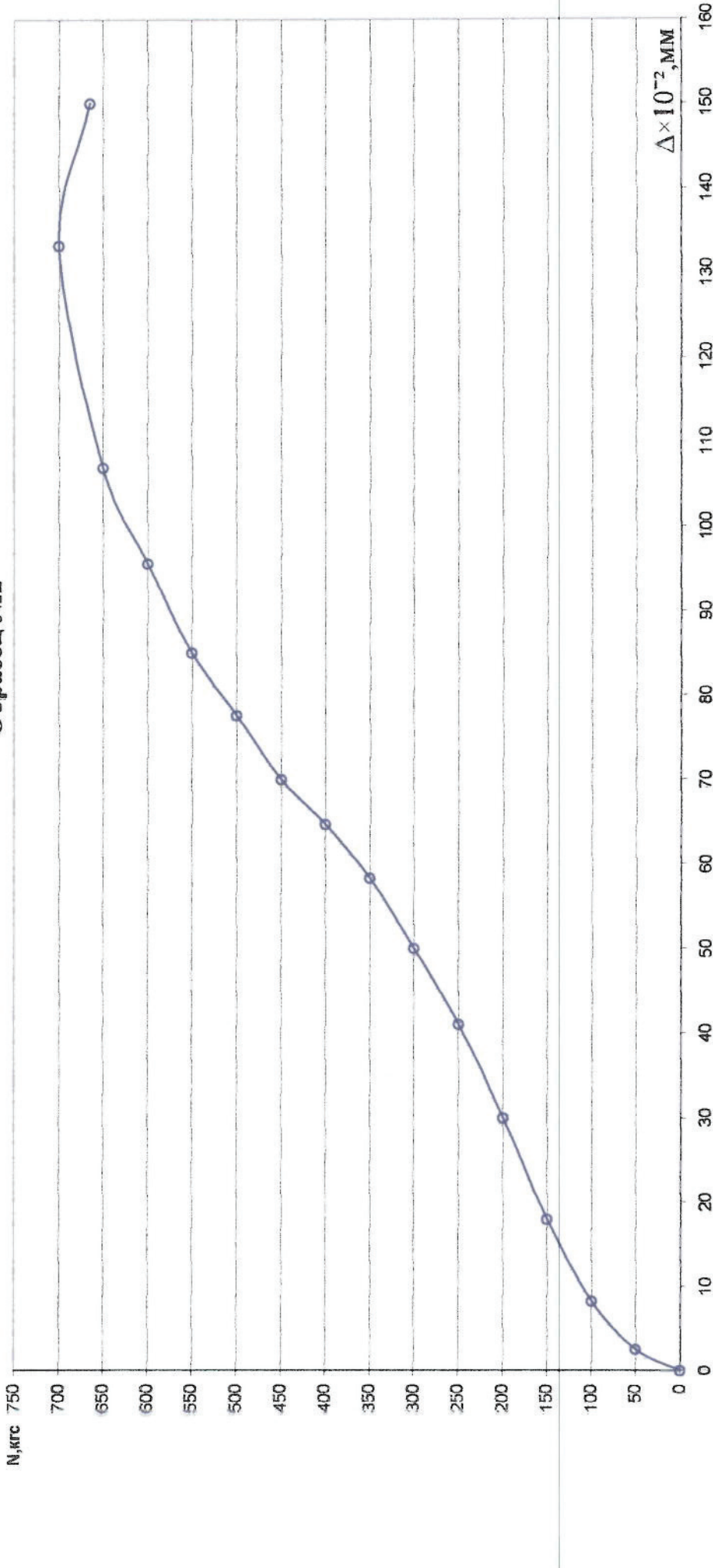


Рис. п. 1.66 График зависимости "нагрузка-перемещение" для фасадных анкеров марки МВК 10×100 (MUNGO)
(отверстие выполнено пробойником Ø 10мм).

Образец №1

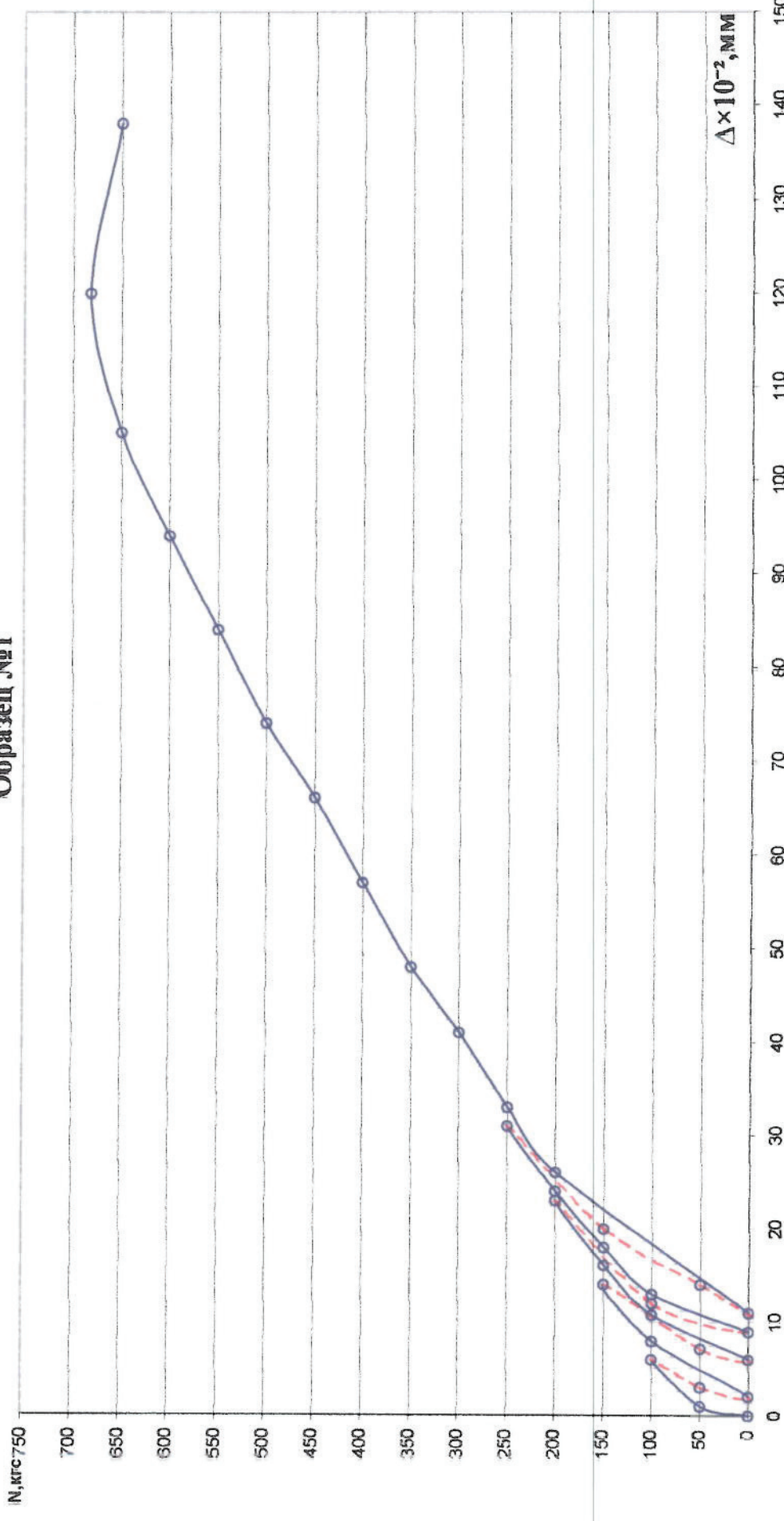


Рис. п. 1.67 График зависимости "нагрузка-перемещение" для фасадных анкеров марки МВК 10×100 (MUNGO)
(отверстие выполнено пробойником Ø 10мм).

Образец №2

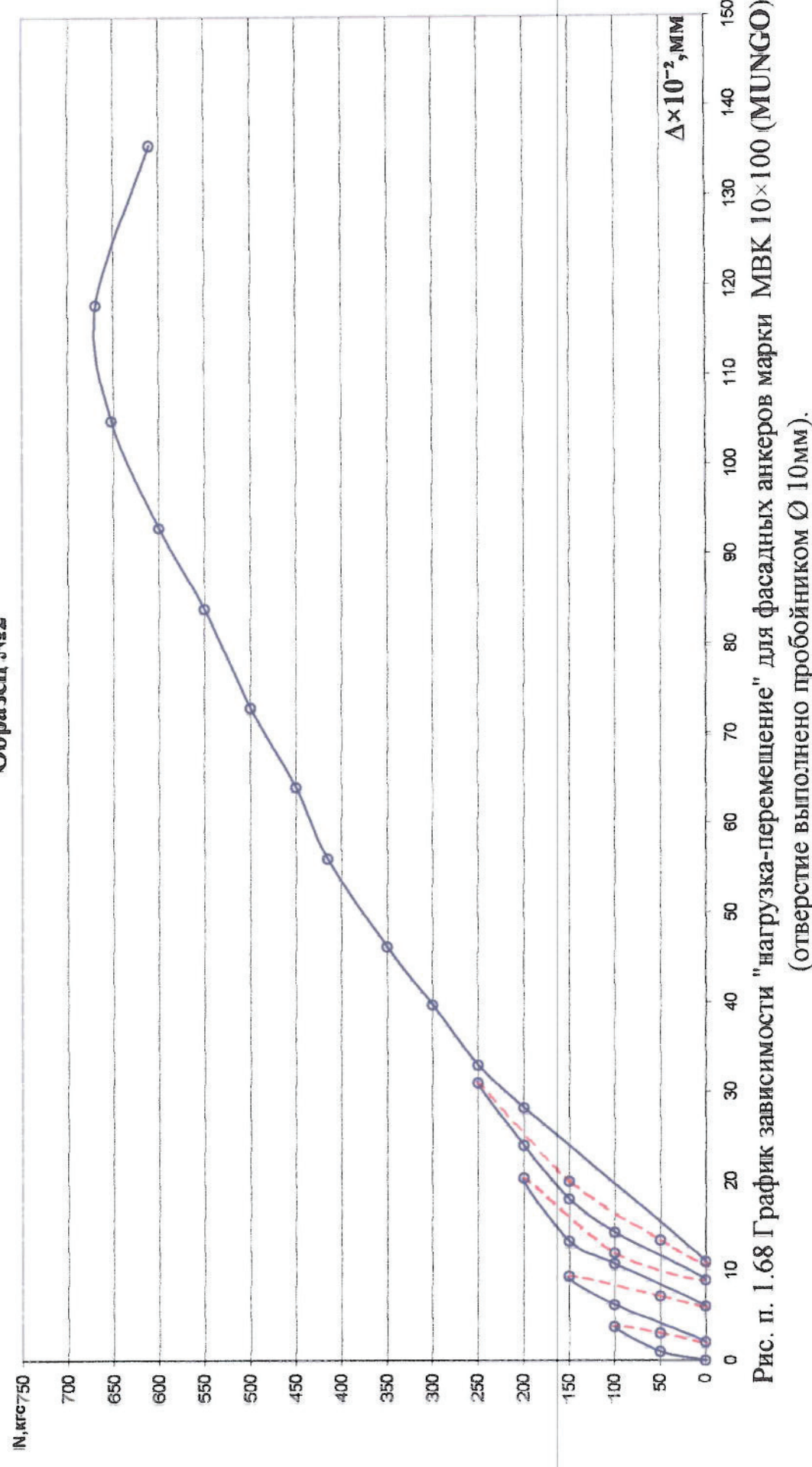


Рис. п. 1.68 График зависимости "нагрузка-перемещение" для фасадных анкеров марки МВК 10×100 (MUNGO) (отверстие выполнено пробойником Ø 10мм).

Образец №1

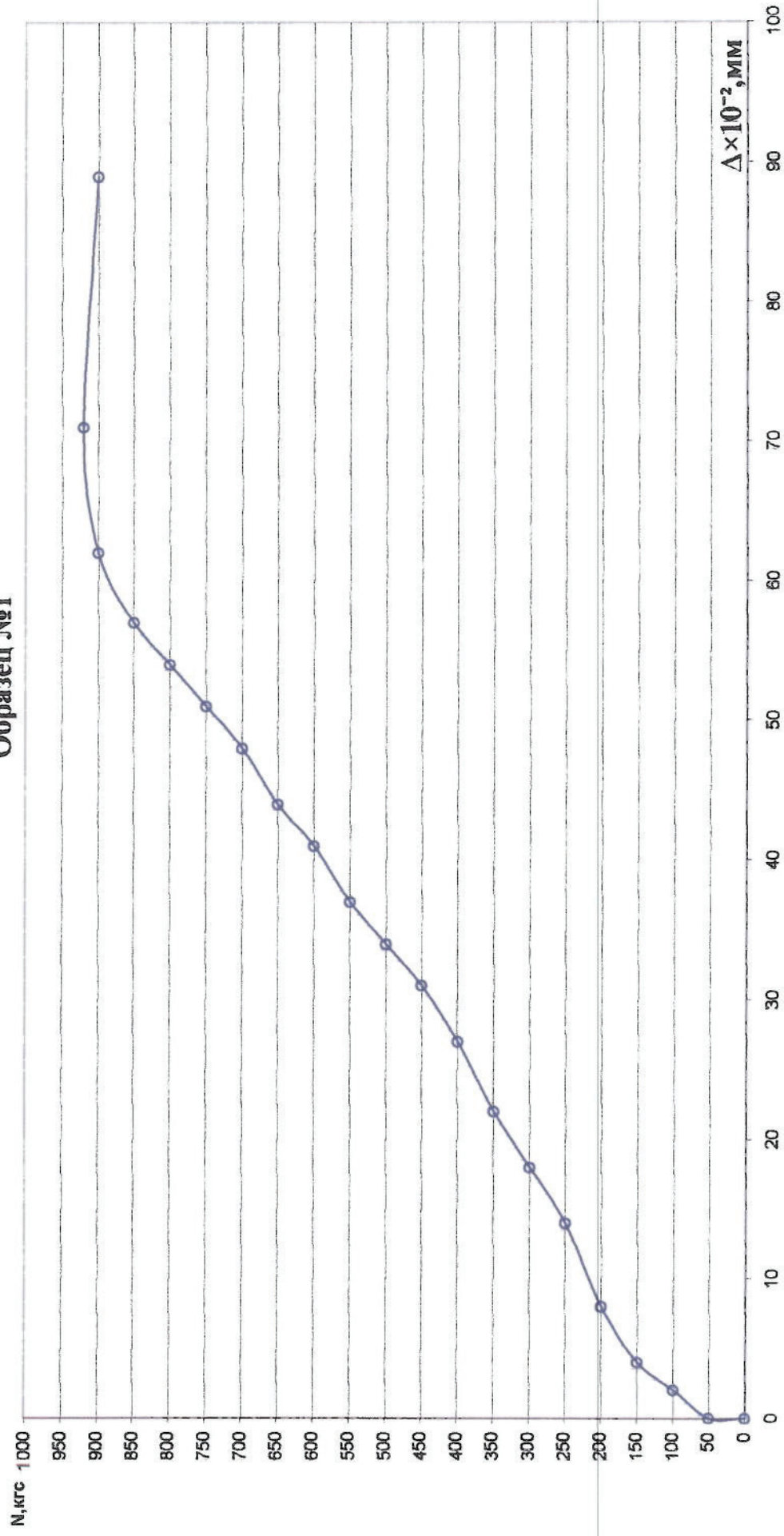


Рис. II. 1.69 График зависимости "нагрузка-перемещение" для химических анкеров марки MIT SP (MUNGO)
(глубина анкеровки 150мм).

Образец №2

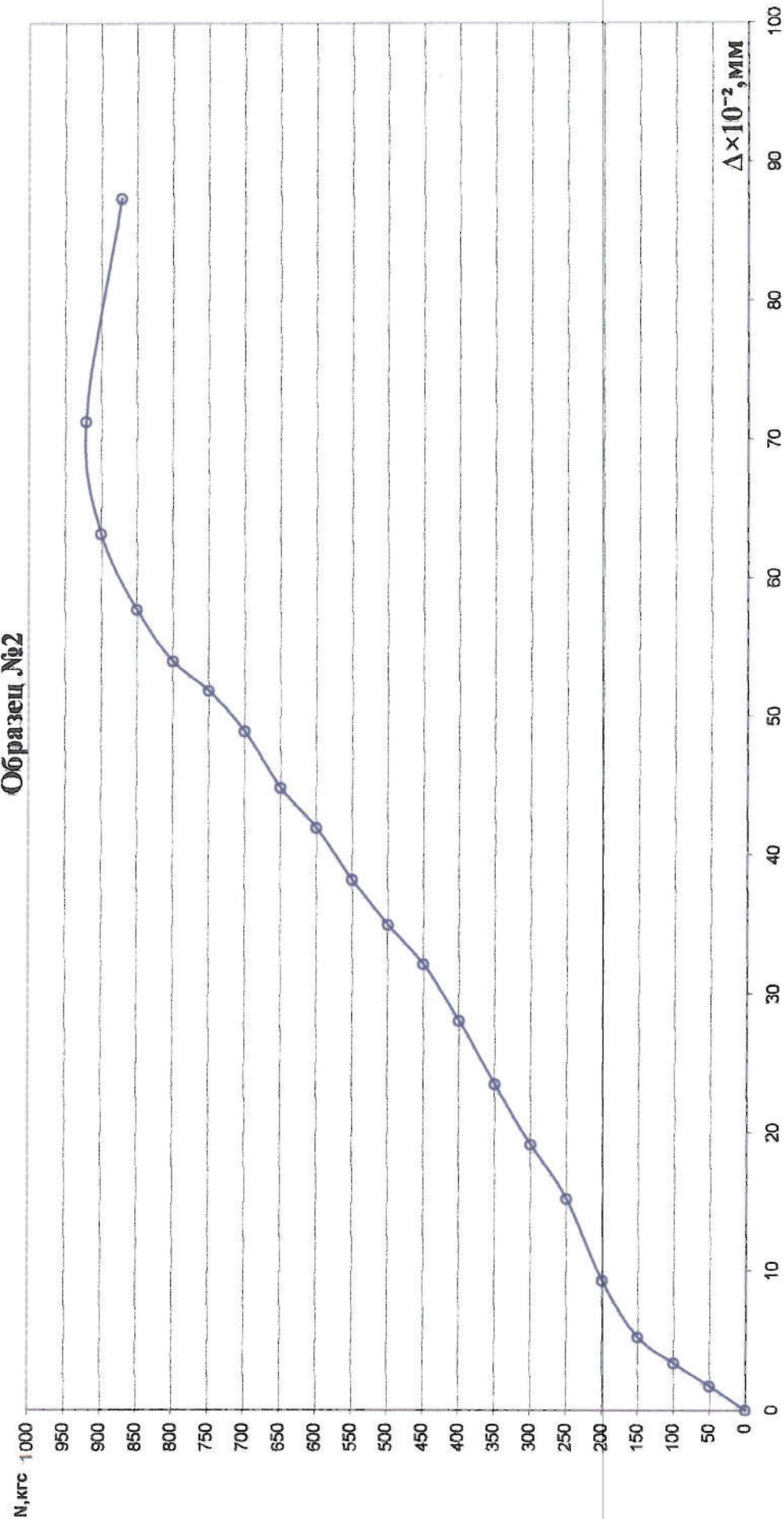


Рис. п. 1.70 График зависимости "нагрузка-перемещение" для химических анкеров марки MIT SP (MUNGO)
(глубина анкеровки 150мм).

Образец №1

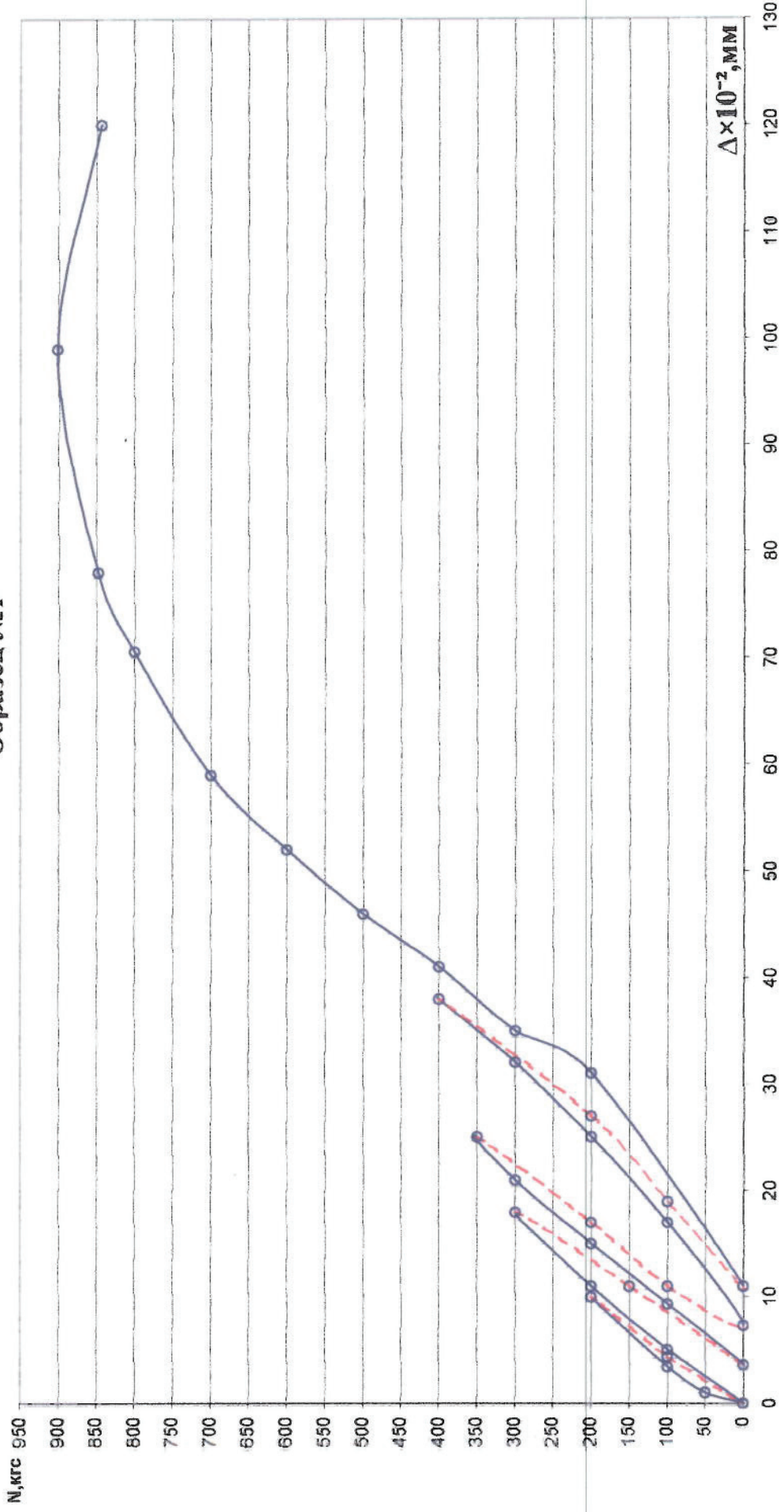


Рис. п. 1.71 График зависимости "нагрузка-перемещение" для химических анкеров марки MIT SP (MUNGO)
(глубина анкеровки 150мм).

Образец №2

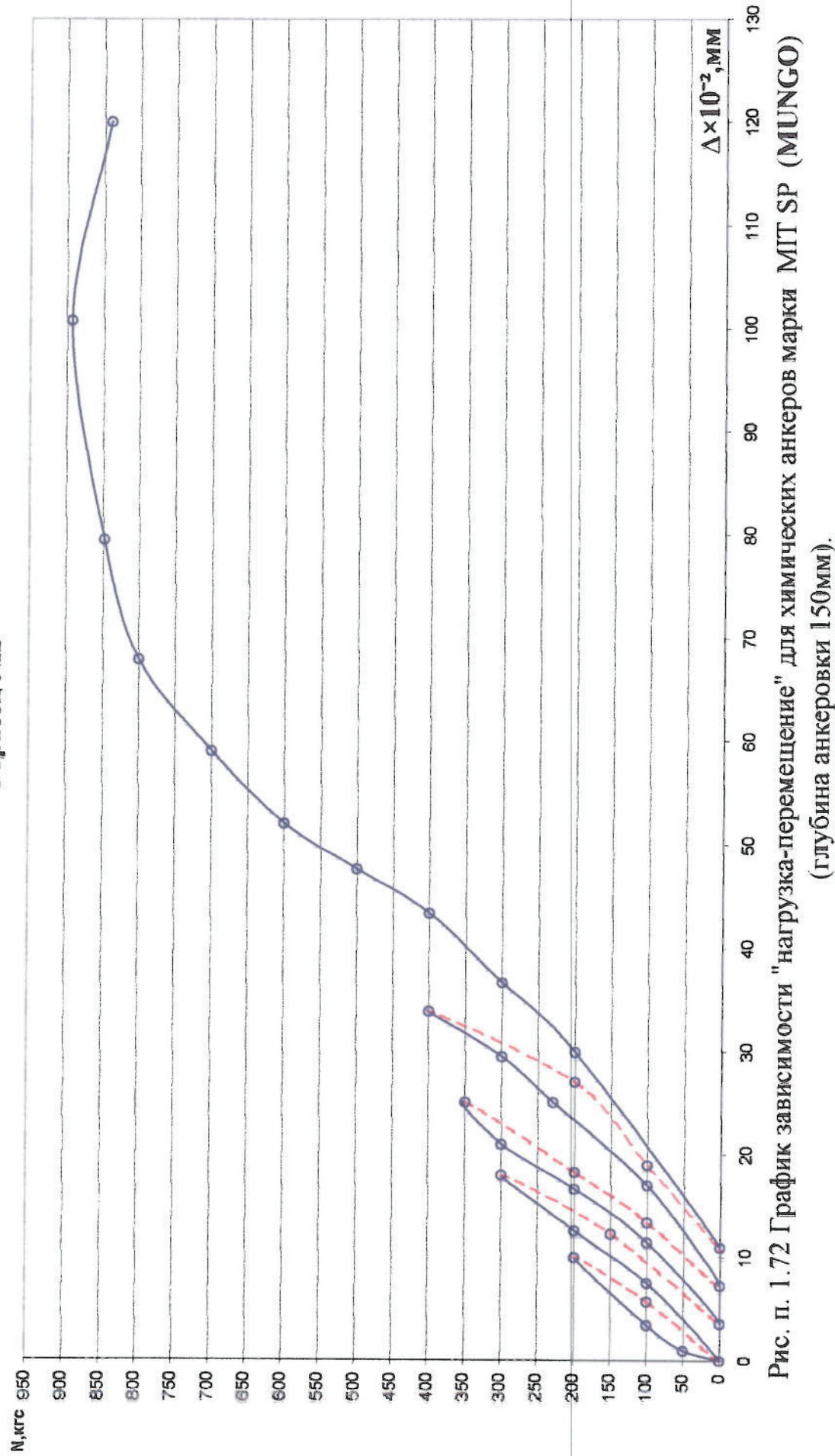


Рис. п. 1.72 График зависимости "нагрузка-перемещение" для химических анкеров марки МИТ SP (MUNGO)
(глубина анкеровки 150мм).

Анкера фирмы «ELEMENTA»

Образец №1

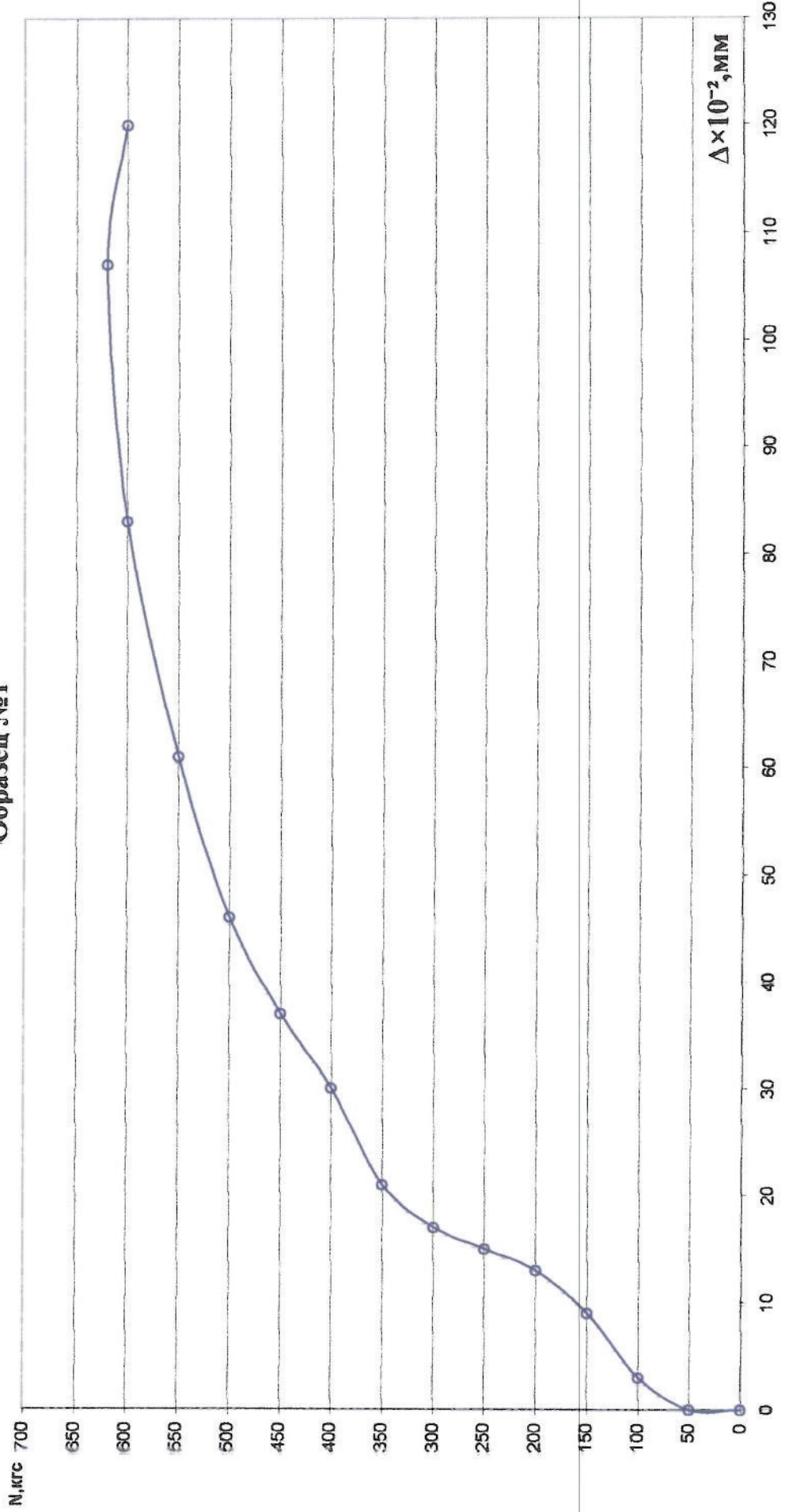


Рис. п. 1.73 График зависимости "нагрузка-перемещение" для фасадных анкеров марки EFA FH 10×100 (ELEMENTA) (отверстие выполнено пробойником Ø 10).

Образец №2

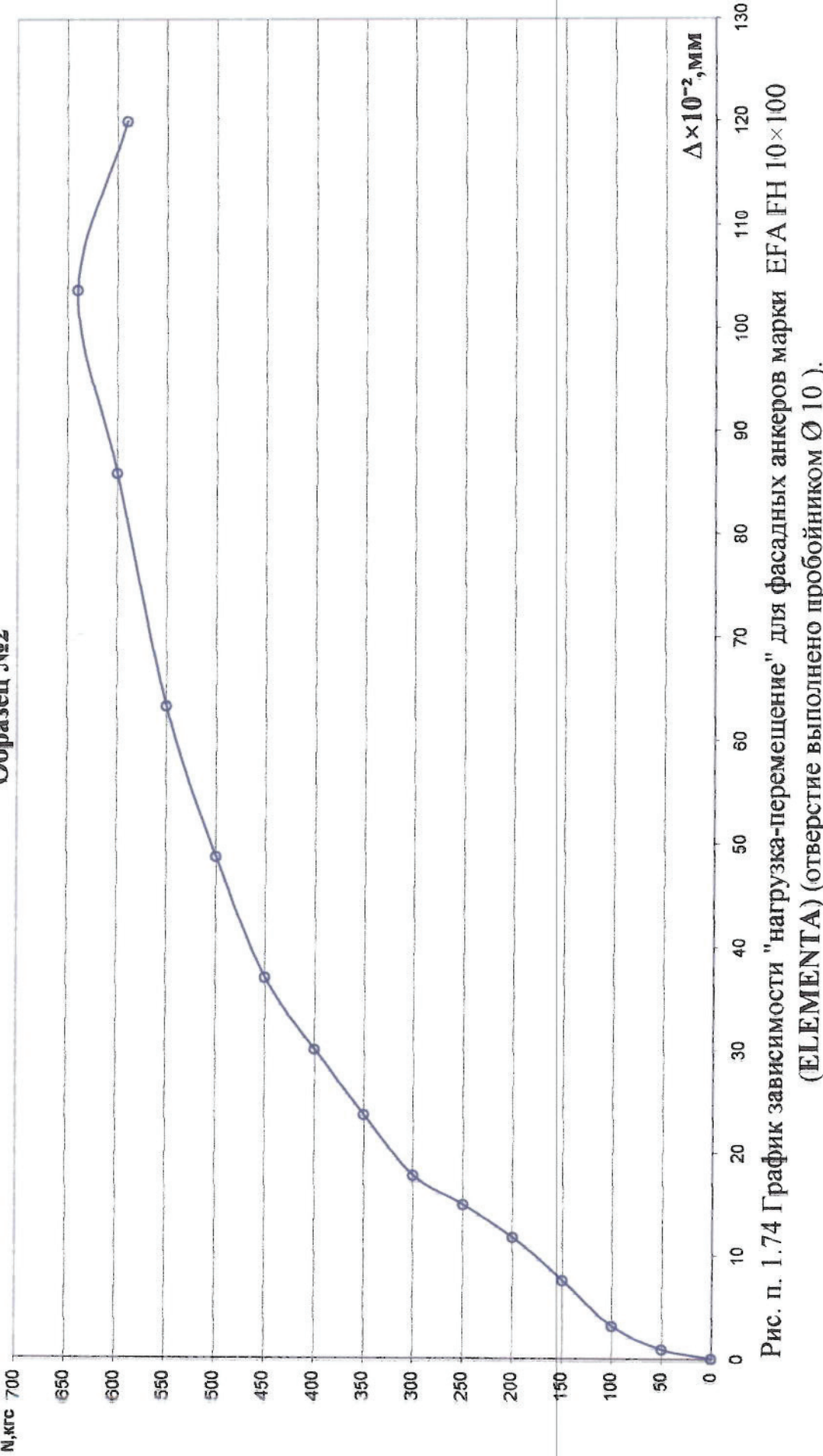


Рис. п. 1.74 График зависимости "нагрузка-перемещение" для фасадных анкеров марки EFA FH 10×100 (ELEMENTA) (отверстие выполнено пробойником Ø 10).

Образец №1

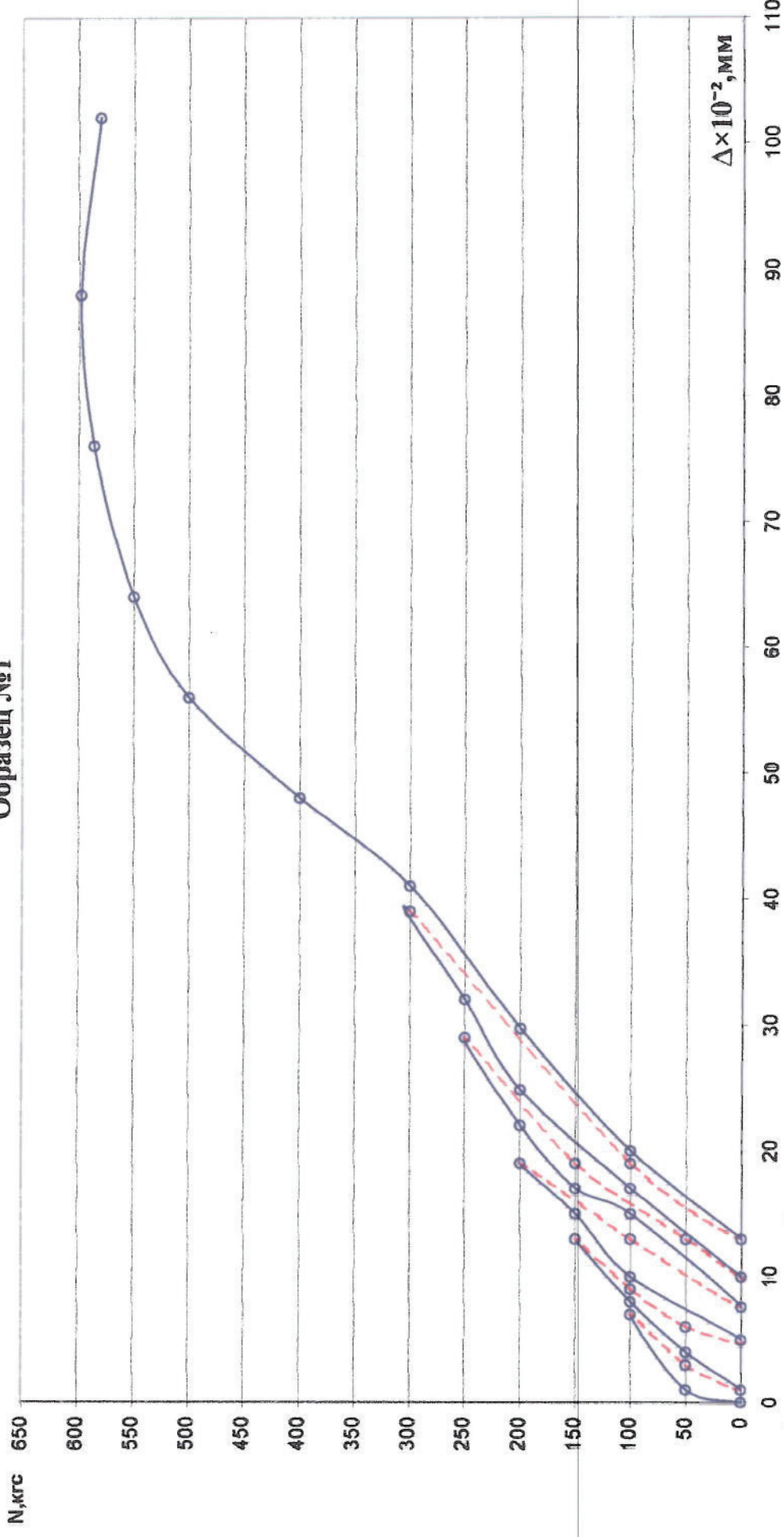
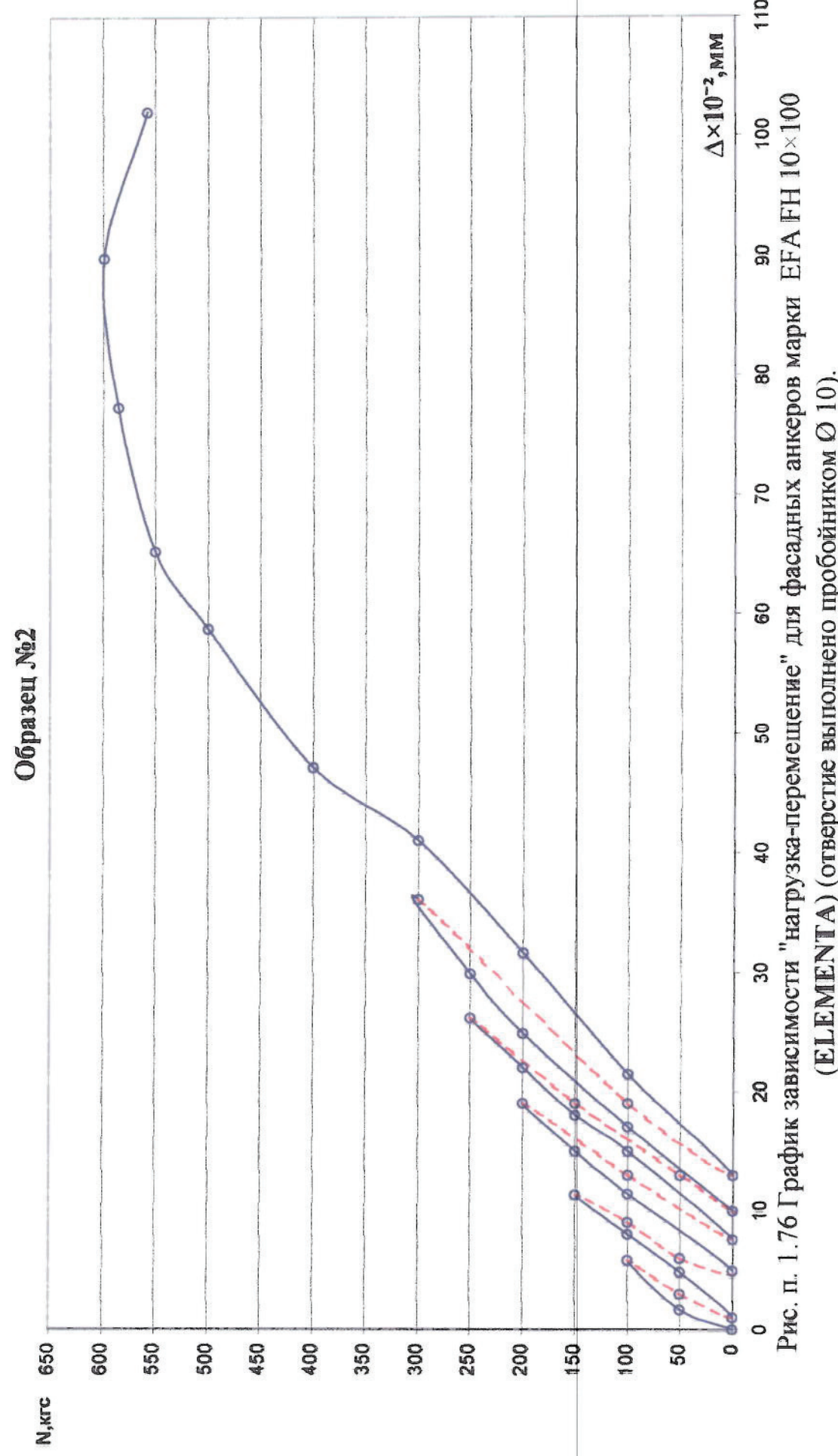


Рис. п. 1.75 График зависимости "нагрузка-перемещение" для фасадных анкеров марки EFA FH 10×100 (ELEMENTA) (отверстие выполнено пробойником Ø 10).



Образец №1

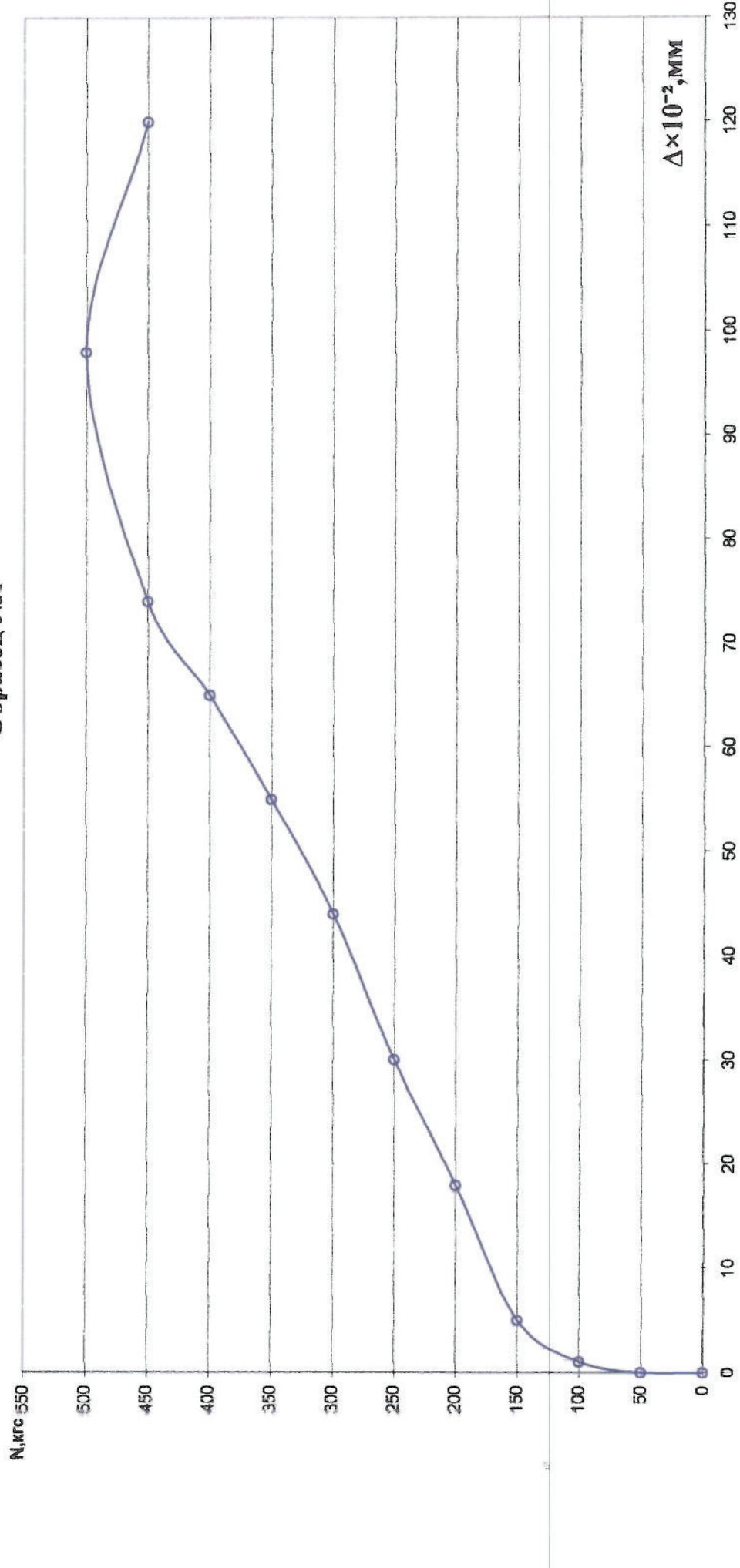


Рис. II.1.77 График зависимости "нагрузка-перемещение" для фасадных анкеров марки EFA FH 10×100 (ELEMENT FA) (отверстие выполнено сверлением буром Ø10).

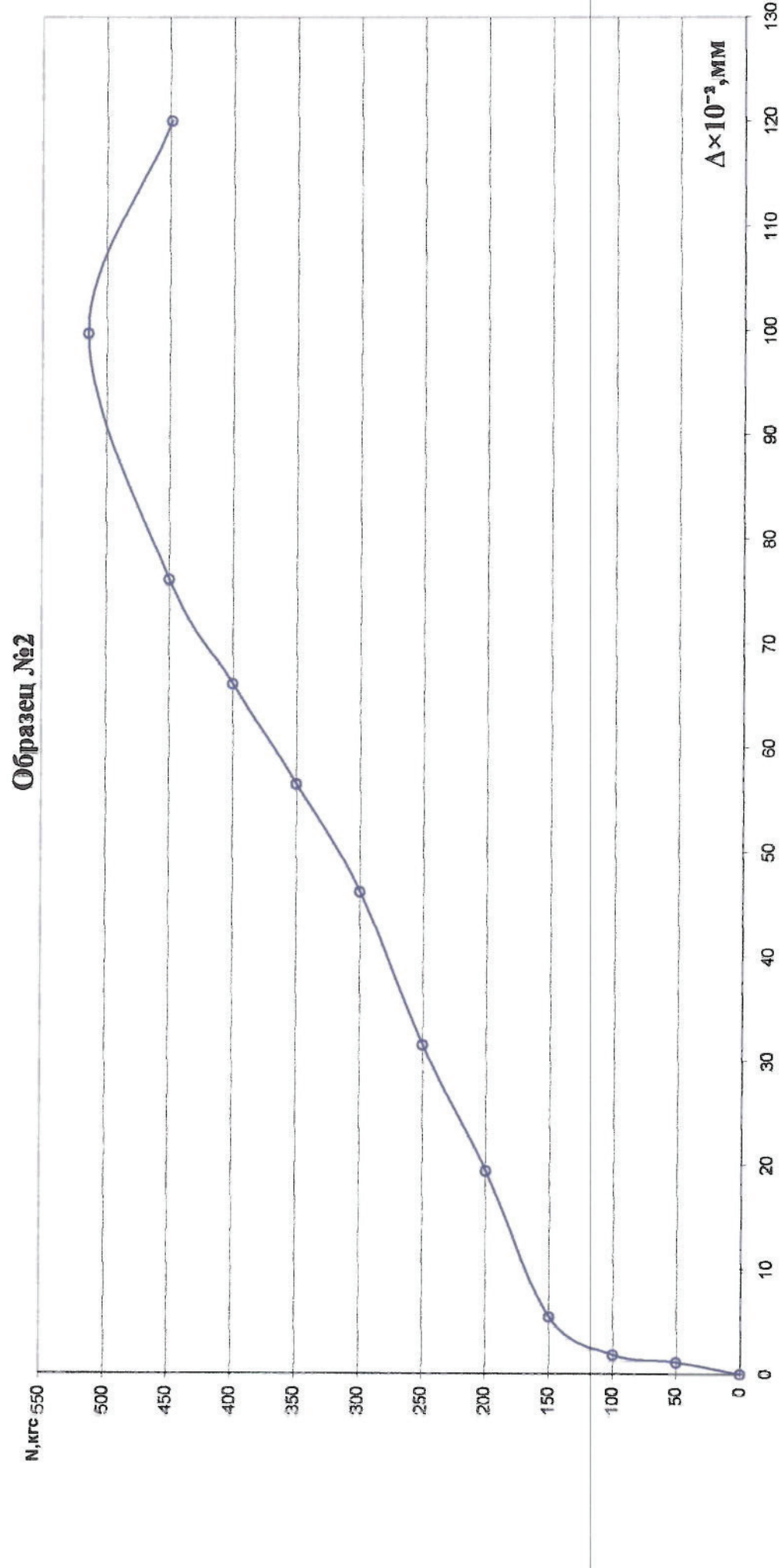


Рис. п. 1.78 График зависимости "нагрузка-перемещение" для фасадных анкеров марки EFA FH 10×100 (ELEMENTA) (отверстие выполнено сверлением буром Ø10).

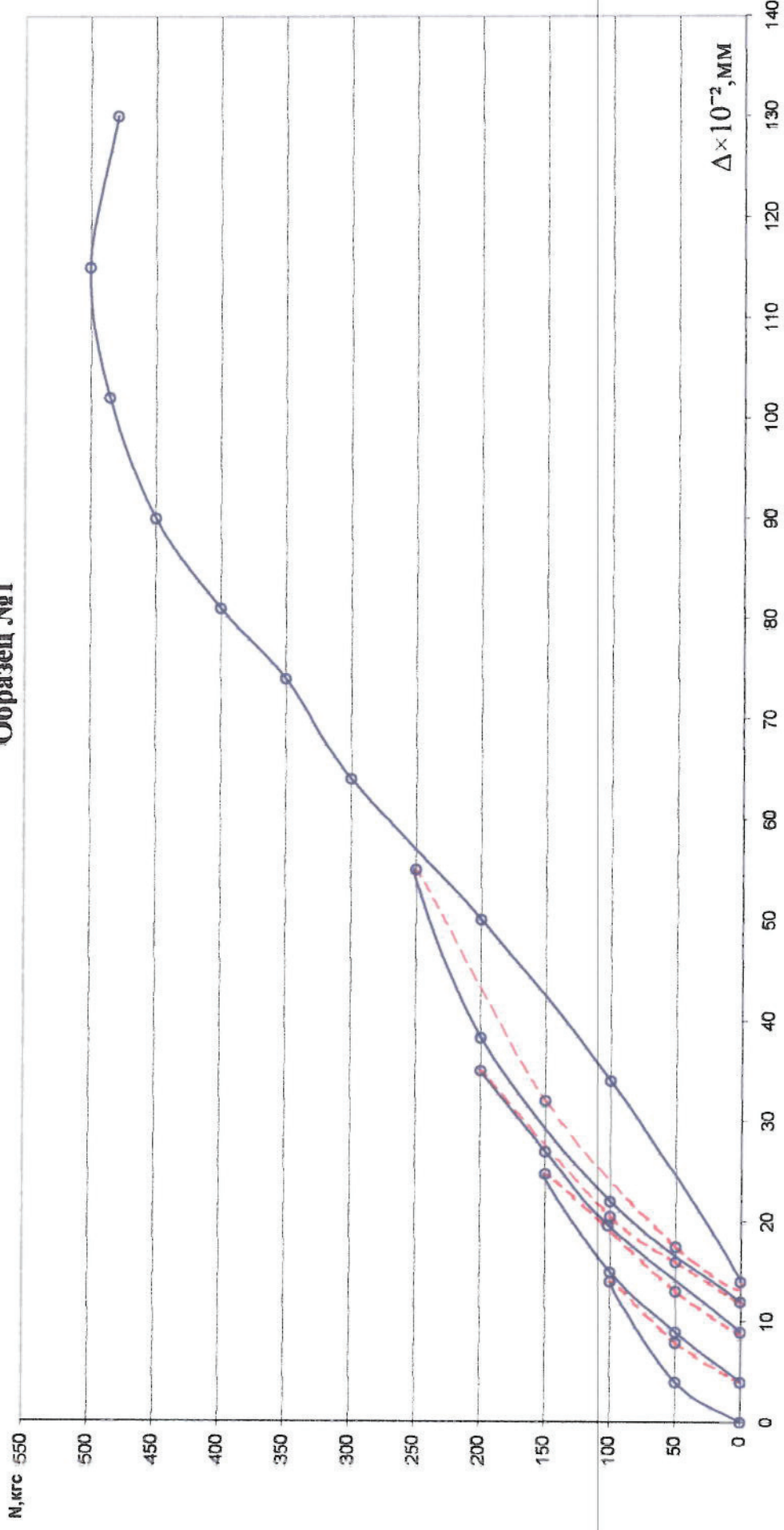
Образец №1

Рис. II. 1.79 График зависимости "нагрузка-перемещение" для фасадных анкеров марки EFA FH 10×100 (ELEMENTA)
(отверстие выполнено сверлением буром Ø10).

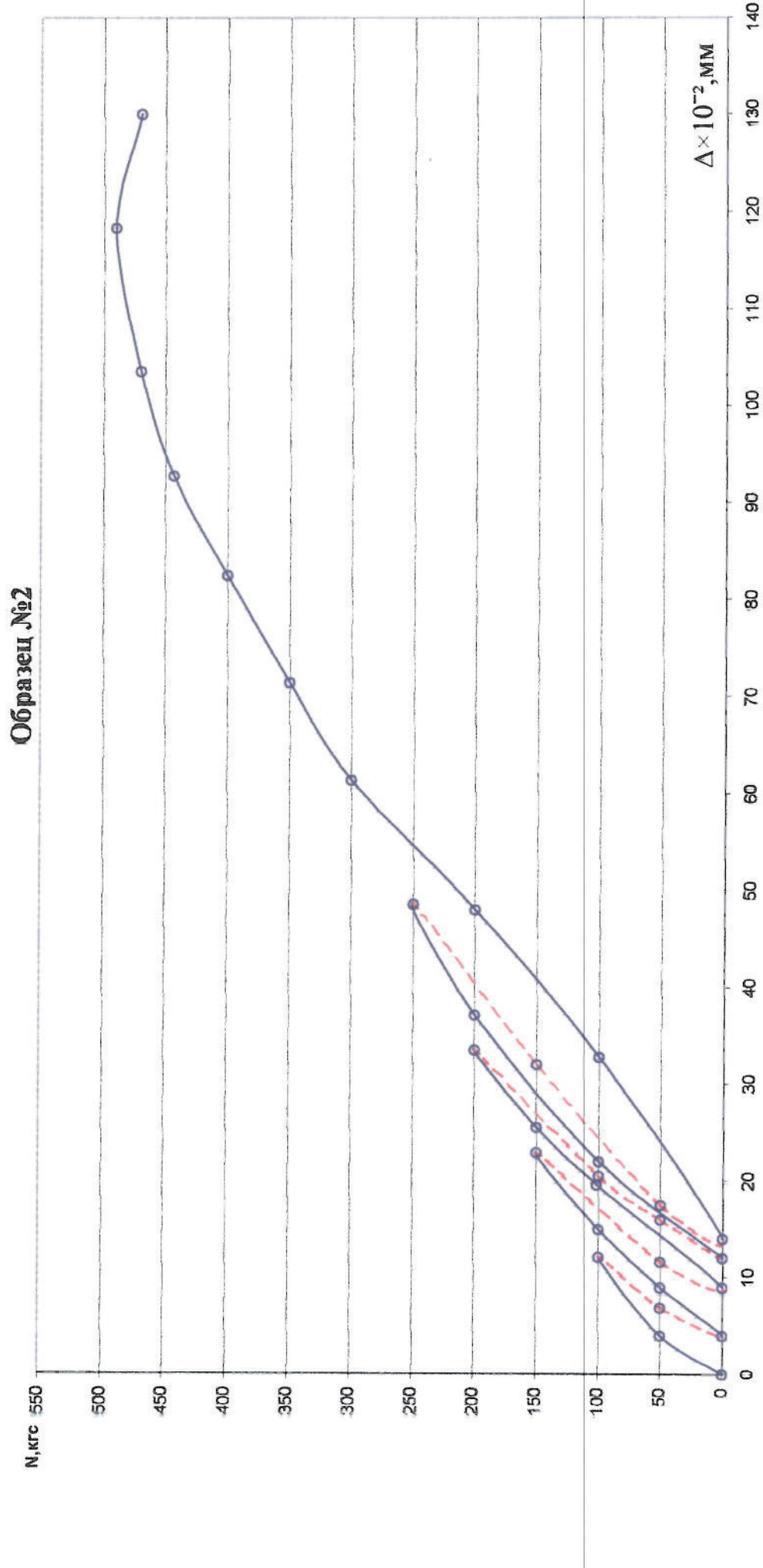


Рис. п. 1.80 График зависимости "нагрузка-перемещение" для фасадных анкеров марки EFA FH 10×100 (ELEMENTA) (отверстие выполнено сверлением буром Ø10).

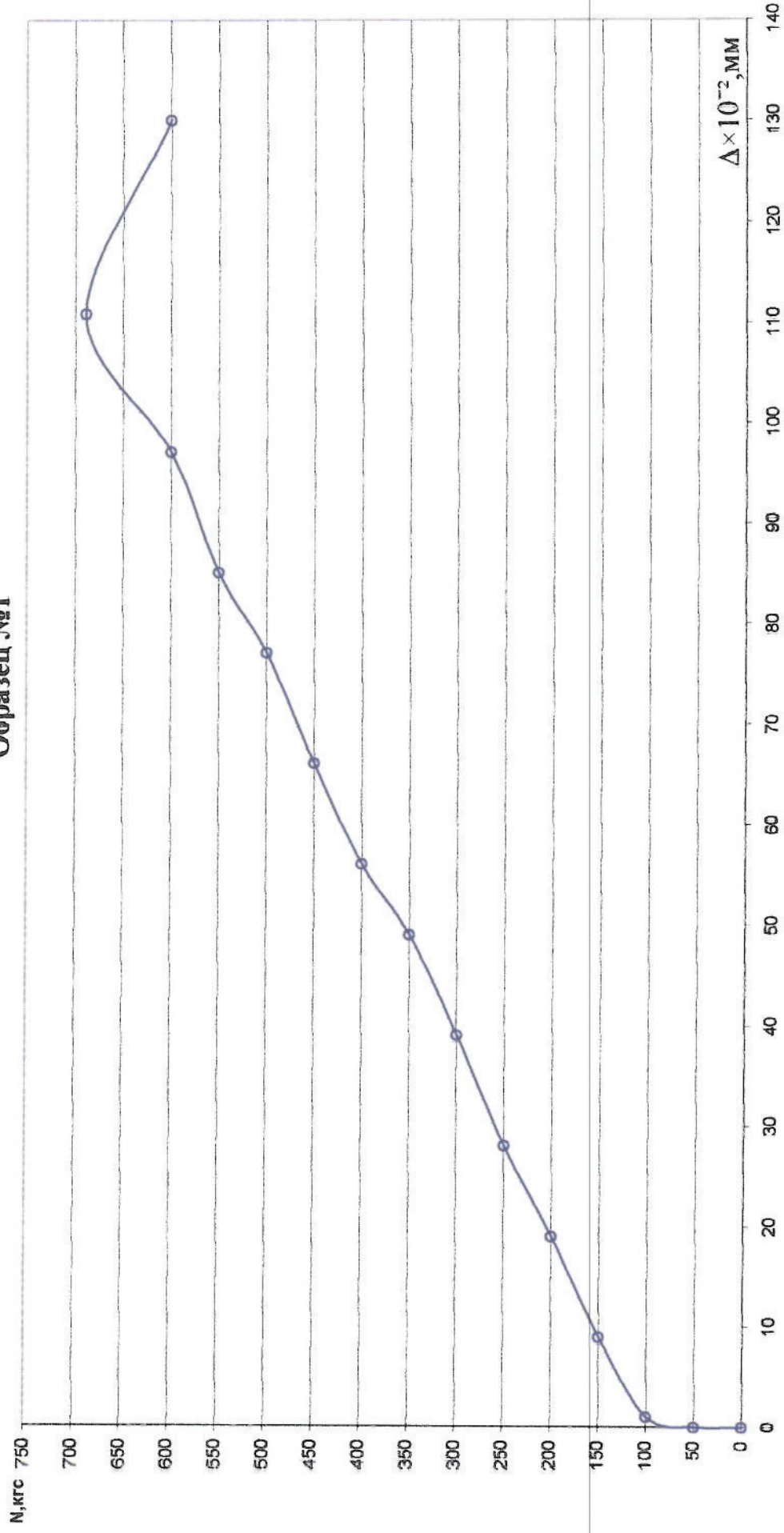
Образец №1

Рис. п. 1.81 График зависимости "нагрузка-перемещение" для фасадных анкеров марки EFA FCH 10×100 (ELEMENTA) (отверстие выполнено пробойником $\varnothing 10$).

Образец №2

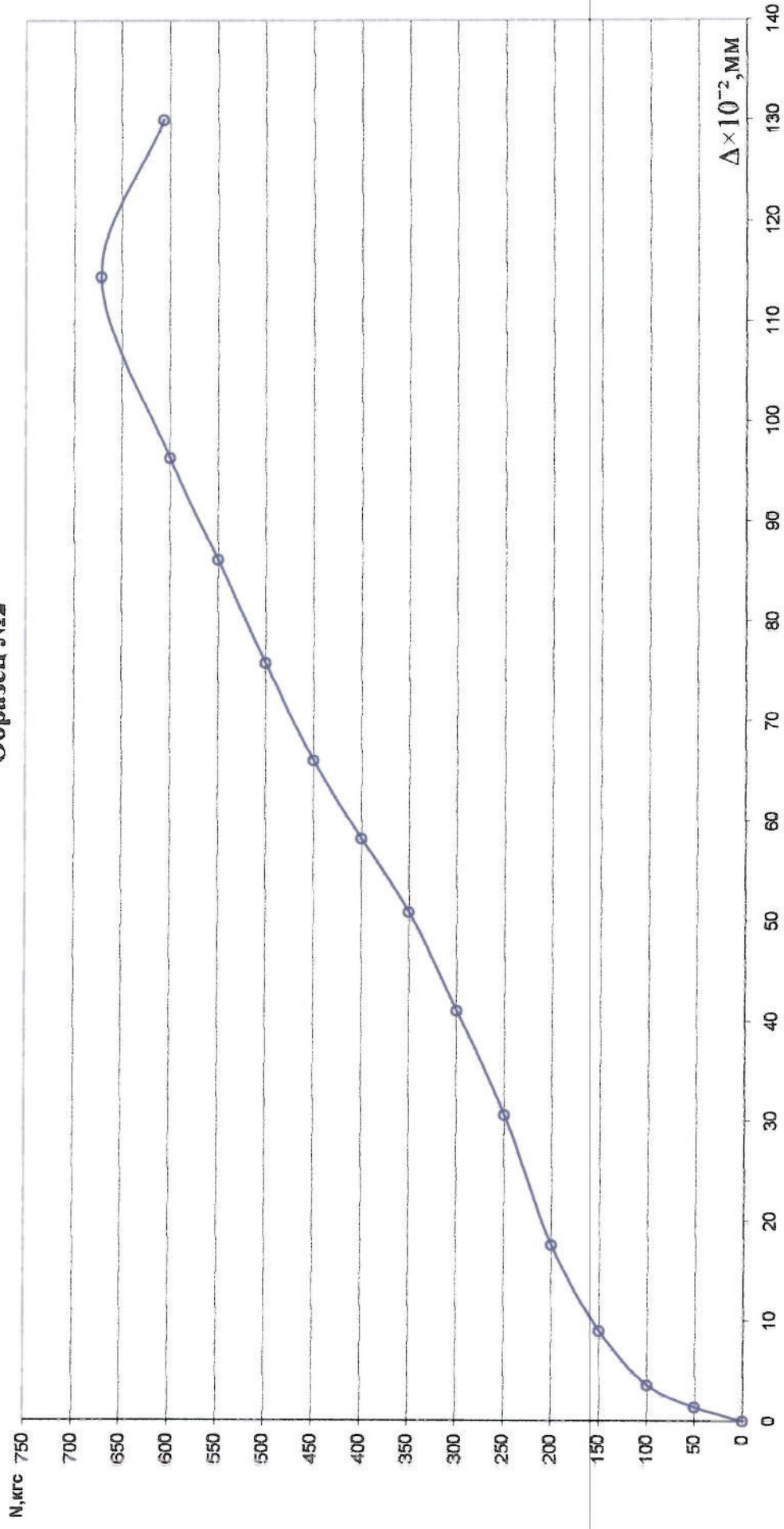


Рис. п. 1.82 График зависимости "нагрузка-перемещение" для фасадных анкеров марки EFA FCH 10×100 (ELEMENTA) (отверстие выполнено пробойником Ø 10).

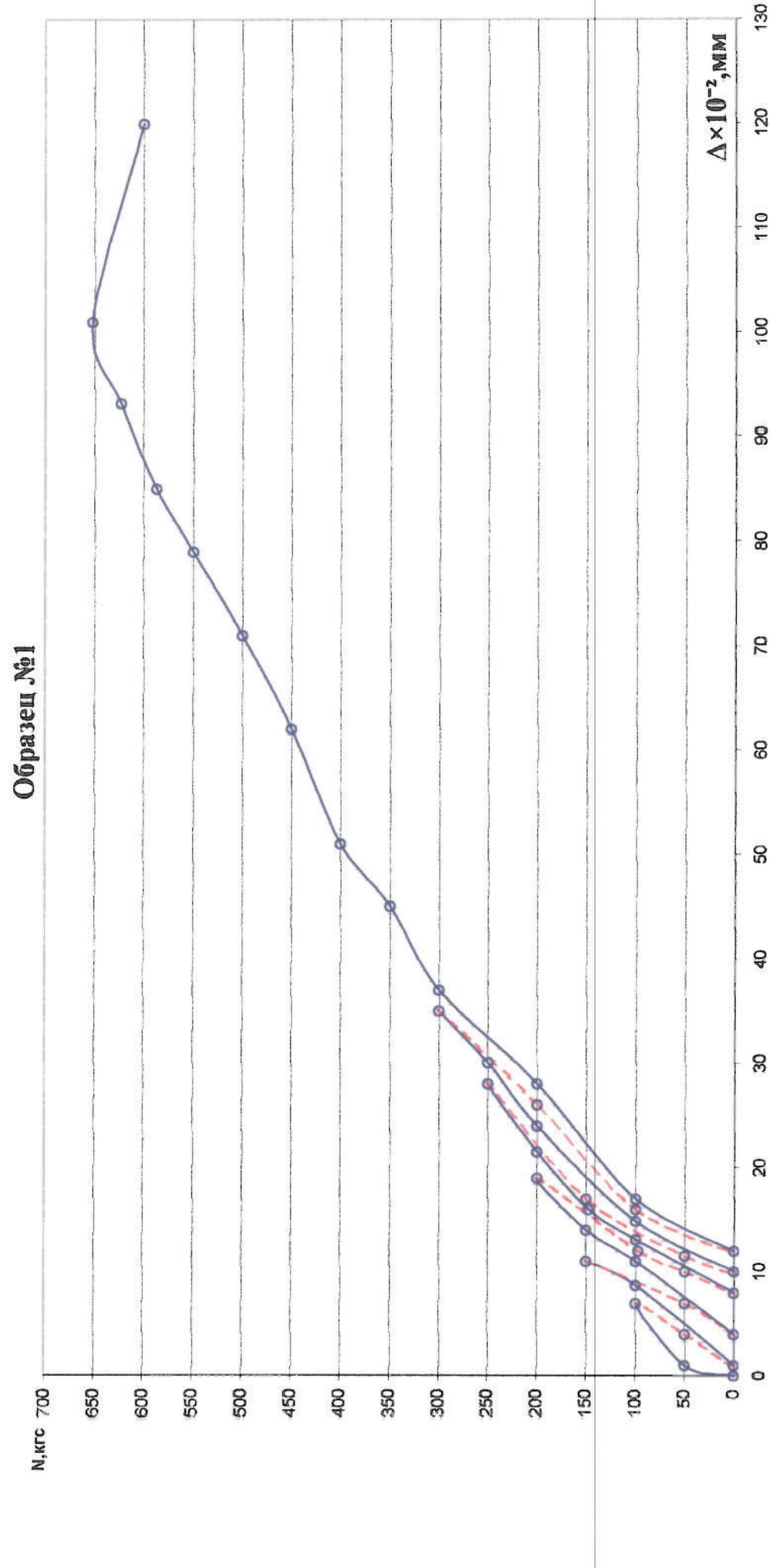


Рис. II. 1.83 График зависимости "нагрузка-перемещение" для фасадных анкеров марки EFA FCH 10×100 (ELEMENTA) (отверстие выполнено пробойником Ø10).

Образец №2

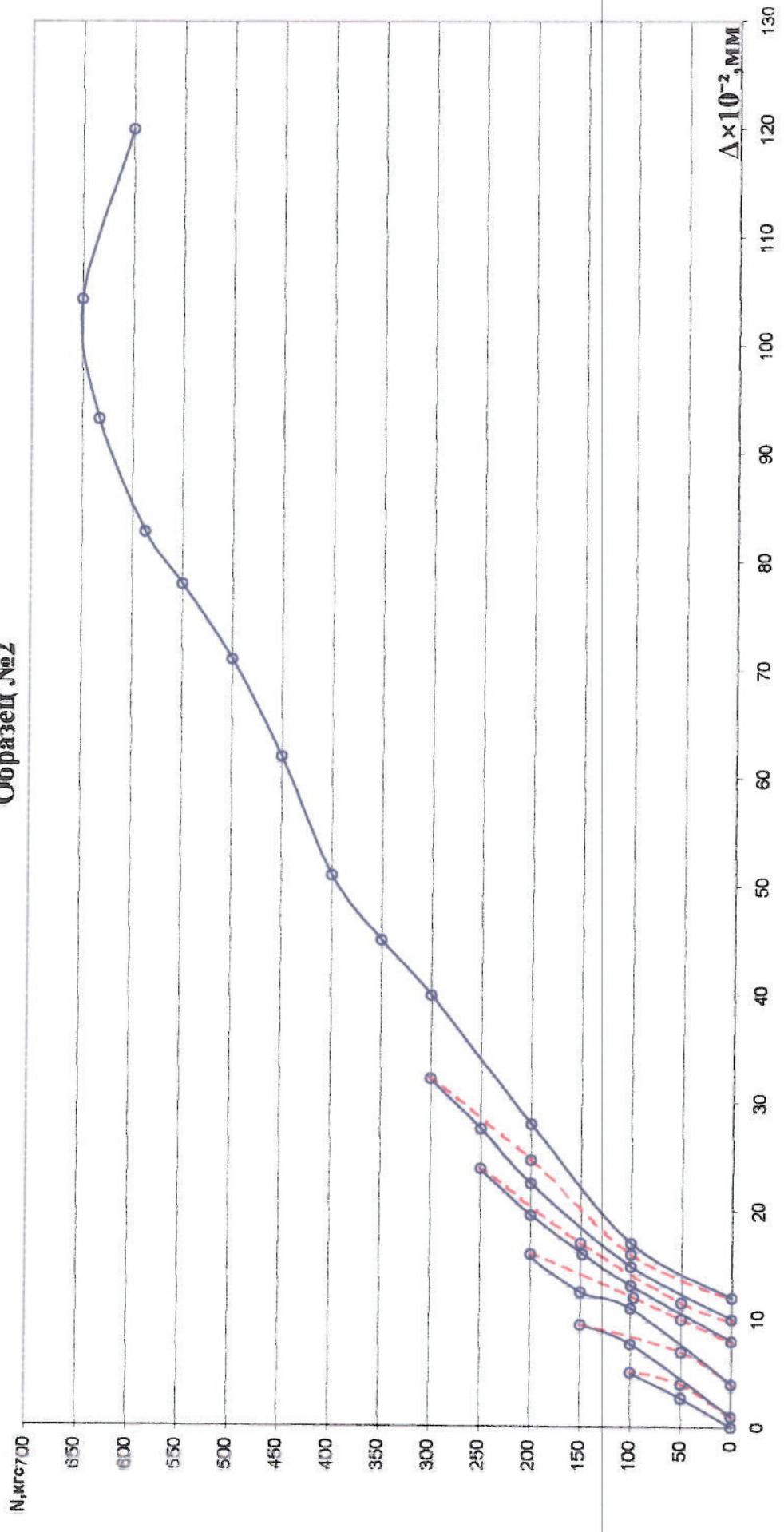


Рис. п. 1.84 График зависимости "нагрузка-перемещение" для фасадных анкеров марки EFA FCH 10 × 100 (ELEMENTA) (отверстие выполнено пробойником Ø 10).

Образец №1

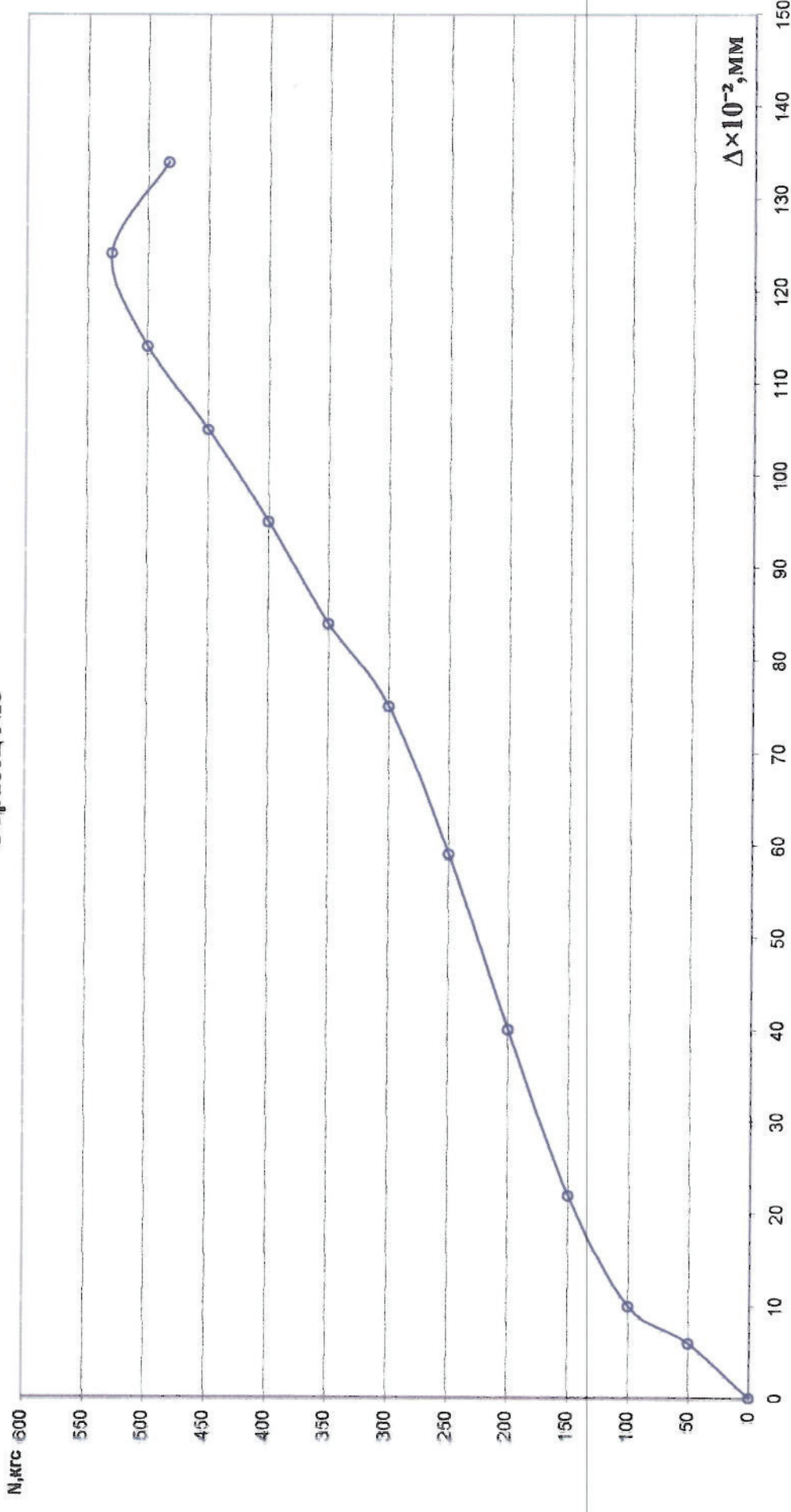


Рис. п. 1.85 График зависимости "нагрузка-перемещение" для фасадных анкеров марки EFA FCH 10×100 (ELEMENTA) (отверстие выполнено сверлением буром Ø10).

Образец №2

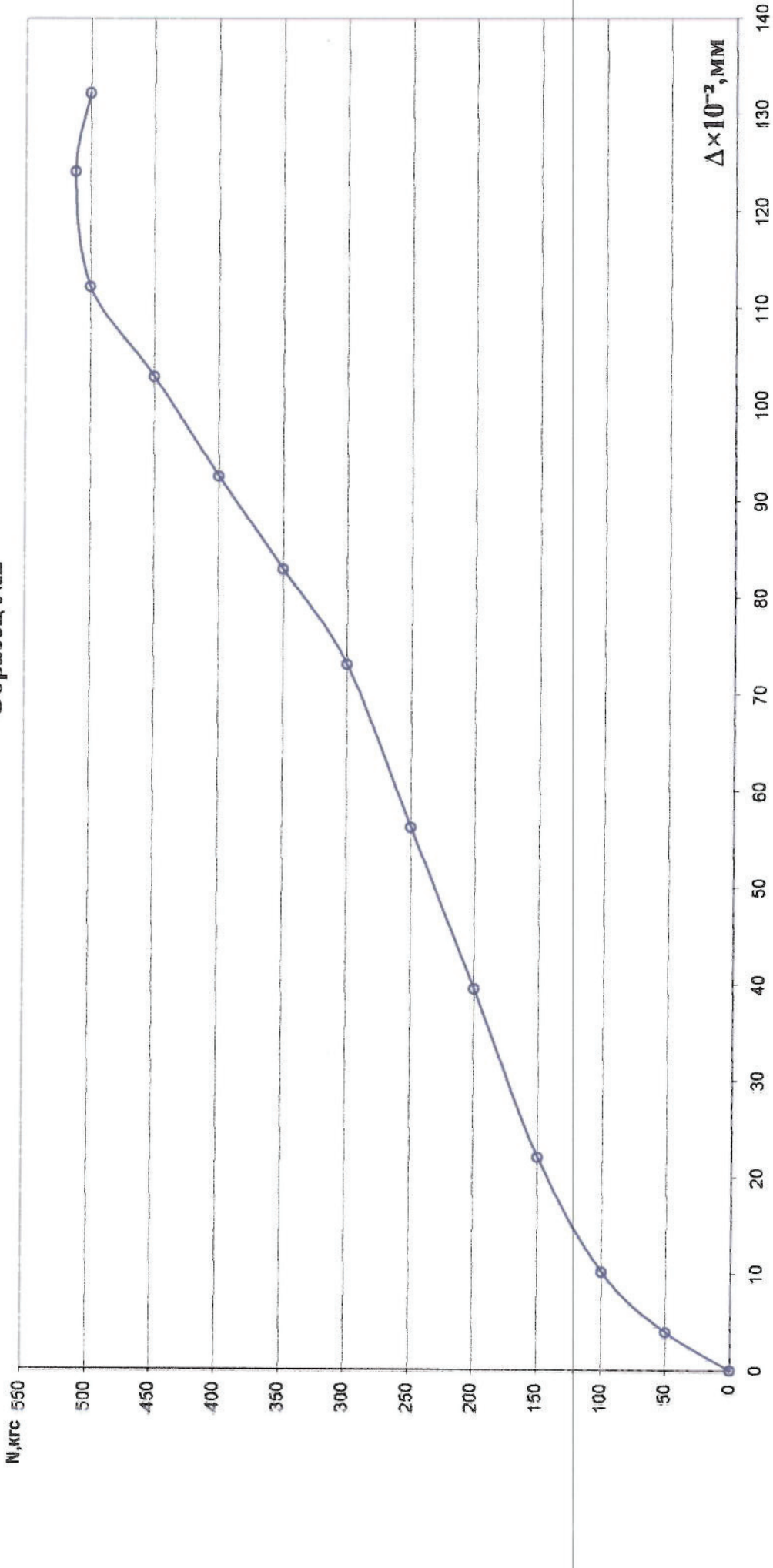


Рис. п. 1.86 График зависимости "нагрузка-перемещение" для фасадных анкеров марки EFA FCH 10×100 (ELEMENTA) (отверстие выполнено сверлением буром Ø10).

Образец №1

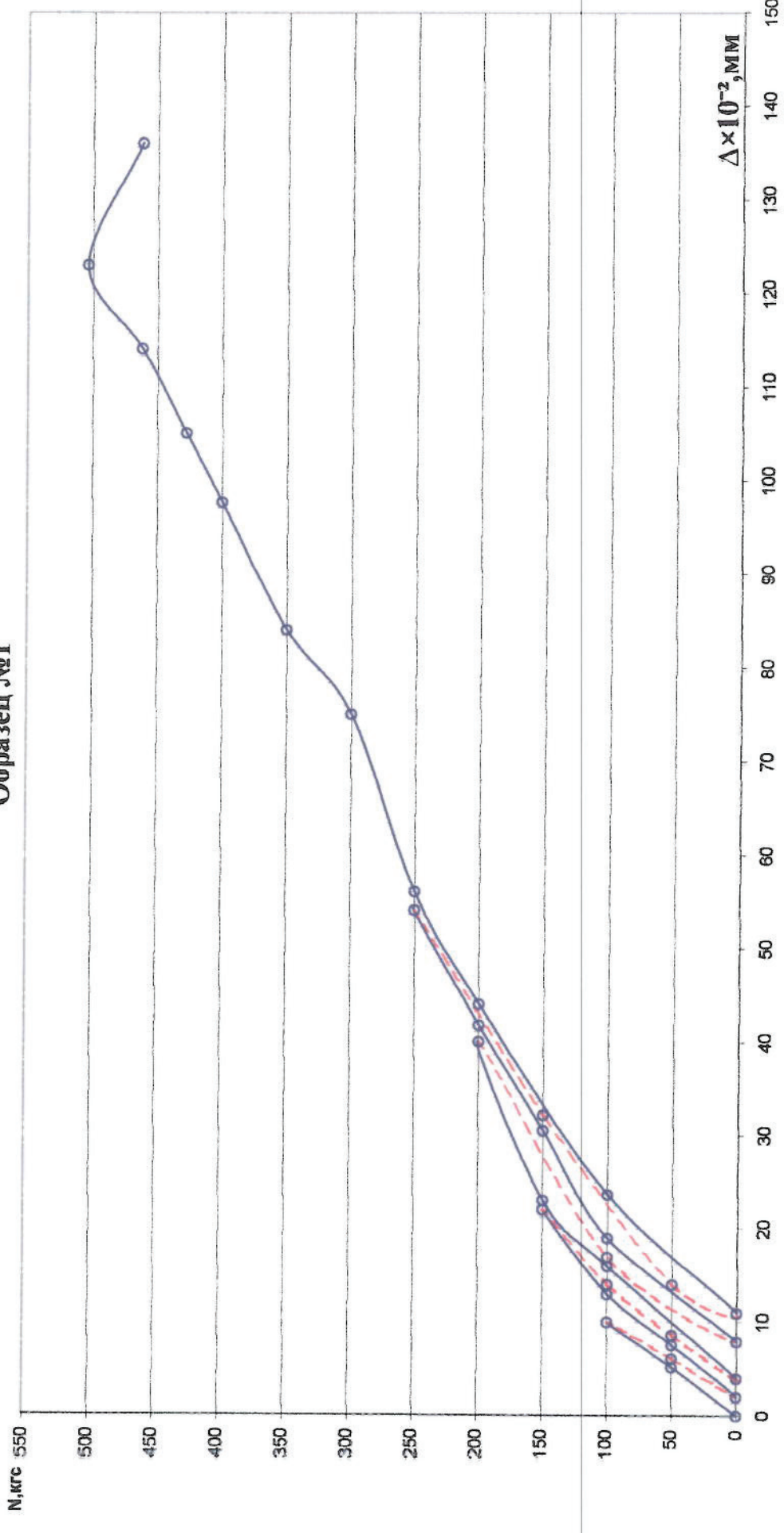


Рис. п. 1.87 График зависимости "нагрузка-перемещение" для фасадных анкеров марки EFA FCH 10×100 (ELEMENTA) (отверстие выполнено сверлением буром Ø 10).

Образец №2

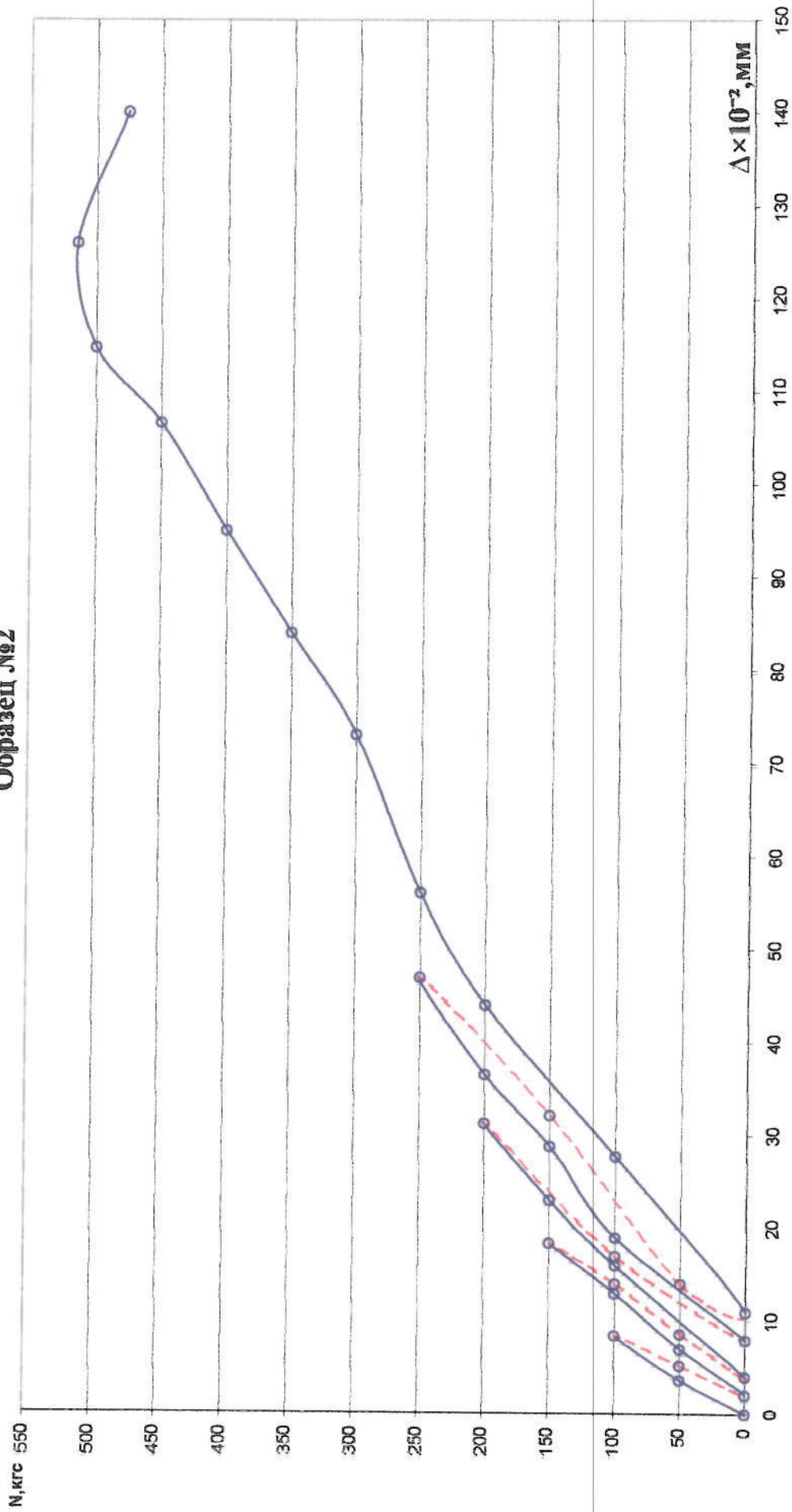
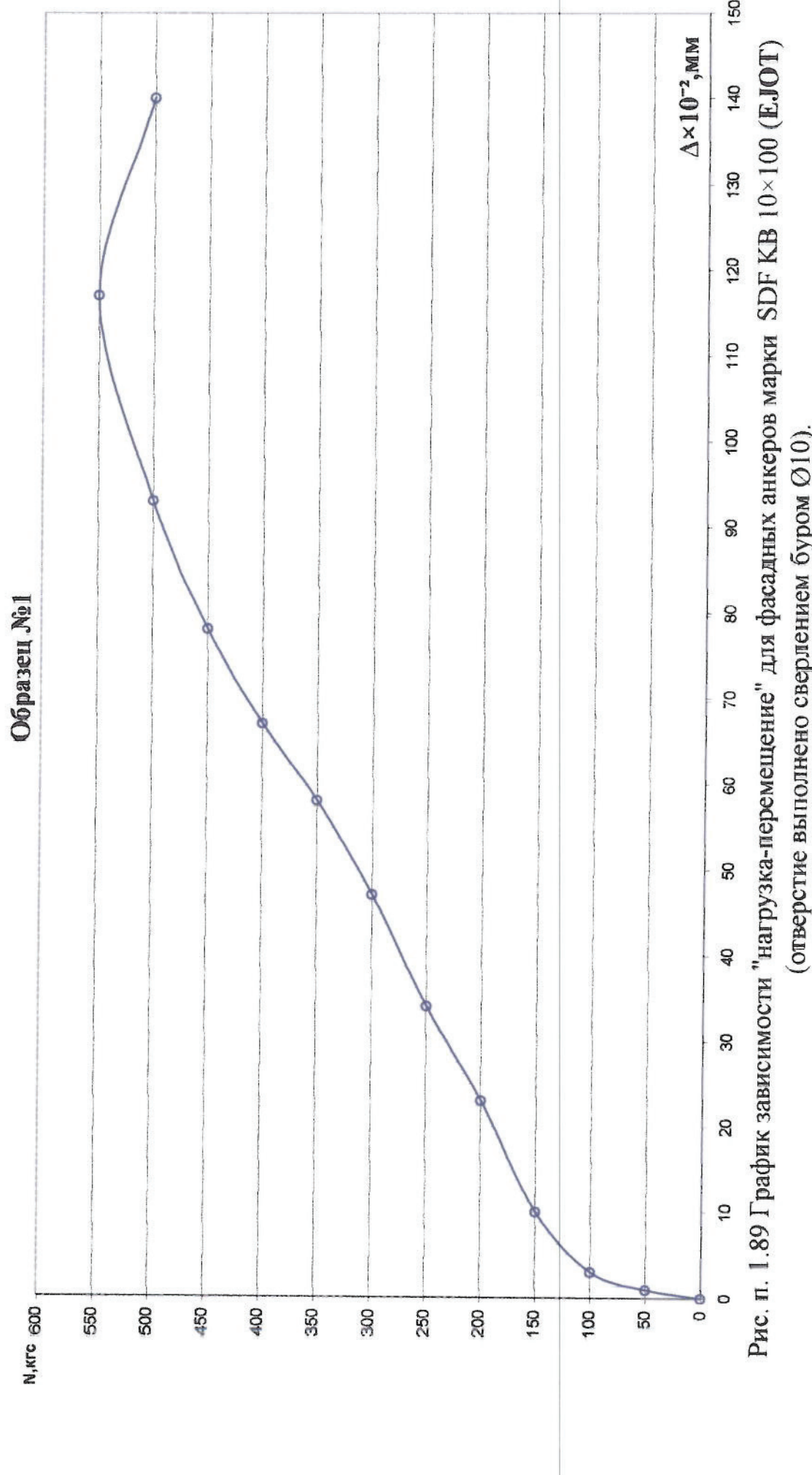


Рис. п. 1.88 График зависимости "нагрузка-перемещение" для фасадных анкеров марки EFA FCH 10×100 (ELEMENTA) (отверстие выполнено сверлением буром Ø 10).

Анкера фирмы «EJOT»



Образец №2

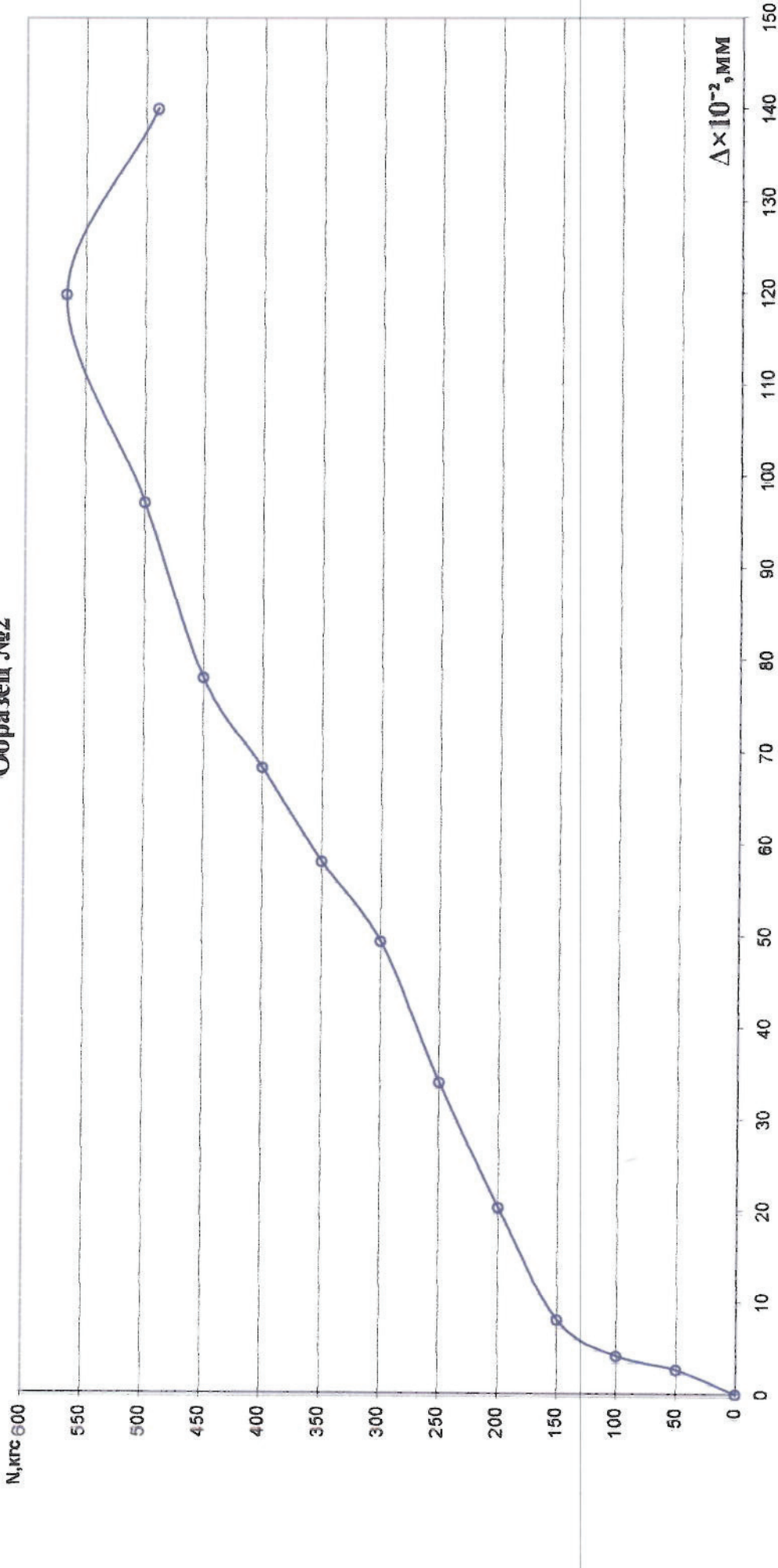


Рис. п. 1.90 График зависимости "нагрузка-перемещение" для фасадных анкеров марки SDF KB 10×100 (ЕJOT)
(отверстие выполнено сверлением буром Ø10).

Образец №1

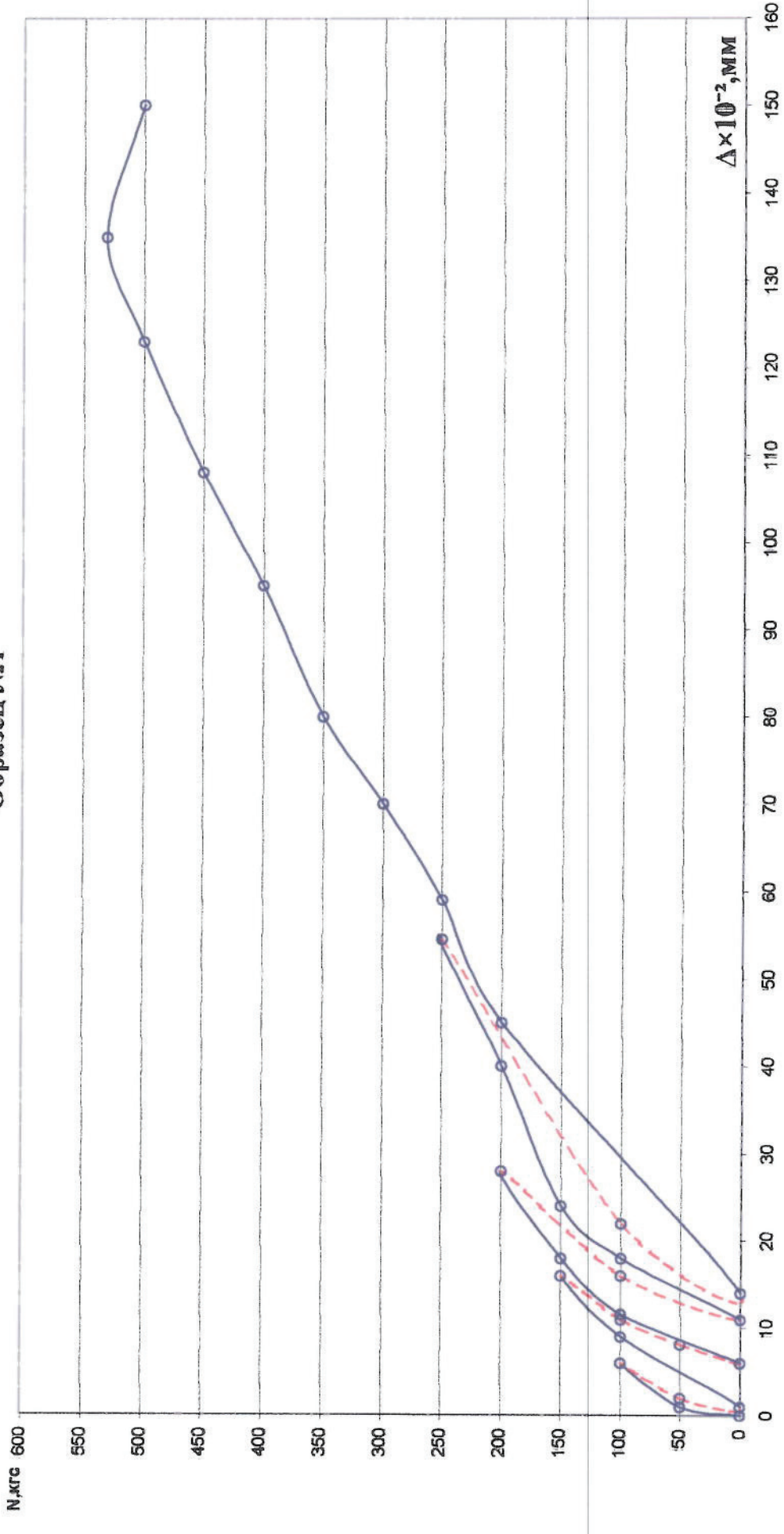


Рис. п. 1.91 График зависимости "нагрузка-перемещение" для фасадных анкеров марки SDF KB 10×100 (ЕJOT)
(отверстие выполнено сверлением буром Ø10).

Образец №2

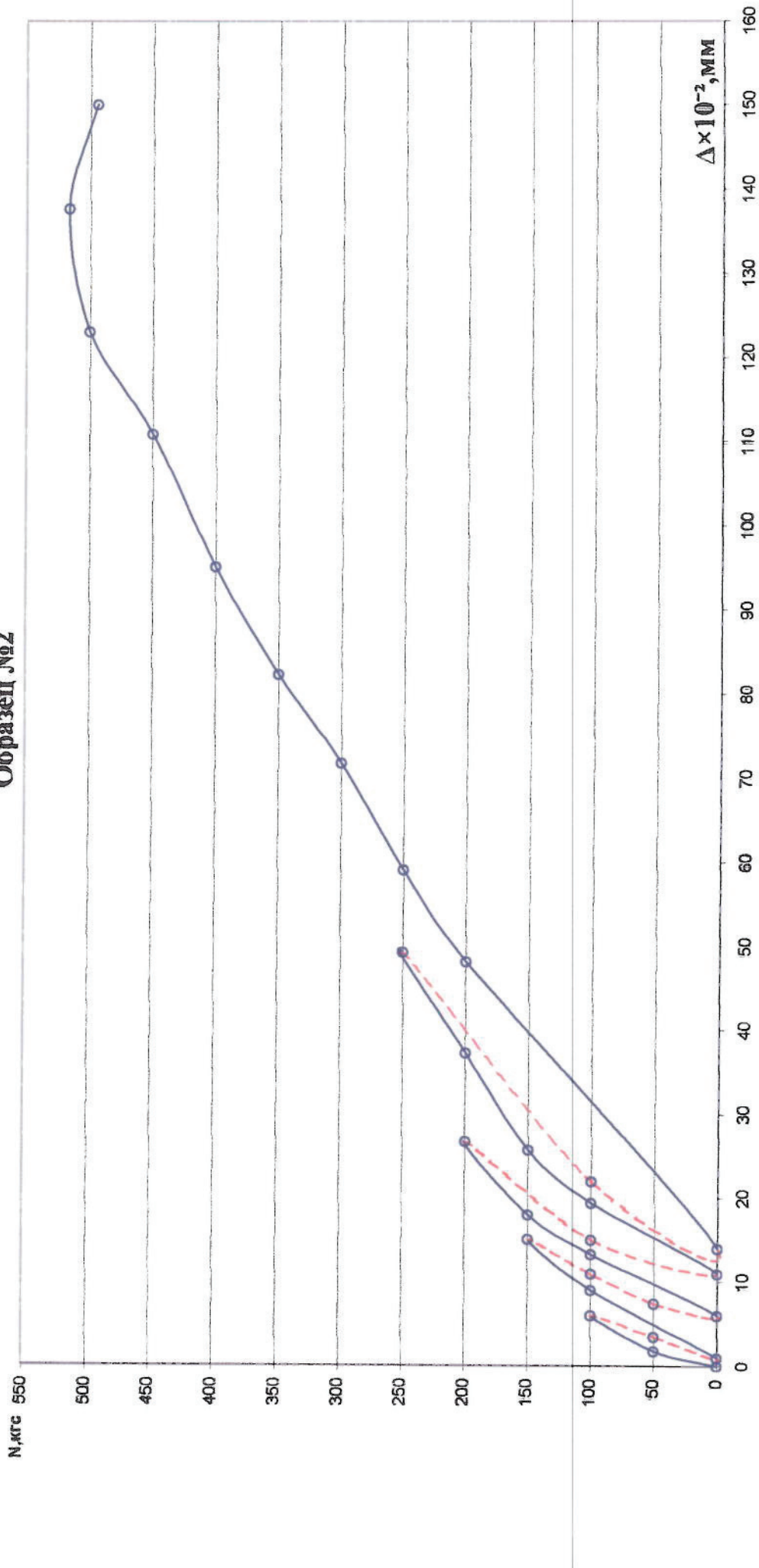


Рис. п. 1.92 График зависимости "нагрузка-перемещение" для фасадных анкеров марки SDF KB 10×100 (Е.Ю.Г) (отверстие выполнено сверлением буром Ø10).

Образец №1

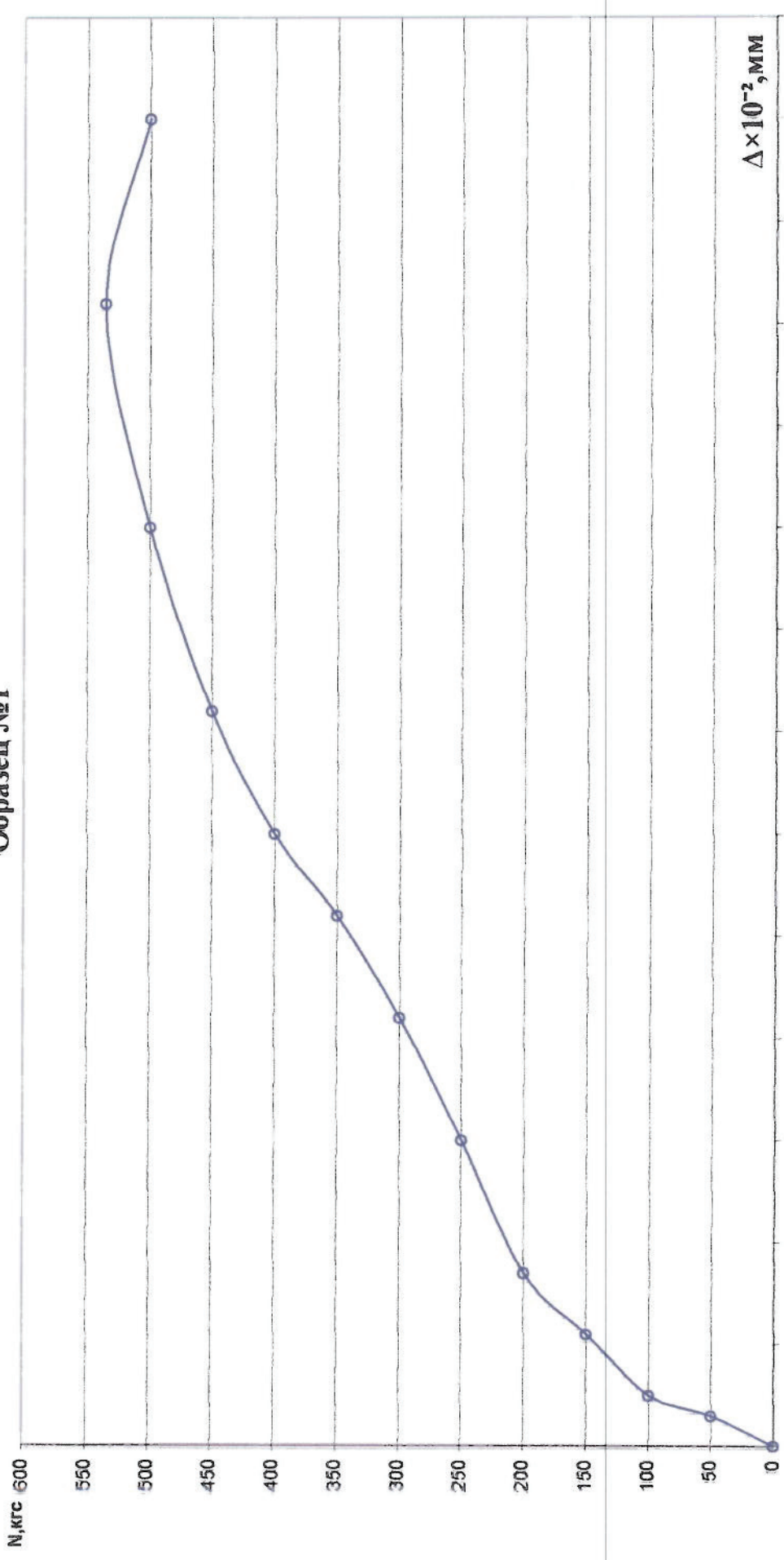


Рис. п. 1.93 График зависимости "нагрузка-перемещение" для фасадных анкеров марки SDP KB 10×100 (ЕЮТ)
(отверстие выполнено сверлением буром Ø10).

Образец №2

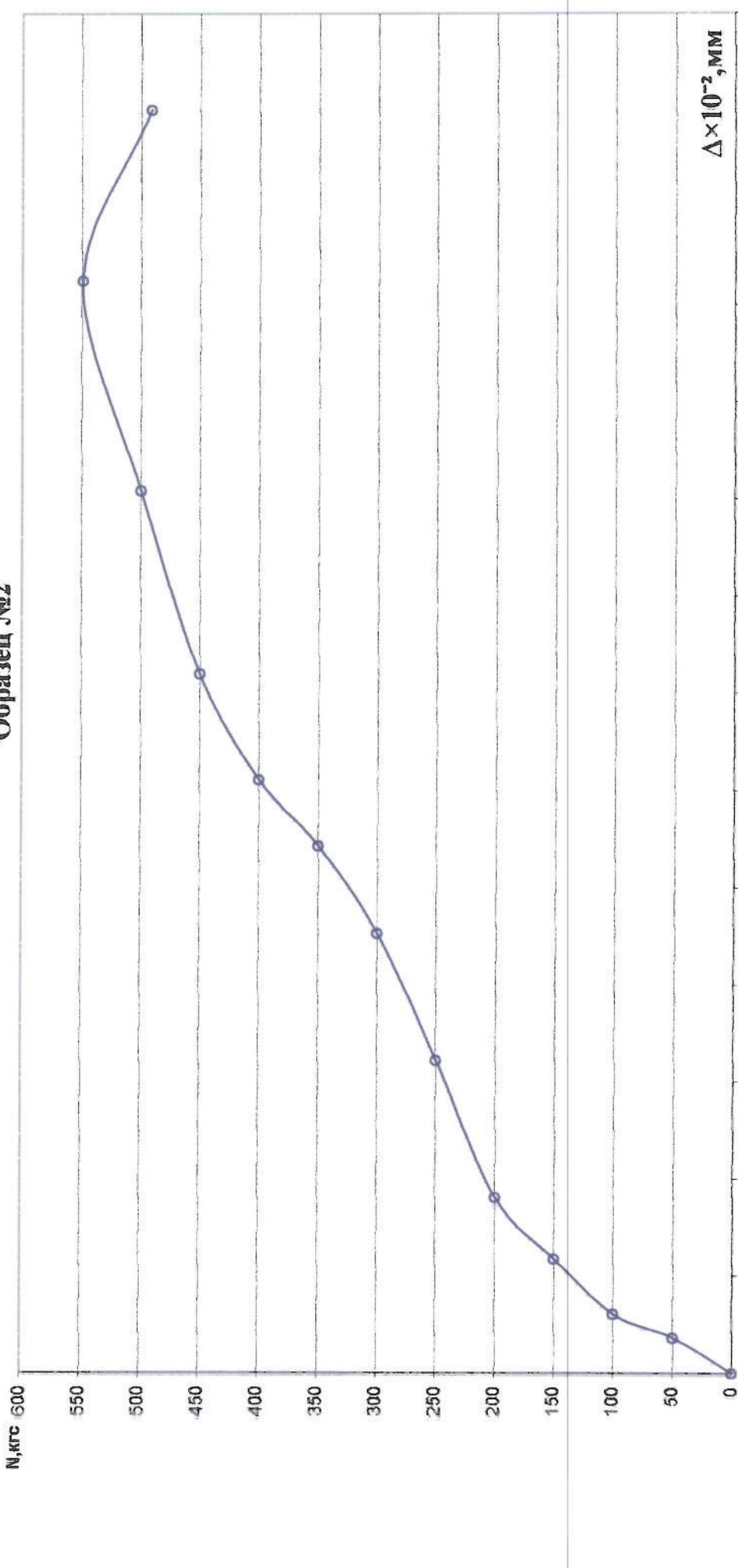


Рис. п. 1.94 График зависимости "нагрузка-перемещение" для фасадных анкеров марки SDP KB 10×100 (ЕЮТ)
(отверстие выполнено сверлением буром Ø10).

Образец №1

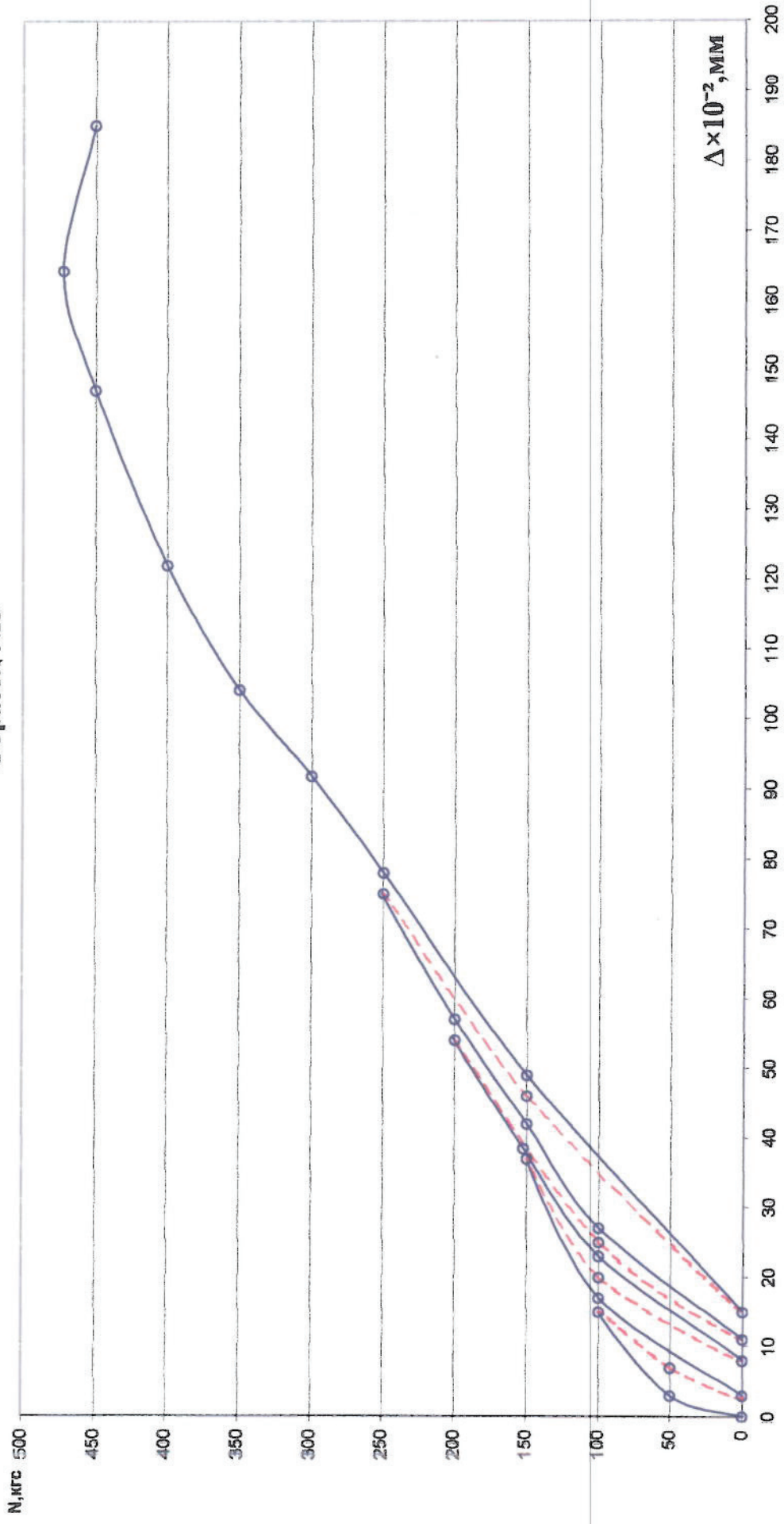


Рис. п. 1.95 График зависимости "нагрузка-перемещение" для фасадных анкеров марки SDP KB 10×100 (ЕЮГ) (отверстие выполнено сверлением буром Ø10).

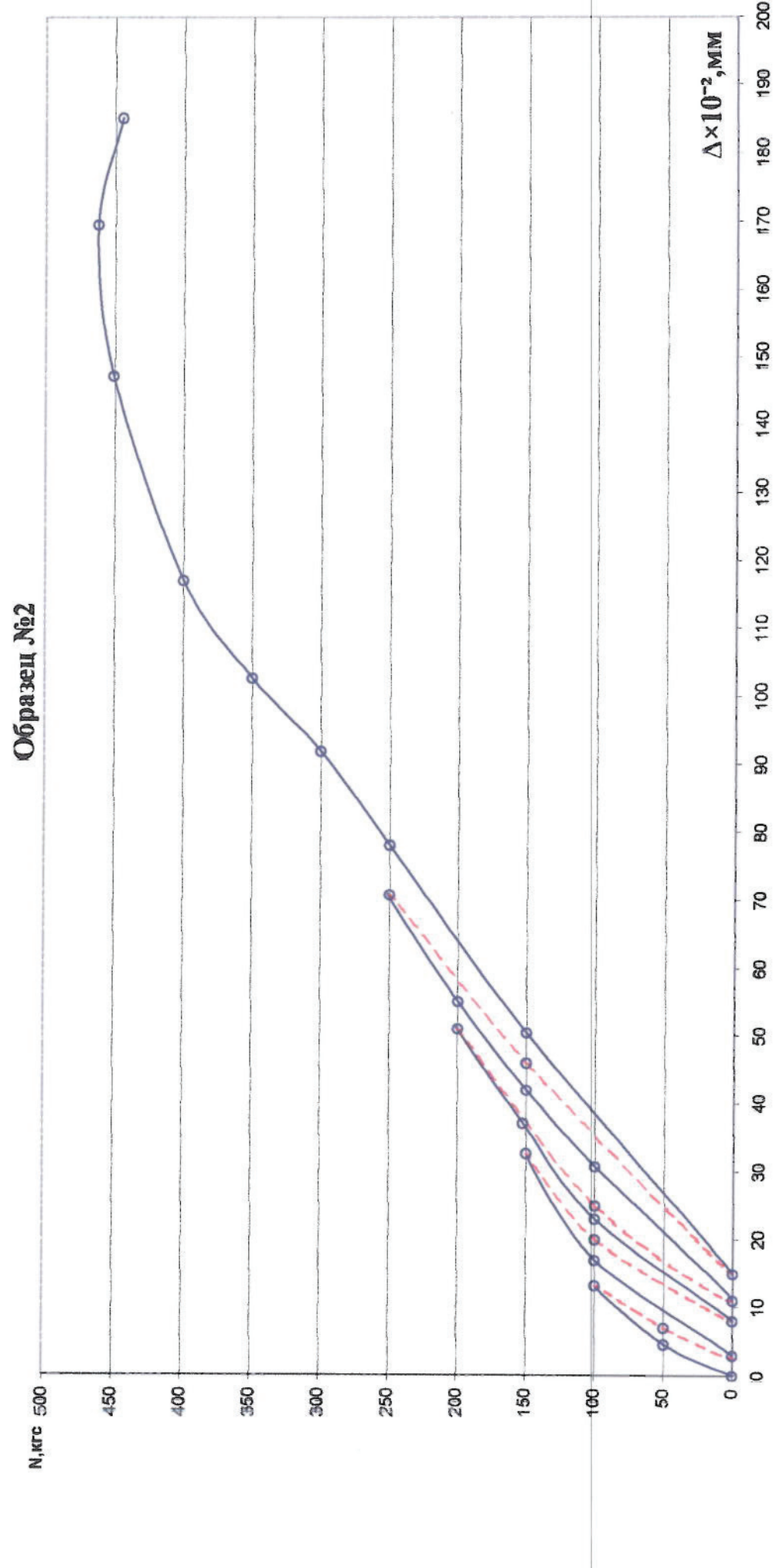


Рис. п. 1.96 График зависимости "нагрузка-перемещение" для фасадных анкеров марки SDP KB 10×100 (EJOT) (отверстие выполнено сверлением буром Ø10).

Анкера фирмы «BOLT.RU»

Образец №1

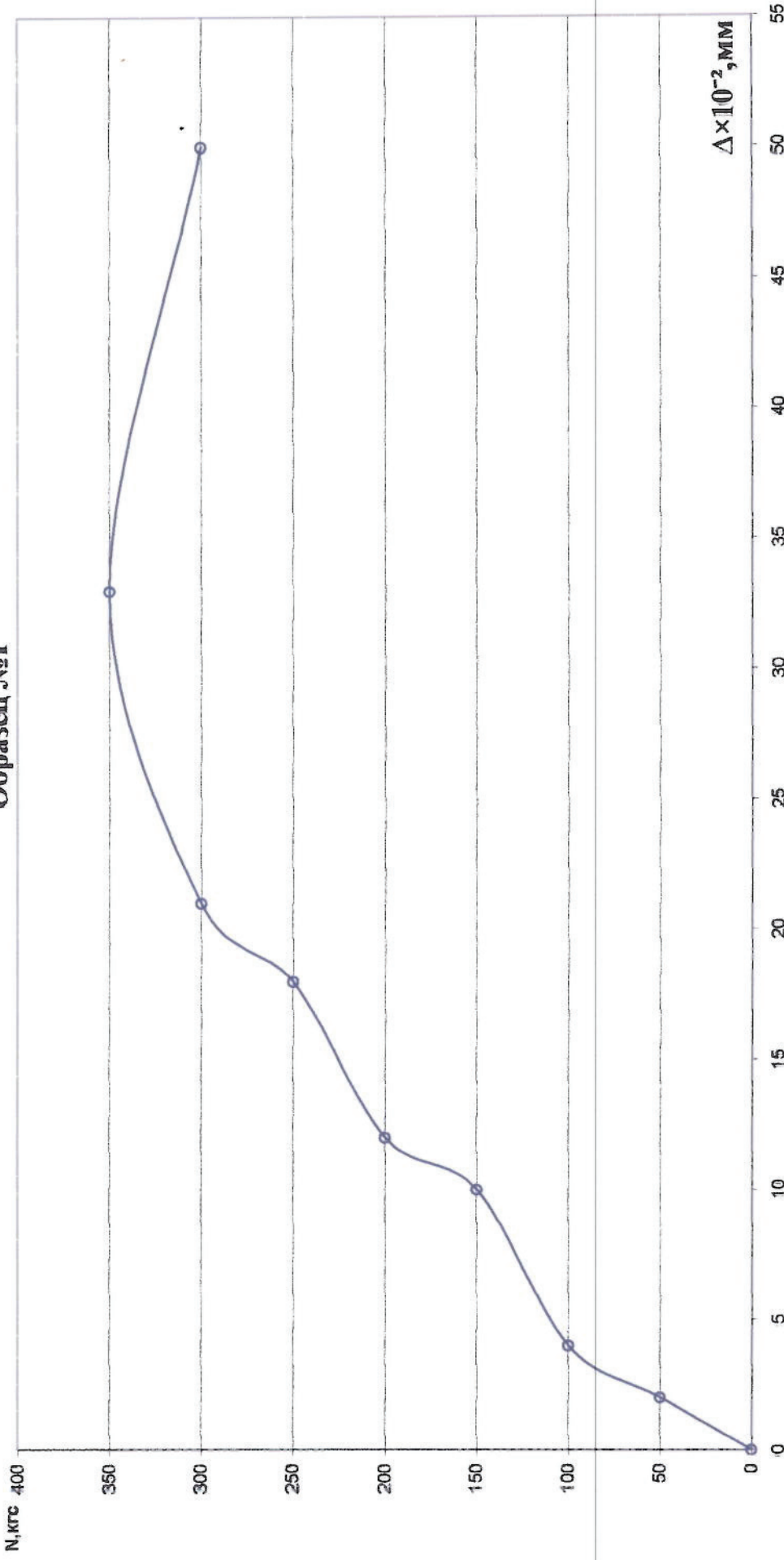


Рис. п. 1.97 График зависимости "нагрузка-перемещение" для фасадных анкеров марки Т 88 10×100 (BOLT.RU)
(отверстие выполнено сверлением буром Ø10).

Образец №2

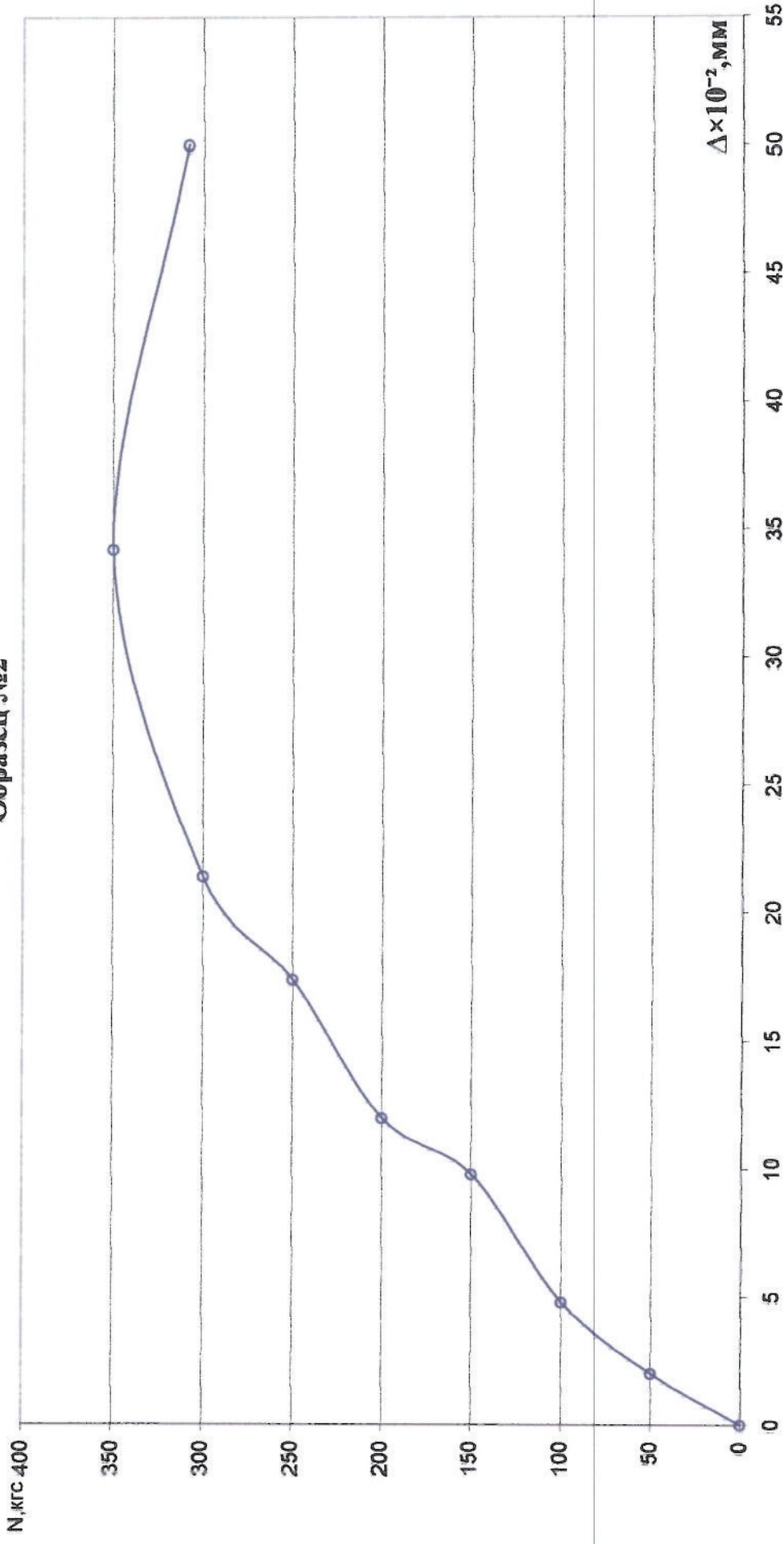


Рис. п. 1.98 График зависимости "нагрузка-перемещение" для фасадных анкеров марки Т 88 10×100 (BOLT.RU)
(отверстие выполнено сверлением буром Ø10).

Образец №1

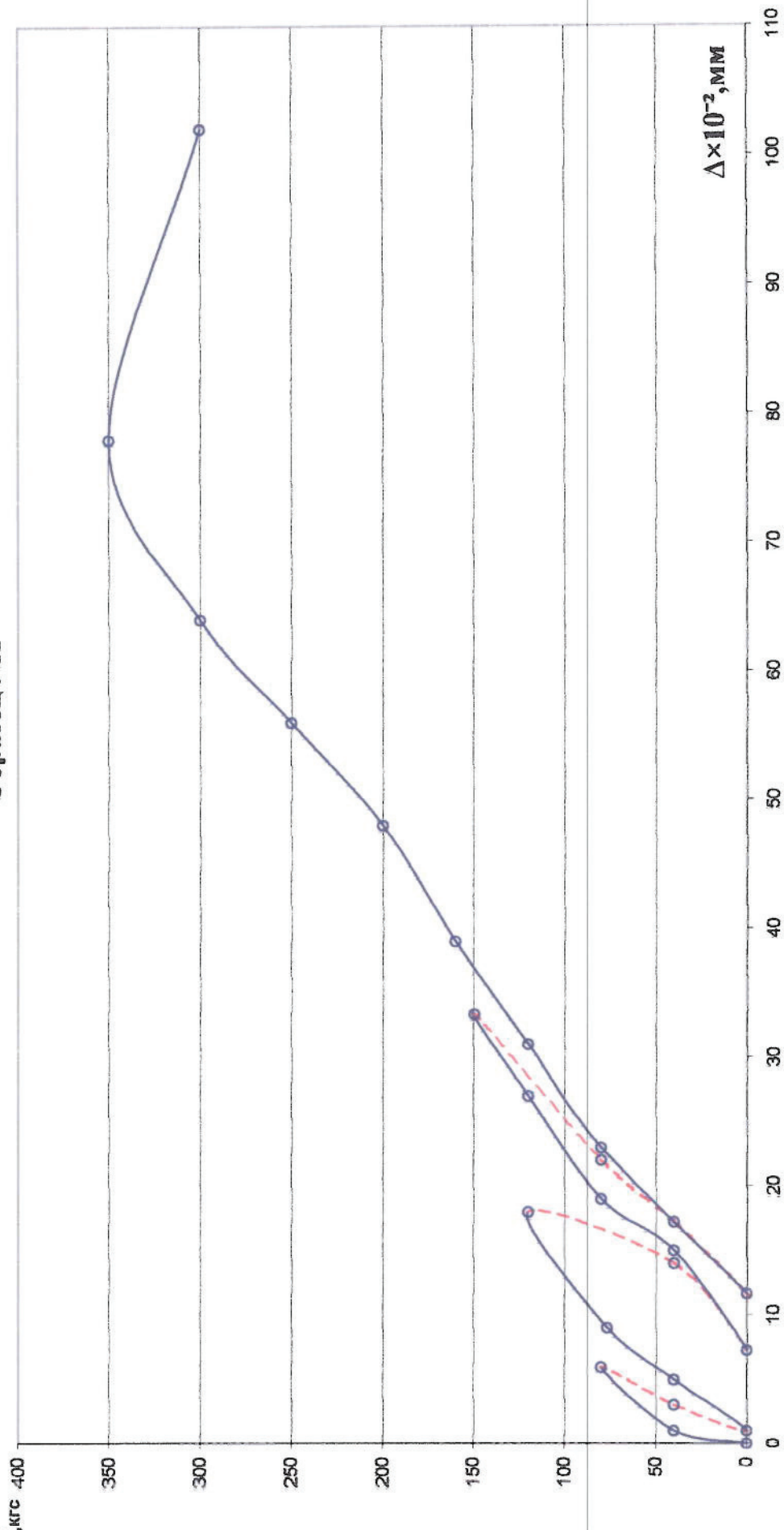


Рис. п. 1.99 График зависимости "нагрузка-перемещение" для фасадных анкеров марки Т 88 10×100 (BOLT.RU)
(отверстие выполнено сверлением буром Ø10).

Образец №2

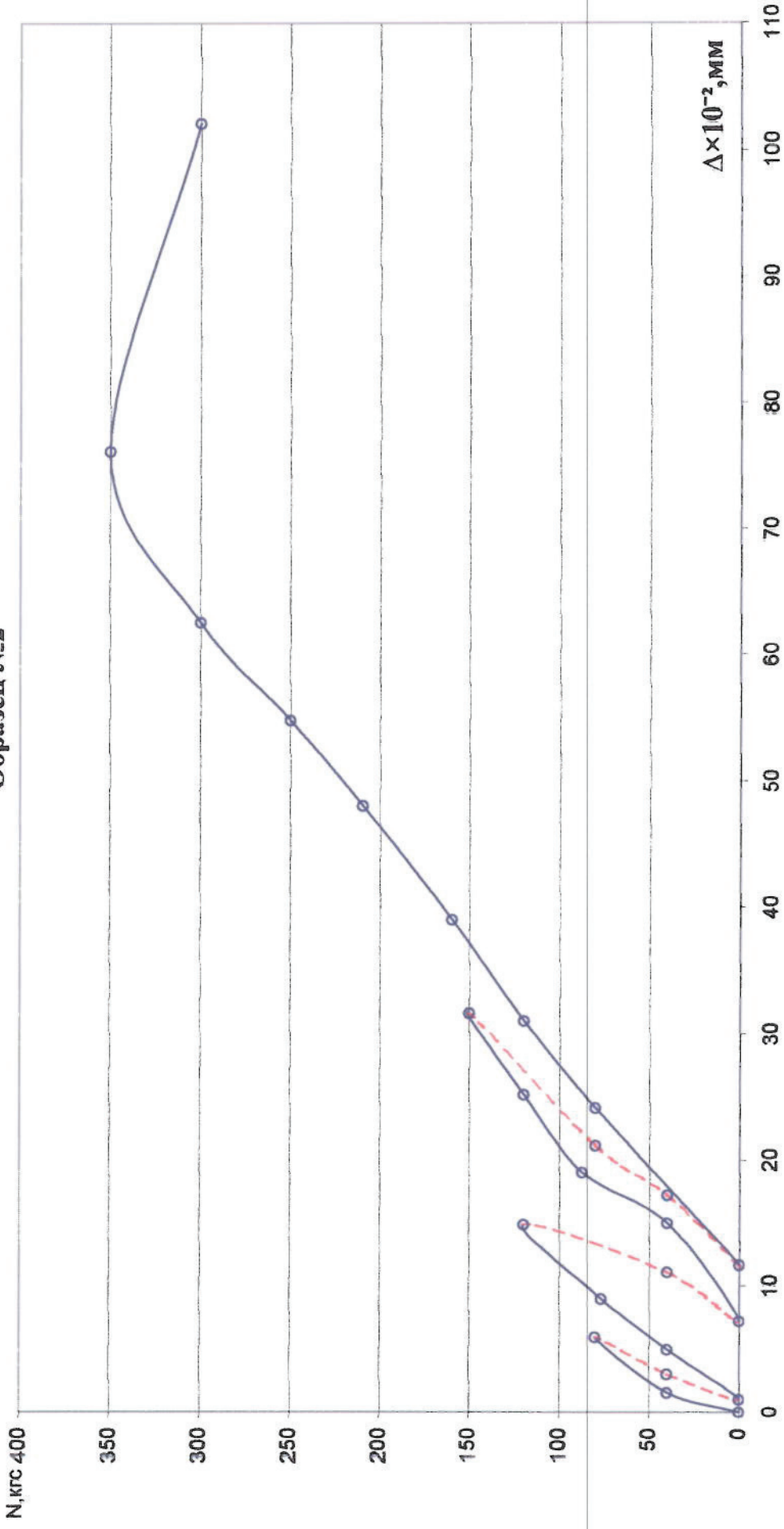


Рис. III.1.100 График зависимости "нагрузка-перемещение" для фасадных анкеров марки Т 88 10×100 (BOLT.RU)
(отверстие выполнено сверлением буром Ø10).

Образец №1

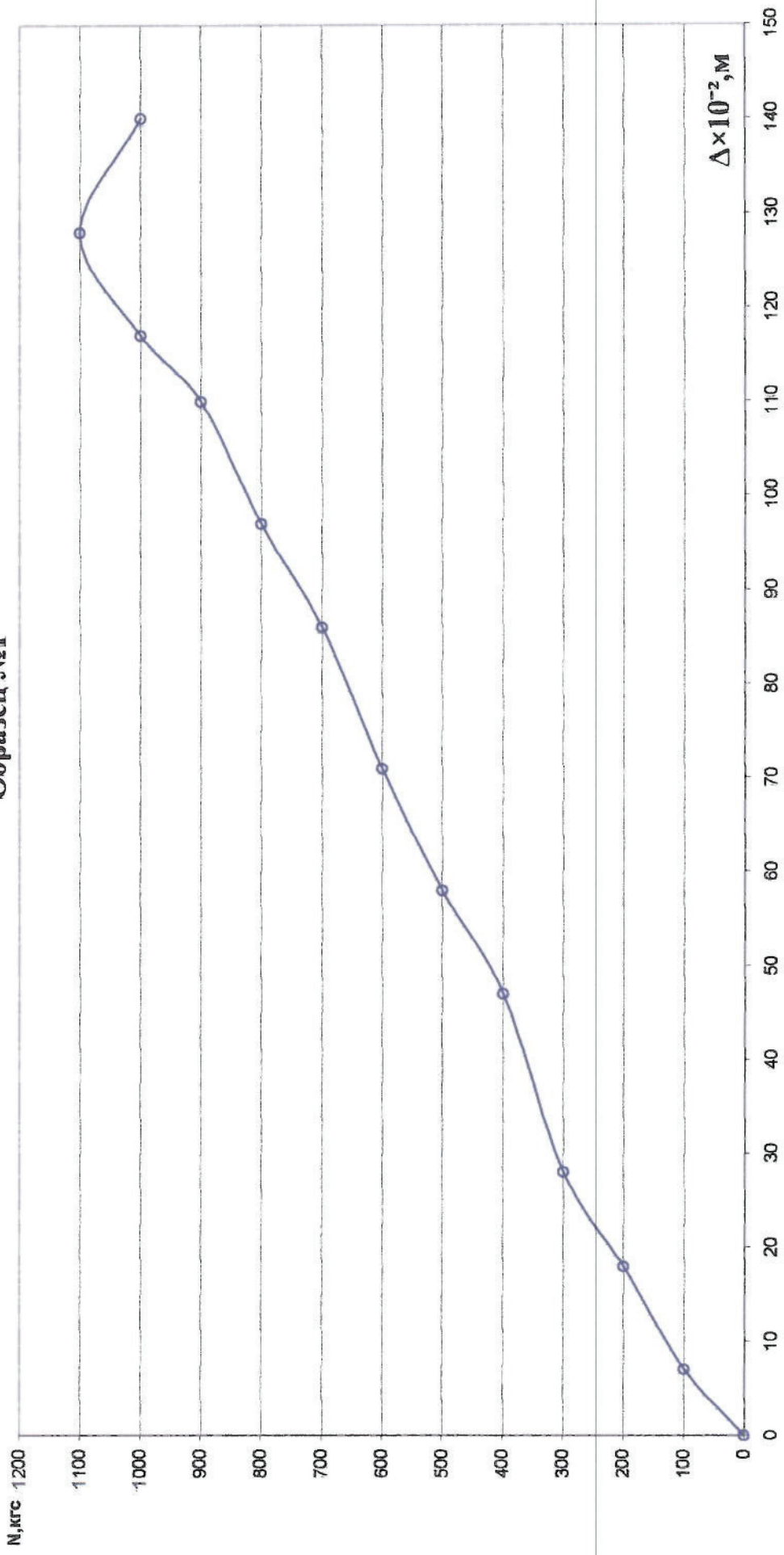


Рис. п. 1.101 График зависимости "нагрузка-перемещение" для химических анкеров марки EPCON C8 (BOLT.RU)
(глубина анкеровки 150мм).

Образец №2

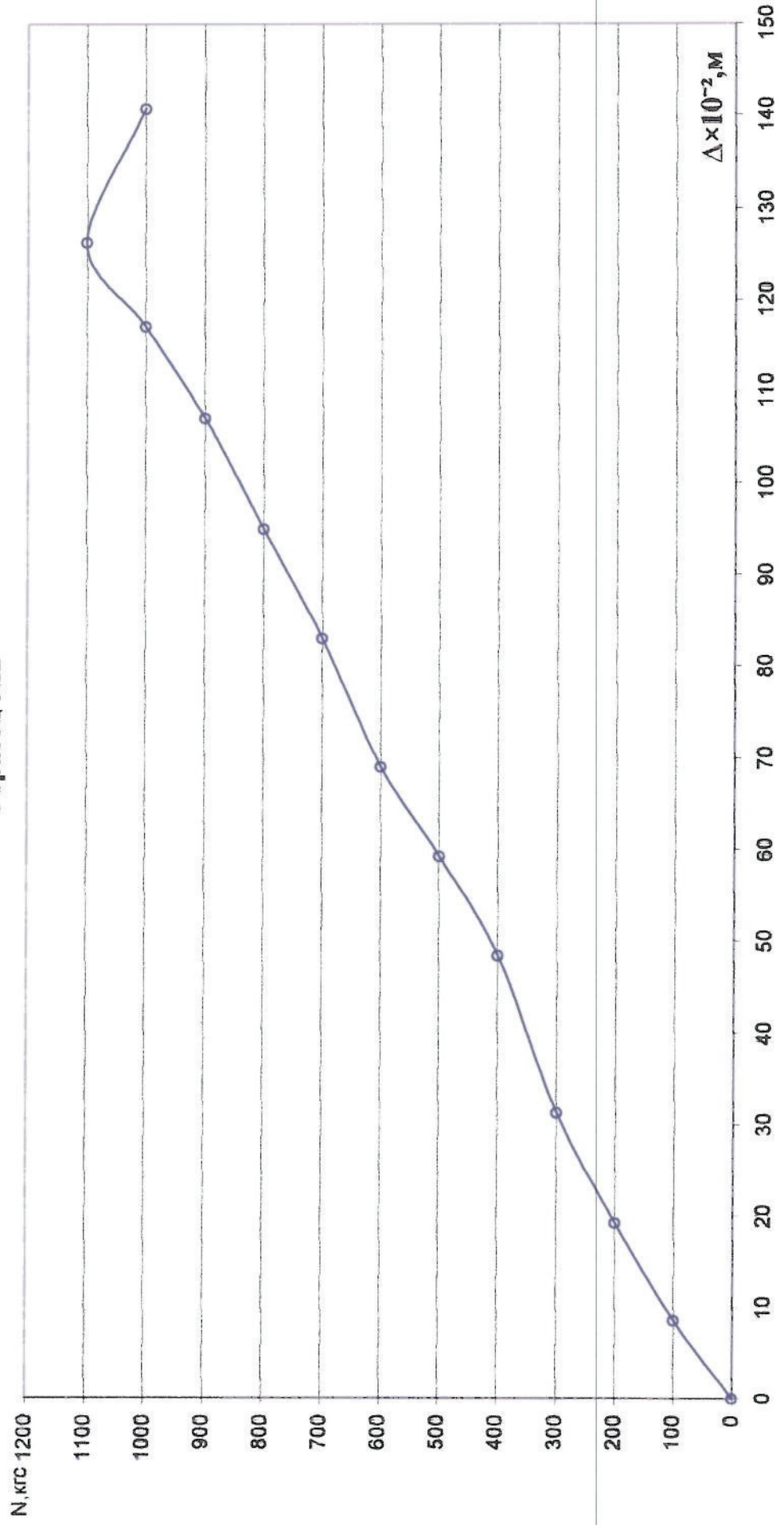


Рис. п. 1.102 График зависимости "нагрузка-перемещение" для химических анкеров марки EPCON C8 (BOLT.RU)
(глубина анкеровки 150мм).

Образец №1

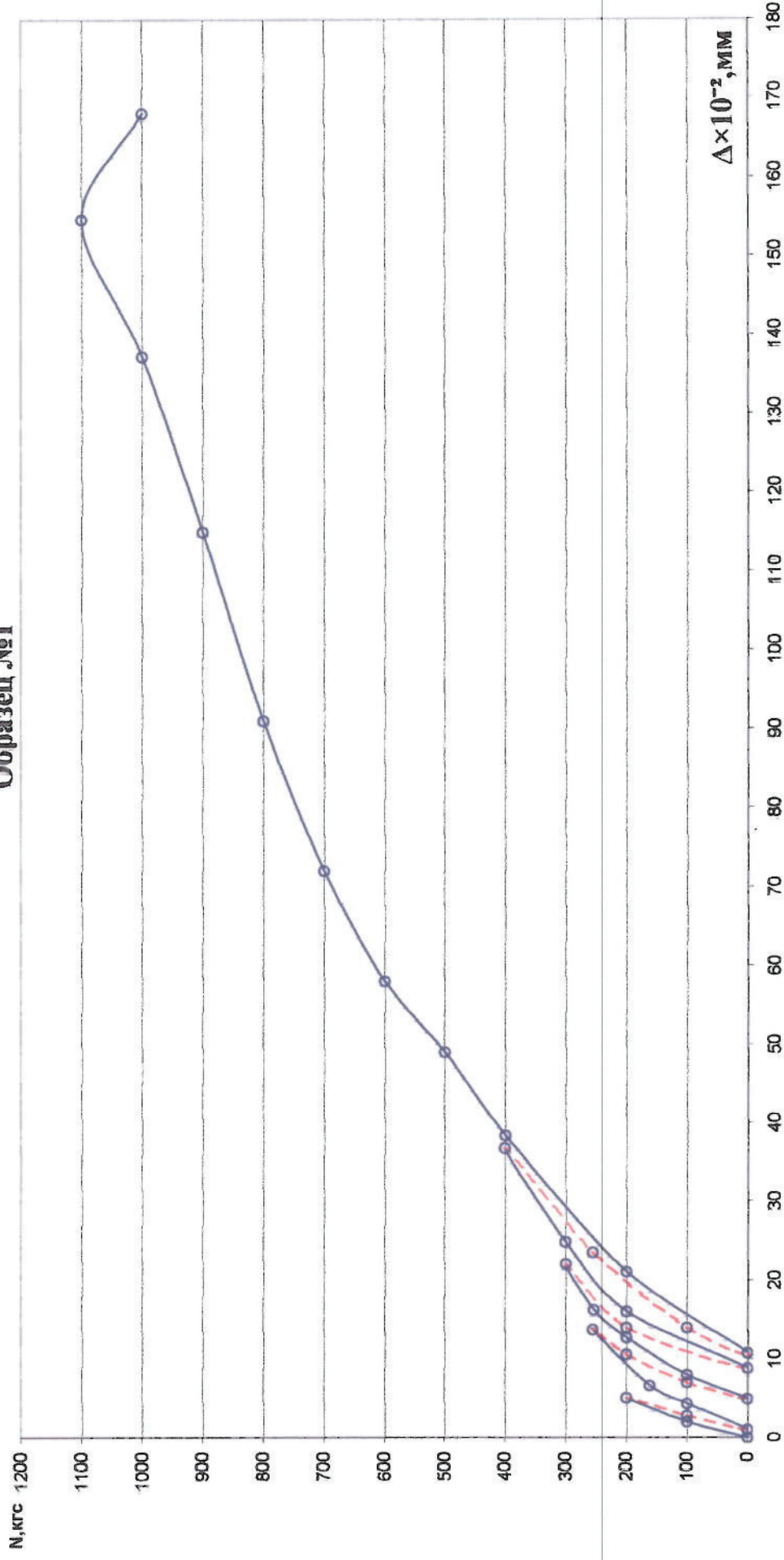


Рис. II.103 График зависимости "нагрузка-перемещение" для химических анкеров марки EPCON C8 (BOLT.RU)
(глубина анкеровки 150мм).

Образец №2

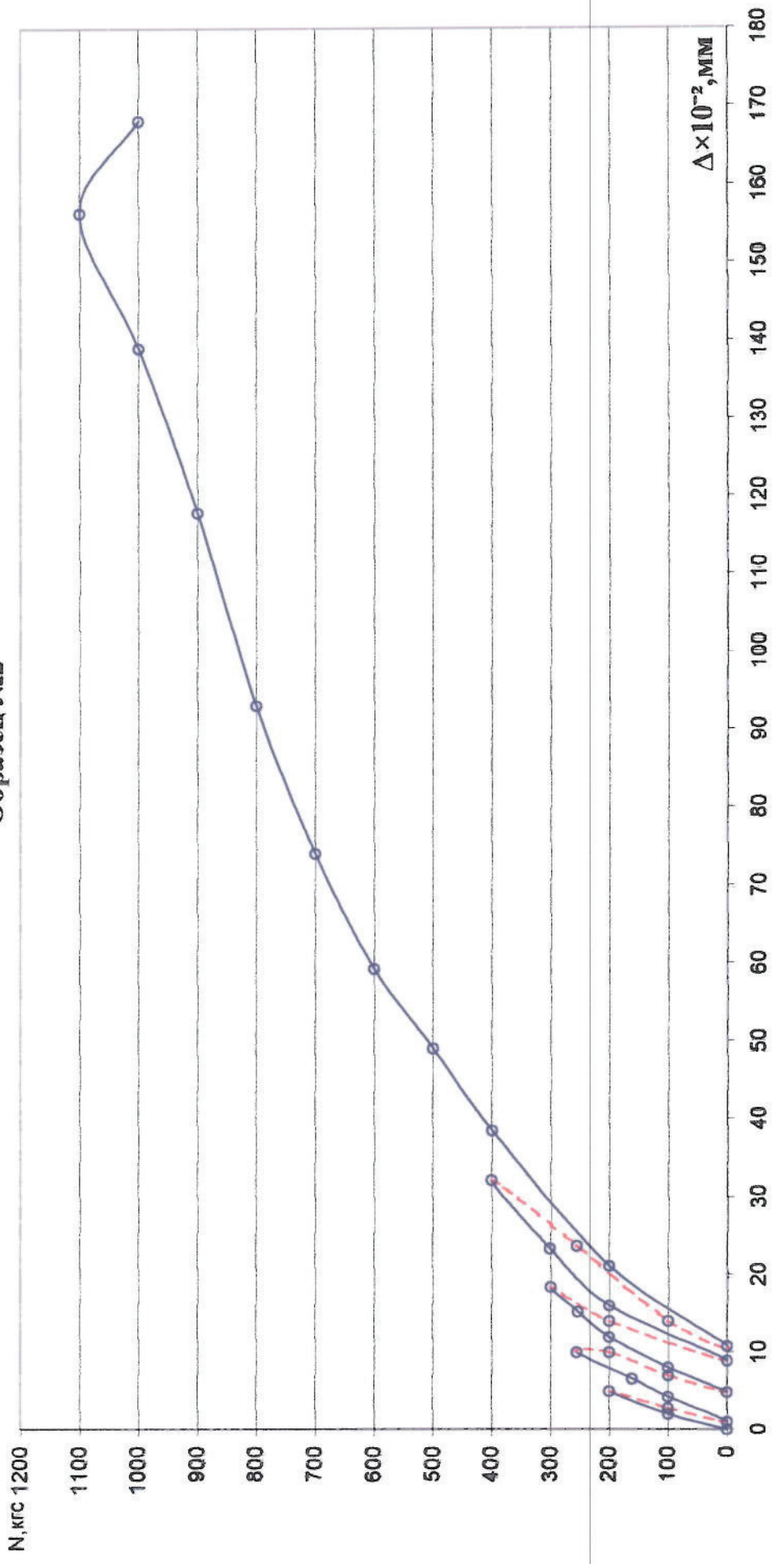


Рис. п. 1.104 График зависимости "нагрузка-перемещение" для химических анкеров марки EPCON C8 (BOLT.RU) (глубина анкеровки 150мм).

Образец №1

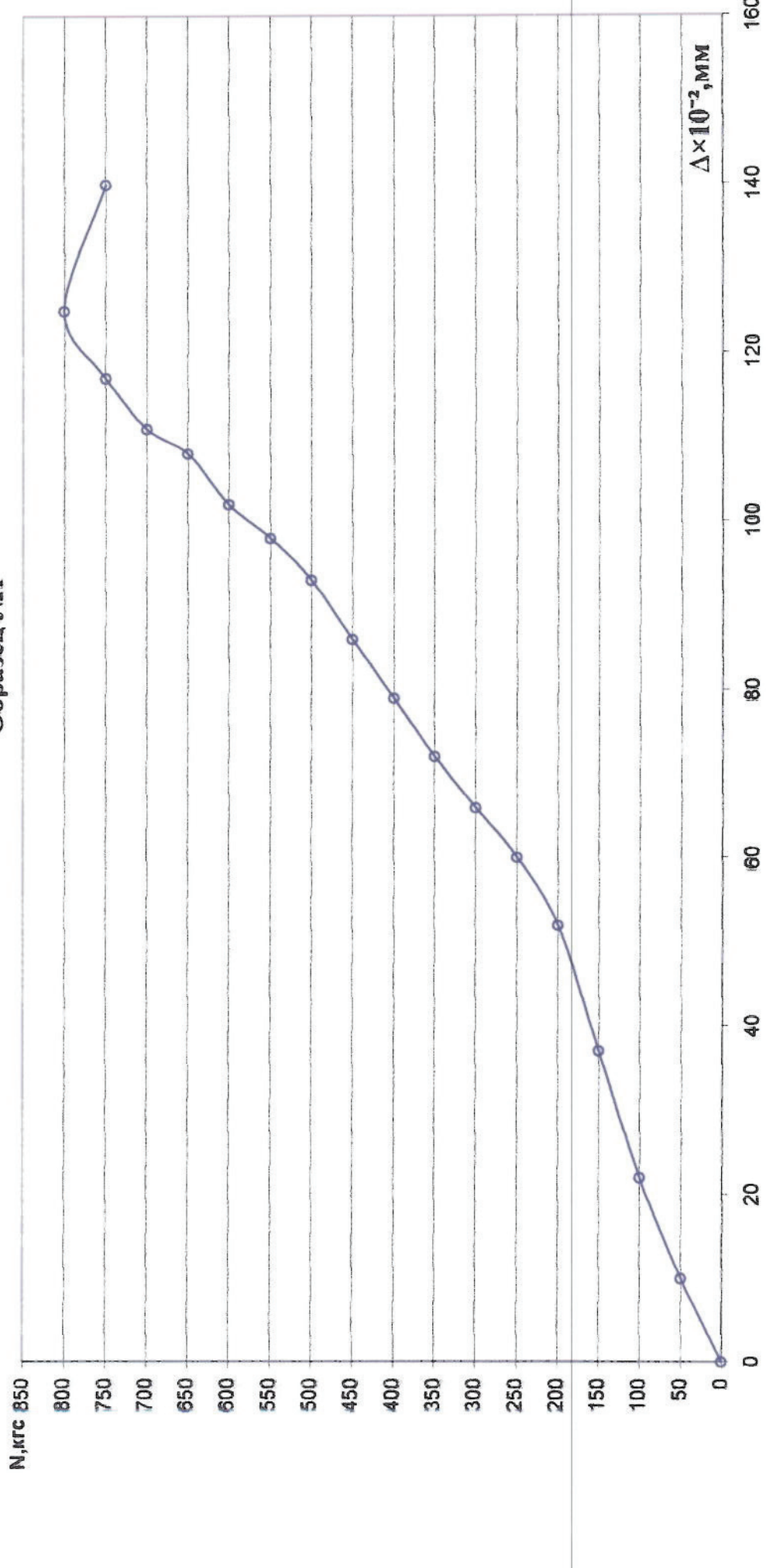


Рис. п. 1.105 График зависимости "нагрузка-перемещение" для химических анкеров марки С-HIX PLUS (BOLT.RU)
(глубина анкеровки 150мм).

Образец №2

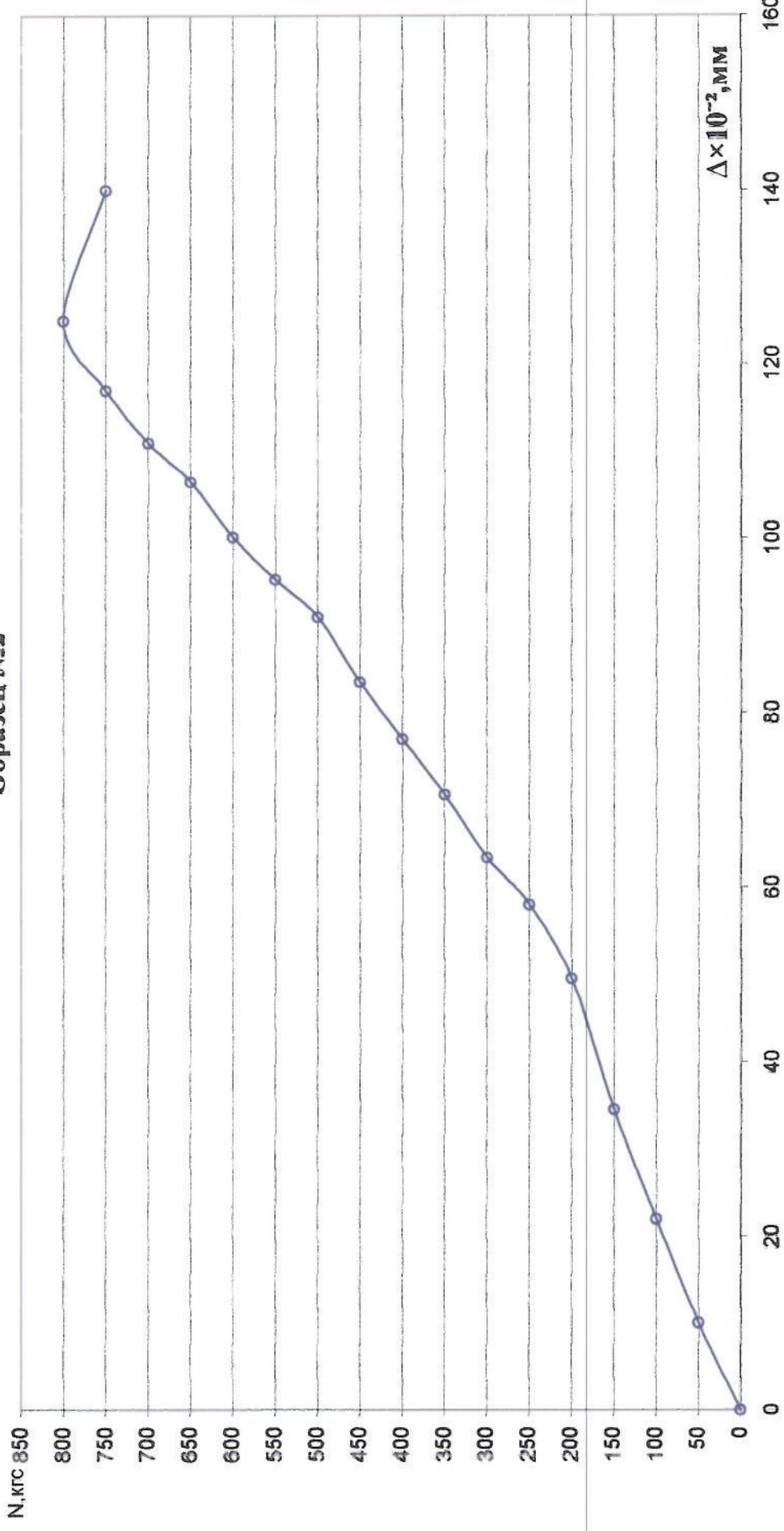


Рис. п. 1.106 График зависимости "нагрузка-перемещение" для химических анкеров марки С-HIX PLUS (BOLT.RU) (глубина анкеровки 150мм).

Образец №1

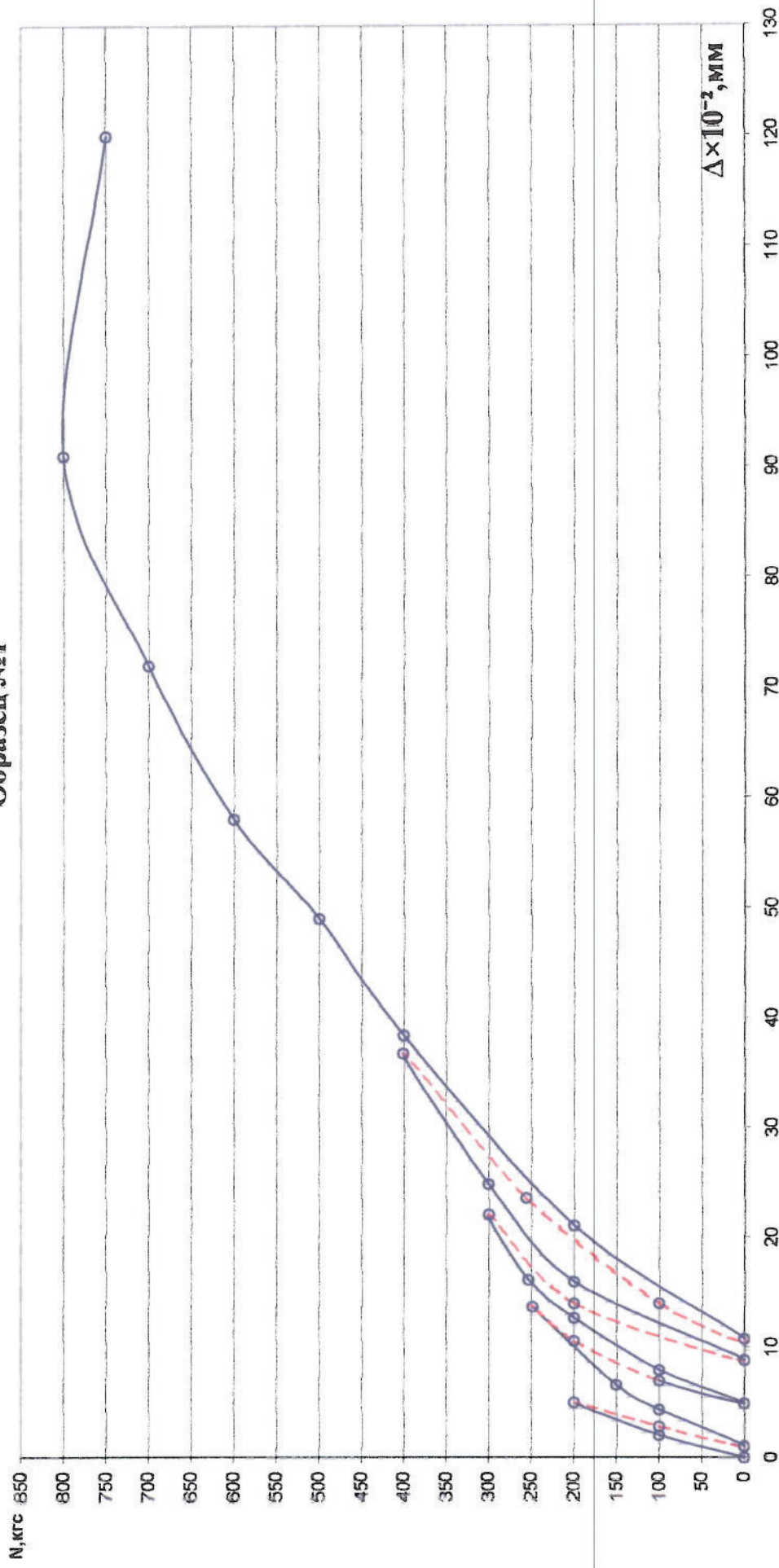


Рис. п. 1.107 График зависимости "нагрузка-перемещение" для химических анкеров марки С-HIX PLUS (BOLT.RU)
(глубина анкеровки 150мм).

Образец №2

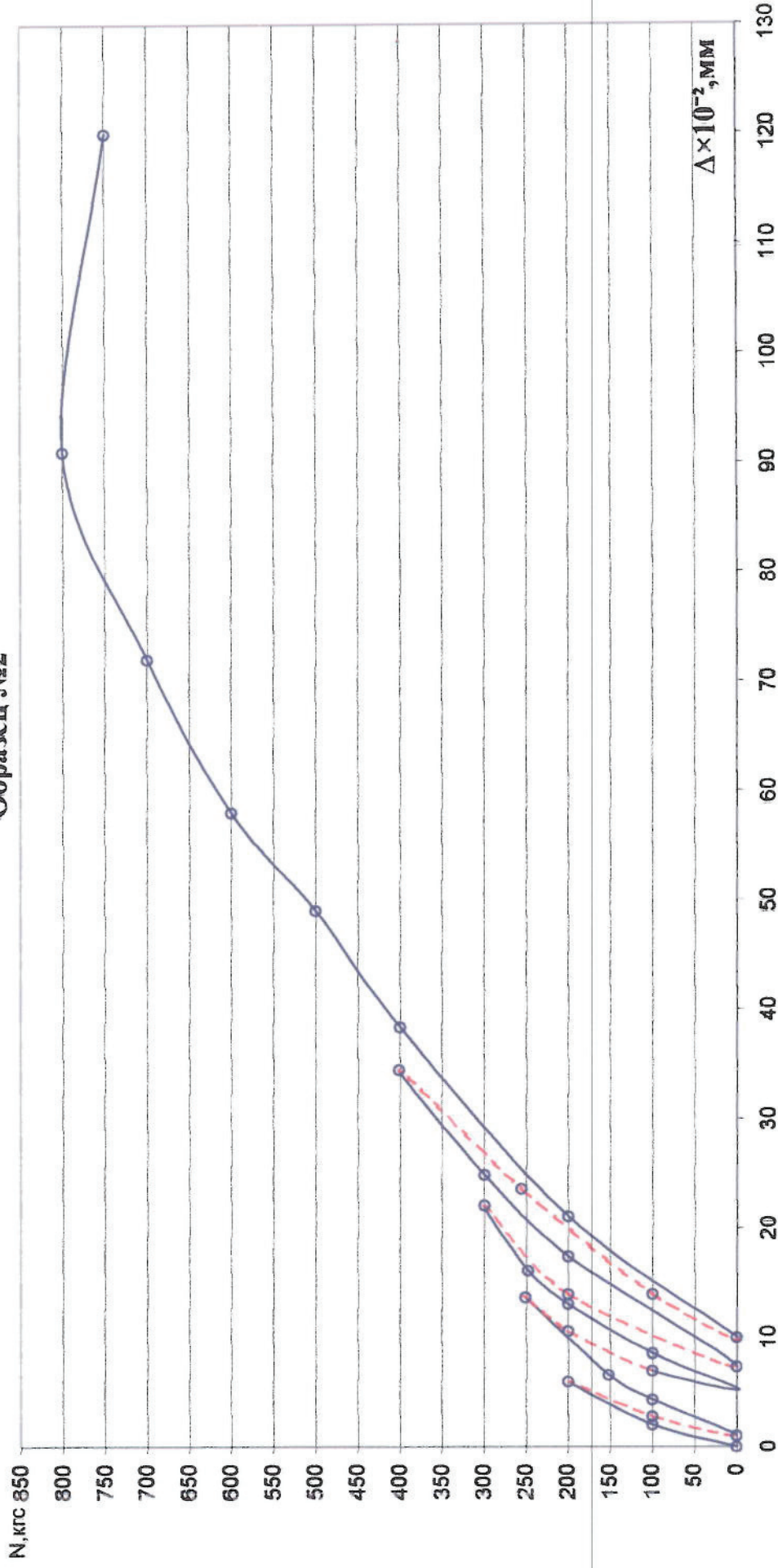


Рис. II. 1.108 График зависимости "нагрузка-перемещение" для химических анкеров марки С-HIX PLUS (BOLT.RU)
(глубина анкеровки 150мм).

Анкера фирмы «ГАЛЕН»

Образец №1

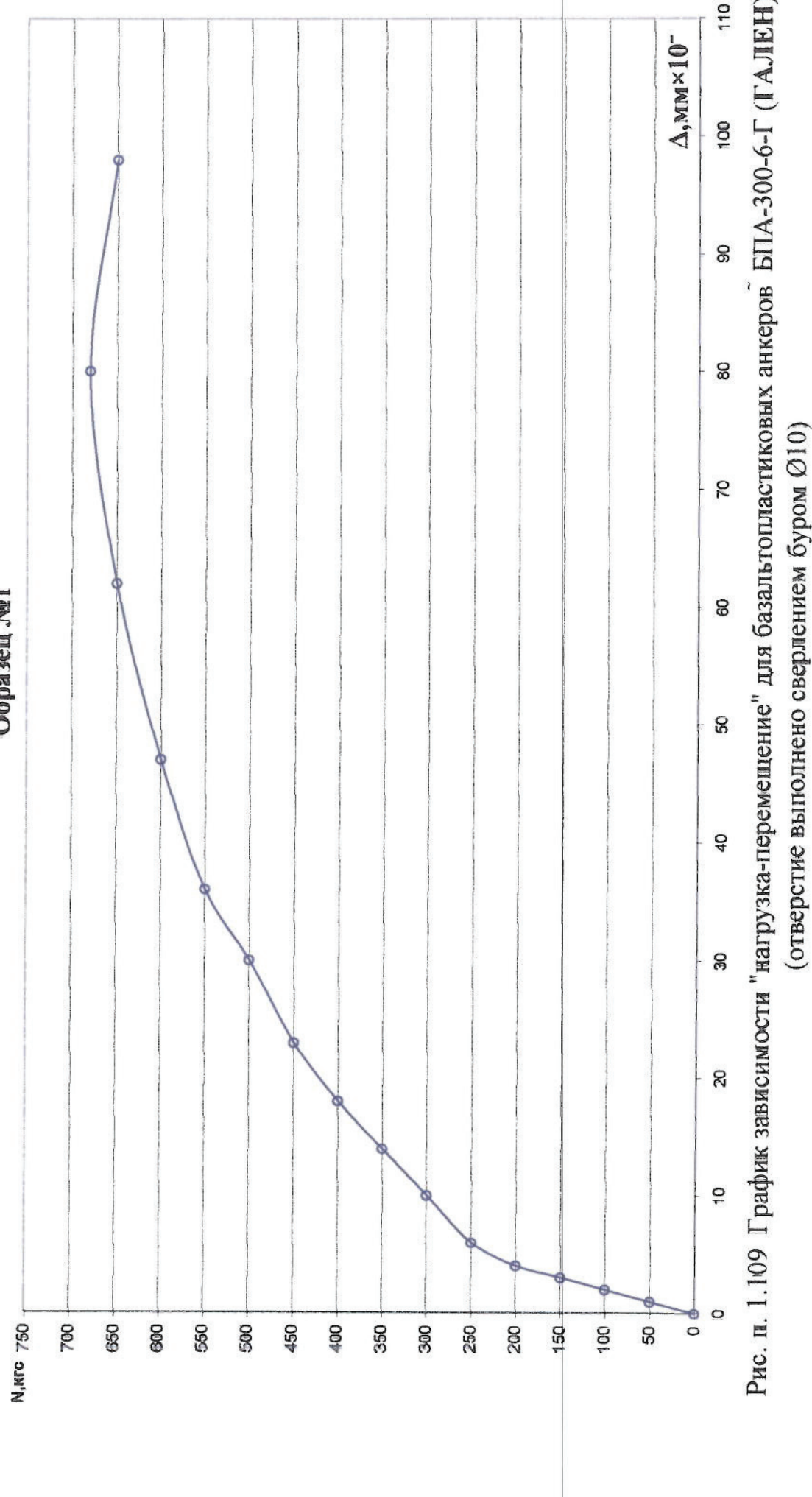


Рис. II. 1.109 График зависимости "нагрузка-перемещение" для базальтощистиковых анкеров БПА-300-6-Г (ГАЛЕН)
(отверстие выполнено сверлением буром Ø10)

Образец №2

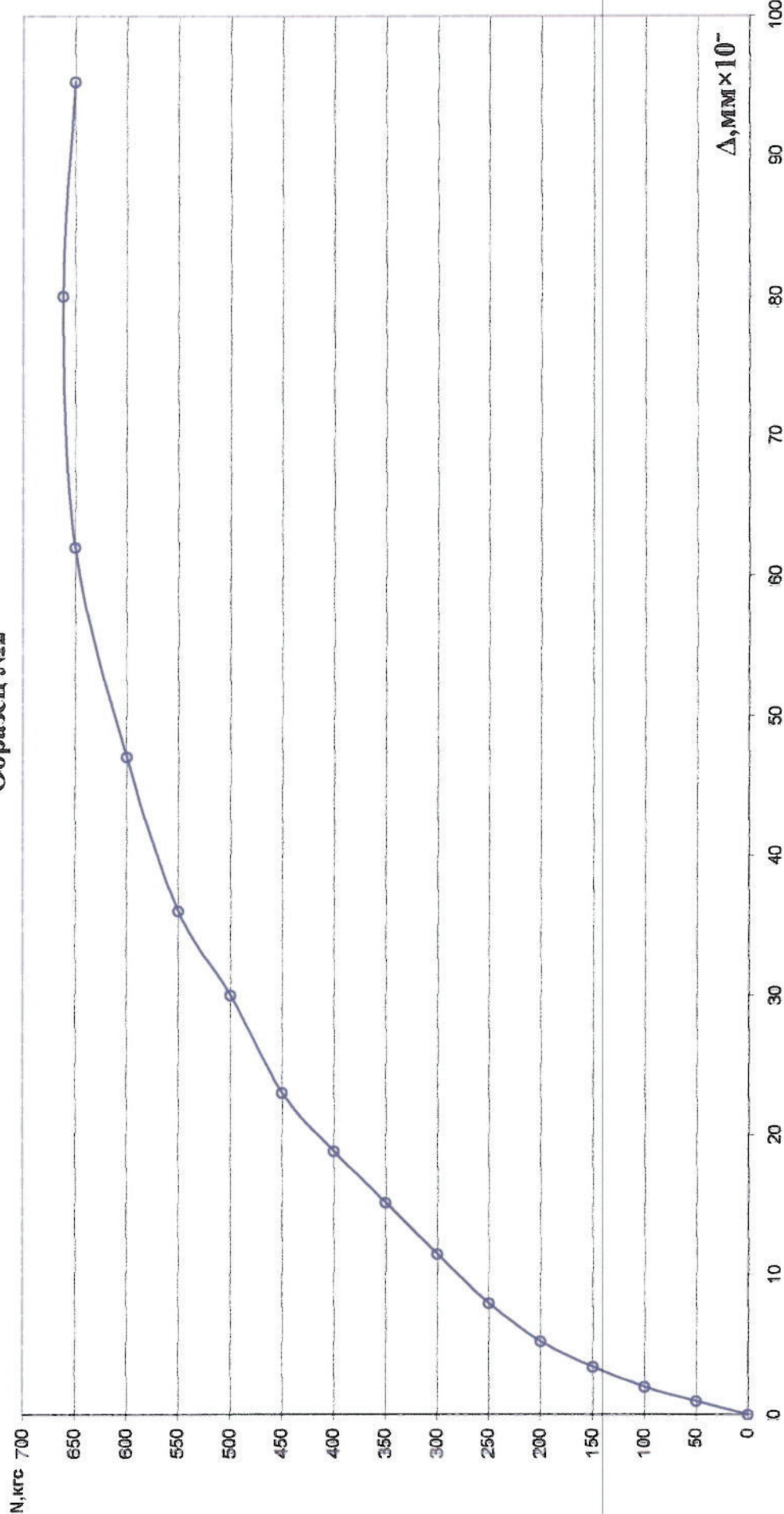


Рис. II. 1.110 График зависимости "нагрузка-перемещение" для базальтопластиковых анкеров БПА-300-6-Г (ГАЛЕН)
(отверстие выполнено сверлением буром Ø10)

Образец №1

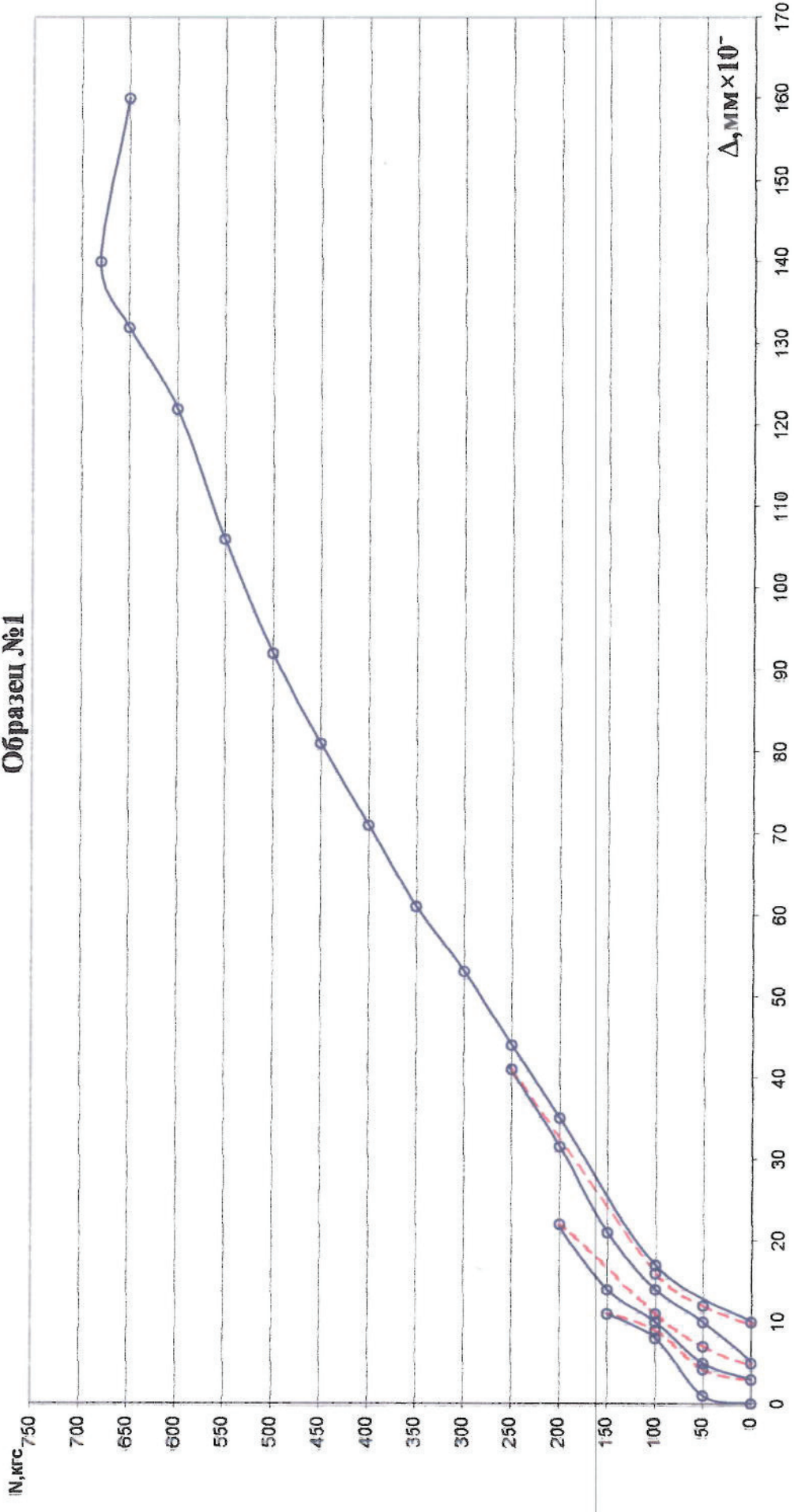


Рис. II. 1.111 График зависимости "нагрузка-перемещение" для базальтощелкового анкера БПА-300-6-Г (ГАЛЕН) (отверстие выполнено сверлением буром Ø10)

Образец №2

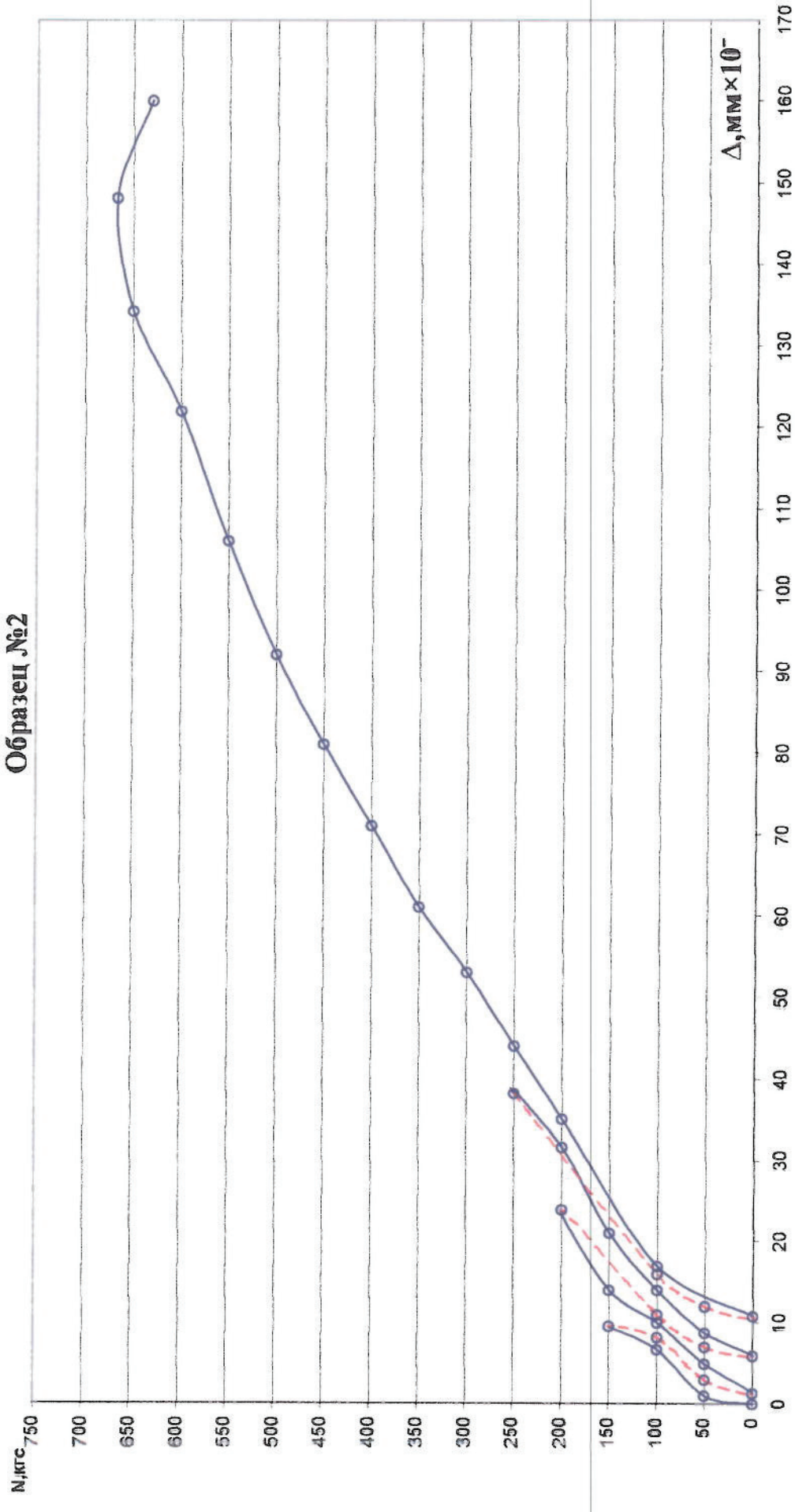


Рис. п. 1.112 График зависимости "нагрузка-перемещение" для базальтопластикового анкера БПА-300-б-Г (Г.А.ЛЕНН) (отверстие выполнено сверлением буром Ø10)

5. Заключение. Выводы и рекомендации.

Анализ результатов лабораторных испытаний на вырыв анкеров различных марок, представленных фирмами «FISCHER», «MUNGO», «SORMAT», «GRAVIT», «HILTI», «TERMOCLIP», «EJOT», «ELEMENTA», «BOLT.RU» и «ГАЛЕН», установленных в ячеистобетонные блоки плотностью D600 при классе бетона по прочности на сжатие B5.0 производства ЗАО «Кселла-Аэроблок-Центр» позволяет отметить следующее.

1. Впервые в отечественной практике выполнены комплексные экспериментальные исследования по оценке несущей способности анкеров отечественных и зарубежных фирм, представленных на российском рынке, установленных в стены из ячеистобетонных блоков одного производителя с одинаковыми физико-механическими характеристиками.
2. Полученные результаты испытаний анкеров, представленные в таблице 4.1 настоящего отчета, могут использоваться при разработке проектов крепления конструкций различного назначения, в том числе конструкций навесных фасадных систем, к стенам из ячеистобетонных блоков производства ЗАО «Кселла-Аэроблок-Центр», смонтированных на клеевом растворе для тонкошовной кладки блоков («YTONG-эконом»).
3. При выборе типа анкерного крепежа, полученные в табл. 4.1 результаты (значения расчетных усилий вырыва), должны сравниваться с результатами расчета анкеров на нагрузки от суммарного воздействия ветра, гололеда (при проектировании фасадной системы) и собственного веса конструкции, в том числе облицовки навесной фасадной системы.
4. В соответствии с требованиями СТО 44416204-010-2010 в

качестве расчетной нагрузки вырыва могут использоваться приведенные в табл. 4.1 значения, полученные по результатам испытаний как по первой так и по второй методикам.

5. Значения расчетных нагрузок получены при испытаниях анкеров на вырыв из ячеистобетонных блоков при влажности бетона 10-15%. В случае если влажность ячеистобетонных блоков превышает значения, установленные в техническом регламенте (техническом паспорте) фирмы производителя блоков, расчетную величину нагрузки на анкер, указанную в табл. 4.1, следует снижать:

- на 10% - при влажности ячеистого бетона 15-20%;
- на 25% - при влажности ячеистого бетона от 20 до 30%.

Список литературы.

1. Стандарт организации. Крепления Анкерные. Метод определения несущей способности по результатам натурных испытаний. СТО 44416204-010-2010. М.2011.
2. ГОСТ 8829-94.Изделия строительные железобетонные и бетонные заводского изготовления. Методы испытаний нагрузжением. Правила оценки прочности, жесткости и трещиностойкости.
3. А.В. Грановский, Д.А. Киселев, «О методике испытаний анкеров на вырыв из различных стеновых материалов и возможных областях их применения». Ж. «Жилищное строительство» №2, 2011г.

**Аттестат аккредитации испытательной
лаборатории**

ФЕДЕРАЛЬНОЕ АГЕНТСТВО ПО ТЕХНИЧЕСКОМУ РЕГУЛИРОВАНИЮ И МЕТРОЛОГИИ



АТТЕСТАТ АККРЕДИТАЦИИ ИСПЫТАТЕЛЬНОЙ ЛАБОРАТОРИИ (ЦЕНТРА)

№ РОСС RU.0001.22СМ15

№ 002414

Действителен до « 09 09 2015 г.

настоящий Аттестат выдан Федеральному государственному учреждению "Научно-исследовательский центр юридического лица с узким профилем применения правовой формы центра" (филиалу - Центрально-Черноземному научно-исследовательскому институту строительных конструкций им. В.А. Кучеренко) Российской Федерации, Московская область, Сергиево-Посадский район, пос. Загородное Дали, стр. 6-11
(адрес филиала - 109428, город Москва, ул. 2-я Институтская, д. 6, стр. 1)
адрес юридического лица

и удостоверяет, что ИСПЫТАТЕЛЬНЫЙ ЦЕНТР

записан в реестре ИЛ ОЦР

109428 г. Москва, ул. 2-я Институтская, д. 6, стр. 1

адрес ИЛ ОЦР

соответствует требованиям ГОСТ Р ИСО МЭК 17025, 2006 МЕЖДУНАРОДНОГО СТАНДАРТА ИСО/МЭК 17025, 2005,

аккредитован(а) на ТЕХНИЧЕСКУЮ КОМПЕТЕНТНОСТЬ

(техническую компетентность или техническую компетентность и независимость)

для проведения испытаний в соответствии с областью аккредитации и является его неотъемлемой частью.

Руководитель (заместитель руководителя)

Е.Р. Петросян
виктория, фамилия

Зарегистрирован в Едином реестре
49 10 2010
декабря 2010 г.

М.П.



ФЕДЕРАЛЬНОЕ АГЕНТСТВО ПО ТЕХНИЧЕСКОМУ РЕГУЛИРОВАНИЮ И МЕТРОЛОГИИ



АТТЕСТАТ АККРЕДИТАЦИИ ОРГАНА ПО СЕРТИФИКАЦИИ

№ РОСС.РУ.0001.11СЛ187

Действителен до « 16 » марта 2015 г.

настоящий аттестат выдан ФЕДЕРАЛЬНОМУ ГОСУДАРСТВЕННОМУ УНИТАРНОМУ ПРЕДПРИЯТИЮ
«Научно-исследовательский центр «Строительство»
наименование юридического лица с указанием организационно-правовой формы

141317, Российская Федерация, Московская область, Сергиево-Посадский район, пос. Загорские Дали, стр. 6-11
адрес юридического лица
наименование ОС:

и удостоверяет, что орган по сертификации продукции в строительстве

109428, г. Москва, 2-я Институтская ул., д. 6
адрес ОС

соответствует требованиям ГОСТ Р ИСО МЭК 65 - 2000, ГОСТ Р ИСО МЭК 62-
ИСО МЭК 62-
(руководства аккредитации)

аккредитован для проведения работ по сертификации в соответствии с специальностью аккредитации.
область аккредитации определена приложением к настоящему аттестату и является его неотъемлемой частью.

Руководитель (заместитель Руководителя)

Е.Р.Петросян
инженер, физик

Зарегистрирован в Едином реестре

6 марта 2010 г.



СВИДЕТЕЛЬСТВО



Саморегулируемая организация, основанная на членстве лиц, выполняющих инженерные изыскания

Некоммерческое партнерство

«Центральное объединение организаций по инженерным
изысканиям для строительства «Центризыскания»
(НП «Центризыскания»)

129090, Москва, Большой Балканский пер., д.20, стр.1

Регистрационный номер в государственном реестре саморегулируемых организаций
СРО-И-003-14092009

СВИДЕТЕЛЬСТВО

о допуске к определенному виду или видам работ, которые
оказывают влияние на безопасность объектов капитального строительства

«26» августа 2010 г.

№ СРО-И-003-14092009-00423

Выдано члену саморегулируемой организации:

Открытому акционерному обществу «Научно-исследовательский центр
«Строительство»

ИИН 5042109739, ОГРН 1095042005255, Российская Федерация, 141367, Московская область, Сергиево-Посадский район,
пос. Загорские Дали, д. 6-11

Основание выдачи Свидетельства: решение Правления НП «Центризыскания»,
Протокол № 35 от «26» августа 2010 года

Настоящим Свидетельством подтверждается допуск к работам, указанным в приложении к настоящему
Свидетельству, которые оказывают влияние на безопасность объектов капитального строительства.

Начало действия с «26» августа 2010 г.

Свидетельство без приложения недействительно.

Свидетельство выдано без ограничения срока и территории его действия.

Свидетельство выдано взамен ранее выданного (№ 423).

Президент

Генеральный директор



Л.Г. Кушнир
подпись
А.В. Акимов
подпись

Кушнир Л.Г

Акимов А.В

Генеральный Директор
СРО НП «МОПО «ОборонСтрой в звёкти»

И.Г.



**Саморегулируемая организация Некоммерческое партнерство
«Межрегиональное объединение проектных организаций
«ОборонСтройПроект»**

Рег. номер в государственном Реестре саморегулируемых организаций СРО-П-118-18012010

СВИДЕТЕЛЬСТВО

о допуске к работам, по подготовке проектной документации,
объектов капитального строительства

№ П-02-ПД-5042109739-2010

Было выдано на имя генерального директора «ОборонСтройПроект»:

(открытое акционерное общество «ОборонСтройПроект»)

«Научно-исследовательский центр «Согласие» СООО

СКРН-10250105-05 АТН № 10250105-05

*14136, Московская область, Серебряно-Прудский район,
ул. Заречная, д. 10, к. 1*

Основанием для выдачи настоящего свидетельства является 2010

Настоящим Свидетельством подтверждается право на выполнение указанным в приложении
к настоящему Свидетельству работ по проектированию и обеспечению безопасности объектов
капитального строительства.

Начало действия с «21» июля 2010 г.

Настоящее свидетельство без приложения не действительно.

Свидетельство действительно без ограничения срока и территории его действия.

Свидетельство выдано взамен ранее выданного №П-01-0025-5042109739-2010
от 04 февраля 2010г.

Генеральный Директор

СОО НП «МОПО «ОборонСтрой Проект»

И.Г. Ясакова



Выдано приложение на листах: 000033, 000034, 000035

Генеральный Директор
СРО НП «МОПО «ОборонСтройПроект»



И.Г. Я

ПРИЛОЖЕНИЕ №1
к Свидетельству о допуске
№ II-02-0025-5042109739-2010

Перечень

видов работ, которые оказывают влияние на безопасность объектов капитального строительства и о допуске к которым член

СРОНН (МОНОК ОборонСтройПроект)

**Открытое акционерное общество «Научно-исследовательский центр
«Строительство» имеет Свидетельство**

№	Наименование вида работ	Отметка о допуске к видам работ, которые оказывают влияние на безопасность особо опасных, технически сложных и объектов, предусмотренных статьей 48.1 Градостроительного Кодекса Российской Федерации
1	1. Работы по подготовке схем газораспределительной организации земельного участка 1.1 Работы до точек газораспределительного ячейка земельного участка 1.2 Работы подготовки схем газораспределительной организации газоснабжения линейного объекта 1.3 Работы по подготовке схем газораспределительной организации подачи газа в земельный участок	Есть Есть Есть
2	2. Работы по подготовке земельного участка	Есть
3	3. Работы по подготовке конструктивных решений	Есть
4	4. Работы по подготовке схем внутреннего инженерного оборудования, внутренних сетей инженерно-технического обеспечения, с перечнем инженерно-технических мероприятий: 4.1 Работы по подготовке проектов внутренних инженерных систем отопления, вентиляции, кондиционирования, противодымной вентиляции, теплоснабжения и холодоснабжения 4.2 Работы по подготовке проектов внутренних инженерных систем водоснабжения и канализации 4.3 Работы по подготовке проектов внутренних систем электроснабжения 4.4 Работы по подготовке проектов внутренних слаботочных систем 4.5 Работы по подготовке проектов внутренних диспетчеризации, автоматизации и управления инженерными системами 4.6 Работы по подготовке проектов внутренних систем газоснабжения	Есть Есть Есть Есть Есть Есть

5	<p>5. Работы по подготовке сведений о наружных сетях инженерно-технического обеспечения, о перечне инженерно-технических мероприятий:</p> <p>5.1 Работы по подготовке проектов наружных сетей теплоснабжения и их сооружений</p> <p>5.2 Работы по подготовке проектов наружных сетей водоснабжения и канализации и их сооружений</p> <p>5.3 Работы по подготовке проектов наружных сетей электроснабжения до 33 кВ включительно и их сооружений</p> <p>5.4 Работы по подготовке проектов наружных сетей электроснабжения не более 110 кВ включительно и их сооружений</p> <p>5.5 Работы по подготовке проектов наружных сетей электроснабжения 110 кВ и более и их сооружений</p> <p>5.6 Работы по подготовке проектов наружных сетей слаботочных систем</p> <p>5.7 Работы по подготовке проектов наружных сетей газоснабжения и их сооружений</p>	Есть	Есть
6	<p>6. Работы по подготовке технологических решений:</p> <p>6.1 Работы по подготовке технологических решений жилых зданий и их комплексов</p> <p>6.2 Работы по подготовке технологических решений общественных зданий и сооружений и их комплексов</p> <p>6.3 Работы по подготовке технологических решений производственных зданий и сооружений и их комплексов</p> <p>6.4 Работы по подготовке технологических решений объектов специального назначения и их комплексов</p> <p>6.5 Работы по подготовке технологических решений промышленных зданий и сооружений и их комплексов</p> <p>6.6 Работы по подготовке технологических решений объектов сельскохозяйственного назначения и их комплексов</p> <p>6.7 Работы по подготовке технологических решений объектов специального назначения и их комплексов</p> <p>6.8 Работы по подготовке технологических решений объектов нефтегазового природного и их комплексов</p> <p>6.9 Работы по подготовке технологических решений объектов сбора, обработки, хранения, переработки и утилизации отходов и их комплексов</p> <p>6.10 Работы по подготовке технологических решений объектов атомной энергетики и ядерной безопасности и их комплексов</p> <p>6.11 Работы по подготовке технологических решений объектов военной инфраструктуры и их комплексов</p> <p>6.12 Работы по подготовке технологических решений объектов очистных сооружений и их комплексов</p>	Есть	Есть
7	<p>7. Работы по разработке специальных разделов проектной документации:</p> <p>7.1 Инженерно-технические мероприятия по гражданской обороне</p> <p>7.2 Инженерно-технические мероприятия по предупреждению чрезвычайных ситуаций природного и техногенного характера</p> <p>7.3 Разработка декларации по промышленной безопасности опасных производственных объектов</p> <p>7.4 Разработка декларации безопасности гидротехнических сооружений</p> <p>7.5 Разработка обоснования радиационной и ядерной защиты</p>	Есть	Есть
8	<p>8. Работы по подготовке проектов организаций строительства, сносу и демонтажу зданий и сооружений, продлению срока эксплуатации и консервации</p>	Есть	

9	9. Работы по подготовке проектов мероприятий по охране окружающей среды	Есть
10	10. Работы по подготовке проектов мероприятий по обеспечению пожарной безопасности	Есть
11	11. Работы по подготовке проектов мероприятий по обеспечению доступа маломобильных групп населения	Есть
12	12. Работы по обследованию строительных конструкций зданий и сооружений	Есть
13	13. Работы по организации подготовки проектной документации, привлекаемым застройщиком или заказчиком на основании договора юридическим лицом или индивидуальным предпринимателем (генеральным проектировщиком)	Есть

Генеральный Инженер
СРО НП МОНУ «СтройСтандарт»

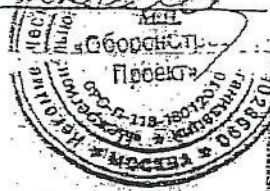
Р. Г. Ясакова



Пронумеровано и скреплен
печатью. Количество 4 (четыре) листа
Генеральный директор
СРО НП «МОСО «ОборонСтройПроект»
Ясакова И.Г.

Генеральный Директор
СРО НП «МОПО «ОборонСтройПроект»

И.Г. Ясакова



ПРИЛОЖЕНИЕ

к Свидетельству о допуске к определенному виду или видам работ, которые оказывают влияние на безопасность объектов капитального строительства

от «26» августа 2010 г.

№ СРО-И-003-14092009-00423

ПЕРЕЧЕНЬ

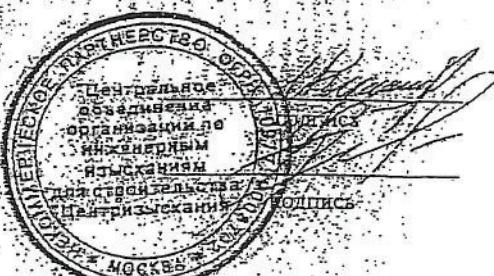
видов работ, которые оказывают влияние на безопасность объектов капитального строительства и о допуске к которым член Некоммерческого партнерства «Центральное объединение организаций по инженерным изысканиям для строительства «Центризыскания» Открытое акционерное общество «Научно-исследовательский центр «Строительство» имеет
Свидетельство

№	Наименование вида работ	Отметка о допуске к видам работ, которые оказывают влияние на безопасность особо опасных, технически сложных и уникальных объектов, предусмотренных статьей 43.1 Градостроительного кодекса Российской Федерации
1.	1. Работы в составе инженерно-геодезических изысканий 1.1. Создание опорных геодезических сетей 1.2. Геодезические наблюдения за деформациями и осадками зданий и сооружений, движениями земной поверхности и опасными природными процессами 1.3. Создание и обновление инженерно-топографических планов в масштабах 1:200 - 1:5000, в том числе в цифровой форме, съемка подземных коммуникаций и сооружений 1.4. Трассирование линейных объектов 1.5. Инженерно-гидрографические работы 1.6. Специальные геодезические и топографические работы при строительстве и реконструкции зданий и сооружений	Есть, Есть, Есть,
2.	2. Работы в составе инженерно-геологических изысканий 2.1. Инженерно-геологическая съемка в масштабах 1:500 - 1:25000 2.2. Проходка горных выработок с их опробованием, лабораторные исследования физико-механических свойств грунтов и химических свойств проб подземных вод 2.3. Изучение опасных геологических и инженерно-геологических процессов с разработкой рекомендаций по инженерной защите территории	Есть, Есть, Есть,

	2.4. Гидрогеологические исследования 2.5. Инженерно-геофизические исследования 2.6. Инженерно-геокриологические исследования 2.7. Сейсмологические и сейсмотектонические исследования территории, сейсмическое микрорайонирование	Есть, Есть, Есть, Есть,
3.	5. Работы в составе инженерно-геотехнических изысканий 5.1. Проходка горных выработок с их обработанием и лабораторные испытания механических свойств грунтов с определением характеристик для конкретных схем расчета оснований фундаментов 5.2. Полевые испытания грунтов с определением их стандартных прочностных и деформационных характеристик (штамповые, сдвиговые, прессиометрические, срезные). Испытания эталонных и батурных свай 5.3. Определение стандартных механических характеристик грунтов методами статического и динамического куорного зондирования 5.4. Физическое и математическое моделирование взаимодействия зданий и сооружений с геологической средой 5.5. Специальные исследования характеристик грунтов по отдельным программам для геотехнологии, в том числе нелинейных методов расчета оснований фундаментов и конструкций зданий и сооружений 5.6. Геотехнический контроль строительства зданий, сооружений и прилегающих территорий	Есть, Есть, Есть, Есть,
4.	6. Обследование состояния грунтов в основаниях зданий и сооружений	Есть,

Президент

Генеральный директор



Кушнир Л.Т

Акимов А.В

Генеральный Директор
СРО НП «МОПО «ОборонСтрой-Проект»

